

Integrirane raziskave
arheološkega najdišča na zahodnem vrhu
Grajskega hriba na Bledu v letu 2019.
Arheološko testno sondiranje in vzorčenje z vrtnami
(parc. št. 397/1, k. o. 2190 - Bled)
Končno strokovno poročilo o raziskavi 19-0227

Izvajalec:

Univerza v Ljubljani, Filozofska fakulteta (Oddelek za arheologijo)

Naročnik:

Zavod za kulturo Bled

Nadzornica:

Judita Lux, univ. dipl. arheol., višja konservatorica
Zavod za varstvo kulturne dediščine Slovenije, Območna enota Kranj

Kulturnovarstveno soglasje za raziskavo in odstranitev arheološke ostaline:

št. 62240-171/2019/2 z dne 10. 5. 2019

Kulturnovarstveni pogoji-potrditev metode, ZVKDS OE Kranj:

št. 35101-0519/2018-5 z dne 12. 1. 2018

Avtorji poročila:

doc. dr. Andrej Gaspari, univ. dipl. arheol.

asist. Manca Vinazza, univ. dipl. arheol.

doc. dr. Borut Toškan, univ. dipl. biol.

Blaž Kumer, dipl. arheol.

Luka Škerjanec, dipl. arheol.

Dejan Kožuh, dipl. arheol.

Ljubljana, oktober 2019



Kazalo

Seznam slik, preglednic, tabel in prilog	str. 3
Poglavje A	str. 7
<i>Podatki o raziskavi</i>	str. 7
<i>Potek in rezultati raziskave</i>	str. 7
Uvod	str. 8
Uporabljeni postopki in metode	str. 8
Povzetek preliminarnih spoznanj	str. 8
Poglavje B	str. 13
<i>Podatki o raziskavi</i>	str. 13
<i>Uvod</i>	str. 14
Opis motivov in ciljev raziskave	str. 14
Potek del in sestava raziskovalne ekipe	str. 14
Postopki raziskave	str. 17
Seznam uporabljenih instrumentov in programske opreme	str. 22
Protokol meritev	str. 22
Povzetek delovnega dnevnika o poteku in okoliščinah del arheološkega testnega sondiranja	str. 23
<i>Rezultati</i>	str. 30
Arheološki in historično-geografski oris najdišča	str. 30
Terenski razvid	str. 32
Topografski oris in strukturni pregled najdišča	str. 32
Interpretacija rezultatov geofizikalne raziskave	str. 37
Interpretacija rezultatov vzorčenja z vrtnami	str. 44
Povzetek rezultatov arheološkega testnega sondiranja	str. 46
Sklep	str. 64
Viri in literatura	str. 66
Opisi stratigrafskih enot	str. 69
Katalog najdb (L. Škerjanec, D. Kožuh)	str. 79
Katalog lončarskih mas	str. 87
Table	str. 94
Dodatek. Preliminarno poročilo o živalskih ostankih z arheološkega najdišča na zahodnem vrhu Grajskega hriba na Bledu (izkopavanja leta 2019) (B. Toškan)	str. 99
<i>Podatki o arhivu najdišča</i>	str. 106
Priloge	str. 107
<i>Zapisnik konservatorskega nadzora nad terenskimi deli raziskave (kopija)</i>	str. 123

Seznam slik, preglednic, tabel in prilog

Poglavje A

- Slika A.1: Aerofotografija območja Grajskega hriba in Pristave s severa (foto: J. Hanc, 24. 3. 1995; arhiv Arheološkega oddelka NMS)
- Slika A.2: Sonda 1. Začetek del na vršnem platoju po odstranitvi ruše. V ospredju vidni zidovi kvadratne stavbe, datirane med 15./16. in 17./18. stoletje (foto: A. Gaspari; DSC_2801)
- Slika A.3: Sonda 2. Plast (SE 2007) v severnem delu sonde (kv. 2) obsega depozite iz časa gradnje in delovanja poznoantičnega obzidja. Pogled proti severu (foto: A. Gaspari; DSC_3828)

Poglavje B

- Slika 1.1: Območje Grajskega hriba na Bledu z izbranimi najdišči (podlaga TTN5; © GURS; dopolnil: A. Gaspari)
- Slika 1.2: Širše območje raziskave na načrtu iz leta 1807 (Arhiv RS, AS 1068, 2/134)
- Slika 1.3: Grajski hrib s Straže. Pogled z juga (foto: A. Gaspari; DSC_5394)
- Slika 1.4: Zahodni vrh s severa (foto: A. Gaspari; DEST3997)
- Tabela 2.1: Seznam izhodišč merilnega sistema – stojišč v letu 2018
- Slika 2.1: Digitalni model reliefa zahodnega vrha. Hipsografski prikaz, izdelan iz oblaka točk meritev s terestričnim laserskim skeniranjem (izdelal: A. Lazar, Geoservis, d.o.o.)
- Slika 2.2: Območja raziskav z magnetno metodo (MAG), georadarsko metodo (GPR) in nizkofrekvenčno elektromagnetno metodo (CMD) ter profili za 2D upornostno tomografijo ERT na rezultatih terestričnega skeniranja in strukturnega pregleda. Arheološko relevantne značilnosti so označene z zeleno črto, naravne oblike (izdanki apnenčaste podlage) pa z modro (po Mušič et al. 2018, sl. 52)
- Slika 2.3: Zahodni vrh z lokacijama Sonde 1 in Sonde 2 ter izhodišči prostorskih meritev (izdelal: B. Kumer)
- Slika 2.4: Sonda 1. Začetek del na vršnem platoju po odstranitvi ruše (foto: A. Gaspari; DSC_2801)
- Slika 2.5: Sonda 1. Odstranjeni sedimenti so se odlagali na deponijo in sprotno sejali ter kontrolno pregledovali z detektorjem kovin (foto: A. Gaspari; DSC_2703)
- Slika 2.6: Sonda 1. Prostorska izmera interfacije vkopa za gradnjo zgodnjenovoveškega objekta (foto: A. Gaspari; DSC_3384)
- Slika 2.7: Sonda 1. Snemanje situacije z brezpilotnim letalnikom. Operater Rok Klasinc (foto: A. Gaspari; DSC_3389)
- Slika 2.8: Sonda 2. Izmera mej stratigrafskih enot s totalno postajo (foto: A. Gaspari; DSC_4037)
- Slika 2.9: Tudi v sondi 2 so se vsi izkopani depoziti sproti presejali na situ s 0,5 cm velikimi odprtini (foto: I. Kavčič; IMG_6702)
- Slika 2.10: Del ekipe ob zasuti Sondi 2. Z leve proti desni: Luka Škerjanec, Blaž Kumer, Manca Vinazza in Tina Milavec. Manjka Dejan Kožuh (foto: Andrej Gaspari; DSC_4150)
- Slika 2.11: Sonda 1. Vzhodni del izkopnega polja ob koncu raziskave (foto: A. Gaspari; DSC_3873)
- Tabela 2.2: Seznam izhodišč merilnega sistema – stojišč v letu 2019
- Slika 3.1: Zahodni vrh Grajskega hriba. Glavne topografske – strukturne enote in druge lokacije, omenjene v besedilu (zasnova: A. Gaspari; izdelal: B. Kumer)
- Slika 3.2: Osrednja vzpetina in južne terase zahodnega vrha s sedla. Pogled z vzhoda (foto: A. Gaspari)
- Slika 3.3: Oporni zid (SE 005) na vzhodni strani vršnega platoja. Pogled z jugovzhoda (foto: A. Gaspari; IMG_2603)
- Slika 3.4: Vzhodni rob južnega dela naselbine. Pogled z vzhoda (foto: A. Gaspari)
- Slika 3.5: Terasa (SE 013) in prelom v rob z domnevnim obzidjem (SE 011) na južnem delu naselbine. Pogled z vzhoda (foto: A. Gaspari)
- Slika 3.6: Izpostavljeni ostanki (SE 011) južne stranice obzidja. Pogled z jugozahoda (foto: A. Gaspari; IMG_2553)
- Slika 3.7: Jugozahodni del naselbine. Pogled z vzhoda (foto: A. Gaspari; IMG_2591)
- Slika 3.8: Severno obzidje (SE 014) predprostora. Pogled z zahoda (foto: A. Gaspari; IMG_2539)
- Slika 3.9: Anomalna območja za vsako od uporabljenih geofizikalnih metod, za katera izvajalec domneva, da odražajo spremembe v pod površju, ki so arheološkega izvora (po Mušič et al. 2018, sl. 53)
- Slika 3.10: Rezultati magnetne metode z območji močnih magnetnih anomalij, ki jih izvajalec pripisuje arheološkim virom (po Mušič et al. 2018, sl. 57)
- Slika 3.11: Rezultati meritev električne prevodnosti z območji relativno boljše prevodnosti, ki jih izvajalec pripisuje arheološkim kulturnim horizontom. Globinski interval: 0–30 cm (po Mušič et al. 2018, sl. 60)
- Slika 3.12: Rezultati meritev magnetne susceptibilnosti z območji relativno višje susceptibilnosti, ki jih izvajalec pripisuje arheološkim kulturnim horizontom. Globinski interval: 0–30 cm (po Mušič et al. 2018, sl. 65)

- Slika 3.13: Rezultati georadarske raziskave z območji relativno izrazitejših georadarskih signalov, ki jih izvajalec pripisuje arheološkim kulturnim horizontom in ponekod tudi učinkom apneneve podlage. Globinski interval: 30–60 cm (po Mušič et al. 2018, sl. 70)
- Slika 3.14: Oblikovanost visokoupornostne apnenčeve geološke podlage na vršnem platoju, pobočju in izravnavi na sedlu, kjer je velika kotanja zapolnjena z materialom nižje upornosti (po Mušič et al. 2018, sl. 8)
- Slika 3.15: ERT profil 5 (razlaga po Mušič et al. 2018, sl. 49)
- Slika 3.16: ERT profil 6 (razlaga po Mušič et al. 2018, sl. 50)
- Slika 3.17: ERT profil 7 (razlaga po Mušič et al. 2018, sl. 51)
- Slika 3.18: Položaji mest za plitve vrtine (V-1 do V-13) (po Horn, Mušič 2019, sl. 1)
- Slika 3.19: Magnetna susceptibilnost vzorcev iz vrtin V-1 do V-13 (po Horn, Mušič 2019, sl. 8)
- Tabela 3.1: Razvrstitev večjih ročno pobranih drobcov iz posameznega vzorca glede na srednje vrednosti magnetne susceptibilnosti celotnega vzorca (po Horn, Mušič 2019, tabela 3)
- Slika 4.1: Sonda 1. Objekt v kv. 3 ob začetku izkopavanja (foto: A. Gaspari; DSC_2616)
- Slika 4.2: Sonda 1. Zahodni del sonde (kv. 1–3) po odstranitvi ruše. Pogled proti jugozahodu (foto: A. Gaspari; DSC_2735)
- Slika 4.3: Sonda 1. Zahodni del sonde (kv. 1–3) po odstranitvi ruše. Pogled proti severovzhodu (foto: A. Gaspari; DSC_2798)
- Slika 4.4: Sonda 1. Objekt v kv. 3 ob pred odstranitvijo ruševine zahodne stranice (foto: A. Gaspari; DSC_2775)
- Slika 4.5: Sonda 1. Hodna površina objekta v kv. 3 z delno prilagojeno skalno podlago (foto: A. Gaspari; DSC_2959)
- Slika 4.6: Sonda 1. Situacija v objektu (kv. 3) pred odstranitvijo ruševine (SE 1007) zahodnega zidu Pogled proti severu (3D fotogrametrični model: B. Kumer)
- Slika 4.7: Sonda 1. Vzhodna stranica objekta v kv. 3 je bila vkopana v SE 1002. Pogled proti jugozahodu (foto: A. Gaspari; DSC_3241)
- Slika 4.8: Sonda 1. Skalna podlaga na zahodnem delu sonde, razmeroma plitvo pod površino. Pogled proti jugovzhodu (foto: A. Gaspari; DSC_3363)
- Slika 4.9: Sonda 1. Ruševina (?) opornega zidu v vzhodnem delu sonde (kv. 6). Pogled proti severovzhodu (foto: A. Gaspari; DSC_3214)
- Slika 4.10: Sonda 1. Izdanek skalne podlaga in ruševina (?) opornega zidu v kv. 6. Pogled proti jugovzhodu (foto: A. Gaspari; DSC_3236)
- Slika 4.11: Sonda 1. Stopnja v vzhodnem pobočju vršnega platoja z ruševina (?) opornega zidu. Pogled proti severu (foto: A. Gaspari; DSC_3284)
- Slika 4.12: Sonda 1. Skalna podlaga pod stopnjo v vzhodnem pobočju vršnega platoja. Pogled proti zahodu (foto: A. Gaspari; DSC_3291)
- Slika 4.13: Sonda 1. Situacija med skalnimi izdanki nad prelomom vzhodnega pobočja in rebrom v osrednjem delu sonde (kv. 4–6). Pogled proti jugozahodu (foto: A. Gaspari; DSC_3545)
- Slika 4.14: Sonda 1. Koluvalna plast s prazgodovinskim gradivom v spodnjem delu pobočja nad skalno stopnjo (kv. 5–6). Pogled proti jugovzhodu (foto: A. Gaspari; DSC_3642)
- Slika 4.15: Sonda 1. Situacija pred odstranitvijo koluvalne plasti (SE 1015) s pretežno prazgodovinskim materialom. Pogled proti severu (3D fotogrametrični model: B. Kumer)
- Slika 4.16: Sonda 1. Situacija v vzhodnem delu sonde po odstranitvi koluvalnih plasti (foto: A. Gaspari; DSC_3722)
- Slika 4.17: Sonda 1. Presek koluvalnih depozitov v depresiji nad skalno stopnjo v vzhodnem pobočju. Pogled proti severu (foto: A. Gaspari; DSC_3775)
- Slika 4.18: Sonda 2. Začetna situacija po čiščenju poškodbe zaradi izrivanja borovega drevesa. Pogled proti severu (foto: A. Gaspari; DSC_3347)
- Slika 4.19: Sonda 2. Situacija po zamejitvi sonde in odstranitvi ruše. Pogled proti severu (foto: A. Gaspari; DSC_3398)
- Slika 4.20: Sonda 2. Ruševinska plast SE 2003 v južnem delu sonde (kv. 1). Pogled proti vzhodu (foto: A. Gaspari; DSC_3565)
- Slika 4.21: Sonda 2. Ruševinska plast SE 2003 v severnem delu sonde (kv. 2). Pogled proti severovzhodu (foto: A. Gaspari; DSC_3566)
- Slika 4.22: Sonda 2. Plast (SE 2007) v severnem delu sonde (kv. 2) obsega depozite iz časa gradnje in delovanja obzidja. Pogled proti severu (foto: A. Gaspari; DSC_3828)
- Slika 4.23: Sonda 2. Plast (SE 2007) na južnem delu sonde (kv. 1). Pogled proti jugozahodu (foto: A. Gaspari; DSC_3903)
- Slika 4.24: Sonda 2. Vzhodni presek južnega dela sonde (kv. 1) in površina plasti SE 2007. Pogled proti vzhodu (foto: A. Gaspari; DSC_3926)
- Slika 4.25: Sonda 2. Južni presek južnega dela sonde (kv. 1) in površina plasti SE 2012. Vidna interfacija vkopa za gradnjo obzidja. Pogled proti jugu (foto: A. Gaspari; DSC_4031)

- Slika 4.26: Sonda 2. Končna situacija v južnem delu sonde (kv. 1) s skalno podlago in ostanki glinene preperine. Pogled proti jugovzhodu (foto: A. Gaspari; DSC_4051)
- Slika 4.27: Sonda 2. Južni presek v južnem delu sonde (kv. 1) s skalno podlago, prazgodovinskimi depoziti, delovno površino in vkopom za obzidje, nasutjem/sedimenti in ruševino. Pogled proti jugu (foto: A. Gaspari; DSC_4111)
- Slika 4.28: Sonda 2. Končna situacija v severnem delu sonde (kv. 2) s skalno podlago in ostanki glinene preperine. Pogled proti jugovzhodu (foto: A. Gaspari; DSC_4054)
- Slika 4.29: Sonda 2. Severni presek v severnem delu sonde (kv. 1) s skalno podlago, ostanki glinene preperine in depoziti na notranji strani obzidja. Pogled proti severu (foto: A. Gaspari; DSC_4083)
- Slika 4.30: Sonda 2. Situacija ob zaključku izkopavanja. Pogled proti jugozahodu (foto: A. Gaspari; DSC_4109)
- Slika 5.1: Prazgodovinska keramika: a – fasetirano ustje lonca iz Sonde 1 (T. 4: 95); b – raven rob ustja ali sklede iz Sonde 2 (T. 5: 114) (foto: A. Gaspari)
- Slika 5.2: Galijenov antoninijan, najden na deponiji Sonde 1. M. = 1: 1 (foto: A. Gaspari)
- Slika 5.3: Poznoantična keramika iz ruševinske plasti (SE 2003; T. 5: 100–105) v Sondi 2 (foto: L. Škerjanec)
- Slika 5.4: Dno zgodnjesevnojeveškega lonca iz Sonde 1 (T. 2: 42) (foto: A. Gaspari)
- Slika 5.5: Ploščice pozno srednjeveškega ali zgodnjenovoveškega vitraja iz Sonde 1 (T. 1: 16; 4: 80, 81) (foto: A. Gaspari)
- Slika 6.1: Sonda 1. Harrisov diagram stratigrafskega zaporedja (izdelal: D. Kožuh).
- Slika 6.2: Sonda 2. Harrisov diagram stratigrafskega zaporedja (izdelal: D. Kožuh).
- Slika 7.1: Lončarske mase. LM 1–LM 28 (foto: D. Kožuh)
- Slika 7.2: Lončarske mase. LM 29–LM 56 (foto: D. Kožuh)
- Slika 7.3: Lončarske mase. LM 57–LM 82 (foto: D. Kožuh)
- Tabla 1: Sonda 1 - SE 0001. 1–10 kovina; 11–16 steklo; 17 kamen; ostalo keramika. M. 1–11, 13–14, 16 = 1 : 2; 12, 15 = 1 : 1; ostalo 1 : 3 (risba: P. Jendrašič; foto in izdelava: L. Škerjanec)
- Tabla 2: Sonda 1 - SE 0001. Vse keramika. M. 31, 45 = 1 : 2; ostalo 1 : 3 (risba: Petra Jendrašič; foto in izdelava: L. Škerjanec)
- Tabla 3: Sonda 1 - SE 0002. 47–55 kovina; 56 jantar; 57–59 steklo; ostalo keramika. M. 47–55, 57, 61 = 1 : 2; 56, 58–59 = 1 : 1; 76 = 1 : 4; ostalo 1 : 3 (risba: Petra Jendrašič; foto in izdelava: L. Škerjanec)
- Tabla 4: Sonda 1 - SE 0005, SE 0008, SE 0011, SE 0013–2016; Sonda 2 - SE 2001–2003. 77–79, 83, 88–90, 93, 97, 99 kovina; 80–81 steklo; ostalo keramika. M. 77–79, 82–83, 88–90, 93, 97, 99 = 1 : 2; ostalo 1 : 3 (risba: Petra Jendrašič; foto in izdelava: L. Škerjanec)
- Tabla 5: Sonda 2 - SE 2011–2012. 107 kovina; ostalo keramika. M. 1 : 2 (risba: Petra Jendrašič; foto in izdelava: L. Škerjanec)
- Tabela 8.1: Živalski ostanki z najdišča na zahodni vzpetini Grajskega hriba na Bledu (izkopavanja leta 2019) po kronoloških fazah. Količina ostankov je podana kot število taksonomsko opredeljenih primerkov (NISP) (B. Toškan).
- Tabela 8.2: Popisi najdb po zbiralnih enotah (B. Toškan)
- Priloga 1: Zahodni vrh Grajskega hriba (2018). Digitalni model reliefa (DMR10cm) (izdelal: A. Lazar, Geoservis, d.o.o.)
- Priloga 2: Zahodni vrh Grajskega hriba (2018). Načrt izmere arheološko relevantnih površinskih znakov, pojavnosti kamninske podlage na površini, stojišč prostorske izmere in izhodišč merilnega sistema geofizikalnih raziskav (podlaga: DMR10 cm; meritve: A. Gaspari; izvedba: B. Kumer)
- Priloga 3: Sonda 1. Faza kvadratnega objekta. Tlorisna situacija: FS 1003 in FS 1010 (podlaga: 3D fotogrametrija in prostorska izmera; foto in izdelava: B. Kumer)
- Priloga 4: Sonda 1. Faza kvadratnega objekta. Tlorisna situacija (podlaga: 3D fotogrametrija in prostorska izmera; izdelal: B. Kumer)
- Priloga 5: Sonda 1. Faza prazgodovinskega kolvija. Tlorisna situacija: FS 1010 in FS 1011 (podlaga: 3D fotogrametrija in prostorska izmera; foto in izdelava: B. Kumer)
- Priloga 6: Sonda 1. Faza prazgodovinskega kolvija. Tlorisna situacija (podlaga: 3D fotogrametrija in prostorska izmera; izdelal: B. Kumer)
- Priloga 7: Sonda 1. Presek severnega roba izkopnega polja: FS 1014 (podlaga: 3D fotogrametrija in prostorska izmera; foto in izdelava: B. Kumer)
- Priloga 8: Sonda 1. Presek severnega roba izkopnega polja (podlaga: 3D fotogrametrija in prostorska izmera; izdelal: B. Kumer)
- Priloga 9: Sonda 2. Faza poznoantične ruševine. Tlorisna situacija: FS 2003 (podlaga: 3D fotogrametrija in prostorska izmera; foto in izdelava: B. Kumer)
- Priloga 10: Sonda 2. Faza poznoantične ruševine. Tlorisna situacija (podlaga: 3D fotogrametrija in prostorska izmera; izdelal: B. Kumer)



- Priloga 11: Sonda 2. Faza sedimenta na hodni površini ob poznoantičnem obzidju. Tlorisna situacija: FS 2004 (podlaga: 3D fotogrametrija in prostorska izmera; foto in izdelava: B. Kumer)
- Priloga 12: Sonda 2. Faza sedimenta na hodni površini ob poznoantičnem obzidju. Tlorisna situacija (podlaga: 3D fotogrametrija in prostorska izmera; izdelal: B. Kumer)
- Priloga 13: Sonda 2. Ostanki prazgodovinskih depozitov po izdelavi vkopa za poznoantično obzidje. Tlorisna situacija: FS 2007 in FS 2011 (podlaga: 3D fotogrametrija in prostorska izmera; foto in izdelava: B. Kumer)
- Priloga 14: Sonda 2. Ostanki prazgodovinskih depozitov po izdelavi vkopa za poznoantično obzidje. Tlorisna situacija (podlaga: 3D fotogrametrija in prostorska izmera; izdelal: B. Kumer)
- Priloga 15: Sonda 2. Preseki severnega, vzhodnega in južnega roba izkopnega polja. FS 2010, 2013 in 2014 (podlaga: 3D fotogrametrija in prostorska izmera; foto in izdelava: B. Kumer)
- Priloga 16: Sonda 2. Preseki severnega, vzhodnega in južnega roba izkopnega polja (podlaga: 3D fotogrametrija in prostorska izmera; izdelal: B. Kumer)



Poglavje A

Podatki o raziskavi

1. Številka soglasja za raziskavo: 62240-171/2019/2 z dne 10. 5. 2019
2. Koda raziskave: 19-0227
3. Ime najdišča: Arheološko najdišče na zahodnem vrhu Grajskega hriba na Bledu
4. Naselje: Bled
5. Občina: Bled
6. Katastrske reference: 397/1, k. o. 2190 - Bled
7. Lastnik zemljišč: Občina Bled, Cesta svobode 13, 4260 Bled
6. Evidenčna številka dediščine: EŠD 23 Bled - Arheološko najdišče Grad
9. Vrsta najdišča: naselbina
10. Okvirna datacija najdišča: pozna bronasta doba–zgodnje halštatsko obdobje, poznorimsko obdobje, visoki in pozni srednji vek, zgodnji novi vek
11. Razlog za izvedbo raziskave: določitev vsebine in obsega ter ocena arheološkega potenciala najdišča
12. Vrsta raziskave: (šibko) invazivna
13. Raziskovalni postopek: arheološki podpovršinski pregled, arheološki strukturni pregled, stavbna analiza, arheološki testni izkop, vzorčenje z vrtnami
14. Posebne okoliščine raziskave: /
15. Izvajalec: Univerza v Ljubljani, Filozofska fakulteta
16. Vodja raziskave: dr. Andrej Gaspari, univ. dipl. arheol.
17. Trajanje terenskih del raziskave: 1. 7. 2019–12. 7. 2019
18. Način ureditve območja po končani raziskavi: vzpostavitev prvotnega stanja
19. Avtorji poročila: dr. Andrej Gaspari, univ. dipl. arheol.; Manca Vinazza, univ. dipl. arheol.; dr. Borut Toškan, univ. dipl. biol.; Blaž Kumer, dipl. arheol.; Luka Škerjanec, dipl. arheol.; Dejan Kožuh, dipl. arheol.

Potek in rezultati raziskave

Uvod

Na pobudo Zavoda za kulturo Bled je bila leta 2018 pripravljena zasnova celovitih raziskav za oceno potenciala arheološkega najdišča na zahodnem vrhu Grajskega hriba (parc. št. 387/1 k. o. 2190 - Bled; EŠD 23 Bled - Arheološko najdišče Grad) z namenom določitve in vsebinske zasnove najprimernejših načinov vključitve njihovih rezultatov v obstoječe in nove oblike predstavitve in promocije kulturne in naravne dediščine na širšem območju Blejskega gradu. V sodelovanju s pristojno konservatoriko Zavoda za varstvo kulturne dediščine Slovenije, Območna enota Kranj (v nadaljevanju ZVKDS OE Kranj), je bila zasnovana integrirana arheološka raziskava najdišča, ki obsega sedlasto izravnavo, samo vzpetino zahodnega vrha in priležne terase na severnem, zahodnem in južnem pobočju ter na katerem so bile evidentirane ostaline iz prazgodovine (eneolitik, pozna bronasta doba, starejša železna doba), pozne antike in zgodnjega srednjega veka.

V okviru omenjenega koncepta in terminskega načrta raziskav so bili med aprilom in junijem 2018 izvedeni arheološki strukturni pregled najdišča (A. Gaspari), terestrično skeniranje območja (Geoservis, d. o. o.) in geofizikalne meritve (Gearh, d. o. o.). Na podlagi rezultatov predhodnih del je bil izdelan delovni načrt nadaljnjih (šibko)invazivnih raziskav za določitev obsega in vsebine najdišča ter končne ocene njegovega arheološkega potenciala, ki je predvidel vzorčenje z vrtnami in izkop testnih sond. Lokacije sond oziroma izkopnih polj in strategije podpovršinskega vzorčenja v nadaljevanju raziskav za pojasnitev kronologije ter značaja in notranje organiziranosti arheološkega najdišča so bile zasnovane na podlagi integracije rezultatov

geofizikalnih raziskav in interpretacije površinskih znakov, dokumentiranih med strukturnim pregledom, upoštevani pa so bili tudi rezultati dokumentiranja posledic žleda iz leta 2014 na širšem območju obravnave (CPA ZVKDS, 2015).

Terenska dela raziskave so se začela z vzorčenjem z vrtinami 14. junija 2019, izkop testnih sond pa je v 10 delovnih dneh med 1. in 12. julijem 2019 izvedla ekipa Oddelka za arheologijo Filozofske fakultete Univerze v Ljubljani pod vodstvom doc. dr. Andreja Gasparija.

Uporabljeni postopki in metode

V okviru strukturnega pregleda so bili opravljeni vizualna identifikacija in karakterizacija izpostavljenih arheološko relevantnih značilnosti (vidni deli grajenih struktur, umetne terase in prelomi, vkopane strukture in preoblikovana kamninska podlaga) in pojavnost matične kamninske podlage na površini ter njihovo prostorsko in slikovno dokumentiranje.

Med terestričnim laserskim skeniranjem vzpetine je bilo na površini okoli 8000 m² zajetih 1.444.651.694 točk iz 49 stojišč. Iz filtriranega oblaka točk so bili izdelani točkovni digitalni model reliefa (DMR), topografske karte in situacijski načrt.

Geofizikalna raziskava je obsegala magnetno metodo, meritve magnetne susceptibilnosti, nizkofrekvenčno elektromagnetno metodo, georadarsko metodo in 2D upornostno tomografijo. Za ugotavljanje prostorske korelacije med položajem geofizikalnih anomalij in arheološko relevantnimi površinskimi oblikami sta bila uporabljena načrt arheološkega strukturnega pregleda in digitalni model reliefa, pridobljen s terestričnim laserskim skeniranjem. Za vsako od uporabljenih geofizikalnih metod so na prikazih posameznih območij označena anomalna območja.

Geofizikalna raziskava je bila dopolnjena z vzorčenjem z vrtinami, ki je bilo izvršeno z ročnim pedološkim vrtalnikom na jedro na 13-tih mestih. Na vseh vzorčnih mestih so bili pridobljeni vzorci do globine 30 cm pod današnjo površino. Vsem vzorcem je bila najprej z ročnim merilcem magnetne susceptibilnosti izmerjena susceptibilnost z namenom ugotavljanja navidezne namagnetnosti tal. V nadaljevanju je bila opravljena sejalna analiza in optična mikroskopska preiskava presevkov vzorcev jeder po globinskih intervalih 10 cm za ugotavljanje njihove sestave in ločevanje arheološkega materiala na izbranih lokacijah.

V okviru raziskovalnih posegov v letu 2019 sta bili v prvi polovici julija izkopani dve sondi, od katerih je bila večja (Sonda 1; 14 × 2 m) umeščena pravokotno na območje magnetne anomalije in ocenjen potek zidane strukture na vzhodnem obodu vršnega platoja, manjša sonda (Sonda 2; 4 × 1,2 m) pa je zajela poškodbo na jugozahodnem delu najdišča, ki je bila preliminarno dokumentirana ob ugotavljanju posledic žleda leta 2014. Arheološki testni izkop je potekal po stratigrafski metodi z opisnim in grafičnim ter prostorskim dokumentiranjem struktur, mejnih površin in depozitov ter predmetov drobne materialne kulture in vzorcev. Ročni izkop je zajel vse depozite do skalne geološke podlage. Ob zaključku raziskave se je zahodna polovica sonde 1 z grajeno strukturo prekrila z geotekstilom ter nato skupaj s preostankom sonde zasula s predhodno odstranjenim materialom. Dno sonde 2 se je obložilo z razžaganimi kosi debel padlih dreves in vejevja, na katerega se je nasulo izkopano kamenje in zemljino.

V okviru izdelave strokovnega poročila so bili pridobljeni podatki integralno ovrednoteni in primerjani z ugotovitvami arheološkega strukturnega pregleda ter interpretacijo rezultatov geofizikalnih in geokemičnih raziskav, pa tudi s spoznanji kabinetne analize podatkov o starejših arheoloških odkritjih z obravnavanega območja ter sledovih komunikacij in druge rabe prostora, pridobljenih z analizo historičnih zemljevidov in z daljinskim zaznavanjem. Našteto predstavlja dobro osnovo za načrtovanje nadaljnjih raziskovalnih posegov, ki bi lahko prispevali k celovitejši oceni potenciala najdišča in primernosti načinov njegove prezentacije.

Povzetek preliminarnih spoznanj

Arheološko najdišče na zahodnem vrhu Grajskega griča je bilo do nedavna deležno precej manjše pozornosti kot nekatere druge lokacije v okviru arheološkega kompleksa, evidentiranega kot EŠD 23 Bled - Arheološko najdišče Grad. Ta vključuje ostanke naselbinskega in grobiščnega značaja ter posamične najdbe iz prazgodovine, rimskega obdobja, pozne antike in zgodnjega srednjega veka, prostorsko pa obsega osrednji vrh Grajskega hriba (602 m nm. v.), vzpetino v podaljšku grebena Na pečeh in nižji grič Bledec na severovzhodni strani, obravnavan zahodni vrh grebena, južna pobočja do jezera, območje cerkve sv. Martina na jugovzhodni strani, na zahodu del planote Višce, na severu pa Pristavo z okoliškimi vzpetinami.

Arheološko najdišče na zahodnem vrhu sestavljajo štiri enote, in sicer vršni plato ovalne oblike (575 m nm. v.) velikosti približno 27 × 25 m, izravnava s tremi terasami na južni strani, pobočje s spodnjo teraso na jugozahodnem delu ter izravnava na sedlu. Teren je bil v veliki meri umetno preoblikovan in sicer v določenem obsegu z gradnjo poznoantične naselbine, ki je zabilasla morebitne površinske sledove predhodne prazgodovinske poselitve, medtem ko večji del prepoznanih struktur in sledov terasiranja pripada mlajšim obdobjem.

Preliminarna kabinetna analiza razpoložljivih arhivskih in arheoloških virov ter površinski in strukturni pregled, dopolnjena s terestričnim skeniranjem lokacije so nakazali, da se na območju vzpetine in priležnega sedla, ki zahodni vrh loči od grebena z gradom, pojavljajo najdbe naselbinskega značaja iz pozne bronaste dobe oz. začetka starejše železne dobe ter bolj očitni ostanki zidanih struktur in teras, ki smo jih na podlagi preliminarne opredelitve gradbenih značilnosti in sporočenih drobnih najdb v študiji iz leta 2018 z nekaj pridržka umestili v poznoantično obdobje. Izhodiščno vrednotenje so nagradili rezultati geofizikalnih raziskav. Ti so opozorili na obstoj krožne anomalije na vršnem platoju, za katero smo domnevali funkcionalno povezanost s krožno potekajočim zidom na vzhodnem pobočju vzpetine in (morda večfazno) gradbeno-naselbinsko dejavnost na sedlu ter okrepili domneve o poteku obzidja oz. obodnega zidu na severni stranici sedla in na južnem in zahodnem delu vzpetine. Sondiranje v letu 2019, usmerjeno v preverjanje predhodnih ugotovitev in domnev o dinamiki obljudenosti lokacije in stavbnih ostankih iz posameznih obdobj, je del teh domnev potrdilo in nadgradilo, nekatera vprašanja, kot npr. datacija in funkcija opornega zidu na vzhodnem delu vršnega platoja ali arheološka vsebina krožne anomalije na njegovem notranjem obodu, zaznane z geofizikalno raziskavo, pa ostajajo neodgovorjena.

Sondiranje, izvedena v letu 2019, so omogočila nadgradnjo dosedanjega vedenja o obljudenosti zahodne vzpetine Grajskega hriba med prazgodovino in zgodnjim novim vekom, vendar ne povsem v pričakovani meri. Razmeroma številni odlomki keramike ter igla s stožčasto glavico in jantarna jagoda skupaj s predhodnimi najdbami z lokacije potrjujejo, da gre za del širšega naselbinskega kompleksa, ki je svoj višek doživel na prehodu bronaste v železno dobo (Ha B3–C1; 9.–8. stol. pr. n. št.), posamične keramične najdbe pa indicirajo tudi določeno obljudenost v mlajšem halštatu (Ha D, 6.–5. stoletje pr. n. št.). Glede na terenskih razvid prazgodovinske najdbe niso bile odkrite v primarnih kontekstih odložitve, temveč bolj ali manj resedimentirane, izven prepoznavnih skupkov in brez očitnih povezav na izvorne depozite ali strukture. Iz prazgodovine so se ohranile so le (manjše) zaplate pokopanih tal tik nad skalno podlago, brez pripadajočih hodnih površin ali kakršnih koli ostankov stavb. Poznejša raba prostora je zabilasla tudi (površinske) sledove morebitnega utrjevanja te, že naravno dobro zavarovane lege. Analiza arheozoološkega gradiva iz starejšeželeznodobnih celot je pokazala na prevlado drobnice in popolno odsotnost najdb prašiča, kar se verjetno navezuje na naravne danosti lokalne krajine, ki je bolj naklonjena ovčereji in kozjereji kot pa reji prašičev.

Antoninijani in bronasti novci ter precej redki odlomki keramičnih posod in steklenega nakita odsevajo naslednje, čeravno manj markantno obdobje intenzivnejše obljudenosti lokacije v drugi polovici 3. stoletja in v zgodnjem 4. stoletju. Dokazi za vzpon poselitve v temu času so bili odkriti tudi na drugih delih Grajskega hriba in na Pristavi, vendar je zbrana evidenca trenutno še preskromna za oblikovanje prepričljivejših sklepov o morebitnem vzporednicah s fenomenom začetkov uporabe poznorimskih višinskih naselbin v času vladavin Galijena in Avrelijana.

Izkopavanja so nasprotno dala oprijemljivejše podatke o poznoantični naselbini, pri čemer so le ti dejansko omejeni na razvid v sondi na njenem jugozahodnem delu, medtem ko izkop na vzhodnem pobočju vršnega platoja praktično ni dal nobenih tozadevno relevantnih rezultatov. Zdaj je jasno, da sta bila jugozahodni vogal in južni rob za naselitev primernege dela zahodnega vrha zavarovana z okoli 60 cm širokim obzidjem, pri gradnji katerega so se naslonili na skalno podlago v prelomu zložnejših v prepadna pobočja. Verjetno je bil na enak način zavarovan tudi jugovzhodni vogal nad škrbino, po kateri je potekal eden od možnih dostopov. Glavnina poznoantičnega gradiva v sondi 1 je bila odkrita v plasti temnega peščenega melja z manjšimi in srednjevelikimi karbonatnimi kamni, ki je že prekrila mejno površino uničenja obzidja, kar pomeni, da na tem delu naselbine tik ob obzidju morebitna obsežnejša sekvenca iz nasutih za hodne površine in sedimentov ni ohranjena oziroma je sploh ni bilo. Struktura najdb iz humificirane plasti rjavega melja, ki leži nad ruševino in pod gozdno rušo, kaže, da pobočni depoziti v jugozahodnem delu naselbine primerjalno skrivajo več prazgodovinske kot poznoantične keramike. Med slednjo se pojavljajo odlomki loncev iz drobnozrnate gline s primesmi kremenca, sljude in organskih snovi, žgane v nepopolni oksidacijski atmosferi, ki imajo najbližje analogije med gradivom z Gradišča nad Bašljem in Ajdne nad Potoki ter jih je mogoče z nekaj pridržka uvrstiti med gradivo iz 5./6. stoletja. Dva fragmenta iz obravnavanega konvoluta keramike iz sonde 2 sta okrašena z motivom enolinijske, nepravilno izvedene valovnice, ki je na Tonovcovem gradu značilna za plasti druge poznoantične faze, zamejene s koncem 5. in začetkom 7. stoletja.

Po delovni hipotezi je poznoantična naselbina na zahodnem vrhu obsegala tudi predprostor na sedlu, ki se proti vzhodu izklini v oster greben proti Gradu. Situacija v sondi 1 kaže, da vršnega platoja zahodnega vrha od predprostora v temu času ni ločevala nobena zidana struktura, kar je skladno z domnevo o poznoantičnem izvoru obzidja na severnem robu sedla. Očitno gre za del večjega naselbinskega kompleksa na območju Grajskega hriba, ki je poleg vrha pečine vključeval še lokacijo Na sedlu pod gradom in območje Na pečeh ter je bil nedavno potrjen tudi z odkritjem zidanih stavb in spremljajočih depozitov ob prenovi parka pod parkiriščem. Keramične najdbe, ki na zahodnem vrhu obsegajo izključno grobo kuhinjsko keramiko z najbližjimi primerjavami na Ajdni in Gradišču nad Bašljem, dopuščajo datiranje naselbinskega kompleksa v 5./6. stoletje, na kar napeljujejo tudi preliminarna opažanja o gradivu iz sondiranj lokacije Na sedlu, ki vključuje uvoženo (glazirano in transportno) posodje.

V zvezi z zgodnesrednjeveško obljudenostjo zahodnega vrha, kot jo indicirajo posamične predhodne najdbe z lokacije, sondiranja v letu 2019 niso dala oprijemljivih rezultatov. Odlomki keramičnega posodja z značilno porozno lončarsko maso, neenakomernega žganja in voščenega otipa, karakteristični za slovanska naselitvena območja, so redki, številnejša pa je keramika, ki jo je zaradi stopnje fragmentacije in odsotnosti zaprtih kontekstov izjemno težko ločiti od prazgodovinske lončenine, s čimer so se srečevali tudi raziskovalci gradiva s Pristave in najdišč na Grajskem hribu.

Arheološka stratifikacija in morebitne strukture starejše provenience na vršnem platoju zahodnega vrha so bili očitno močno preoblikovani oz. uničeni s posegi, ki jih glede na prevladujoče gradivo umeščamo okvirno med 15./16. in 17./18. stoletje. Odsotnost opaznejših količin malte in druge ruševine govorita za arhitekturo z zidanimi/kamnitimi temelji in leseno nadgradnjo. Na podlagi le z enim primerkom zastopane opeke s polkrožnim zaključkom in množice žebeljev z dolžino okoli 6,5–8,5 cm, odkritih v podobni gostoti po vseh raziskanih kvadrantih sonde 1, bi smeli domnevati o večjih površini nadstrešenih prostorov oz. objektov, kritih s skodlami. Ob tem preseneča redkost drugih tipov železnih stavbnih elementov, zlasti večjih tesarskih žebeljev, kar prav tako nakazuje prevladujočo rabo moznikov za spoje in pretežno lesene konstrukcije, kar je nekako v nasprotju s precej pogostimi odlomki neglaziranih in glaziranih pečnic (*T. 2: 31*) in pripadajočih opek, ki kažejo na ogrevane bivalne prostore. Posebno presenečenje so ostanki pihancev in trikotnih steklenih ploščic vitraja, preliminarno datiranih v 15./16. stoletje, očitno delov stavbne zasteklitve (manj verjetno luksuznega pohištva).

O bivalnem standardu prebivalcev tega, morda samo občasno nastanjenega stavbnega kompleksa v neposredni bližini Blejskega gradu, govorijo odlomki namiznega steklenega in keramičnega posodja (gravirani in poslikani ter glazirani krožniki, sklede, ročke) ter bolj običajna kuhinjska keramika (lonci s pokrovi, kozice-trinožniki ...). V plasteh, ki jih povezujemo z mlajšo okupacijo lokacije, je bila najdena precejšnja količina arheozooloških ostankov, v okviru katerih deleža goveda in drobnice prevladujeta nad deležem prašiča. Glede na zastopanost

jelena, bobra, medveda, divjih ptičev in kulinarično zanimivih morskih školjk velja celoten zbir razumeti kot ostanek prehrane prebivalcev bližnjega gradu.

Strukturiranost najdb iz nakazanega časovnega okvira kaže na ne nujno sočasen obstoj bivanjskih in gospodarskih stavb, kar odpira vprašanja o morebitnih spremembah rabe lokacije v času pred njihovim zatonom, do katerega je prišlo najpozneje ob koncu 18. stoletja, ko se vzpetina pogrezne v anonimnost gozdnih zemljišč v okolici gradu. Močna premešanost depozitov in izrazito terasiranje mlajše datacije ter neohranjenost struktur in pripadajočih plasti iz starejših obdobjev nakazujejo intenzivne zemeljske posege, katerih naravo je težko opredeliti; glede na lego je skoraj nepredstavljivo, da bi šlo za navažanje odpadnega materiala od drugod, verjetnejše se zdi, da gre za sledove vrtno-arhitekturnega urejanja vzpetine s terasami, potmi ter posameznimi stavbami oz. paviljoni (?).

Upoštevajoč rezultate geofizikalne raziskave, ki so na vzpetini izdajali koncentričen pas termoremanentnih anomalij in veliko količino žebeljev za skodle na razmeroma majhnem prostoru sonde se je izoblikovala teza o obstoju kovaške proizvodnje v odprtih objektih, ki so se vrstili okrog vršnega platoja, morda kar pod skupno streho, ki je obdajala osrednje dvorišče. Temu bi lahko sicer pritrjevali kosi žlindre, vendar jih zaenkrat ni mogoče povezati s konkretnim obdobjem, poleg tega pa prepričljivost tej tezi jemlje tudi skoraj neverjetno skromna zastopanost oglja ali žganinskih depozitov. V luči teh dejstev je samo po sebi umevno, da lahko relevantnost interpretacije geofizikalne raziskave, ki na območju sedla predvidevajo obsežno metalurško dejavnost, potrdijo ali ovržejo samo invazivni posegi v pod površje.



Slika A.1: Aerofotografija območja Grajskega hriba in Pristave s severa (foto: J. Hanc, 24. 3. 1995; arhiv Arheološkega oddelka NMS)



Slika A.2: Sonda 1. Začetek del na vršnem platoju po odstranitvi ruše. V ospredju vidni zidovi kvadratne stavbe, datirane med 15./16. in 17./18. stoletje (foto: A. Gaspari; DSC_2801)



Slika A.3: Sonda 2. Plast (SE 2007) v severnem delu sonde (kv. 2) obsega mešane depozite iz časa gradnje in delovanja obzidja. Pogled proti severu (foto: A. Gaspari; DSC_3828)



Poglavje B

Podatki o raziskavi:

1. Številka soglasja za raziskavo: 62240-171/2019/2 z dne 10. 5. 2019
2. Koda raziskave: 19-0227
3. Ime najdišča: Arheološko najdišče na zahodni vzpetini Grajskega hriba na Bledu
4. Naselje: Bled
5. Občina: Bled
6. Katastrske reference: 397/1, k. o. 2190 - Bled
7. Lastnik zemljišč: Občina Bled, Cesta svobode 13, 4260 Bled
8. Kartografske reference: GKY: 430981; GKX: 136606; Lat: 46°22'11,95" (46,369987°); Lon: 14°05'53,19" (14,098108°); ETRS89 X: 430611; ETRS89 Y:137091.
9. Evidenčna številka dediščine: EŠD 23 Bled - Arheološko najdišče Grad
10. Vrsta najdišča: naselbina
11. Okvirna datacija najdišča: pozna bronasta doba–zgodnje halštatsko obdobje, poznorimsko obdobje, visoki in pozni srednji vek, zgodnji novi vek
12. Razlog za izvedbo raziskave: določitev vsebine in obsega ter ocena arheološkega potenciala najdišča
13. Vrsta raziskave: (šibko) invazivna
14. Raziskovalni postopek: arheološki arheološki podpovršinski pregled, arheološki strukturni pregled, stavbna analiza, arheološki testni izkop, vzorčenje z vrtnami
15. Posebne okoliščine raziskave: /
16. Izvajalec: Univerza v Ljubljani, Filozofska fakulteta, Aškerčeva 2, 1000 Ljubljana
17. Odgovorna oseba izvajalca: dr. Roman Kuhar (dekan)
18. Vodja raziskave: dr. Andrej Gaspari, univ. dipl. arheol.
19. Namestnik vodje raziskave: Rene Masaryk, univ. dipl. arheol.
20. Strokovni sodelavci: dr. Andrej Gaspari, univ. dipl. arheol.; dr. Tina Milavec, Manca Vinazza, univ. dipl. arheol.; dr. Branko Mušič, univ. inž. geol.; dr. Borut Toškan, univ. dipl. biol.; Aleš Lazar, univ. dipl. geod.; Blaž Kumer, dipl. arheol.; Luka Škerjanec, dipl. arheol.; Dejan Kožuh, dipl. arheol.
21. Vir financiranja: Zavod za kulturo Bled, Cesta svobode 11, 4260 Bled (zanj: Matjaž Završnik).
22. Nadzornica raziskave: Judita Lux, univ. dipl. arheol., višja konservatorica
23. Pristojna OE ZVKDS: Kranj
24. Trajanje terenskih del raziskave: 1. 7. 2019–12. 7. 2019
25. Mestočasne hrambe arhiva najdišča: Oddelek za arheologijo, Zavetiška 5, 1000 Ljubljana
26. Način ureditve območja po končani raziskavi: vzpostavitev prvotnega stanja
27. Ogroženost: gozdna dela; nepooblaščen uporaba detektorjev kovin

Uvod

Opis motivov in ciljev raziskave

Na pobudo Zavoda za kulturo Bled je bila leta 2018 pripravljena zasnova celovitih raziskav za oceno potenciala arheološkega najdišča na zahodnem vrhu Grajskega hriba (parc. št. 387/1 k.o. 2190 - Bled; EŠD 23 Bled - Arheološko najdišče Grad; *Sl.* 1.1–1.6) z namenom določitve in vsebinske zasnove najprimernejših načinov vključitve njihovih rezultatov v obstoječe in nove oblike predstavitve in promocije kulturne in naravne dediščine na širšem območju Blejskega gradu. V sodelovanju s pristojno konservatorico Zavoda za varstvo kulturne dediščine Slovenije, Območna enota Kranj (v nadaljevanju ZVKDS OE Kranj), je bila zasnovana integrirana arheološka raziskava najdišča, ki obsega sedlasto izravnavo, samo vzpetino zahodnega vrha in priležne terase na severnem, zahodnem in južnem pobočju ter na katerem so bile evidentirane ostaline iz pozne prazgodovine (eneolitik, pozna bronasta doba, starejša železna doba), pozne antike in zgodnjega srednjega veka (glej Knific 2008; Gerbec 2009).

Potek del in sestava raziskovalne ekipe

V okviru omenjenega koncepta in terminskega načrta raziskav so bili po naročilu Zavoda za kulturo Bled in na podlagi pozitivnega mnenja ZVKDS OE Kranj (35101-0519/2018-3 z dne 20. 6. 2018) med aprilom in junijem 2018 izvedeni arheološki strukturni pregled najdišča (Gaspari 2018; v sodelovanju s podjetjem A & K, d.o.o.), terestrično skeniranje območja (Lazar 2018; Geoservis, d. o. o.) in geofizikalne meritve (Mušič et al. 2018; Gearh, d. o. o.). Na podlagi rezultatov predhodnih del je bil izdelan delovni načrt nadaljnjih (šibko)invazivnih raziskav za določitev obsega in vsebine najdišča ter končne ocene njegovega arheološkega potenciala (Gaspari 2019), ki je predvidel vzorčenje z vrtinami in izkop testnih sond. Lokacije sond oziroma izkopnih polj in strategije podpovršinskega vzorčenja v nadaljevanju raziskav za pojasnitev kronologije ter značaja in notranje organiziranosti arheološkega najdišča so bile zasnovane na podlagi integracije rezultatov geofizikalnih raziskav in interpretacije površinskih znakov, dokumentiranih med strukturnim pregledom, upoštevani pa so bili tudi rezultati dokumentiranja posledic žleda na širšem območju obravnave (Jerala et al. 2015; ZVKDS, CPA). Vse raziskovalne posege v letih 2018 in 2019 je naročil in v celoti financiral Zavod za kulturo Bled na pobudo direktorja, g. Matjaža Završnika, ki se mu vodja arheološke ekipe tudi na tem mestu zahvaljuje za izkazano zaupanje in izjemno konstruktivno sodelovanje.

Po pridobitvi soglasja lastnika za poseg v nepremičnino je ZVKDS OE Kranj z dokumentom št. 35101-0519/2018-5 z dne 23. 4. 2018 potrdil metode arheoloških raziskav, predlaganih v delovnem načrtu, Zavod za gozdove Slovenije, Območna enota Bled, pa je na podlagi vloge izvajalca za poseg izdal soglasje št. 3407-26/2019 z dne 14. 5. 2018, s katerim je dovolil odstranitev travne ruše in gozdne podrasti na območju testnega sondiranja na površini manjši od 30 m².

Arheološki poseg sta na podlagi kulturno-varstvenega soglasja za raziskavo in odstranitev arheološke ostaline Ministrstva za kulturo št. 62240-171/2019/2 z dne 10. 5. 2019 pod vodstvom dr. Andreja Gasparija izvedli ekipa podjetja Gearh, d.o.o. (vzorčenje z vrtinami) in Oddelka za arheologijo Filozofske fakultete Univerze v Ljubljani (arheološki testni izkop). Za nadzornico raziskave je bila imenovana Judita Lux, višja konservatorica ZVKDS OE Kranj.

Terenska dela raziskave so se začela z vzorčenjem z vrtinami 14. junija 2019, izkop testnih sond pa se je izvršil v 10 delovnih dneh med 1. in 12. julijem 2019. Arheološko ekipo so poleg vodje sestavljali še doc. dr. Tina Milavec in asist. Manca Vinazza ter študentje drugostopenjskega študija arheologije Blaž Kumer, Luka Škerjanec in Dejan Kožuh. Dela so potekala v ugodnih vremenskih pogojih in brez posebnosti, ob usklajenem sodelovanju z nadzornico raziskave, predstavnikom naročnika (g. Matjaž Završnik), pristojno sodelavko Zavoda za gozdove Slovenije (ga. Janja Lukanc), pristojno kustosinjo Gorenjskega muzeja Kranj (ddr. Verena Perko) in skrbnikoma gozdnih parcel v lasti Občine Bled (Peter Vukotič). Poleg navedenih so si potek terenskih del ogledali še številne kolegice in kolegi arheologi, študentke in študenti arheologije ter Srečo Vernig, predsednik Muzejskega društva Bled, in Marko Vidic, sodelavec Zavoda za kulturo Bled.



Slika 1.1:
Območje
Grajskega
hriba na
Bledu z
izbranimi
najdišči
(podlaga
TTN5; ©
GURS;
dopolnil: A.
Gaspari)



Slika 1.2:
Širše
območje
raziskave na
načrtu iz
leta 1807
(Arhiv RS,
AS 1068,
2/134)



Slika 1.3: Grajski hrib s Straže. Pogled z juga (foto: A. Gaspari; DSC_5394)



Slika 1.4: Zahodni vrh s severa (foto: A. Gaspari; DEST3997)

Postopki raziskave

Arheološki strukturni pregled (2018)

V okviru strukturnega pregleda, izvedenega med 20. in 30. junija 2018, so bili opravljeni vizualna identifikacija in karakterizacija izpostavljenih arheološko relevantnih značilnosti (vidni deli grajenih struktur, umetne terase in prelomi, vkopane strukture in preoblikovana kamninska podlaga) in pojavnost matične kamninske podlage na površini ter njihovo prostorsko in slikovno dokumentiranje (*Priloga 2*). Dokumentiranje je obsegalo meritve zgornjih in spodnjih linij opazovanih fenomenov (917 meritev) s totalno postajo Leica TPS 307 in njihovo fotografiranje z digitalnim fotoaparatom. V okviru pregleda se je opravila tudi izmera količkov - izhodišč merilnega sistema/mreže geofizikalne raziskave (50 meritev) z namenom natančnejšega mikrotopografskega pozicioniranja detektiranih značilnosti v podpovršju (*Tabela 2.1*). Stojišča ST 02 in ST 03 so bila umeščena z uporabo DGPS naprave Leica GPS500, stojišča ST 04 do ST 09 pa z elektronskim tahimetrom Leica TPS 307 z izhodiščem na stojišču ST 02 z orientacijo na ST 03. Izmere s tahimetrom so se opravljale v državnem koordinatnem sistemu D48/GK (EPSG 3912), meritve z DGPS napravo pa v koordinatnem sistemu WGS84 ob naknadni pretvorbi v državni koordinatni sistem. V poterenski fazi so bili izvedeni kabinetna obdelava dokumentacije terenskih izmer in priprava kartografskih podlag ter klasifikacija in interpretacija arheološko relevantnih značilnosti (SE 001–SE 014), pred posegi v letu 2019 pa še pretvorba meritev v novi državni koordinatni sistem D96/TM (ETRS).

KS	Stojišče	x (<i>Easting</i>)	y (<i>Northing</i>)	z (m nm. v.)	Naprava
D48/GK	ST 02	430975.2169	136603.5926	575.627	GPS500
D48/GK	ST 03	430975.5222	136604.9512	575.609	GPS500
D48/GK	ST 04	430991.9581	136609.6804	575.168	TS307
D48/GK	ST 05	430991.7378	136589.3578	574.608	TS307
D48/GK	ST 06	431019.3176	136610.3205	566.695	TS307
D48/GK	ST 07	430975.0773	136577.7918	570.695	TS307
D48/GK	ST 08	430955.9782	136574.6307	564.765	TS307
D48/GK	ST 09	431024.2235	136578.9691	567.545	TS307

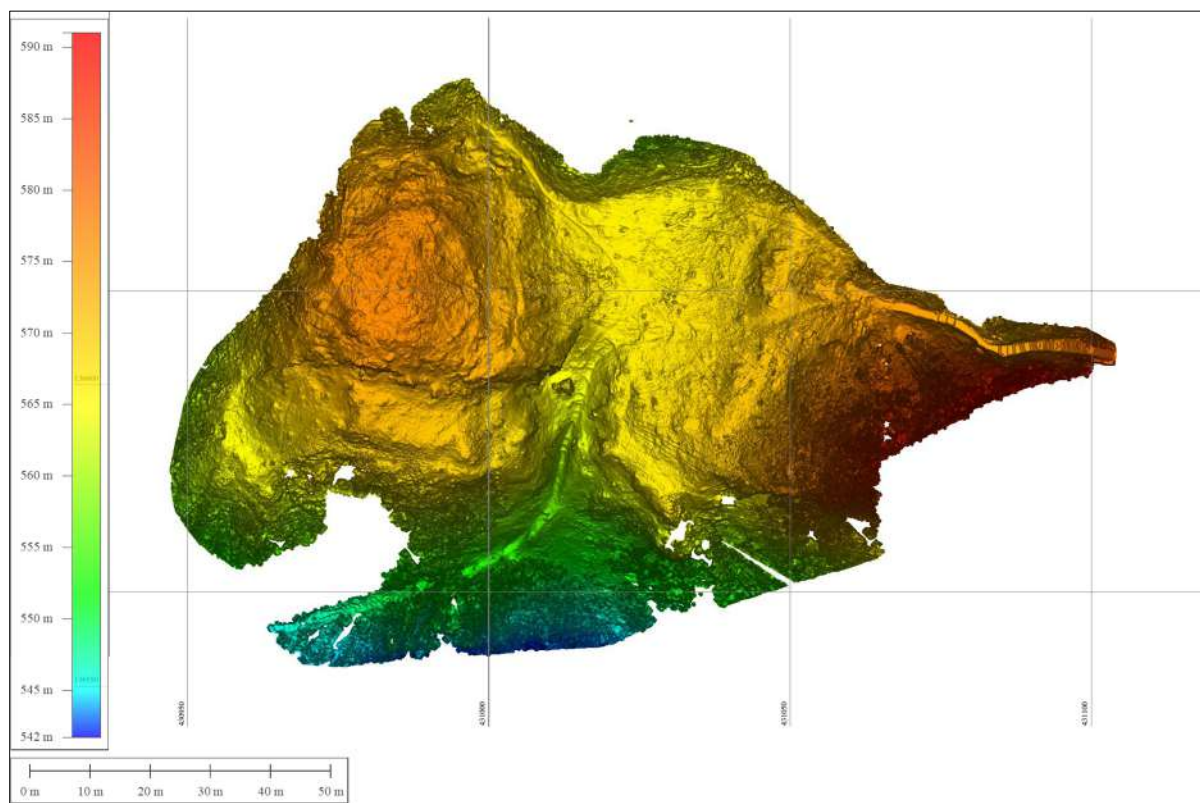
Tabela 2.1: seznam izhodišč merilnega sistema – stojišč v letu 2018

Terestrično lasersko skeniranje (2018)

Za izvedbo terestričnega laserskega skeniranja vzpetine sta bila uporabljena laserska skenerja Leica Scanstation C10 in Leica BLK360 (natančnost skeniranja: 6 mm). Lasersko skeniranje je bilo izvedeno 20. aprila 2018. Na terenu (tlorisno cca 8000 m²) je bilo zajetih 1.444.651.694 točk iz 49 stojišč. Stojišča so bila med seboj relativno določena na podlagi posebnih HDS (High Definition Surveying) tarč in prekrivanja med skenogrami. Skupna izravnana natančnost celotnega oblaka točk (vseh 49 stojišč) znaša 8 mm. Izravnava TLS meritev se je izvedla v programu Leica Cyclone. Oba laserska skenerja imata integrirano kamero, tako da so vse točke bile fotorealistično obarvane.

Celoten oblak točk (rezultat terestričnega laserskega skeniranja) se je umestil v državni koordinatni sistem (D48/GK) na podlagi najboljšega prileganja (algoritem best fitting cloud-cloud) s podatki aerolaserskega skeniranja (vir: Atlas okolja, ARSO; <http://gis.arso.gov.si/atlasokolja>).

S pomočjo programa Leica Cyclone in 3DReshaper se je izvedla filtracija oblaka točk – odstranitev vegetacije in ostalih motečih objektov. Filtriran oblak točk predstavlja točkovni digitalni model reliefa (DMR) in drugih objektov, ki so predmet 3D skeniranja (*Sl. 2.1*). Iz podatkov digitalnega modela reliefa TLS meritev so se izdelale topografske karte in situacijski načrt (*Priloga 1*). Izdelala se je hipsografska karta z analitičnim senčenjem za boljši prikaz konfiguracije terena, karta naklonov, izdelava plastnic z ekvidistanco 0,5 metra.

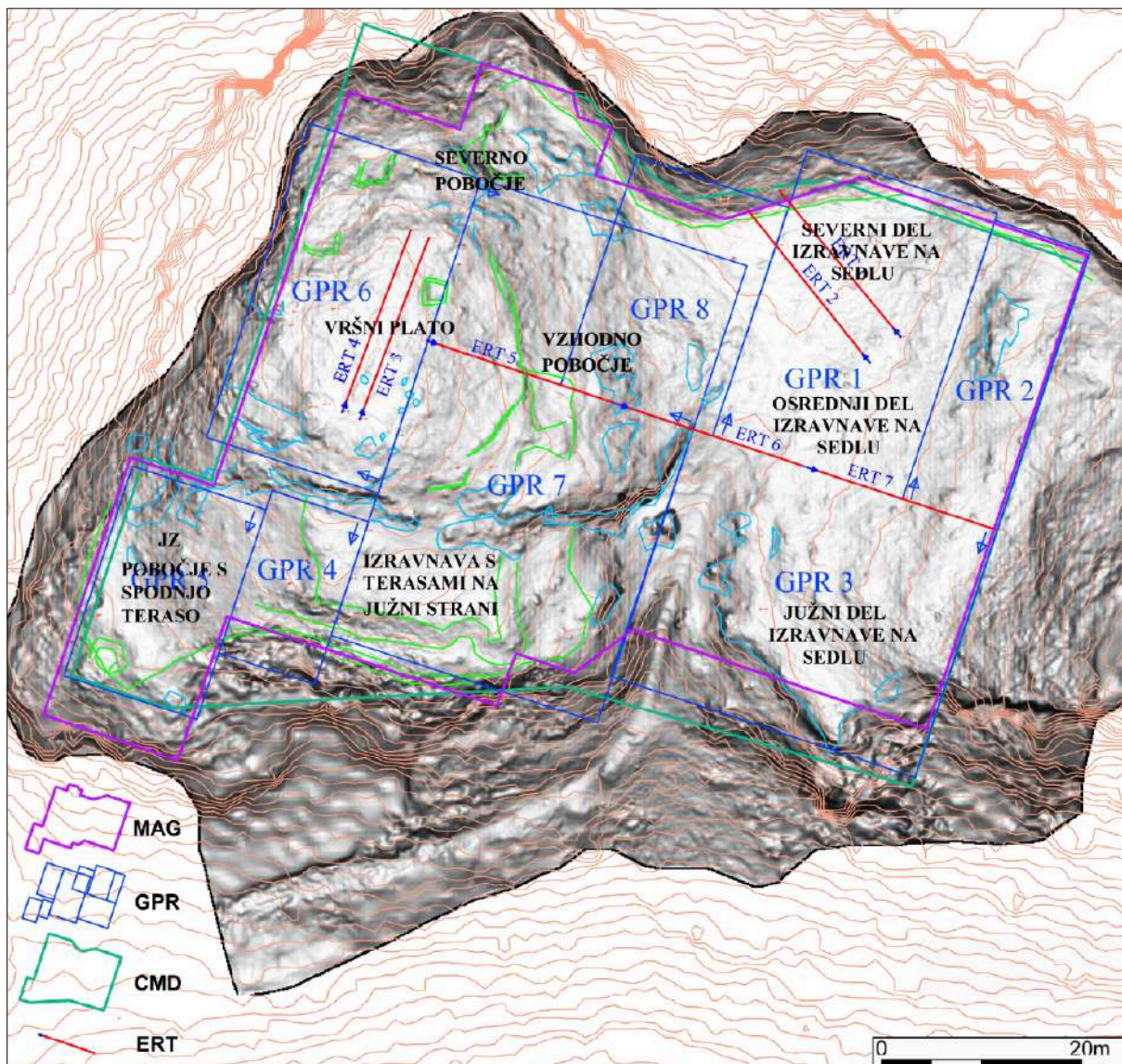


Slika 2.1: Digitalni model reliefa zahodnega vrha. Hipsografski prikaz, izdelan iz oblaka točk meritev s terestričnim laserskim skeniranjem (izdelal: A. Lazar, Geoservis, d. o. o.)

Geofizikalna raziskava (2018)

Geofizikalna raziskava, izvedena med aprilom in junijem 2018, je obsegala magnetno metodo (Geometrics G-858, gradientni način), meritve magnetne susceptibilnosti (Kappameter KT-5), nizkofrekvenčno elektromagnetno metodo (CMD Mini-Explorer), georadarsko metodo (GSSI SIR3000, 400 MHz antena) in 2D upornostno tomografijo (ARES, dvojni dipol). Za ugotavljanje prostorske korelacije med položajem geofizikalnih anomalij in arheološko relevantnimi površinskimi oblikami sta bila uporabljena načrt arheološkega strukturnega pregleda in digitalni model reliefa, pridobljen s terestričnim laserskim skeniranjem (Sl. 2.2). Mestoma otežena dostopnost in spremenljiv naklon terena sta velevali prilagajanje mreže meritev. Na razmeroma majhni površini so bile tako meritve z magnetno metodo in nizkofrekvenčno elektromagnetno metodo opravljene v 5-ih površinskih enotah oz. kvadrantih, medtem ko je bilo za georadarsko metodo uporabljenih 8 površinskih enot oz. kvadrantov. Območja meritev so bila prostorsko umeščena v državni koordinatni sistem v okviru arheološkega strukturnega pregleda.

Rezultati geofizikalne raziskave so bili podani ločeno za posamezne geofizikalne metode v odnosu do pri strukturnem pregledu dokumentiranih površinskih znakov arheoloških ostankov in izdankov apnenčeve geološke podlage ter reliefnih oblik prikazanih na rezultatih terestričnega laserskega skeniranja. Za vsako od uporabljenih geofizikalnih metod so na prikazih posameznih območij označena anomalna območja, za katera avtorji poročila domnevajo, da odražajo spremembe v podpovršju, ki so arheološkega izvora (Sl. 2.3–2.11). V tem smislu so bile anomalije razložene v skladu s fizikalno teorijo vsake od metod neodvisno od drugih rezultatov, in nato sintetizirane z rezultati drugih geofizikalnih metod. Glede na rezultate je bil izdelan predlog vzorčenja s pedološkim svedrom na izbranih mestih, s pomočjo katerega bi dobili dodatne argumente za odločanje o mestu izkopa arheoloških testnih sond.



Slika 2.2: Območja raziskav z magnetno metodo (MAG), georadarsko metodo (GPR) in nizkofrekvenčno elektromagnetno metodo (CMD) ter profili za 2D upornostno tomografijo ERT na rezultatih terestričnega skeniranja in strukturnega pregleda. Arheološko relevantne značilnosti so označene z zeleno črto, naravne oblike (izdanki apnenčaste podlage) pa z modro (po Mušič et al. 2018, sl. 52)

Vzorčenje z vrtinami in geokemična analiza (2019)

Geofizikalna raziskava je bila junija 2019 dopolnjena z vzorčenjem z vrtinami, ki je bilo izvršeno z ročnim pedološkim vrtalnikom na jedro (»holandski sveder«) na 13-tih mestih, določenih na podlagi rezultatov predhodnih geofizikalnih raziskav (Sl. 2.12). Vzorčna mesta so bila določena na območjih močnejših magnetnih anomalij, ugotovljenih z magnetno metodo, visoke magnetne susceptibilnosti in hkrati dobre električne prevodnosti, izmerjene z nizkofrekvenčno elektromagnetno metodo (EM) ter na mestih relativno močnejših georadarskih odbojev in tudi na mestih močnejšega pojemanja georadarskih signalov.

Na vseh vzorčnih mestih so bili pridobljeni vzorci do globine 30 cm pod današnjo površino. Vsem vzorcem je bila najprej z ročnim merilcem magnetne susceptibilnosti (Kappameter KT-5) izmerjena susceptibilnost z namenom ugotavljanja toplotno spremenjenih horizontov tal (Sl. 2.13). V arheoloških kontekstih je povišana magnetna susceptibilnost indikator prisotnosti magnetnih materialov, ki vsebujejo magnetnejše oblike železovih

mineralov. Najpogosteje gre za termoremanentno magnetizacijo žgane glin v različnih oblikah, železnih predmetov in odpadnih produktov železarstva.

V nadaljevanju je bila opravljena sejalna analiza in optična mikroskopska preiskava presevkov vzorcev jeder po globinskih intervalih 10 cm za ugotavljanje njihove sestave in ločevanje arheološkega materiala na izbranih lokacijah. Iz 300 g vsakega vzorca smo ročno pobrali kamninski drobir in drobce keramike ter jih oprali pod tekočo vodo. Nato smo za približno tri kuhinjske žlice posameznega vzorca presejali na 4 frakcije in sicer: > 2 mm, 1–2 mm, 0,5–1 mm, < 0,5 mm.

Načrtovana geokemična analiza izbranih vzorcev presevkov z namenom pojasnitve razlik v kemični sliki vzorcev za opredeljevanje geogenih, pedogenih in antropogenih faktorjev, ki naj bi poleg elementarne analize vzorcev obsegala tudi določitev vsebnosti fosfatov z analizo vsebnosti dostopnega fosforja, ni bila izvedena.

Arheološko testno izkopavanje (2019)

V okviru raziskovalnih posegov v letu 2019 sta bili v prvi polovici julija izkopani dve sondi, od katerih je bilo mesto večje (Sonda 1) določeno na podlagi opažanj iz strukturnega pregleda, rezultatov geofizikalne raziskave in analize presevkov vzorcev usmerjenih vrtnanj, manjša sonda (Sonda 2) pa je zajela poškodbo na jugozahodnem delu najdišča, ki je bila preliminarno dokumentirana ob ugotavljanju posledic žleda leta 2014 (*Sl. 2.3*).

Sonda 1. Izkopno polje podolgovate sonde v izmeri 2×14 m je bilo umeščeno pravokotno na območje magnetne anomalije in ocenjen potek zidane strukture na vzhodnem obodu vršnega platoja. Položaj sonde je bil izbran kot kompromis med željo po zagotovitvi enotnega, neprekinjenega preseka čez značilen del terena z namero pridobitve odgovorov na raziskovalna vprašanja o domnevanih grajenih strukturah, ter omejitvami iz naslova varstva gozdnega sestoja kot naravne vrednote, kar je v zadevnem primeru pomenilo izogibanje posegom, ki bi lahko poškodovali pomembne dele koreninskih spletov večjih dreves.

Sonda 2. S pravokotno sondo v izmeri $1,2 \times 4$ m smo razširili območje poškodbe-kotanje, ki je nastala s prevrnitvijo večjega borovega drevesa in tako zagotovili dodaten vpogled v arheološko stratifikacijo ob minimalnem poseganju v nedotaknjene depozite.

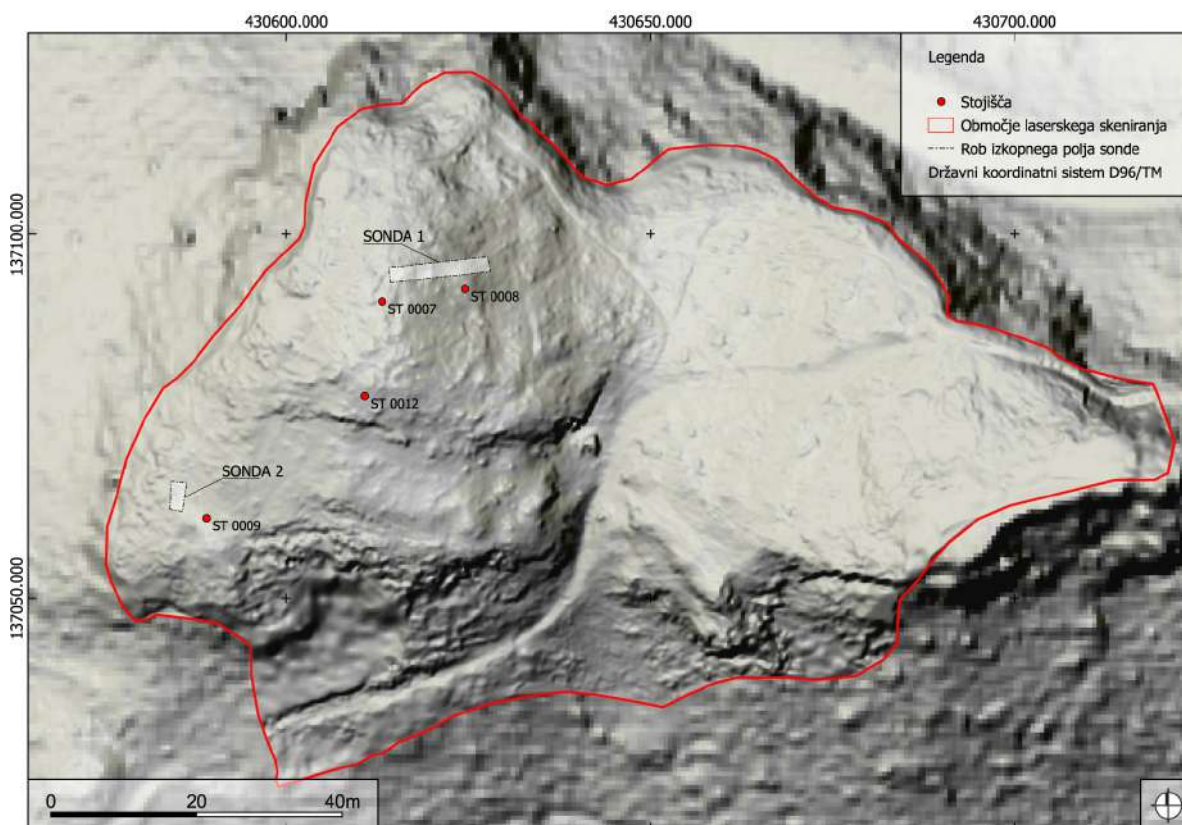
Arheološki testni izkop je potekal po stratigrafski metodi z opisnim in grafičnim ter prostorskim dokumentiranjem struktur, mejnih površin in depozitov ter predmetov drobne materialne kulture in vzorcev (*Sl. 2.4* in *2.5*). Opisovanje stratigrafskih enot in ostala terenska pisna dokumentacija (dnevnik geodetskih meritev, sezname fotografij, posebnih najdb, vzorcev, stratigrafskih enot) sta temeljila na standardiziranih obrazcih OZA, prostorsko dokumentiranje pa na meritvah absolutnih koordinat s totalno postajo Leica TS07 v državnem koordinatnem sistemu D96/TM (ETRS), izhajajoč iz predhodne umestitve stojišč z GNSS napravo Leica GS07/CS20 (*Tabela 2.2*). Poleg elementov SE s standardiziranim kodiranjem meritev so bili po uveljavljenem protokolu izmerjeni tudi obrisi vrha in dna izkopnega polja, vzorci, posebne najdbe in referenčne točke za foto-skice (*Sl. 2.6*). Grafično dokumentiranje je obsegalo izdelavo posamičnih posnetkov (pogledi, posebne najdbe, delovni posnetki) in serij fotografij z digitalnim (DSRL) fotoaparatom, namenjenih izdelavi foto-skic in 3D fotogrametričnih modelov ter iz njih generiranih tlorisnih načrtov in presekov v 2D pogledu. Začetna in ena od vmesnih situacij v sondi 1 sta bili integralno posneti tudi z brezpilotnim letalnikom DJI Spark (last Skupine Stik; operater: Rok Klasinc; *Sl. 2.7*). Obdelava terenskih meritev je potekala v programu SKAVT, tlorisni načrti, preseki in foto-skice pa so bili pripravljene v programskem okolju AutoCAD.

Vsem depozitom je bila pred izkopom izmerjena navidezna magnetna susceptibilnost, nato pa so bili preventivno pregledani z detektorjem kovin. Odstranjena zemljina, ki se je odnašala na prehodno pripravljeno deponijo na plastičnih ponjavah za čim večjo zaščito travne ruše, se je sistematično presejala z uporabo sita z 0,5 cm odprtini ter obenem dodatno pregledala z detektorjem (*Sl. 2.9*). Kamni in travna ruša se je shranjevala separatno. Med izkopavanjem so bili odvzeti vzorci malt za določitev petrološke in mineraloške sestave ter vzorci depozitov za laboratorijsko preverjanje susceptibilnosti, namenjeno kalibraciji rezultatov geofizikalne raziskave.

Ročni izkop je zajel vse depozite do skalne geološke podlage, edino odstopanje od pristopa, v skladu s katerim se je vse mlajše SE odstranilo pred dokumentiranjem starejših, pa je ohranitev grajenih struktur v obeh sondah. Po končanem izkopu se je zahodna polovica sonde 1 z grajeno strukturo prekrila z geotekstilom ter nato skupaj s preostankom sonde zasula s predhodno odstranjenim materialom. Povrnitev v stanje, podobno izvirnemu, je bila dosežena z namestitvijo zaplat travne ruše (Sl. 2.11). V skladu z navodili pristojne konservatorke ZVKDS OE Kranj in pooblaščenih oseb Zavoda za gozdove in lastnika zemljišča se je ob zaključku terenskih del dno sonde 2 obložilo z razžaganimi kosi debel padlih dreves in vejevja, na katerega se je nasulo izkopano kamenje in zemljino (Sl. 2.10).

Primarna poterenska obdelava arhiva najdišča je obsegala obdelavo opisne, grafične in prostorske dokumentacije (urejanje fotoskic, 3D foto modeliranje, priprava topografskih načrtov, tlorisov in presekov, digitalnih modelov reliefa in druge grafike), procesiranje najdb (čiščenje, sušenje, izdelava pregleda distribucije drobnih najdb; priprava kataloga, grafično/fotografsko dokumentiranje in preliminarno tipološko primerjalno analizo ter keramološko študijo), poskus funkcionalne in kronološke opredelitve grajenih in vkopanih struktur ter depozitov, izvedbo specialističnih analiz (radiometrična (^{14}C) analiza, arheozoološka analiza, analiza malt), in pripravo arhiva najdišča za oddajo v pristojni muzej (GM Kranj), kamor so bile konservatorsko občutljive kovinske najdbe predane takoj po preliminarnem dokumentiranju.

V okviru izdelave strokovnega poročila so bili pridobljeni podatki integralno ovrednoteni in primerjani z ugotovitvami arheološkega strukturnega pregleda ter interpretacijo rezultatov geofizikalnih in geokemičnih raziskav, pa tudi s spoznanji kabinetne analize podatkov o starejših arheoloških odkritjih z obravnavanega območja ter sledovih komunikacij in druge rabe prostora, pridobljenih z analizo historičnih zemljevidov in z daljinskim zaznavanjem. Našteto predstavlja dobro osnovo za načrtovanje nadaljnjih raziskovalnih posegov, ki bi lahko prispevali k celovitejši oceni potenciala najdišča in primernosti načinov njegove prezentacije.



Slika 2.3: Zahodni vrh z lokacijama Sonde 1 in Sonde 2 ter izhodišči prostorskih meritev (izdelal: B. Kumer)



Seznam uporabljenih instrumentov in programske opreme

Geodetska oprema:

- laserski skener Leica Scanstation C10;
- laserski skener Leica BLK360;
- GNSS naprava Leica GPS500;
- GNSS naprava Leica GS07/CS20;
- totalna postaja Leica TPS307;
- totalna postaja Leica TS07.

Geofizikalne in geokemične raziskave:

- Geometrics G-858;
- Kappameter KT-5;
- CMD Mini-Explorer;
- GSSI SIR3000;
- ARES;
- pedološki vrtnik na jedro;
- pXRF ThermoFisher Niton XL3t900S He.

Fotografska oprema:

- DSLR fotoaparati Nikon D7100;
- brezpilotni letalnik DJI Spark.

Seznam uporabljene programske opreme:

- Leica FlexField;
- Microsoft Office 2013;
- Adobe Photoshop CC 2015;
- Adobe AutoCAD 2017
- SKAVT
- ESRI ArcGIS 10.1;
- QGIS 3.4.8 "Medeira";
- Rapidlasso GmbH LAStools;
- CloudCompare v2.6.3;
- Agisoft Metashape.

Izkopavalni pribor:

- detektor kovin Garrett AT Gold;
- Kappameter KT-5.

Laboratorijska oprema:

- Leica ES2 - Stereo microscope

Protokol meritev

Arheološko testno sondiranje (2019)

Stojišča ST 0001 do ST 0003 so bila umeščena z GNSS napravo Leica GS07/CS20, stojišča ST 0004 do ST 0012 pa z elektronskim tahimetrom Leica TS07. Vse izmere so se izvajale v novem državnem koordinatnem načrtu D96/TM (ETRS).

KS	Stojišče	x (<i>Easting</i>)	y (<i>Northing</i>)	z (m nm. v.)	Naprava
D96/TM	ST 0001	430608.162	137091.574	576.396	GS07/CS20
D96/TM	ST 0002	430603.426	137093.077	576.404	GS07/CS20
D96/TM	ST 0003	430619.838	137099.249	575.571	GS07/CS20
D96/TM	ST 0004	430619.7675	137099.3200	575.5628	TS07
D96/TM	ST 0005	430613.8705	137088.0532	578.1477	TS07
D96/TM	ST 0006	430610.7030	137096.1864	577.6223	TS07
D96/TM	ST 0007	430613.1794	137090.7424	576.5984	TS07
D96/TM	ST 0008	430613.179	137090.742	576.595	TS07
D96/TM	ST 0009	430589.082	137060.971	565.247	TS07
D96/TM	ST 0010	460585.800	137061.919	564.810	GS07/CS20
D96/TM	ST 0011	430584.205	137065.161	564.316	GS07/CS2
D96/TM	ST 0012	430610.800	137077.734	575.853	TS07

Tabela 2.2: Seznam izhodišč merilnega sistema – stojišč v letu 2019



Povzetek delovnega dnevnika o poteku in okoliščinah del arheološkega testnega sondiranja

1. dan **ponedeljek, 1. 7. 2019**

Vreme: jasno, 25–35° C

Ekipa: A. Gaspari, T. Milavec, M. Vinazza, B. Kumer, D. Kožuh, L. Škerjanec.

Delovnik: 6:30–16:20 (prihod na teren: 7:45; odhod: 15:10)

Potek del in preliminarne ugotovitve:

Sonda 1. 8:10 obhod terena, sestanek s predstavnico Zavoda za gozdove in določitev mesta sonde (Sonda 1) na vršnem platoju; sonda meri 14 × 2 m (7 kv. 2 × 2 m) in sega od vrha platoja preko terase z domnevanimi ostankom suhozida do konca ruševine pod stopnjo; 9:00–10:00 umestitev stojišč od ST 0001 do ST 0003 z GNSS napravo; ostala stojišča so se umestila s totalno postajo (ST 0004–ST 0006); 11:10–11:50 Rok Klasinc in Rok Bremec posnameta izhodiščno situacijo (SE 1001) z dronom; 11:30–12:18 obisk višje konservatorke Judite Lux in Samota Hvalca; 11:30–12:15 malica; 12:15 izmera novega stojišča južno od sonde (ST 0007); meritve izkopnega polja, humusa (SE 1001) in referenčnih točk za FS 0001 (dron) in FS 0002 (klasično); 13:00–15:00 odstranjevanje humusa v kv. 1–4 (SE 1001).

2. dan **torek, 2. 7. 2019**

Vreme: jasno, 25–31° C

Ekipa: A. Gaspari, T. Milavec, M. Vinazza, B. Kumer, D. Kožuh, L. Škerjanec.

Delovnik: 6:30–16:20 (prihod na teren: 7:40; odhod: 15:10)

Potek del in preliminarne ugotovitve:

Sonda 1. 8:10 nadaljevanje odstranjevanja SE 1001 v kv. 1–4; 11:40 malica; 12:00 obisk Judite Lux in umetnostnega zgodovinarja na ZVKDS OE Kranj; 12:10–15:00 odstranjevanje humusa SE 1001 v kv. 5–7. V SE 1001 se pojavljajo tako najdbe prostoročno izdelanih prazgodovinskih posod (pretežno mlajši del KŽG), maloštevilni kosi poznoantične/zgodnjerednjeveške (?) keramike, nekaj visoko in poznosrednjeveške ter več novoveške keramike. Izstopa nenavadno veliko število kovanih žebeljev precej enotnih velikosti; prevladujejo 5–7 cm dolgi primerki s trnom kvadratnega preseka in majhno ploščato glavo. Nekaj je tudi odlomkov steklenih posod, od tega morda tudi nekaj poznoantičnih in poznosrednjeveških/zgodnjenednjeveških kosov. Posebnost je trikotno oblikovana ploščica vitraja s fasetiranimi, rahlo usločenimi stranicami iz prosojnega stekla. V kv. 3 odkrita z malto vezana zidova, ki tvorita kot objekta približno kvadratnega tlorisa. Pravokotna kotanja, vidna na površini in predhodno interpretirana kot arheološka sonda, se je tako izkazala kot znak ne popolnoma pokopane strukture.

3. dan **sreda, 3. 7. 2019**

Vreme: jasno, 23–30° C

Ekipa: A. Gaspari, T. Milavec, M. Vinazza, B. Kumer, D. Kožuh, L. Škerjanec.

Delovnik: 6:30–15:50 (prihod na teren: 7:40; odhod: 14:40)

Potek del in preliminarne ugotovitve:

Sonda 1. 8:10 odstranjevanje SE 1001 v kv. 6–7; čiščenje ostanka humusa z ruševino v objektu v kv. 3 (SE 1001); v kv. 1–2 odstranjevanje plasti peščenega melja s kamni (SE 1005) pod humusom, ki sega do površja litološke podlage in vsebuje enak razpon najdb kot SE 1001. Očitno gre za povsem humificirano plast, preseneča pa popolna odsotnost plasti arheološko sterilnega glinenega horizonta, ki običajno nastaja ob preperevanju apnenčaste podlage; slednja (SE 1003) mestoma daje videz umetnega nižanja, kar potrjujejo tudi



precejšnje količine drobirja v zaplatah v kv. 1–2; vsem depozitom se sprotno meri navidezna magnetna susceptibilnost. 11:50 malica; 12:30–14.40 čiščenje SE 1005 v kv. 1–2; čiščenje SE 1001 v kv. 6–7.

4. dan **četrtek, 4. 7. 2019**

Vreme: pretežno oblačno, 21–25° C

Ekipa: A. Gaspari, T. Milavec, M. Vinazza, B. Kumer, D. Kožuh, L. Škerjanec.

Delovnik: 6:30–15:30 (prijod na teren: 7:40; odhod: 14:50)

Potek del in preliminarna opažanja:

Sonda 1. 7:45 čiščenje SE 1001 v kv. 6–7; odstranjevanje SE 1005 v kv. 1–2; opažanje, da so v SE 1005 najdbe bistveno redkejše kot v SE 1001, nekaj jih je samo v zgornjih delih depozita in morda dejansko pripadajo oz. sodijo še v SE 1001; pri pregledovanju zemljine SE 1001 iz kv. 3 najden Galijenov antoninijan (PN 0066); vzhodni zid objekta v kv. 3 je v severovzhodnem vogalu naslonjen na skalno podlago, v ostanku poteka pa vkopan v kolvialno plast (SE 1002), ki vsebuje najdbe do poznega srednjega veka. V tej plasti je bil tik ob vzhodnem zidu objekta, ki v dokumentiranem delu nima dodelanega zunanjega lica, morda celo v polnilu vkopa za isti zid, najdena bronasta pasna spona poznosrednjeveške ali zgodnjenovoveške starosti (PN 0045); 11:15 malica; 11:45–14:30 čiščenje zidov objekta v kv. 3; odstranjevanje SE 1002 v kv. 4.

5. dan **petek, 5. 7. 2019**

Vreme: oblačno z obdobji sonca, 21–25° C

Ekipa: A. Gaspari, T. Milavec, M. Vinazza, B. Kumer, L. Škerjanec.

Delovnik: 6:30–16:10 (prijod na teren: 7:40; odhod: 15:00)

Potek del in preliminarne ugotovitve:

Sonda 1. 7:45 odstranjevanje SE 1002 v kv. 4 in 5; sejanje sedimentov na deponiji in kontrolni pregled z detektorjem kovin; 11:00 malica; 11:35–14:50; odstranjevanje SE 1001 v kv. 6.–7. Na predelu skalne stopnje in pobočja pod njo se takoj pod humusom pojavijo kamni in apnenčevi skladi; najden ni bil niti drobec malte, ki bi govoril o morebitnem obstoju z malto vezane grajene strukture v osi domnevanega poteka obodnega zidu na vzhodnem pobočju. Pri pregledu izpostavljenih delov tega zidu malta prav tako ni bila opažena. Odstranjevanje SE 1005 v kv. 3; najdbe so neprimerno redkejše kot v humozni plasti nad njo; gre pretežno za mlajše gradivo (posode z zeleno glazuro, žebli), vmes se je našlo nekaj kosov prazgodovinske keramike; pojavlja se skalni drobir – znak izravnavanja geološke podlage, glinene preperine pa v notranjosti objekta ni niti v sledovih. Notranje stene objekta, od katerih se tudi zahodna in deloma severna naslanjajo na deloma odstranjeno skalno podlago, je bila ometana z belo malto (precej drobljiva in neobstojna). Hodna površina, kot se je izoblikovala po odstranitvi ruševine, pomešane s humusom, je bila dokumentirana kot nekoliko bolj zbit depozit peščenega melja; ta se je na severozahodni stani naslonil na umetno izravnano skalno podlago. Hodni nivo v odsotnosti najdb dokazuje omet, ki je v spodnjem delu severovzhodnem kotu prostora zaobljeno nanešen, na zahodni steni pa se začne na približno isti višini. Južna stena objekta se zarisuje v površju tik ob sondi, kjer se kaže kot vrhovi kamnov v pravokotni/vzporedni legi glede na dokumentirane stene, v jugozahodnem delu pa tudi po plasti odpadlega ometa, vidnega v profilu sonde. V kv. 4–5 je bila pod SE 1002 ugotovljen bolj peščen depozit SE 1013, ki se naslanja na skalno podlago in sega tudi pod vzhodnim zidom objekta v kv. 3.

6. dan **ponedeljek, 8. 7. 2019**

Vreme: oblačno z obdobji sonca, 19–25° C

Ekipa: A. Gaspari, T. Milavec, M. Vinazza, B. Kumer, L. Škerjanec, D. Kožuh.

Delovnik: 6:30–16:10 (prijod na teren: 7:40; odhod: 15:00)



Potek del in preliminarne ugotovitve:

Sonda 1. 7:50–10:55 odstranjevanje ruševinske plasti kamnov SE 1014 v kv. 6–7; odstranjevanje SE 1013 v kv. 4–5. SE 1013 v smeri proti vzhodu (navzdol po pobočju) tone pod plast SE 1002, ki je na tem delu debelejša; v SE 1013 se odkrivajo skoraj izključno odlomki prazgodovinske keramike, mlajše najdbe pa morda izdajajo prej nedefinirane ostanke plasti SE 1002; 10:55 malica; 12:30–15:00 čiščenje območja sonde 2 (odstranitev materiala, ki se je akumuliral v kotanji po posegu CPA ter okoliške površine; odstranjevanje SE 1013 v sondi 1;

Sonda 2. 7:50–10:55 določitev mesta za sondo 2 na jugozahodnem delu naselbine; umestitev novih stojšč ST 0009–ST 0012.

7. dan **torek, 9. 7. 2019**

Vreme: sprva deževno, nato oblačno z obdobji sonca, 18–25° C

Ekipa: A. Gaspari, T. Milavec, M. Vinazza, B. Kumer, L. Škerjanec, D. Kožuh.

Delovnik: 6:30–16:10 (prihod na teren: 7:40; odhod: 15:00)

Potek del in preliminarne ugotovitve.

Sonda 1. 7:50–11:45 izmera kamnite ruševine SE 1011 v kv. 6–7; priprava situacije v sondi 1 za snemanje z dronom; kamnita ruševina SE 1011 = SE 1014 na zahodnem delu prekriva plast SE 1013, zato je njihovo odložitev mogoče umestiti v poznosrednjeveško/zgodnjenovoveško obdobje; dokumentiranje površine koluvialne plasti z izdatnejšo glineno komponento (SE 1015); v zgornjem delu SE 1013 so še mlajše najdbe, v njenem spodnjem delu in zlasti na površini SE 1015 pa se pojavlja prazgodovinska, rimska in srednjeveška keramika. Mlajša keramika je povsem odsotna. Na južnem delu sonde je bila v plasti SE 1013 najdena stožčasta glavica bronaste igle (PN 0059); 11:45 malica; 12:20–14:50 odstranjevanje SE 1015 v kv. 4 in 5; prazgodovinska keramika se pojavlja tudi v zgornjem delu plasti (koluvij?).

Sonda 2. 7:50–11:45 dokumentiranje kotanje – poškodbe, ki je nastala kot posledica zrušenja večjega borovega drevesa (SE 2000) in nedotaknjene površine tal/ruše s humusom (SE 2001) v okviru sonde v izmeri 4 × 2 m; 12:20–14:50 odstranjevanje humusa (SE 2000) in dokumentiranje spodaj ležeče plasti peščenega melja (SE 2002), ki prekriva ruševinsko plast (?) s kamni in drobirjem (SE 2003).

8. dan **sreda, 10. 7. 2019**

Vreme: pretežno jasno, 19–25° C

Ekipa: A. Gaspari, M. Vinazza, B. Kumer, L. Škerjanec, D. Kožuh.

Delovnik: 6:30–16:10 (prihod na teren: 7:40; odhod: 15:00)

Potek del in preliminarne ugotovitve:

Sonda 1. 7:50–12:00 odstranjevanje SE 1015 v kv. 4–6; 12:00 malica; 12:30–15:10 čiščenje profilov Sonde 1 za dokumentiranje; teren obiščejo Srečo Vernig in Marko Vidic, Verena Vidrih Perko s študenti/kami predmeta Arheologija za javnosti ter Matjaž Završnik. Odstranjevanje plasti glinastega melja (SE 1016) v kv. 4–6, ki je verjetno v celoti nastala s preperevanjem apnenčaste podlage. Vsebuje odlomke prazgodovinske keramike, od katerih imajo nekateri korodirano površino.

Sonda 2. 7:50–12:00 odstranjevanje SE 2002. V plasti so bili najdeni pretežno odlomki poznorimske/poznoantične keramike, nekaj manjših kosov prostoročno izdelanih prazgodovinskih posod ter nekaj žlindre; dokumentiranje SE 2003.



9. dan **četrtek, 11. 7. 2019**

Vreme: pretežno jasno, 19–25° C

Ekipa: A. Gaspari, T. Milavec, M. Vinazza, B. Kumer, L. Škerjanec, D. Kožuh.

Delovnik: 6:35–15:10 (prijod na teren: 7:40; odhod: 14:10)

Potek del in preliminarnе ugotovitve:

Sonda 1. 7:50–11:00 dokumentiranje profilov in sterilne podlage, odvzem vzorcev za laboratorijsko preverjanje navidezne magnetne susceptibilnosti; 11:00 malica; 11:30–15:00 zasipanje; najprej v zahodnem delu (do kv. 4, vključno z objektom v kv. 3) prekrita z geotekstilom, nato pa zasuta, sprva s kamenjem, potem pa z zemljino z deponije ter končno s shranjenimi kosi travne ruše. Zaključek dela v sondi 1.

Sonda 2. 7:50–11:00 dokončanje odstranjevanja ruševinske plasti SE 2003 in dokumentiranje pod njo ležeče SE 2004; gre za temnosivo peščeno meljasto plast z drobcu malte (SE 2004), interpretirano kot sediment na hodni površini; 11:30–14:10 odstranjevanje SE 2004.

10. dan **petek, 12. 7. 2019**

Vreme: pretežno jasno, 19–25° C

Ekipa: A. Gaspari, T. Milavec, M. Vinazza, B. Kumer, L. Škerjanec.

Delovnik: 6:30–16:10 (prijod na teren: 7:40; odhod: 15:00)

Potek del in preliminarnе ugotovitve:

Sonda 2. 7:50–12:00 odstranjevanje in dokumentiranje celotne sekvence. Glede na situacijo v severnem profilu je depozit/nasutje SE 2012 (pod SE 2004), ki vsebuje posamezne kose antičnih posod in bolj številne odlomke prazgodovinske keramike ter kose malte, morda sekundarno zasutje podolgovatega jarka (SE 2008/2010) za gradnjo poznorimskega obzidja; jarek je na vzhodni strani navpično vsekan apnenčasto podlago, na zahodni pa je sekal koluvialni pobočni depozit (SE 2011), ki vsebuje izključno prazgodovinske najdbe; v jarku je bil na robu naravne stopnje zgrajen vkopan del temelja obzidja (SE 2004), ki na preiskanem delu med lomljenci ni vseboval malte. V višini stopnice, vsekane v skalno podlago, temelj preide v zob, na katerem je bil zgrajen zid obzidja. Od sredine višine zoba se na zid naslanja polnilo vkopa iz peska s kamni in malto, verjetno ostanek zidave (SE 2008), preostanek jarka (SE 2010) do vrha ohranjenega dela zidu pa zapolnjuje SE 2012. »Estrih«, ki ga je dokumentirala ekipa ZVKDS CPA, lahko tako verjetno vrednotimo kot ostanek zidave in ne maltni tlak ob obzidju, saj so večji kosi malte podobne sestave izolirani in se pojavljajo tako na vrhu prvega polnila vkopa (SE 2004) in v sekundarnem polnilu (SE 2012). Sestava malte iz zidu in depozitov ob njegovem vzhodnem licu je na videz zelo podobna, ni pa mogoče izključiti možnosti, da gre za odpadle kose ometa.

Situacija v južnem delu sonde kaže podobno. Depozit s prazgodovinsko keramiko, neposredno nad apnenčasto podlago je bil v skoraj v celotni raziskani širini sonde znižan, na samem zahodnem robu pa popolnoma odstranjen. Na tem mestu je vkop za temelj obzidja segel do skalne podlage, na katero se nasloni temelj. Nad ostankom koluvialne plasti s prazgodovinskimi najdbami leži plast, podobna SE 2011, na katero se nasloni peščeno zasutje, s katerim so dokončno izravnali teren na notranji strani zidu. Kosi malte, podobni tistim iz severnega dela sonde, se tudi tu pojavljajo še okoli 0,5 m stran od zidu. Nad to delovno površino sledi nasutje/depozit, podoben SE 2004, ki prehaja v ruševinski depozit s kamni (SE 2003), ki tako kot na severnem delu sonde prekriva mejno površino uničenja obodnega zidu.

12:00–14:00 dokumentiranje končne situacije (fotografiranje in izmera skalne podlage ter izkopnega polja; dno sonde se je najprej obložilo s kosi debel padlih oziroma poškodovanih dreves iz okolice, ki jih je razžagal gozdar-vzdrževalec. Na debla in vejevje se je nametalo kamenje, nato pa zemljina z deponije. Zaključek dela v sondi 2. Pospravljanje terena (odstranjevanje količkov stojišč in merilnega sistema, podiranje montažnega nadstreška ...). Teren je bil zapuščen v urejenem stanju in pospravljen.



Slika 2.4: Sonda 1. Začetek del na vršnem platoju po odstranitvi ruše (foto: A. Gaspari; DSC_2801)



Slika 2.5: Sonda 1. Odstranjeni sedimenti so se odlagali na deponijo in sprotno sejali ter kontrolno pregledovali z detektorjem kovin (foto: A. Gaspari; DSC_2703)



Slika 2.6: Sonda 1. Prostorska izmera interfacije vkopa za gradnjo zgodnjenovoveškega objekta (foto: A. Gaspari; DSC_3384)



Slika 2.7: Sonda 1. Snemanje situacije z brezpilotnim letalnikom. Operater Rok Klasinc (foto: A. Gaspari; DSC_3389)



Slika 2.8: Sonda 2. Izmera mej stratigrafskih enot s totalno postajo (foto: A. Gaspari; DSC_4037)



Slika 2.9: Tudi v sondi 2 so se vsi izkopani depoziti sproti presejali na situ s 0,5 cm velikimi odprtinami (foto: I. Kavčič; IMG_6702)



Slika 2.10: Del ekipe ob zasuti Sondi 2. Z leve proti desni: Luka Škerjanec, Blaž Kumer, Manca Vinazza in Tina Milavec. Manjka Dejan Kožuh (foto: Andrej Gaspari; DSC_4150)



Slika 2.11: Sonda 1. Vzhodni del izkopnega polja ob koncu raziskave (foto: A. Gaspari; DSC_3873)

Rezultati

Arheološki in historično-geografski oris najdišča

Arheološko najdišče na zahodnem vrhu Grajskega griča je bilo do nedavna deležno precej manjše pozornosti kot nekatere druge lokacije v okviru arheološkega kompleksa, evidentiranega kot EŠD 23 Bled - Arheološko najdišče Grad (RKD). Ta vključuje ostanke naselbinskega in grobišnega značaja ter posamične najdbe iz prazgodovine, rimskega obdobja, pozne antike in zgodnjega srednjega veka, prostorsko pa obsega osrednji vrh Grajskega hriba (602 m nm. v.), vzpetino v podaljšku grebena Na pečeh in nižji grič Bledec na severovzhodni strani, obravnavan zahodni vrh grebena, južna pobočja do jezera, območje cerkve sv. Martina na jugovzhodni strani, na zahodu del planote Višce, na severu pa Pristavo z okoliškimi vzpetinami (*Sl.* 1.1).

Med najdišči z ožjega območja grebena Grajskega hriba si od vzhoda proti zahodu sledijo:

- jama Šibrenica (*Sl.* 1.1: 1), v kateri so med izkopavanji leta 1974 pod plastjo s halštatsko keramiko našli skeletni pokop moškega v polskrčeni legi in bronastodobno keramiko (Leben 1975, 92–94; Gerbec 2009, 16);
- razgiban vršni predel vzpetine Na Pečeh (*Sl.* 1.1: 2), območje domnevnega prazgodovinskega gradišča (Valič 1960, 6), s katerega so sporočeni odlomki prazgodovinske keramike, kos žrnelj in kosti (Valič 1962b, 231; Knific 2011, 84; Gerbec 2009, 22–23) ter antoninian Klavdija Gotskega (268–270) in nedoločen AE4 (*FMRSI* IV, 53);
- območje Na sedlu oz. Sedlo (*Sl.* 1.1: 3) pod gradom, kjer so bili na južni in jugozahodni strani pobočja dokumentirani ostanke prazgodovinske (Gabrovec 1960, 10–11; Valič 1964, 6; Gerbec 2009, 13–14) in poznoantične naselitve (mdr. najdba polovične silikve vzhodnorimskega cesarja Justinijana I (527–565; glej *FMRSI* IV 51/9; Knific 2004, 102; id. 2011, sl. 16)) ter mlajša (verjetno zgodnjersrednjeveška) skeletna pokopa (izkopavanja A&K, 2018–2019), na prevalu pa zgodnjersrednjeveška nekropola s 173 pokopi iz časa med začetkom 9. in sredino 10. stoletja, med katerimi je bilo v vseh plasteh najdenega precej prazgodovinskega gradiva pretežno naselbinskega značajna, ni pa izključen niti obstoj grobišča. Med ostalimi najdbami so omenjeni tudi rimski in srednjeveški novci, žlindra in živalsko rogovje (Valič 1962a, 81; id. 1964, 6; Knific 2008, 22–23; Gerbec 2009, 13);
- terasaste izravnave v severnem pobočju proti Pristavi (*Sl.* 1.1: 4) z delno raziskanimi ostanki stavb in opornih zidov s konca bronaste/začetka železne dobe in mlajšega halštata ter posamičnimi kosi poznorimske lončenine iz plasti nad prazgodovinskimi ostalinami (Knific 1986a, 279–280; Svoljšak 1987, 239–240; id. 1990, 149; Knific 2008, 24; Gerbec 2009, 17–18, 25–45);
- skalnata kopa z domnevno prazgodovinsko, poznoantično in zgodnjersrednjeveško naselbino – »stari Bled« (Knific 1983, 72–74; id. 1984, 104; id. 2004, 94, 102, 113; id. 2008, 25; Pleterski 2011, 6; k sondiranjem, ki zaradi plitvo ležeče skalne podlage in mlajših posegov niso razkrila arheološko zanimivih sledov glej Gabrovec 1960, 10–11) ter gradom, zgrajenim v poznem 10./zgodnjem 11. stoletju (prvič nedvoumno omenjen leta 1011 kot *castellum Veldes* v darovnici cesarja Henrika II. briksenškemu škofu Adalberu; Štih 2011). Z gradu (*Sl.* 1.1: 5) se bežno omenjajo najdbe poznoantične keramike (Leben 2011, 100), sicer dokumentirane tudi na južnem pobočju v vpadnici vrha (Jerala et al. 2015, 380);
- zahodni vrh s sedlom (*Sl.* 1.1: 6), ki je od ostalih delov masiva ločen z ostrim in težje prehodnim grebenom.

Sledove prazgodovinske in poznoantične poselitve zahodnega vrha je stroka notirala že pred časom. Poleg splošnih omemb zidov poznoantične naselbine (Knific 2008, 24) je bilo med topografskimi ogledi sedla in vrha v letih 2002 in 2007 zbranih nekaj posamično najdenih kosov prazgodovinske keramike (Gerbec 2009, t. 1: 8–9) in več odlomkov poznoantične keramične skleda, odkritih med koreninami padlega drevesa (Knific 2008, sl. 1:1; 8:1; Pleterski 2008, 24; Gerbec 2009, 23). Med prazgodovinskim gradivom, zbranim v okviru nepoblaščne uporabe iskalnikov kovin, so s te lokacije zabeleženi rezilo neolitske ali bakrenodobne sekire iz zelene kamnine (Gerbec 2009, 103, t. 1: 14), dva ploščata in en paličast ingot trikotnega preseka iz bakrove zlitine, datirane v pozno bronasto dobo ali na začetek železne dobe (ib., 102, sl. 30; t. 1: 11–13), ter odlomek predmeta, s pridržkom interpretiranega kot ostanek igle z vazasto glavico, kakšne so prav tako datirane v pozno bronasto dobo ali začetek železne dobe (Gerbec 2009, 100–101, t. 1: 10). Vse našete predmete hrani Narodni muzej

Slovenije. Z zahodnega vrha Grajskega hriba naj bi izviral tudi bronast novcec Konstantina I. in četrtrinjen del ponarejenega solida – subaerata bizantinskega cesarja Herakleja (kovan po 625; glej *FMRSI* V 46), od katerih je slednji v Numizmatičnem kabinetu NMS (Knific 2011, 89, sl. 17), prvi pa v zasebni hrambi. Verjetno je bil na tem predelu najden še kateri od novcev, ki so v *FMRSI* IV evidentirani pod najdiščem Bled/Grad-grajsko sedlo in razen omenjenega novca Justinijana I (527–565), ki naj bi zanesljivo izviral iz območja Na sedlu, obsegajo še sestercij Severa Aleksandra (kovan 222–231), tri močno obrabljene antoninijane Galijena (kovane 260–268) in zmerno obrabljen antoninijan Klavdija Gotskega (kovan 268–270), še en neopredeljen nominal istega tipa ter po en kov iz obdobj 313–320 in 335–337 (*FMRSI* IV 51/1–8).

Najdišče na zahodnem vrhu je bilo morda sondirano že med raziskavami na bližnji Pristavi leta 1984, vendar brez indikativnih najdb, ki bi raziskovalce prepričale k nadaljnjim posegom. Nasprotno je ekipa ZVKDS CPA leta 2015 v okviru dokumentiranja posledic žleda na jugozahodnem delu domnevane poznoantične naselbine na robu terase v steni jame izruvanega panja odkrila zidano strukturo, z nekaj pridržka interpretirano kot obzidje poznoantične naselbine. Ob njej so bile dokumentirane hodna površina s kosi apnenega estriha, ometa in drobci malte ter pripadajoča kulturna plast z odlomki keramike, ki so po avtorjih poročila po barvi, fakturi in deloma okrasu sorodni odlomkom z Bašlja, pod njo pa še plast s prazgodovinsko keramiko, pripisana zgodnejši poselitvi lokacije (Jerala et al. 2015, 365–370). Pregled ostalih poškodb na območju naselbine – vseh manjšega obsega – ni prinesel arheološko oprijemljivih najdb, več odlomkov prazgodovinske keramike pa je bilo odkritih v koreninah panja na južnem pobočju, nekaj deset metrov pod škrbino med sedlom in zahodnim vrhom (Jerala et al. 2015, 378). Na prazgodovinsko keramiko, ki je morda spolzela z naselbine, so naleteli tudi med sondiranjem leta 1985 na parceli 401/4 na ravnici ob severnem vznožju vzpetine (Knific 1986b, 288; Pleterski 2008, 31; Gerbec 2009, 12).

V zvezi s poselitvenim vzorcem mikroregije med pozno antiko in visokim srednjim vekom je bila predvsem na podlagi kronologije grobišč oblikovana hipoteza, da je prva faza grobišča na Pristavi (*Sl.* 1.1: 7), ki obsega skeletne grobove iz 6. in deloma 7. stoletja, pripadala naselbini na Grajskem hribu, ki je obstajala vsaj še v prvi polovici 7. stoletja. Na začetku 7. stoletja naj bi se na Bledu naselilo novo, slovansko prebivalstvo. Na Pristavi tako po interpretacijah vodilnih raziskovalcev blejskega zgodnjega srednjega veka pride do sobivanja staroselskih Romanov (Vlahov) in Slovanov, romanska naselbina na hribu pa naj bi bila kmalu opuščena (Knific 2004, 102; Pleterski 2008, 159–161). Sočasno z obstojem starejše faze nove naselbine na Pristavi obstaja tudi še neodkrito selišče, katerega umrle so pokopavali na ledeniškem nasipu Brdo pri Bledcu (*Sl.* 1.1: 8). Približno sočasno z opustitvijo tega grobišča so začeli pokopavati Na sedlu, drugem največjem raziskanem zgodnesrednjeveškem grobišču na Bledu, katerega uporaba traja od druge četrtine 9. stoletja do druge polovice 10. stoletja. Pripadajočo naselbino velja po mnenju specialistov najverjetneje iskati v neposredni bližini (Knific 2004; id. 2011, 93–94), morda na izpostavljeni skalni kopi s poznejšim gradom. Domnevan obstoj naselbine na tem eminentnem, naravno zavarovanem položaju, katere prvenstvo z nekaj pridržka odražajo primerjalno dragocenejši in razkošnejši predmeti iz grobov z lokacije Na sedlu kot odsev posebnega družbenega položaja lastnikov (glej Knific 2004, 102–105, sl. 15), bi lahko po Pleterskem narekoval izbiro prostora za poznejši grad. Temu pritrjuje tudi ljudsko izročilo z Zgornjih Laz, po katerem naj bi na Blejskem gradu na sedlu nekoč stala vas, ki pa so jo graščaki preselili v dolino, ker so jim bili vaščani prehrupni, in tako je nastala vas Grad (Pleterski 2011, 66).

Podatki o rabi zahodnega vrha Grajskega hriba v času po zgodnjem srednjem veku so bili do sondiranja v letu 2019 izjemno skopi in omejeni na podatke iz zgodovinskih listin in ter historičnih zemljevidov in katastrov. Za razumevanje možnih ozadij nastanka časovno neopredeljenih teras na južni strani najdišča so zanimivi navedbe o vinogradih na območju grajske posesti, ki izvirajo zlasti iz druge polovice 11. stoletja. V zvezi s tem Andrej Pleterski omenja lokalno izročilo o poti, ki pelje od Sv. Martina pod gradom čez Višče do Rečice in po pripovedovanju domačinov leži Pod nogradom. Iz tega Pleterski sklepa o vinogradih na južnih pobočjih Grajskega hriba nad jezerom, »na posebno toplem mestu, ki sta ga ogrevala grajska pečina in jezerska voda.« (Pleterski 2011, 68), prav lahko pa bi se lokativ »nograd« nanašal tudi na zahodni vrh s priležnimi pobočji.

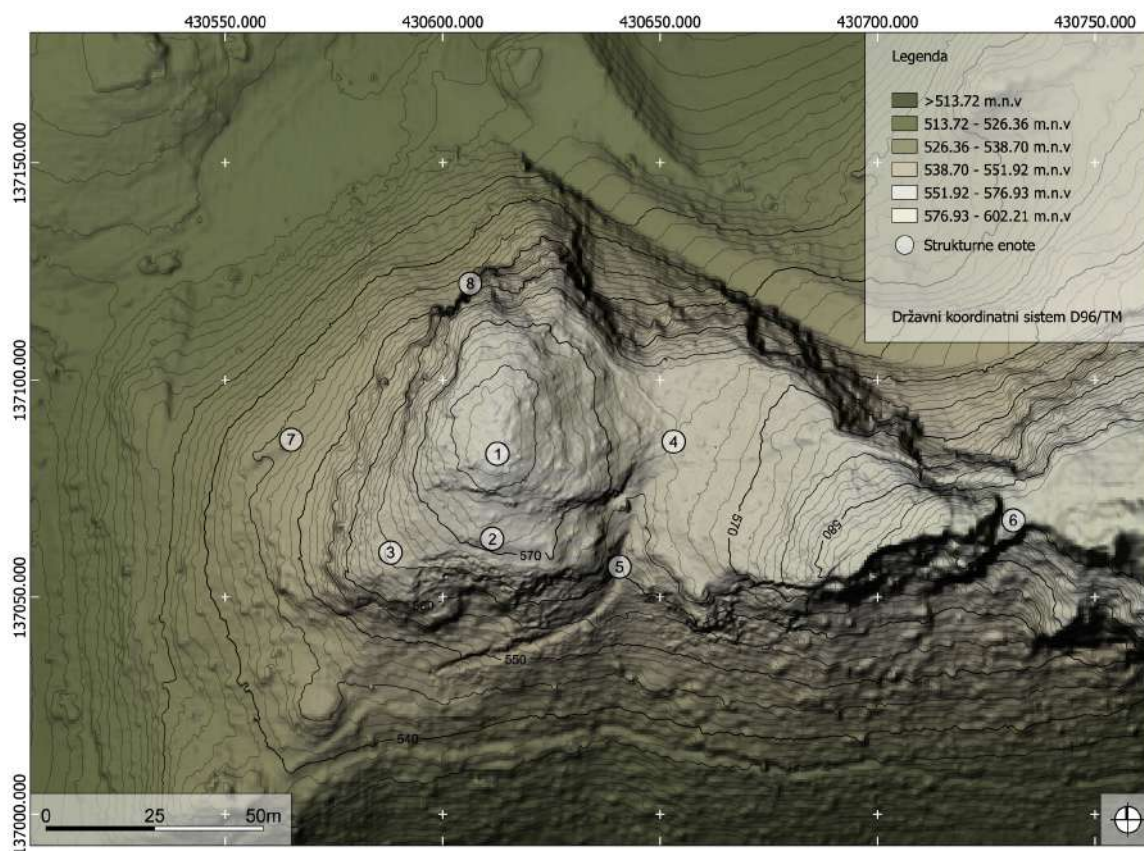
Terenski razvid

Topografski oris in strukturni pregled najdišča

Uvod

Prisotnost arheološkega najdišča je odločilno povezana z morfologijo zahodnega dela masiva Grajskega hriba, ki ga tvorijo sivi, srednjetriasni dolomiti in apnenci s slabo izraženo plastnatostjo, glede na fosilne združbe iz obdobja srednjega anizija pred približno 241 milijoni let. Zahodni vrh zakrasele vzpetine daje vtis pomola, katerega vrhnji plato je od ostalega masiva ločen z nizkim in širokim ter izravnanim sedlom, na ostalih straneh pa ga obdajajo zelo strma, mestoma prepadna skalnata pobočja. Posebej strmi so južno, severozahodno in severno ovršje vzpetine, nekoliko zložnejše, a še vedno strmo je jugozahodno pobočje proti Višcam. Območje porašča mešan gozd, v katerem prevladuje beli gaber, redkejša pa so drevesa bora in smreke.

Arheološko najdišče sestavljajo štiri enote, in sicer vršni plato (*Sl.* 3.1: 1; 3.2–3.3), izravnava s tremi terasami na južni strani (*Sl.* 3.6: 2; 3.4–3.6), pobočje s spodnjo teraso na jugozahodnem delu (*Sl.* 3.6: 3; 3.7) ter izravnava na sedlu (*Sl.* 3.6: 4; 3.8). Teren je bil v veliki meri umetno preoblikovan in sicer v določenem obsegu z gradnjo poznoantične naselbine, ki je zbrisala morebitne površinske sledove predhodne prazgodovinske poselitve, medtem ko del prepoznanih struktur in sledov terasiranja pripada mlajšim obdobjem. Vse linearne gradbene strukture na zunanjih robovih posameznih prostorskih enot izrabljajo naravne stopnje oz. prelome v geološki podlagi. Teraso in nasipi na območju melišča pod zahodnim ostenjem pomola (*Sl.* 3.6: 7), interpretirani kot sledovi izkoriščanja gradbenega materiala, verjetno sodijo v poznosrednjeveško ali novoveško obdobje (*Priloga* 2).



Slika 3.1: Zahodni vrh Grajskega hriba. Glavne topografske – strukturne enote in druge lokacije, omenjene v besedilu (zasnova: A. Gaspari; izdelal: B. Kumer)

Vršni plato

Najvišji del vršnega platoja tvori rahlo napeta izravnava ovalne oblike (575 m nm. v.) velikosti približno 27 × 25 m s površino okoli 550 m² in daljšo osjo v smeri sever-jug, na katere površini mestoma izdanja kamninska podlaga. Na vzhodu je sprva zložno padajoča izravnava zamejena z linearno, dvakrat zalomljeno zidano strukturo v dokumentirani dolžini 23 m (SE 005), ki poteka približno na prehodu druge v tretjo tretjino pobočja nad sedlom (*Sl.* 3.3). Gre za obodni zid, škarpo neurejene zidave iz srednjevelikih in velikih lomljencev, brez vidnih sledov maltnega veziva. Zid se na severu naslanja na izdanek kamninske podlage, na jugu pa se konča v prekinitvi, preliminarno interpretirani kot vhod na vršni plato. Južno od domnevnega vhoda ocenjene širine okoli 1,5 m se struktura nadaljuje kot podobno grajen zalomljen zid (SE 010), ki ga sestavljata kratka vzhodna stranica in daljša, v dolžini 3,7 m izpostavljena južna stranica. Ta se v nadaljevanju nasloni na skalno stopnjo, ki ločuje vršni plato od južne terase.

Na severozahodu vršni plato takoj preide v prepadno pobočje, na severni strani pa je med robom prepada in notranjostjo vidnih več zajed, vklesanih v skalno osnovo (SE 001, SE 003 in SE 006), ki ustvarjajo manjše izravnave in so morda povezane s pridobivanjem novih uporabnih površin ali ekstrakcijo gradbenega kamna nedoločene starosti. Na blagem pobočju med vzhodnim robom vršne izravnave in domnevnim notranjim obzidjem se nahaja večja depresija skoraj kvadratne oblike dimenzij 2,7 × 2,3 m (SE 002).

Domnevan prvotni dostop na vršni plato s sedla (ta se bolj ali manj ujema z najpogosteje uporabljano današnjo potjo, druga pa vodi ob severni stranici vrha) je vodil po razmeroma strmi klančini v smeri severovzhod - jugozahod, obdani z izdanki kamninske podlage, in se tik pred domnevanim vhodom prislonil k vzhodnemu obodnemu zidu. Tik pred vhodom so v vegastem površju med dostopom in obzidjem prepoznavni obrisi vsaj enega, morda predeljenega, pravokotnega objekta (SE 007, SE 008 in SE 009).



Slika 3.2: Osrednja vzpetina in južne terase zahodnega vrha s sedla. Pogled z vzhoda (foto: A. Gaspari)



Slika 3.3: Oporni zid (SE 005) na vzhodni strani vršnega platoja. Pogled z jugovzhoda (foto: A. Gaspari; IMG_2603)

Južni del najdišča

Južni del najdišča obsega višji vzhodni del s terasami v dveh (treh) nivojih (*Sl.* 3.4 in 3.5), ter nižji, jezičasto oblikovan del jugozahodnega pobočja, ki ju objema ponekod izpostavljen obodni zid/obzidje (*SE* 011) v skupni dolžini okoli 67 m. Ta del naselbine s skupno površino okoli 440 m² je od vršnega platoja ločen z 1–2 m visoko skalno stopnjo, ki se vleče čez celo širino najdišča in proti vzhodu oziroma izraziti zajedi/žlebu v jugozahodnem robu sedla prehaja v navpično ostenje. Najzložnejša komunikacija med vršnim platojem in najvišjo teraso na tem delu naselbine je vodila čez presledek v skalni stopnji, približno v osi dostopa in vhoda s sedla. Terasa (okoli 571 m nm. v.) je približno pravokotne oblike in ima precej ravno površino. Na jugu jo obdaja ožja terasasta izravnava (okoli 569 m nmv.), ki deluje kot nepozidan prostor neposredno za obzidjem, na vzhodu pa nekoliko nižja pravokotna terasa, prav tako del obzidanega prostora naselbine. Vzhodna stranica obzidja se na tem delu na površini sluti kot oster prehod med teraso in zunanjim pobočjem nad omenjeno grapo, južna stranica zidu iz večjih lomljencev, vezanih z zelo trdno belosivo malto (*Sl.* 3.6), pa je vidna v dobršnem delu okoli 25 m dolgega poteka med domnevanim jugovzhodnim vogalom obzidja in osjo zahodne stranice zgornje naselbinske terase, v katerem je obzidje postavljeno neposredno na rob nekajmetrskega prepada. V nadaljnjem poteku proti zahodu je zid ponovno zakrit z rušo in zemljenimi depoziti, strmina zunanjšega pobočja pa popusti. Tik pred jugozahodnim vogalom naselbine se obzidje nasloni na severni rob manjšega skalnega pomola, ob katerem je v osi sodobne steze pogojno mogoče domnevati drug vhod, nato pa se polkrožno zalomi proti severu in se po 15 metrih nasloni na skalno pobočje.

Na notranji strani obodnega zidu se je izoblikovala okoli 8 m široka naselbinska terasa (*Sl.* 3.7), ki jo zmerno strmo pobočje loči od zgornje terase. Z malto vezan zid z delom stratifikacije na njegovi notranji strani se je pokazal v ostenju jame izruvanega bora, ki se je do žledu leta 2014 rasel na robu terase v osi domnevanega obzidja, ob naravni katastrofi pa se je zrušil po pobočju. Poškodbo je leta 2015 dokumentirala ekipa ZVKDS CPA (Jerala et al. 2015). V jugozahodnem kotu naselbinske terase je na območju domnevnega vogala obodnega zidu vidna večja krožna struktura s poglobljenim osrednjim delom.

Zahodno pobočje pod obzidjem se kmalu prelomi v navpično stopnjo, ki na severnem delu dobi obliko deloma previsne, vsaj 15 m visoke stene, pod katero sta večji zakrasel spodmol in manjša jama s preduhom (*Sl.* 3.1: 8). Pobočje na vznožju stene pod obzidjem jugozahodnega dela naselbine se izteče v večjo podolgovato terasasto izravnavo, ki jo na prelomu v nadaljevanje pobočja proti poti med Pristavo in Višcami spremlja nasip zaobljenega preseka (*Sl.* 3.1: 7). Skupine lomljencev in drobirja v haldah kažejo, da gre za sledove izkoriščanja gradbenega kamna. Severni del nasipa se v vzponu izklini v vzhodnem pobočju, južni pa preide v teraso, ki se konča pri zaobljeni (naravni?) kopi v hrbtu jugozahodnega grebena pod naselbino (glej Mlekuž 2017).



Slika 3.4: Vzhodni rob južnega dela naselbine. Pogled z vzhoda (foto: A. Gaspari)



Slika 3.5: Terasa (SE 013) in prelom v rob z domnevnim obzidjem (SE 011) na južnem delu naselbine. Pogled z vzhoda (foto: A. Gaspari)



Slika 3.6: Izpostavljeni ostanki (SE 011) južne stranice obzidja. Pogled z jugozahoda (foto: A. Gaspari; IMG_2553)



Slika 3.7: Jugozahodni del naselbine. Pogled z vzhoda (foto: A. Gaspari; IMG_2591)

Predprostor

Obsežna izravnava na sedlu med vršnim platojem pomola in nadaljevanjem masiva proti kopi z Blejskim gradom (*Sl.* 3.1: 4) je na severni strani zamejena z obodnim zidom (SE 014), postavljenim na rob zelo strmega pobočja, na jugu z več metrsko skalno stopnjo z zajedo, skozi katero vodi današnja pot med Zako in gradom (*Sl.* 3.1: 5), na vzhodu pa se izklini v prvotno težje prehodni skalni greben proti Gradu. Severni obodni zid na zahodnem delu, kjer se njegov potek sluti pod moderno potjo, sprva polkrožno objema ozko vznožje vršnega platoja nad prepadom (*Sl.* 3.8), se nato pravokotno obrne in nasloni na skalno rebro, ki vodi proti vrhu pomola. Na vzhodni strani, kjer je z zunanje strani vidnih več leg kamnov, pa zid približne debeline 1 m poteka v vzponu do samega zatrepa teras nad vzhodnim delom izravnave. Dokumentirana dolžina zidu, ki je na izpostavljenem delu izdelan iz večjih in srednjevelikih lomljencev, brez vidnih sledov maltnega veziva, znaša okoli 65 m.



Slika 3.8: Severno obzidje (SE 014) predprostora. Pogled z zahoda (foto: A. Gaspari; IMG_2539)

Dostopnost

Opisana topografija najdišča zaenkrat ne dopušča jasnega odgovora o glavni smeri pristopa. Najzložnejša je pot, ki je vodila skozi grapo v južnem robu sedla v predprostor naselbine, se tam zaobrnila proti zahodu in po kratkem vzponu dosegla vhod na vršni plato. Alternativni dostop v naselbino z juga je morda vodil skozi podobno zajedo ob skalni rebri tik ob jugozahodnem vogalu terase, kjer lahko morda domnevamo okrepljen del obodnega obzidja ali celo manjši stolp. Obe možnosti implicirata komunikacijo s Pristavo in tamkajšnjimi aktivnostmi po daljšem ovinku čez Višce, zato se zdi s tega vidika verjetnejši dostop iz smeri domnevanega, vendar še ne povsem nedvoumno potrjenega dela (jedra?) poznoantične naselbine in zgodnjersrednjeveškega gradišča na najvišjem delu grajskega masiva, od koder se proti obravnavanemu sedlu spušča strma skalna reber, v katero je bil kot del obrambe gradu (in/ali priložen kamnolom) morda že v 11. ali 12. stoletju (k še ne docela pojasnjenim zgodnjim fazam visokosrednjeveškega gradu glej Stopar 1996; id. 2018; Sapač 2006; Leben 2011), najpozneje pa ob prenovi po potresu 1511 vklesan okoli 6 m globok in 8 m širok prečni jarek (*Sl.* 3.1: 6). Današnja pot, ki vodi iz Zake čez sedlo mimo obravnavanega pomola proti parkirišču na lokaciji Na sedlu, in od katere se pri omenjenem jarku odcepi v serpentinah speljana pot k vratom v severozahodnem palaciju gradu, je približno v isti trasi prvič vrisana na načrtu iz leta 1807 (*Sl.* 1.2), pri čemer je prvotna komunikacija omenjeno reber verjetno prečila po grebenu ali nižje ležeči polici, medtem ko je današnja pešpot izdelana v skalnem useku.

Interpretacija rezultatov geofizikalne raziskave

Osnova za umestitev prve testne sonde je bila razlaga rezultatov geofizikalne raziskave, ki jo na tem mestu podajamo v povzetku.

Največja pestrost anomalnih območij, ki domnevno odražajo spremembe arheološkega izvora v podpovršju, je bila ugotovljena na območju vršnega platoja. Na rezultatih magnetne in nizkofrekvenčne EM metode močno izstopa pas skoraj krožne tlorisne oblike, ki poteka ob notranji strani obodne suhozidne konstrukcije vršnega platoja. Širina pasu visokih magnetnih vrednosti je 3 m, ponekod tudi več. Zelo podobno, če že ne popolnoma enako, velja tudi za pas visokih vrednosti susceptibilnosti in relativno boljše električne prevodnosti, ugotovljene z nizkofrekvenčnim EM instrumentom. Torej ne gre samo za učinek obodnega zidu, temveč verjetneje za prežgana tla in glede na boljšo električno prevodnost tudi za nekoliko večjo debelino tal/arheoloških plasti na njegovi notranji strani. Možno je tudi, da gre za akumulacijo materiala prenešenega z gravitacijskim transportom, ki se je kopičil ob obodnem zidu, ki v tem smislu predstavlja zaporo.

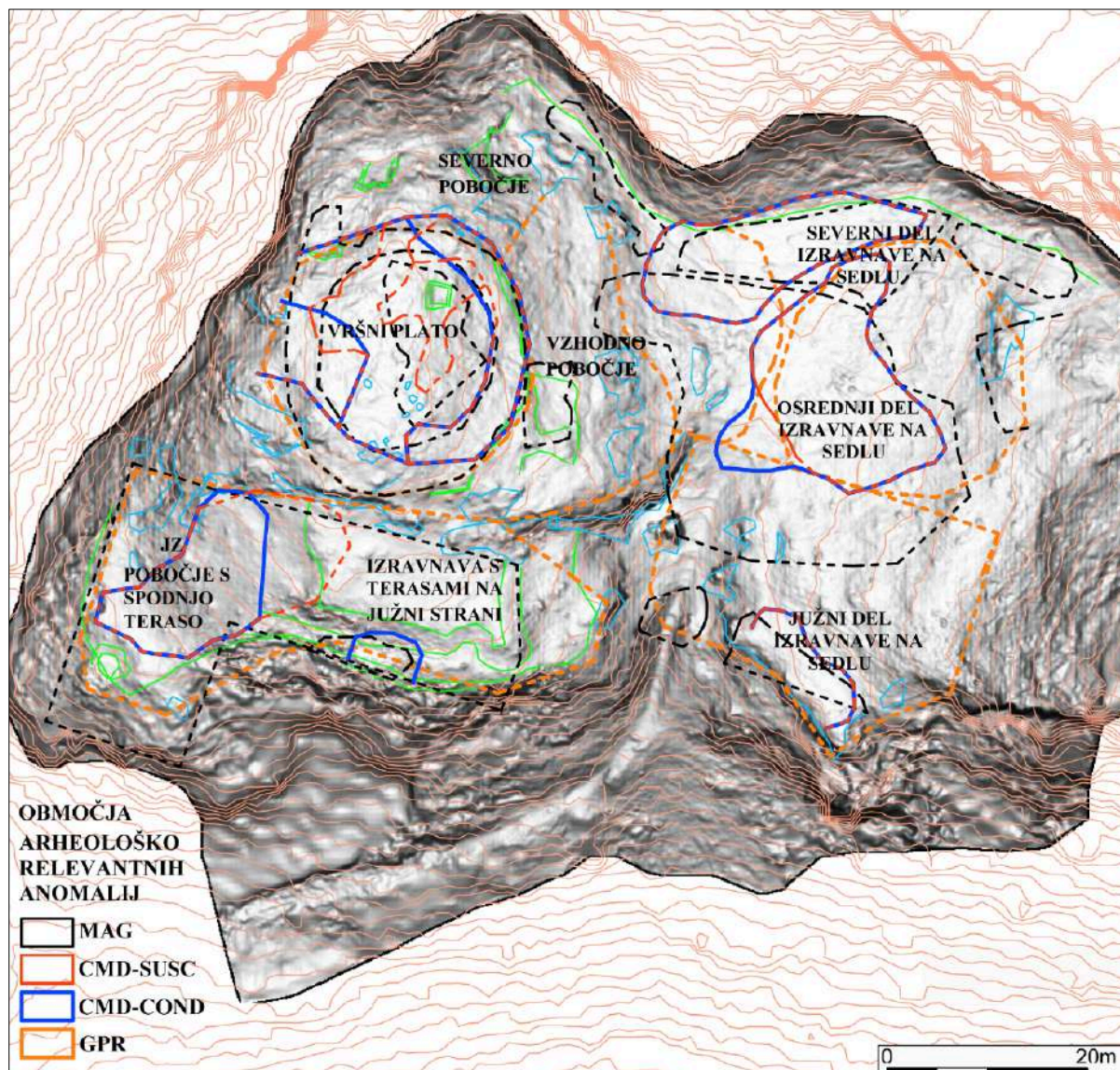
Druga območja močnih magnetnih anomalij so bila ugotovljena na izravnavi na sedlu in sicer tako na njeni severni strani v širokem pasu ob pregibu platoja v strmo pobočje, kot v njenem osrednjem delu in tudi na skrajnem južnem delu, kjer se plato prevesi v strmo pobočje. Domnevamo, da je tudi na vseh teh mestih visoka magnetna susceptibilnost posledica žgane gline v arheoloških horizontih. Delovna predpostavka je, da gre za pogorele lesene strukture vzdolž pregiba terena na skrajnem severnem in južnem delu izravnave na sedlu. V osrednjem delu izravnave na platoju se na rezultatih magnetne metode vidi nekaj usmerjenih magnetnih anomalij, vendar so tlorisni prikazi anomalij v glavnem nepravilnih oblik, kar pa ne zmanjšuje verjetnosti arheološkega izvora.

Na vseh mestih močnih magnetnih anomalij so bile ugotovljene tudi visoke vrednosti magnetne susceptibilnosti oz. in-phase komponente nizkofrekvenčne EM metode, ki hkrati ustrezajo relativno boljši električni prevodnosti, izmerjeni s quadrature komponento istega instrumenta. Boljšo prevodnost lahko razumemo kot večjo debelino horizontov, ki bolje zadržujejo vlago, kar lahko prav tako govori v prid predpostavke o arheoloških kulturnih horizontih za razliko od mest, kjer je geološka podlaga plitvo pod površjem in je s tem konduktivnost neprimerno nižja. To območje zelo dobre električne prevodnosti predstavlja po velikosti izjemo na celem najdišču, kar kaže na "kotanjo" večjih razsežnosti. Drugje so bile ugotovljena samo manjša območja dobre električne prevodnosti: ob notranji strani obodnega zidu na vršnem platoju, ob severnem robu izravnave na sedlu in tudi na jugozahodnem pobočju s spodnjo teraso.

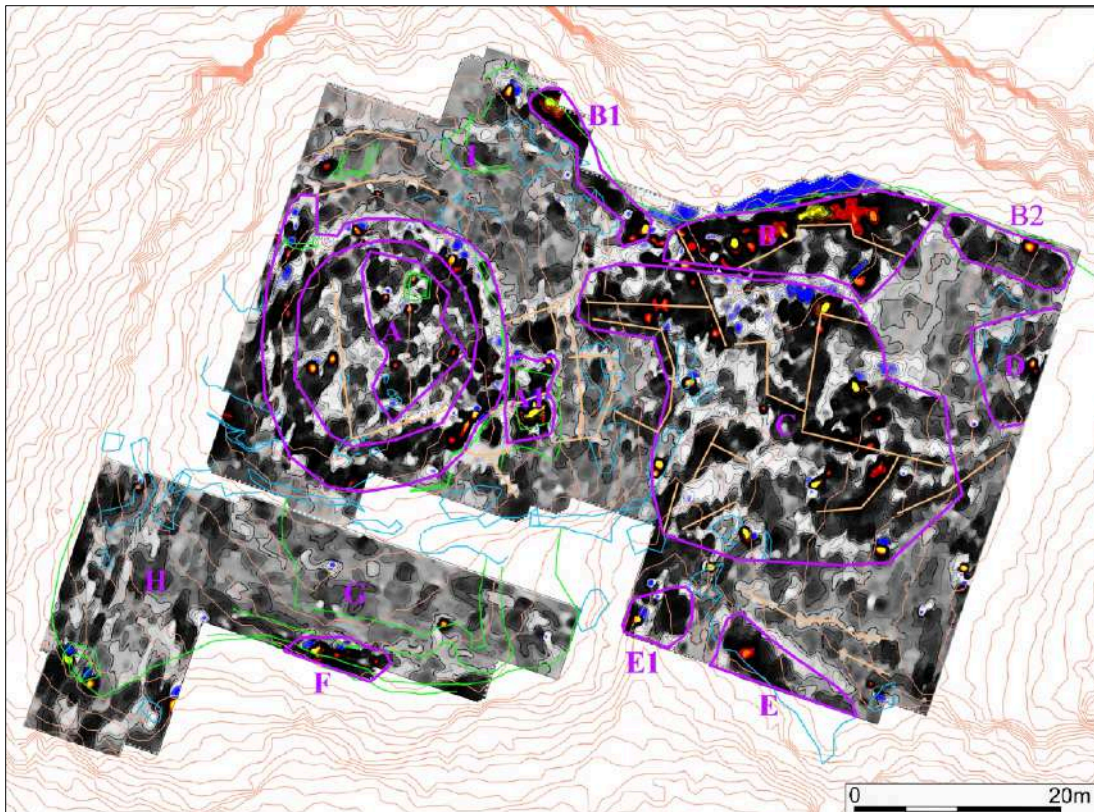
Rezultati georadarske metode so po vseh obdelavah ostali kompleksni in v glavnem ne zagotavljajo nedvoumne arheološke interpretacije. Glavni izziv predstavlja razgibanost površja, ki sama po sebi kaže na spremenljivo sestavo podpovršja, kjer se prepletajo signali arheoloških materialov s signali naravnega izvora, kjer je v ospredju spremenljivost globine do geološke podlage. Na najdišču je veliko izdankov apnenca, ki so bili kartirani pri strukturnem pregledu, kar je sicer pomagalo pri prepoznavanju georadarskih odbojev od naravnih apnenčevih oblik, vendar pa je kljub temu ostalo še veliko nerešenih vprašanj. Obodni zid vršnega platoja je na vzhodni strani jasno sledljiv, vendar pa ga ne vidimo jasno na drugih delih, kjer so jasne tako magnetne anomalije, kakor tudi rezultati nizkofrekvenčne EM metode, ki kažejo na skoraj krožno obliko. Na samem vršnem platoju je veliko izrazitih georadarskih odbojev, ki pa jih ne moremo povezati v jasne tlorisne oblike. Na tem mestu je geološka podlaga zelo plitvo pod površjem, na več mestih pa so tudi izdanki apnenca. Iz rezultatov upornostne tomografije vemo, da se trdna apnenčeva geološka podlaga v glavnem nahaja na globini 50 cm ali manj. Je pa tudi nekaj kotanj v apnencu, ki so lahko potencialno arheološko zanimive. Podobna slika, kar se rezultatov georadarske metode tiče, je tudi na osrednjem delu izravnave na sedlu, kar pomeni, da so ti rezultati nekoliko v nasprotju z ugotovitvami drugih metod. Rezultati georadarske metode namreč kažejo veliko relativno močnih georadarskih odbojev na mestu dobre električne prevodnosti in višje magnetne susceptibilnosti. Tlorisi georadarskih odbojev sicer kažejo na odboje od usmerjenih struktur, vendar je nemogoče podati enoznačno interpretacijo v smislu samo arheološkega izvora teh anomalij. Najverjetneje gre za preplet arheoloških informacij in vpliva sestave naravnega okolja.

Povsem jasne tlorisne oblike so bile na rezultatih georadarske metode prepoznane samo na južnem delu izravnave na sedlu. Ker se nahajajo na nekoliko večji globini, kot pričakujemo arheološke ostanke, gre lahko

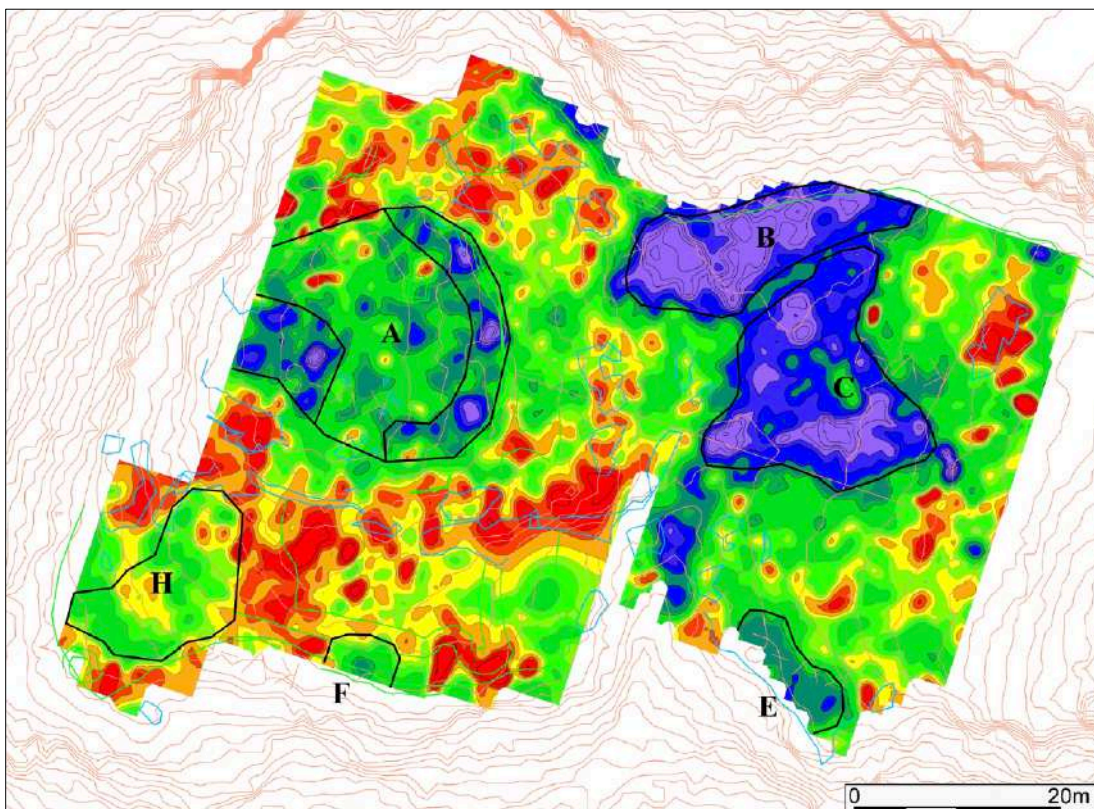
tudi za učinek naravne geološke podlage, vendar se avtorji poročila bolj nagibajo v smer razlage teh oblik kot arheoloških arhitekturnih ostankov. Najšibkejšje georadarske anomalije so bile izmerjene na območju izravnave s terasami na južnem delu in na jugozahodnem pobočju s spodnjo teraso. Sama šibkost anomalij kaže na nekoliko vlažnejšo podlago, kar je lahko v tem primeru ugodna okoliščina. Višja vsebnost vlage in posledično pojemanje georadarskih signalov praviloma pomeni nekoliko debelejši sloj bolj drobnozrnatega materiala (preperina/arheološke kulturne plasti). Je pa na teh dveh območjih posebno to, da so na tlorisnih prikazih georadarskih meritev vidne linije, ki so sicer zelo šibke vendar arheološko pomenljive. Lahko gre za skope ostanke suhozidnih konstrukcij in/ali kamnitih konstrukcij na robovih teras.



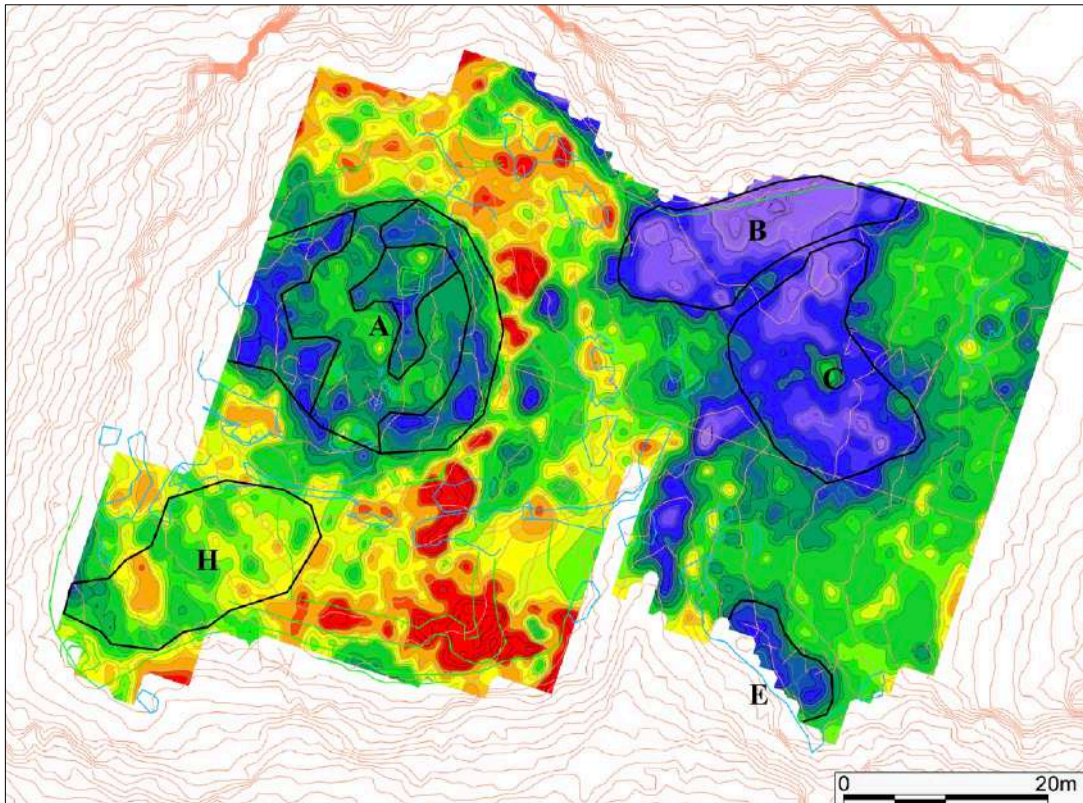
Slika 3.9: Anomalna območja za vsako od uporabljenih geofizikalnih metod, za katera izvajalec domneva, da odražajo spremembe v pod površju, ki so arheološkega izvora (po Mušič et al. 2018, sl. 53)



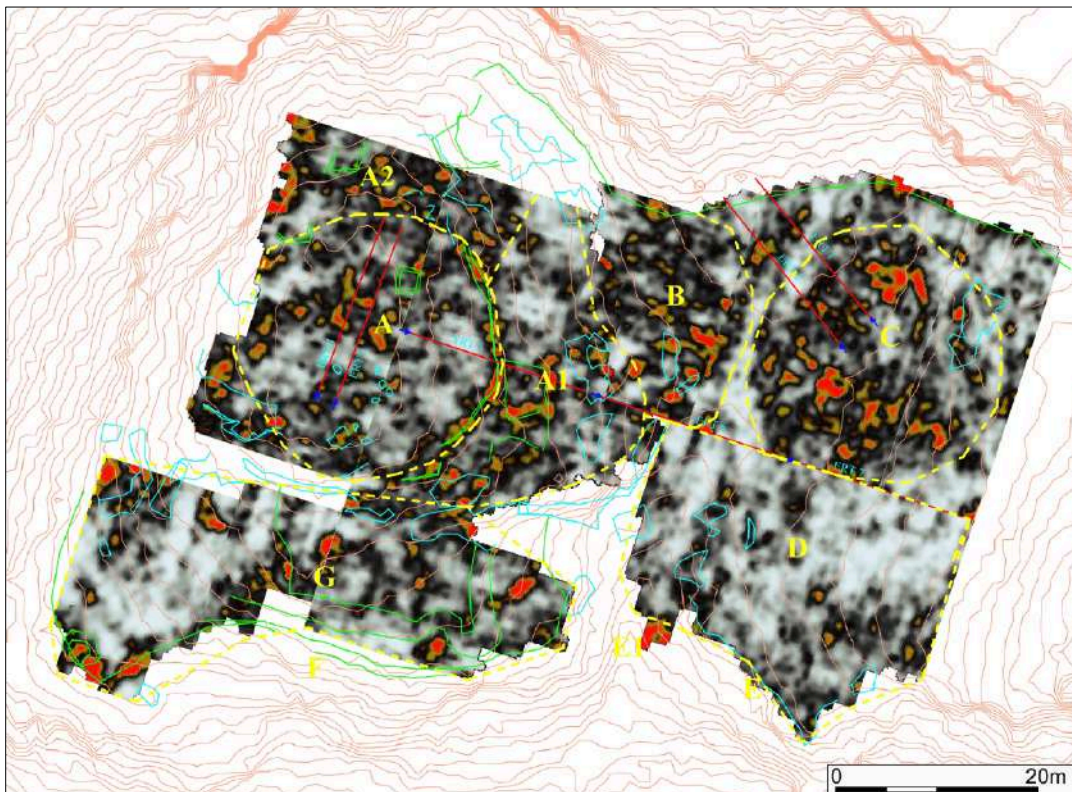
Slika 3.10: Rezultati magnetne metode z območji močnih magnetnih anomalij, ki jih izvajalec pripisuje arheološkim virom (po Mušič et al. 2018, sl. 57)



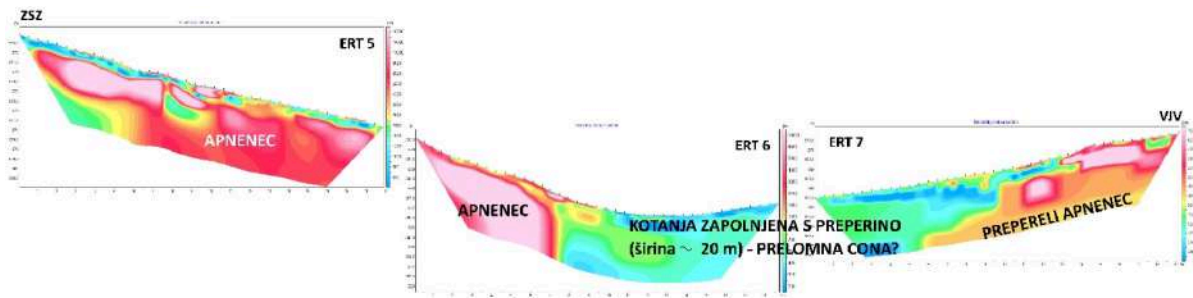
Slika 3.11: Rezultati meritev električne prevodnosti z območji relativno boljše prevodnosti, ki jih izvajalec pripisuje arheološkim kulturnim horizontom. Globinski interval: 0–30 cm (po Mušič et al. 2018, sl. 60)



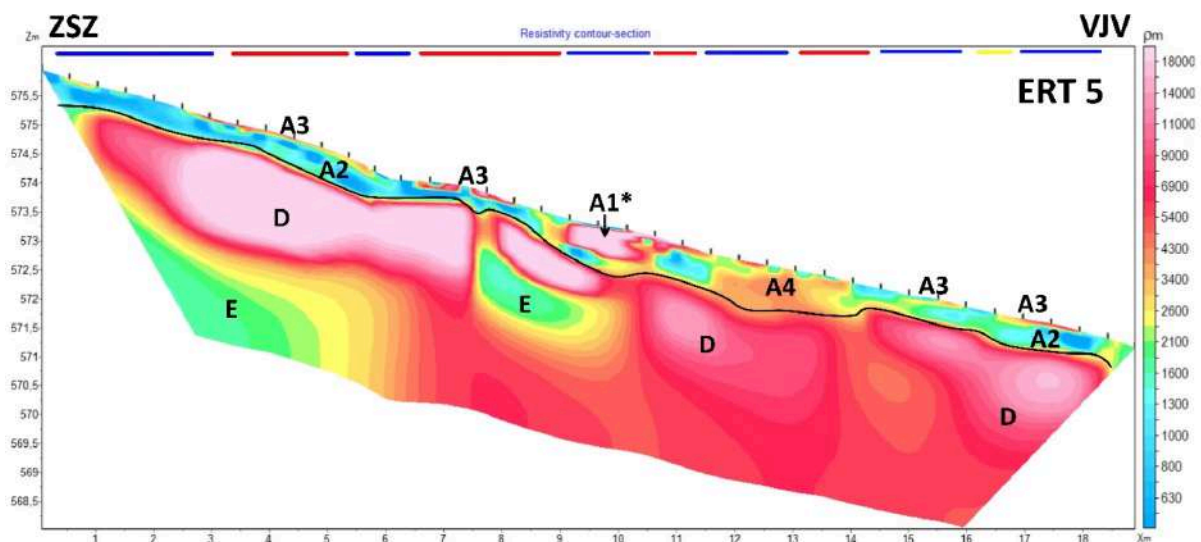
Slika 3.12: Rezultati meritev magnetne susceptibilnosti z območji relativno višje susceptibilnosti, ki jih izvajalec pripisuje arheološkim kulturnim horizontom. Globinski interval: 0–30 cm (po Mušič et al. 2018, sl. 65)



Slika 3.13: Rezultati georadarske raziskave z območji relativno izrazitejših georadarskih signalov, ki jih izvajalec pripisuje arheološkim kulturnim horizontom in ponekod tudi učinkom apneneve podlage. Globinski interval: 30–60 cm (po Mušič et al. 2018, sl. 70)



Slika 3.14: Oblikovanost visokoupornostne apnenčeve geološke podlage na vršnem platoju, pobočju in izravnavi na sedlu, kjer je velika kotanja zapolnjena z materialom nižje upornosti (po Mušič et al. 2018, sl. 48)



Slika 3.15: ERT profil 5. Črna linija ločuje potencialne arheološke horizonte od kompaktnega apnenca v podlagi (do globine pretežno ~ 0,5 m, ponekod do 0.8 m) (razlaga po Mušič et al. 2018, sl. 49).

A1* – suhozid zelo visoke upornosti, viden tudi na površju (~20000 Ω m), širine 1,0–1,2 m, višine okrog 0,5 m.

A2 – nižje do srednjeupornostna območja nad kompaktnim apnencem (500–2000 Ω m). Gre za preperino, v kateri je lahko tudi arheološki material. Na območjih z močnejšimi magnetnimi anomalijami so lahko te upornostne anomalije tudi posledica prežgane gline.

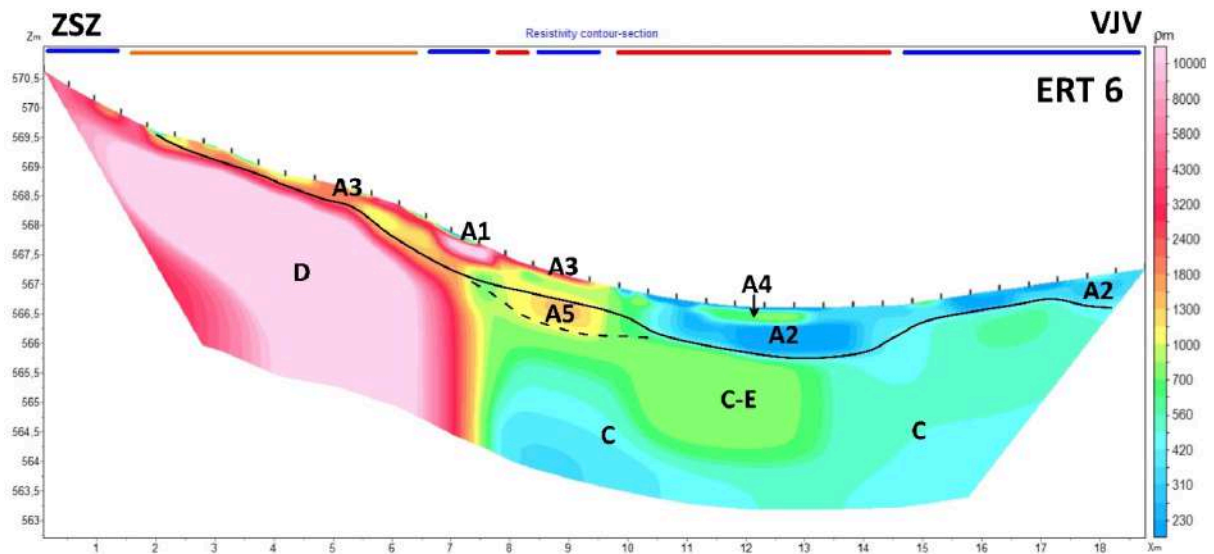
A3 – zelo tanke pripovršinske visokoupornostne anomalije (2000 do preko 5000 Ω m) lahko predstavljajo arheološki material (ponekod prežgan) in/ali kamninski drobir.

A4 – višjeupornostno območje (2500 do več kot 4000 Ω m) lahko predstavlja arheološke strukture (lahko gre za ruševinske plasti) ali pa delno preperel apnenec.

C1 – kotanja v apnencem pod strukturo A3 na profilu ERT 4, kjer je lahko nakopičen nižjeupornostni arheološki material, v primeru, da strukture A3 predstavljajo arheološki horizont.

D – kompakten, zelo visoko upornostni apnenec (5000–20000 Ω m).

E – kaverne v apnencu s preperino in preperelim apnencem (1500–2000 Ω m).



Slika 3.16: ERT profil 6. Črna linija ločuje potencialne arheološke horizonte nad kompaktnim apnencem v podlagi (do globine pretežno ~0,5 m, v kotanji do 0,8 m); črna prekinjena linija predstavlja morebitni arheološki potencial do globine pretežno 1 m (razlaga po Mušič et al. 2018, sl. 50).

A1 – visokoupornostna struktura (~8000 Ωm), širine približno 1 m in višine manj kot 0,5 m. Lahko gre za suhozid ali kompaktni apnenec blizu površja (izdanek apnenca je opazen tudi v neposredni bližini tega območja).

A3 – tanjše pripovršinske višjeupornostne anomalije (2000–3000 Ωm) – arheološki material (v zgornjem delu prežgan) s kamninskimi drobirjem in/ali apnenec blizu površine?

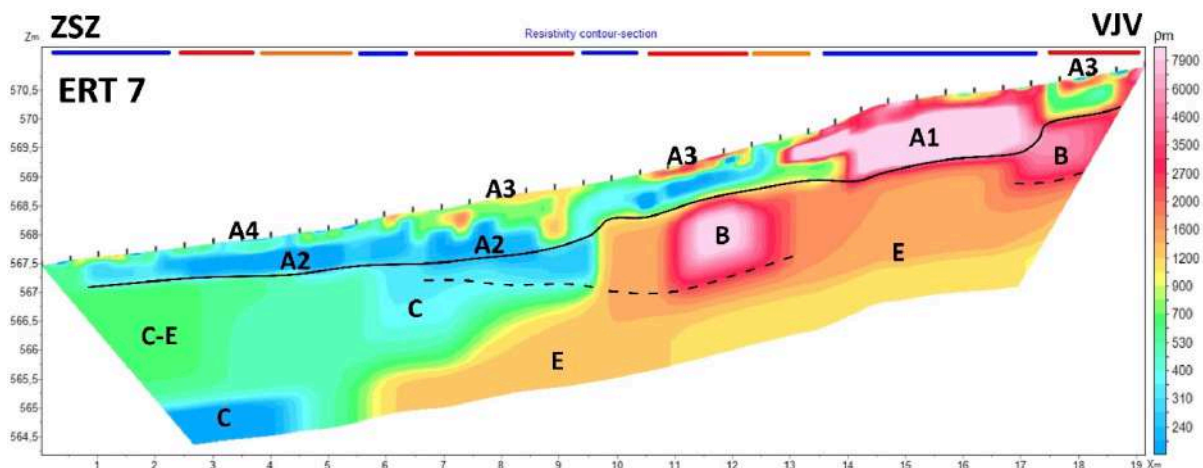
A4 – srednjeupornostno območje (~700 Ωm) do globine cca 0,25 m lahko glede na močnejše magnetne anomalije predstavlja upornostni učinek prežgane gline.

A2 – nižjeupornostna območja (200–400 Ωm) v kotanji zapolnjeni s preperino, kjer se je lahko kopičil tudi arheološki material. Na območju močnejše magnetne anomalije na dnu kotanje gre lahko tudi za žgano glino.

A5 – višjeupornostna anomalija (1000–1500 Ωm) do globine cca 1 m: arheološka struktura (ruševine suhozida?) ali (bolj verjetno) deloma preperel apnenec.

C – nižjeupornostno polnilo večje kotanje - preperina (250–500 Ωm).

C-E – srednjeupornostno območje (700–1000 Ωm) porušenega preperelega apnenca.



Slika 3.17: ERT profil 7. Črna linija ločuje potencialne arheološke horizonte nad kompaktnim apnencem v podlagi (do globine pretežno 1 m). Črna prekinjena linija predstavlja morebitne arheološke ostanke do globine približno 2 m (razlaga po Mušič et al. 2018, sl. 51).

A1 – visokoupornostna struktura (~8000 Ωm), širine približno 4,5 m in višine cca 1 m (dolžina manjše plitvejšje strukture je 1 m, višina pa 0,4 m). Celotna struktura lahko predstavlja suhozid, preko katerega je profil usmerjen pod manjšim kotom od pravega in je zato navidezna širina večja od dejanske. Lahko gre tudi za kompakten apnenec blizu površja, vendar se zdi to zaradi relativno pravilnih pravokotnih oblik manj verjetno.

A3 – srednje do višjeupornostne anomalije (700–2000 Ωm). Gre za arheološki material, ki je glede na močnejše magnetne anomalije na teh območjih lahko tudi prežgan.

A4 – tanjša (~20 cm) pripovršinska srednjeupornostna plast (~500 Ωm), ki glede na močnejše magnetne anomalije predstavlja prežgano plast.

A2 – nižjeupornostna območja (200–400 Ωm) ob robu kotanje. Gre za preperino, ki lahko vsebuje tudi arheološki material.

B – visokoupornostni strukturi (8000 in 5000 Ωm), dimenzij 1,5 x 1 m in 1,5 x 0,8 m z vrhom na globini približno 1 m in segata do globine 2 m pod površjem. Zaradi relativno pravokotnih oblik sklepamo, da gre za kamniti strukturi, lahko pa gre tudi za blok kompaktnjšega apnenca.

C – nižjeupornostno polnilo večje kotanje s preperino upornosti med 200 in 500 Ωm .

E – višjeupornostno območje (1000–1600 Ωm) deloma preperilega apnenca.

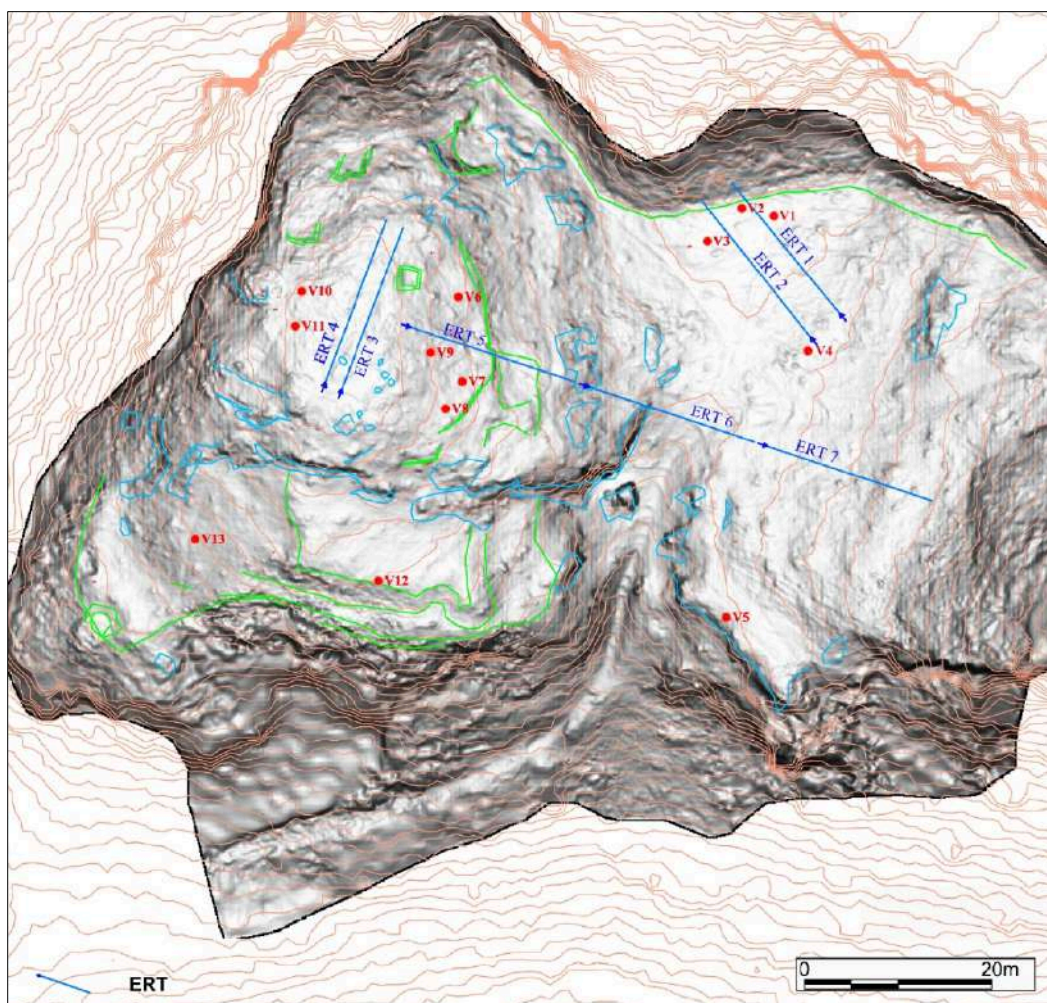
Interpretacija rezultatov vzorčenja z vrtinami

Vrtine 1, 2 in 3 se nahajajo na območju najmočnejših magnetnih anomalij na severnem robu izravnave na sedlu, vrtine 6–11 na območju močnejših magnetnih anomalij na vzhodnem in zahodnem delu vršnega platoja, vrtini 4 in 5 ob močnejših magnetnih anomalijah na osrednjem delu izravnave na sedlu oz. na skrajnem južnem robu tega območja, ter vrtini 12 in 13 na območju šibkih magnetnih anomalij na izravnavi s terasami na južni strani (Sl. 3.18).

Najvišje vrednosti magnetne susceptibilnosti (nad $1,5 \times 10^{-3}\text{SI}$) so bile izmerjene na vzorcih V-1, V-2 in V-3, ki se nahajajo na severnem robu izravnave na sedlu (Sl. 3.19). Tem sledijo po izmerjeni vrednosti susceptibilnosti vzorci V-7, V-8, V-10 na vzhodni in zahodni strani vršnega platoja z vrednostmi nad $1 \times 10^{-3}\text{SI}$, V-4, V-11, V-9, V-5 in V-6 na različnih mestih z vrednostmi med $0,5$ in $1 \times 10^{-3}\text{SI}$ ter V-13 in V-14 na izravnavi s terasami na južni strani z najnižjima vrednostma magnetne susceptibilnosti (pod $0,5 \times 10^{-3}\text{SI}$).

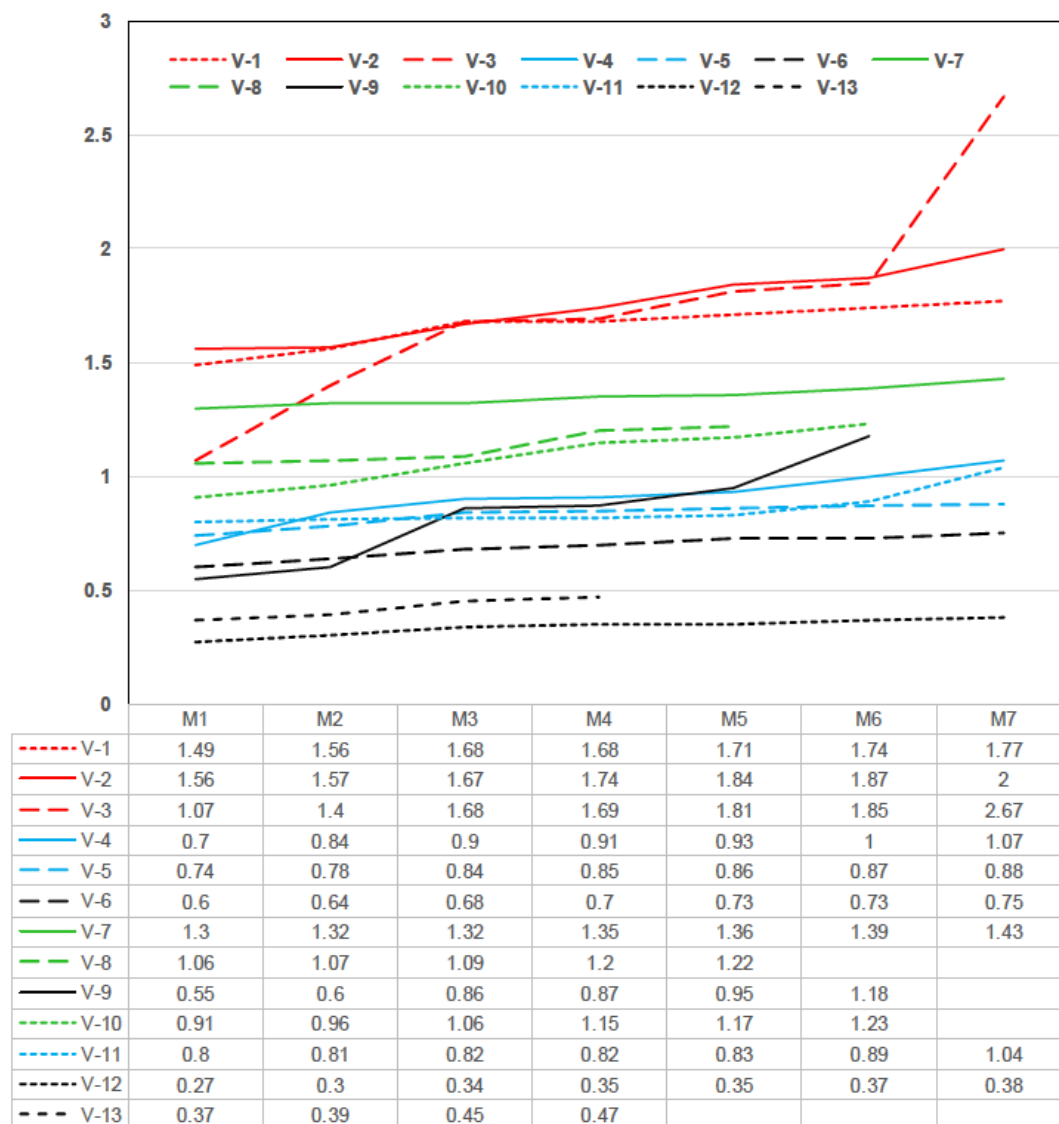
Drobci keramike so bili odkriti v vrtinah V-1–V-3 in V-6–V-11, koščke žlindre v V-1 in V-3, v V-8 pa tudi oglje, 3 kosti in žebelj s kvadratnim prerezom. V vzorcih V-4 in V-5 sicer nismo zasledili drobcov keramike, čeprav sta bili vrednosti magnetne susceptibilnosti podobne kot za vzorca V-11 in V-9. Sklepamo, da se drobci prežganega materiala nahajajo tudi na območjih vzorcev V-4 in V-5, vendar so prisotni v obliki delcev mikroskopskih velikosti.

Glede na rezultate se največ drobcov lončenine in/ali odpadnih produktov železarstva torej pojavlja na vršnem delu platoja in severnem delu izravnave na sedlu (Preglednica 3.1).



Slika 3.18: Položaji mest za plitve vrtine (V-1 do V-13) (po Horn, Mušič 2019, sl. 1)

Magnetna susceptibilnost



Slika 3.19: Magnetna susceptibilnost vzorcev iz vrtin V-1 do V-13. V arheoloških kontekstih je povišana magnetna susceptibilnost indikator prisotnosti magnetnih materialov, ki vsebujejo magnetnejše oblike železovih mineralov. Najpogosteje gre za termoremanentno magnetizacijo žgane glin v različnih oblikah, železnih predmetov in odpadnih produktov železarstva (po Horn, Mušič 2019, sl. 8)

Vrtina/ Vzorec	Magnetna anomalija (Magnetometrija)	Mag. susc. (CMD)	Konduktivnost (CMD)	Prežgani delci	Železo/ žilindra/ zelo magnetno	Kosti	Kamninski drobir	Magnetna susceptibilnost (srednja vrednost)
V-3	zelo močna	zelo visoka	zelo nizka	1 (keramika)	1 kos žindre (2cm)	-	več	1.83
V-2	zelo močna	zelo visoka	zelo nizka	4 (keramika?), 1 prežgani delec	-	-	zelo malo	1.75
V-1	zelo močna	zelo visoka	zelo nizka	2 (keramika)	1 košček žindre	-	malo	1.66
V-7	močna	višja	zelo nizka	5 delčkov (keramika?)	-	-	malo	1.35
V-8	močna	višja	nizka	3 (keramika) 2 (oglj?)	1 žebelj kvadratnega preseka	3	malo	1.13
V-10	močna	srednja	srednja	3 (keramika)	-	-	malo	1.08
V-4	srednja -na meji	srednja do višja	nizka	-	-	-	zelo malo - najmanj	0.91
V-11	močna	višja	srednja	3 (keramika)	-	-	zelo malo	0.86
V-9	močna	srednja	nizka	4 prežgani delci	-	-	malo	0.84
V-5	na meji močno-šibko	višja	srednja	-	-	-	več	0.83
V-6	močna	srednja	nizka	1 (keramika)	-	-	več-največ	0.69
V-13	šibka	srednja do nižja	srednja	-	-	-	malo	0.42
V-12	šibka	nizka	višja	-	-	-	zelo malo	0.34

Tabela 3.1: Razvrstitev večjih, ročno pobranih drobcov iz posameznega vzorca glede na srednje vrednosti magnetne susceptibilnosti celotnega vzorca (po Horn, Mušič 2019, tabela 3)

Povzetek rezultatov arheološkega testnega sondiranja

Uvod

Preliminarna kabinetna analiza razpoložljivih arhivskih in arheoloških virov ter površinski in strukturni pregled, dopolnjena s terestričnim skeniranjem lokacije so nakazali, da se na območju vzpetine in priležnega sedla, ki zahodni vrh loči od grebena z gradom, pojavljajo najdbe naselbinskega značaja iz pozne bronaste dobe oz. začetka starejše železne dobe ter bolj očitni ostanki zidanih struktur in teras, ki smo jih na podlagi preliminarne opredelitve gradbenih značilnosti in sporočenih drobnih najdb v študiji iz leta 2018 z nekaj pridržka umestili v poznoantično obdobje. Izhodiščno vrednotenje so nagradili rezultati geofizikalnih raziskav. Ti so opozorili na obstoj krožne anomalije na vršnem platoju, za katero smo domnevali funkcionalno povezanost s krožno potekajočim zidom na vzhodnem pobočju vzpetine in (morda večfazno) gradbeno-naselbinsko dejavnost na sedlu ter okrepili domneve o poteku obzidja oz. obodnega zidu na severni stranici sedla in na južnem in zahodnem delu vzpetine. Sondiranje v letu 2019, usmerjeno v preverjanje predhodnih ugotovitev in domnev o dinamiki obljudenosti lokacije in stavbnih ostankih iz posameznih obdobj, je del teh domnev potrdilo in nadgradilo, nekatera vprašanja, kot npr. datacija in funkcija opornega zidu na vzhodnem delu vršnega platoja ali arheološka vsebina krožne anomalije na njegovem notranjem obodu, zaznane z geofizikalno raziskavo, pa ostajajo neodgovorjena.

Sonda 1 (*Pril.* 4–8; matrika: *Sl.* 6.1)

Na celotni površini izkopnega polja, ki je zajelo odsek med severovzhodnim robom vršnega platoja in zgornjim delom vzhodnega pobočja pod domnevanim potekom zidane strukture, je bila dosežena litološka podlaga iz anizijskih apnencev (SE 1006). Skladi vpadajo v smeri sever-severozahod–jug-jugozahod pod kotom okoli 80 stopinj. Podlaga je značilno zakrasela, z množico manjših in večjih samic, ki jih je kemično delovanje okolice sprostilo iz matične kamnine. Ta na večini raziskanega predela leži zelo plitvo pod današnjim površjem, kar je skupaj z izjemno gosto razvejanimi koreninskimi spleti še rastočih, kot tudi že odmrlih dreves, povzročila močno humifikacijo večjega dela arheološko zanimive stratifikacije (*Sl.* 4.2 in 4.3). To je posebej očitno na najvišjem delu sonde, v kvadrantih 1 do 4, kjer se naravna, arheološko sterilna plast meljaste gline, ki navadno nastaja s preperevanjem karbonatne osnove, ni ohranila niti v najmanjših sledovih, celoten pedološki horizont pod travno oz. gozdno rušo (SE 1001) pa je precej enoten, iz temnosivega do temnorjavega peščenega melja z večjimi, srednjevelikimi in manjšimi kamni (SE 1005). Med njimi prevladujejo kosi matične podlage, precej pa je tudi alohtonega kamenja, vključno s prodniki in oraženci drugih litoloških facies (kremen, tuf, peščenjak). Vizualno določljive spremembe v do 40 cm debelih sedimentih so težko zaznavne, oprijemljivejših rezultatov v kvadrantih 1–4 niso dale niti meritve navidezne magnetne susceptibilnosti.

Najdbe iz depozitov, odloženih neposredno na skalno podlago, vključujejo odlomke prazgodovinske keramike, pretežno manjših dimenzij, kar dokazuje intenzivno dogajanje v mlajših obdobjih. Ostanki, ki bi jih pripisali obdobjem med antiko in visokim/poznim srednjim vekom, so v teh plasteh razmeroma skromni in jih ni mogoče povezati s kakršno koli strukturo ali kronološko homogenim depozitom. Precej bolj številno je gradivo iz poznega srednjega veka in zlasti zgodnjega novega veka, ki mu lahko pripišemo tudi sledove umetnega prilagajanja površine litološke osnove in edino dokumentirano strukturo. Očitni sledovi nižanja štrlečih grebenov in skalnih rogljev, ki se kažejo v zaplatah kamnitega drobirja, so domnevno mlajše starosti, ni pa izključeno oz. je celo verjetno, da je bil vršni del platoja pokresan že v zgodnejših obdobjih, korozija pa je naredila svoje. Sledovi umetnega prilagajanja podlage so posebej razvidni pri kvadratnem objektu v kv. 3 (*Sl.* 4.1, 4.4–4.6). Ta ima zahodno (SE 1009) in severno (SE 1004) ter del vzhodne stranice (SE 1003) iz lomljencev, vezanih z belo apneno malto z večjim deležem ostrorobega peska, naslonjeno na skalo, sledovi ravnanja podlage pa so očitni tudi v severozahodni tretjini dna (SE 1010=1017). Najdbe iz homogene plasti, ki je zapolnjevala njegovo notranjost (SE 1008) in je podobna oz. enaka vrhnjim depozitom po praktično celotnem izkopnem polju, kažejo na nastanek okvirno v 16./17. stoletju, kar potrjuje tudi dejstvo, da je bila vzhodna stranica objekta vkopana v plast (SE 1002), katere izoblikovanje je z najdbo pasne sponse (*T.* 3: 52) datiran v čas 15./16. stoletja ali pozneje.

Pobočje pod omenjenim objektom (kv. 4–6) vsebuje obsežnejšo stratifikacijo, v okviru katere se sekvenca nad litološko osnovo začne s preperlino iz rjave meljaste do peščene gline (SE 1016). Ta ni arheološko sterilna, saj se v njej pojavljajo tako odlomki prazgodovinske keramike kot alohtoni kamni. Keramika v primerjavi s tisto iz mlajših plasti kaže močno korodiranost površine, vendar ne takšne stopnje zaobljenosti robov odlomov, da bi jo lahko pripisali drsenju v koluvialni plasti. V sekvenci sledi podobna plast, ki še vsebuje samo prazgodovinsko keramiko (SE 1015), vendar ta ni korodirana. Tudi ta plast se naslanja na skalno podlago in zapolnjuje v njej izoblikovane žepe in poglobitve (*Sl.* 4.14–4.15), v enem od takšnih žepov je bil na območju, kjer skala sega tik pod površje, odkrit tudi del diagnostično pomembne bronaste igle z majhno stožčasto glavico (*T.* 4: 89), sicer pripisane spodnjemu delu plasti SE 1013. Najdbe prazgodovinske keramike so dokaj pogoste tudi na sami površini te plasti (SE 2015), zato se je bilo primeroma težko odločiti, ali so še njen integralni del, ali pa pripadajo mlajšemu depozitu (manj verjetno). Glavnina tega, naslednjega depozita v sekvenci vzhodnega dela sonde je namreč temnejši, peščeno-meljast s precejšnjo količino karbonatnega drobirja in srednjevelikih kamnov. Plast (SE 1013) se debeli po pobočju navzdol do kotanje ob skalni stopnji (*Sl.* 4.13) in vsebuje kronološko zelo različno gradivo, od prazgodovinske keramike, posameznih kosov stekla verjetno poznoantične produkcije, precej številnih odlomkov grobe lončenine, pogojno pripisane zgodnjemu srednjemu veku, prek keramike iz visokega (?)/poznega srednjega veka do prevladujočih najdb iz zgodnjega novega veka. Plast se na spodnjem robu izklini pod plast večjih do srednjevelikih apnenčastih kamnov (SE 1011), interpretirano kot ruševino suhozidne konstrukcije na prelomu pobočja v skoraj povsem zakrito skalno stopnjo (*Sl.* 4.9–4.11). Ostanki same konstrukcije v sondi niso bili razpoznavni, vendar se da o njenem približnem poteku sklepati na podlagi južno ležečega zidu (SE 005). Ne v sondi, ne pri vizualnem pregledu zidu ni bila odkrita najmanjša sled maltnega veziva, zato je ob upoštevanju prevladalo mnenje, da gre za strukturo iz mlajših obdobij, morda celo sočasno kvadratnemu objektu iz kv. 3. Med kamni pod stopnjo, ki so pripisanimi isti ruševini in ležali praktično neposredno na skalni podlagi, je bilo odkrito skoraj izključno zgodnjenovoveško gradivo.



Slika 4.1: Sonda 1. Objekt v kv. 3 ob začetku izkopavanja (foto: A. Gaspari; DSC_2616)



Slika 4.2: Sonda 1. Zahodni del sonde (kv. 1–3) po odstranitvi ruše. Pogled proti jugozahodu (foto: A. Gaspari; DSC_2735)



Slika 4.3: Sonda 1. Zahodni del sonde (kv. 1–3) po odstranitvi ruše. Pogled proti severovzhodu (foto: A. Gaspari; DSC_2798)



Slika 4.4: Sonda 1. Objekt v kv. 3 ob pred odstranitvijo ruševine zahodne stranice (foto: A. Gaspari; DSC_2775)



Slika 4.5: Sonda 1. Hodna površina objekta v kv. 3 z delno prilagojeno skalno podlago (foto: A. Gaspari; DSC_2959)



Slika 4.6: Sonda 1. Situacija v objektu (kv. 3) pred odstranitvijo ruševine (SE 1007) zahodnega zidu Pogled proti severu (3D fotogrametrični model: B. Kumer)



Slika 4.7: Sonda 1. Vzhodna stranica objekta v kv. 3 je bila vkopana v SE 1002. Pogled proti jugozahodu (foto: A. Gaspari; DSC_3241)



Slika 4.8: Sonda 1. Skalna podlaga na zahodnem delu sonde, razmeroma plitvo pod površino. Pogled proti jugovzhodu (foto: A. Gaspari; DSC_3363)



Slika 4.9: Sonda 1. Ruševina (?) opornega zidu v vzhodnem delu sonde (kv. 6). Pogled proti severovzhodu (foto: A. Gaspari; DSC_3214)



Slika 4.10: Sonda 1. Izdanek skalne podlaga in ruševina (?) opornega zidu v kv. 6. Pogled proti jugovzhodu (foto: A. Gaspari; DSC_3236)



Slika 4.11: Sonda 1. Stopnja v vzhodnem pobočju vršnega platoja z ruševina (?) opornega zidu. Pogled proti severu (foto: A. Gaspari; DSC_3284)



Slika 4.12: Sonda 1. Skalna podlaga pod stopnjo v vzhodnem pobočju vršnega platoja. Pogled proti zahodu (foto: A. Gaspari; DSC_3291)



Slika 4.13: Sonda 1. Situacija med skalnimi izdanki nad prelomom vzhodnega pobočja in rebrom v osrednjem delu sonde (kv. 4–6). Pogled proti jugozahodu (foto: A. Gaspari; DSC_3545)



Slika 4.14: Sonda 1. Koluvijska plast s prazgodovinskim gradivom v spodnjem delu pobočja nad skalno stopnjo (kv. 5–6). Pogled proti jugovzhodu (foto: A. Gaspari; DSC_3642)



Slika 4.15: Sonda 1. Situacija pred odstranitvijo koluvialne plasti (SE 1015) s pretežno prazgodovinskim materialom. Pogled proti severu (3D fotogrametrični model: B. Kumer)



Slika 4.16: Sonda 1. Situacija v vzhodnem delu sonde po odstranitvi koluvialnih plasti (foto: A. Gaspari; DSC_3722)



Slika 4.17: Sonda 1. Presek koluvialnih depozitov v depresiji nad skalno stopnjo v vzhodnem pobočju. Pogled proti severovzhodu (foto: A. Gaspari; DSC_3775)

Sonda 2 (*Pril.* 9–16; matrika: *Sl.* 6.2)

V primerjavi s situacijo v sondi 1 so sekvenca ter značaj struktur in depozitov v sondi 2 precej bolj berljivi. Apnenčasta podlaga (SE 2006) na tem mestu – gledano pravokotno na pobočje – prehaja iz nekoliko nagnjene terase v strmo stopnjo. Njena površina je sicer vegasta, s kotanjami, razpokami in rebri različnih velikosti, v katerih so se mestoma ohranile zaplate rjave glinene preperine (SE 2005). Tik nad njimi so ohranjena pokopana tla, sestavljena iz podobne meljaste gline (SE 2012), ki poleg manjših karbonatnih kamnov in alohotnega litološkega gradiva vsebuje izključno odlomke prazgodovinske lončenine, v omejenem volumnu raziskanih depozitov pa sta bila odkrita tudi del bronaste igle in amorfen kos staljene kovine (bakrena zlitina) (*Sl.* 4.25 in 4.27). Med keramiko iz morfološko bolj razgibanega severnega dela sonde prevladujejo manjši odlomki (do 4 × 4 cm), na naravni izravnavi v južnem delu pa je bil najden tudi vodoravno ležeč kos (PN 0064) večjih dimenzij, kar govori proti koluvialnemu značaju depozita in kaže na dogajanje na samem robu prazgodovinske naselbine. Oblike, lončarska masa in okras posod ne odstopajo od značilnosti keramike z vršnega predela.

Naslednja faza v sekvenci je povezana z gradnjo poznoantičnega opornega zidu oz. obzidja (SE 2004) na samem robu preloma, ob kateri so odstranili del prazgodovinskih depozitov in skalne podlage. Spodnje vrste kamnov temelja okoli 60 cm debelega zidu so postavili na zunanji rob očiščene in delno pokresane apnenčaste stopnje (interfacija SE 2010), na notranji strani pa se ti kamni naslanjajo na izravnano stopnjo (*Sl.* 4.26–4.27; *Pril.* 15–16). Ta na severovzhodnem delu sonde prehaja v naravno zvišan del skalne podlage, na katerem se prazgodovinski depoziti niso ohranili, proti jugu pa so pri izdelavi te izravnave posegli tudi vanje (glej SE 2012). V nadaljevanju gradnje so na območju severnega dela sonde ob naslednje vrste kamnov, med katerimi nekateri v širino presegajo spodnjo linijo in tvorijo nekakšen zob, sproti nasipavali premešane depozite (SE 2011); druga možnost je, da gre za delno za rezidualni material iz poglobitve v skalni podlagi, delno pa za plast iz časa gradnje. Plast (morda nasutje ali polnilo) vsebuje prazgodovinsko keramiko in kosti ter posamične najdbe poznoantičnega/zgodnjesevneškega izvora, pri čemer so slednje morda infiltrirane ali pa pripisane napačni enoti stratifikacije. Nad ti. zobom temelja se je ohranil markanten depozit svetlega peska z gruščem in manjšimi kamni ter obilo drobci in večjimi kosi malte (SE 2008), ki je izrazil samo v ozkem pasu neposredno za obzidjem in se na severnem delu sonde nasloni na naslednjo in zadnjo ohranjeno vrsto gradnikov, na jugu pa prekrije plitvo nasutje (SE 2011) nad prazgodovinskimi depoziti (SE 2012). Vstran od zidu začne maltna komponenta depozita (SE 2008), prvotno interpretiranega kot polnila ozkega vkopa za gradnjo obzidja, pojemati v korist temno sivega do rjavega peščenega melja (SE 2007). Drobcu in kosi malte se pojavljajo na njegovi celotni površini, kar jasno kaže, da gre tako pri SE 2008 kot pri SE 2007 za plasti, povezani z gradnjo in hkrati uporabo zidu SE 2004 (*Sl.* 4.22 in 4.24).

Na celotni površini sledi plast temnega peščenega melja z manjšimi in srednjevelikimi karbonatnimi kamni (SE 2003), ki je že prekrila mejno površino (SE 2013) uničenja zidu (SE 2004) (*Sl.* 4.20–4.21; *Pril.* 15–16), kar pomeni, da na tem delu naselbine tik ob obzidju morebitna obsežnejša sekvenca iz nasutij za hodne površine in sedimentov ni ohranjena oziroma je sploh ni bilo. Med gradivom iz ruševinske plasti je zastopano skoraj izključno poznoantična lončenina (*Sl.* 5.3), odlomki prazgodovinske keramike pa so redki. Zanimivo se to razmerje spremeni v humificirani plasti rjavega melja (SE 2001), ki leži nad ruševino in pod travno oz. gozdno rušo, kar kaže, da pobočni depoziti v jugozahodnem delu naselbine primerjalno skrivajo več prazgodovinske kot poznoantične keramike.



Slika 4.18: Sonda 2. Začetna situacija po čiščenju poškodbe zaradi izruvanega borovega drevesa. Pogled proti severu (foto: A. Gaspari; DSC_3347)



Slika 4.19: Sonda 2. Situacija po zamejitvi sonde in odstranitvi ruše. Pogled proti severu (foto: A. Gaspari; DSC_3398)



Slika 4.20: Sonda 2. Ruševinska plast SE 2003 v južnem delu sonde (kv. 1). Pogled proti vzhodu (foto: A. Gaspari; DSC_3565)



Slika 4.21: Sonda 2. Ruševinska plast SE 2003 v severnem delu sonde (kv. 2). Pogled proti severovzhodu (foto: A. Gaspari; DSC_3566)



Slika 4.22: Sonda 2. Plast (SE 2007) v severnem delu sonde (kv. 2) obsega mešane depozite iz časa gradnje in delovanja obzidja. Pogled proti severu (foto: A. Gaspari; DSC_3828)



Slika 4.23: Sonda 2. Plast (SE 2007) na južnem delu sonde (kv. 1). Pogled proti jugozahodu (foto: A. Gaspari; DSC_3903)



Slika 4.24: Sonda 2. Vzhodni presek južnega dela sonde (kv. 1) in površina plasti SE 2007. Pogled proti vzhodu (foto: A. Gaspari; DSC_3926)



Slika 4.25: Sonda 2. Južni presek južnega dela sonde (kv. 1) in površina plasti SE 2012. Vidna interfacija vkopa za gradnjo obzidja. Pogled proti jugu (foto: A. Gaspari; DSC_4031)



Slika 4.26: Sonda 2. Končna situacija v južnem delu sonde (kv. 1) s skalno podlago in ostanki glinene preperine. Pogled proti jugovzhodu (foto: A. Gaspari; DSC_4051)



Slika 4.27: Sonda 2. Južni presek v južnem delu sonde (kv. 1) s skalno podlago, prazgodovinskimi depoziti, delovno površino in vkopom za obzidje, nasutjem/sedimenti in ruševino. Pogled proti jugu (foto: A. Gaspari; DSC_4111)



Slika 4.28: Sonda 2. Končna situacija v severnem delu sonde (kv. 2) s skalno podlago in ostanki glinene preperine. Pogled proti jugovzhodu (foto: A. Gaspari; DSC_4054)



Slika 4.29: Sonda 2. Severni presek v severnem delu sonde (kv. 1) s skalno podlago, ostanki glinene preperine in depoziti na notranji strani obzidja. Pogled proti severu (foto: A. Gaspari; DSC_4083)



*Slika 4.30: Sonda 2.
Situacija ob zaključku
izkopavanja. Pogled proti
jugozahodu (foto: A.
Gaspari; DSC_4109)*

Komentar k najdbam iz Sonde 1

Večina lončenine in ostale keramike prazgodovinske provenience (odlomki vijčkov in svitkov) (*T. 2: 45; 3: 61; 4: 85–87, 91–92; 5: 114–117*) odsevajo kronološko homogen naselbinski kompleks, okvirno datiran na prehod bronaste v železno dobo, stopnja Ha B3–C1. Pri tem velja izpostaviti predvsem lonec z rahlo izvihanim ustjem s fasetirano notranjo površino (*Sl. 5.1: a; T. 5: 113*), ki mu najdemo primerjave v Kranju, v Pavšlarjevi hiši (Rozman 2004, 78, t. 5: 12; 16: 11). Med okrasom reber, ki so značilna sicer za širše časovno obdobje, od bronaste do železne dobe, najdemo tako vodoravno aplicirana rebra, razčlenjena z odtisi prstov (npr. *T. 4: 91–92; 5: 106*), kot rebra, razčlenjena s ščipanjem (*T. 2: 45; 5: 112*).

Keramične najdbe iz nakazanega kronološkega okvira dopolnjujeta dve najdbi. Igle s stožčasto glavico so eden od nakitnih predmetov, ki se z začetkom železne dobe pojavijo na širšem prostoru. Primer iz sonde 1 predstavlja iglo z majhno stožčasto glavico, najverjetneje tipa Vadena (Carancini 1975, 268–271). Manjka del vratu, ki je praviloma dodatno okrašen oz. narebren. Te igle so značilne za drugo polovico 9. stoletja pr. n. št. (Škvor Jernejčič 2014, 161–162, 174). Druga najdba je ploščata, vzdolžno preluknjana jantarna jagoda ogrlice (*T. 3: 56*) z odličnimi primerjavami v štirih jagodah iz skeletnega groba 13/134 na Magdalenski gori, ki je na podlagi enozankaste fibule z žičnatim lokom datiran na začetek 8. stoletja pr. n. št. (glej Tecco Hvala 2012, 195–197, 283, 285, sl. 77; 105: 2). Ni izključeno, da začetku železne dobe pripada tudi katera od drobnih jagod iz modrega stekla (*T. 1: 12, 15; 3: 59*), ki so manjše in tanjše od podobnih zgodnjerednjeveških svitkastih jagod iz halofitskega stekla, med drugim znanih tudi z Gradišča nad Bašljem (Knific, Šmit 2018, sl. 13: 1–3). Najdb iz poznejših odsekov starejše železne dobe ni bilo mogoče prepričljivo identificirati, vendar nekateri odlomki lončenine iz rumeno rjave, zelo trdo žgane gline s primesmi karbonatnega peska in sljude, ki se močno razlikuje od keramike s prehoda bronaste v železno dobo, morda sodijo v mlajše halštatsko obdobje, kar nakazujejo tudi nekatere primerjave iz drugih delov naselbinskega kompleksa Grajski hrib in Pristave. Mednje bi lahko sodil kroglast lonec ali globoke skleda z uvihanim ustjem (*Sl. 5.1: b; T. 5: 114*), kakršne že poznamo z Bleda (Gerbec 2009, t. 6: 13; 31: 8).



Slika 5.1: Prazgodovinska keramika: a – fasetirano ustje lonca iz sonde 1 (*T. 4: 95*); b – raven rob ustja ali skleda iz Sonde 2 (*T. 5: 114*) (foto: A. Gaspari)

Odlomek zapestnice iz prosojnega, globoko modrega stekla s presekom v obliki črke D (*T. 3: 57*) bi lahko pogojno pripisali razmeroma redki obliki latenskih zapestnic iz 2./1. stoletja pr. n. št. (glej npr. primerjavo iz grobišča na Goleku pri Vinici; Laharnar, Turk 2017, sl. 180), čeprav je za obravnavano najdbo verjetnejša datacija v čas med koncem 3. in poznim 4. stoletjem, na kar napeljujejo podobne modre zapestnice iz Neviodunuma (Petru, S., Petru, P. 1978, 63, t. 13: 38) in Sopian (Fülep 1984, 198, 201).

Med redkimi najdbami, ki bi jih lahko in še to s precej pridržka umestili v zgodnjerednjeveško obdobje, sodi žebelj z močno, koničasto glavico, ki ima na spodnji strani bradavicam podobne izrastke (*T. 3: 55*) in po obliki spominja na starejši tip žebeljev rimske vojaške obutve, značilen za predavgustejsko obdobje (glej podobne žebeljčke s Straže nad Šmartnim; Horvat 2015, 180, t. 2: 6–12). Zgolj okvirno v cesarsko obdobje bi smeli datirati nekaj odlomkov grobe hišne lončenine značilne, žgane v redukcijski atmosferi in izdelane iz lončarske mase s primesmi drobnega kremenčevega peska. Najden je bil tudi odlomek ostenja čaše ali vrčka iz prečiščene, svetlo sivo žgane gline, okvirno iz 2. ali 3. stoletja (*T. 5: 120*).

Začetek intenzivnejše poselitve lokacije, ki pozneje privede do poznoantične utrditve lokacije z obzidjem, nakazuje najdba Galijenovega antoninijana, kovanega v letih 268–270 (za določitev se zahvaljujemo dr. Alenki Miškec iz Numizmatičnega kabineta Narodnega muzeja Slovenije). Pri vrednotenju najdb antoninijanov iz druge polovice 3. stoletja v smislu kronološke opredelitve prvega poselitvenega sunka višinskih lokacij velja previdnost, saj so – kot opozarja P. Kos – bili v obtoku precej časa, ponekod na severovzhodnem italiskem območju do konca 4. ali celo prve polovice 5. stoletja (Kos 2011, 229–231). Dobra ohranjenost novca z zahodnega vrha (*Sl.* 5.2; *Kat. št.* 118) omogoča domnevo o njegovi uporabi že v sredini druge polovice 3. stoletja, drugače od obrabljenih antoninijanov s širšega območja Grajskega hriba.



Slika 5.2: Galijenov antoninijan, najden na deponiji Sonde 1. M. = 2: 1 (foto: A. Gaspari)

Težavna je tudi kronološka opredelitev manjšega noža z rahlo izbočenim, v obliki črke S ukrivljenim hrbtom in ukrivljenimi rezilom klinastega preseka, ki zgoraj in spodaj pravokotno prehaja v ploščat ročajni nastavek pravokotnega preseka (*T.* 4: 90). Rezilo je glede na nastavek nekoliko odklonjeno navzdol. Na prehodu je nakazan ostanek ravnega, posebej izdelanega branika oz. ustja nožnice, ki so značilni za 3. stoletje (glej npr. nože iz pritaborskega naselja v Lavriacumu (Sedlmayer 2018, sl. 87: 25, 28) in Neviodunuma (Petru, S., Petru, P. 1978, t. 19: 3–4)), sicer pa se podobna oblika rezil pojavlja že v 1. stoletju n. št., ni pa izključena niti mlajša datacija.

V nakazan kronološki okvir 3. stoletja pogojno umeščamo tudi srednjeveliko svitkasto jagodo iz bledorumene steklene paste z vstavljenimi belimi bunčicami, okrašenimi z modrimi spiralami. Eno od primerjav smo prepoznali v nekoliko večji jagodi iz žganega groba 201 iz nekropole pri Osnovni šoli Ljudski vrt na Ptujju, ki ima sicer jedro iz zelene steklene paste (Vomer Gojkovič, Žižek 2015, 59).

Nekaj odlomkov keramike iz sonde 1 bi lahko s precej pridržka sodilo v poznoantično obdobje; en kos pripada loncu, okrašenem z enojno valovnico (*T.* 1: 21), drugi pa skledi ali verjetneje pokrovu (*T.* 2: 20), ki pod robom nosi motiv dvojne valovnice. Lončarski masi obeh odlomkov sta na videz sicer podobni posodam iz zaključenih poznoantičnih depozitov v sondi 2, vendar se od njih ločita po bolj grobi zrnavosti in voščenenem otipu, kar ju bolj približuje poznosrednjeveški keramiki.

Med najdbe iz časa zgodnj srednjeveške naselitve, odkrite v sondi 1, sodijo posamezni kosi posod iz grobe, porozne lončarske mase, za katere velja omeniti, da v sondi 2 nimajo primerjav. Značilnosti lončarske mase in dodelava površine nekaterih kosov, kot npr. odlomka dna (*Sl.* 5.4; *T.* 1: 42), so zelo blizu fakturnim tipom posod iz zgodnj srednjeveških kontekstov na Pristavi (Belak, Pleterski, Knific 2008, sl. 10.5, 10.8), vendar stopnja fragmentacije skoraj v vseh primerih v tej fazi obdelave gradiva ne dopušča zanesljive opredelitve. Gre za posodje grobe, porozne fature, žgano v nekontrolirani atmosferi, pri kateri je površina glajena, na otip pa mastna oz. voščena. Takšna keramika je značilna za posodje na slovanskih ozemljih, pojavi pa se v 7. stoletju (Modrijan 2011, 211).

Visoki srednji vek na lokaciji ni zastopana z večjim številom najdb, med katere bi lahko pogojno sodilo nekaj odlomkov kuhinjskih loncev. Situacija se spremeni v mlajšem delu poznega srednjega veka in zlasti v zgodnjem novem veku, kamor sodi večina najdb. Med kovinskimi predmeti iz sonde 1 izstopa spona, ki morda pripada konjski opravi (*T.* 3: 52). Približni analogiji predstavljata spona iz Knežjega dvorca v Celju, ki je zgolj okvirno

umeščena v čas med 15. in 17. stoletjem (Guštin, Bressan, Komplet 2001, 497), in nekoliko starejša spona s Starega gradu nad Podbočjem (Predovnik 2003, sl. 73: 693).

V skupini najdb iz stekla so posebej številni odlomki pihancev, majhnih okroglih steklenih ploščic, ki so služile za zasteklitev oken v arhitekturi in vitrin v pohištvu (*Sl.* 5.5; *T.* 1: 11, 13, 14). To opredelitev ploščic, ki imajo analogije npr. med gradivom iz Knežjega dvorca v Celju (glej Lazar 2001, kat. št. 59–67; k podobnim izdelanim krožnim steklom večjih premerov (16–22 cm), datiranih med 4. in 7. stoletje, iz vzhodnega Sredozemlja glej Foy, Fontaine 2008, 439–442), podpirajo tudi najdbe ene cele in dveh odlomkov trikotnih ploščic z rahlo usločenimi stranicami (*T.* 1: 16; 4: 80, 81). Vse tri so izdelane iz razbarvanega prosojnega stekla, v enem primeru rahlo rumenkastega odtenka. Določitev poleg oblike omogoča značilna obdelava robov, podobna retuširanju kamnitih orodij, s katero so dosegli boljše prileganje stekel nosilnim okvirom, navadno izdelanim iz svinca, tudi lesa in mavca. V celoti ohranjen kos je glede na usločenost stranic, ki jih loči od poznoantičnih in zgodnjerednjeveških vitrajev (glej Foy, Fontaine 2008, 442–444; Milavec 2015, 96 z literaturo), več kot očitno zapolnjevala prostor med večjimi elementi krožnih oblik, kot je to primer pri dveh originalnih lečastih steklih z grbi Celjskih, ki sta se ohranila v bifornem oknu na vzhodni steni prezbiterija cerkve sv. Lenarta v Drveniku. Leva in desna polovica bifore sta enakih dimenzij 43,5 × 33,5 cm. Zasteklitev sodi v okvir celovite prenove prenove prvotne cerkve ali celo novogradnje kot ustanove Friderika II. (1362–1454), ki je datirana v čas po letu 1400 (Badovinac 1996, 88–89, sl. 1–2).

Daleč največji delež najdb iz sonde 1 zavzema poznosrednjeveško in zgodnjenovoveško keramično gradivo. Med najbolj zastopano skupino posodja, lonci, so pogosti zlasti primerki z užlebljenim notranjim robom ustja, blizu različicam 11D-1 oz. 12C-2 (*T.* 1: 18, 19, 26, 28; 2: 29, 32, 33; 3: 68, 72, 75) in 11D-2 (*T.* 2: 46; 3: 66) po Losertu in Štularju, pri čemer so oblike skupine 11D značilne za čas od 14. do 16. stoletja, različice skupine ustij 12C pa pripadajo zgodnjenovoveškim tipom, datiranim v obdobje med 15. in 17. stoletjem (Štular 2013, 74; Železnikar 2006, 218, t. 1: 9; Porenta et al. 2015, 345–348). Okras apliciranih z reber z vtisi prstov (*T.* 4: 82), pogost zlasti na loncih, ima primerjave v celotah iz časa med sredino 15. in sredino 17. stoletja (Železnikar 2002, t. 7: 15; 13: 4; Predovnik 2006, 186, t. 3: 15; Porenta et al. 2015, t. 3: 44; 4: 45; 6: 71–74; 7: 87). Pokrovi niso zastopani v vidnejšem deležu (*T.* 2: 67). Redki odlomki lojenk sodijo v obdobje do konca srednjega veka (*T.* 1: 22), medtem ko je mogoče večji del namiznega posodja, tako ročko za vino (*T.* 1: 27) in krožnike s klekastim ostenjem (*T.* 1: 25; 2: 30, 34, 36, 37; 3: 69, 71, 74; 4: 93; glej Železnikar 2002, t. 11: 1–6; 15: 3; 19: 10) umestiti v čas po sredini 16. stoletja, pri čemer bi bili lahko nekateri primerki graviranih in poslikanih krožnikov tudi nekaj starejši. Skledi na *T.* 2: 39 (glej Železnikar 2002, t. 13: 12; 19: 5) in *T.* 2: 37 (glej Horvat 1996, t. 2: 2) imata primerjave v kontekstih iz 16./17. stoletja. Med najmlajše kose, ki so bili morda v uporabi še v 18. stoletju, uvrščamo trinožnik z značilno temno zeleno glazuro (glej Turk et al. 2008, kat. št. 153), nekaj starejši pa so morda lonec ali vrč z držajem (*T.* 3: 76) (glej Predovnik 2006, 188–189, t. 6: 31) ter odlomka ustij z odebeljenim robom (*T.* 2: 38, 41), verjetno skled ali loncev, široko datiranih med 16. in 18. stoletje (Horvat 1996, t. 2: 5; Železnikar 2006, 219, t. 2: 11).

Številni žebli, domnevno namenjeni pribijanju skodel na ostrešje (*T.* 1: 2, 3, 6; 3: 47–49, 51, 53; 4: 79, 88, 93) imajo dobre primerjave med najdbami iz novoveške pastirske bajte na Veliki Planini, datirane v 16. stoletje (Železnikar 2006, 216, sl. 5: 1, 2), pri čemer so jih v zelo podobni obliki izdelovali še po koncu predindustrijske dobe (glej Florjančič 2012, 24, 88–81; Oitzl 2019, 37). V časovni okvir med 16. in 17./18. stoletjem verjetno sodijo tudi čevljarski (*T.* 4: 77, 97; glej Oitzl 2019, 34–35) in nekaj podkovskih žeblijev (*T.* 3: 54).



Slika 5.3: Poznoantična keramika iz ruševinske plasti (SE 2003; T. 5: 100–105) v Sondi 2 (foto: L. Škerjanec)

Komentar k najdbam iz Sonde 2

V sondi 2 smo v plasti SE 2003 na manjšem prostoru naleteli na koncentracijo keramike, ki smo jo opredelili kot poznoantično (*Sl.* 5.3; *T.* 4: 100–105). Prepoznali smo fragmente šestih posod, od katerih so se ohranili deli ostenij, ter odlomka dveh posod z ohranjenim ustjem in delom ostenja. Vse posode so izdelane iz drobnozrnate gline s primesmi kremenca, sljude in organskih snovi, žgane v nepopolni oksidacijski atmosferi. Prvo ustje (*T.* 4: 101) ustreza loncem tipa 4 po Slavku Ciglencečkem (2000, 65) oziroma 1a po Zvezdani Modrijan (2011, 184–186), ki se pojavlja na vrsti poznoantičnih najdišč v zaledju severnega Jadrana in jugovzhodnoalpskem prostoru. Podobne oblike ustij srečamo tudi pri loncih skupine S3 v zgodnjerednjeveških kontekstih, vendar v drugačni lončarski masi (Pleterski 2010, 68–71). Med geografsko najbližjimi analogijami navajamo podobne lonce z Gradišča nad Bašljem (npr. Ciglencečki 2000, t. 121: 9; 122: 3) in Ajdne nad Potoki (ib., t. 123: 2), kjer jih je mogoče z nekaj pridržka uvrstiti med gradivo iz 5./6. stoletja. Dva fragmenta (*T.* 4: 104, 105) iz obravnavanega konvoluta keramike iz sonde 2 sta okrašena z motivom enolinijske, nepravilno izvedene valovnice, ki je na Tonovcovem gradu značilna za plasti druge poznoantične faze, zamejene s koncem 5. stoletja in začetkom 7. stoletja (Modrijan 2011, 199).



Slika 5.4: Dno zgodnjerednjeveškega lonca iz Sonde 1 (*T.* 2: 42) (foto: A. Gaspari)



Slika 5.5: Ploščice poznosrednjeveškega ali zgodnjenovoveškega vitraja iz Sonde 1 (*T.* 1: 16; 4: 80, 81) (foto: A. Gaspari)

Sklep

Sondiranja, izvedena v letu 2019, so omogočila nadgradnjo dosedanjega vedenja o obljudenosti zahodne vzpetine Grajskega hriba med prazgodovino in zgodnjim novim vekom, vendar ne povsem v pričakovani meri. Razmeroma številni odlomki keramike ter igla s stožčasto glavico in jantarna jagoda skupaj s predhodnimi najdbami z lokacije potrjujejo, da gre za del širšega naselbinskega kompleksa, ki je svoj višek doživel na prehodu bronaste v železno dobo (Ha B3-C1; 9.–8. stol. pr. n. št.), posamične keramične najdbe pa indicirajo tudi določeno obljudenost v mlajšem halštatu (Ha D, 6–5. stoletje pr. n. št.). Glede na terenskih razvid prazgodovinske najdbe niso bile odkrite v primarnih kontekstih odložitve, temveč bolj ali manj resedimentirane, izven prepoznavnih skupkov in brez očitnih povezav na izvorne depozite ali strukture. Iz prazgodovine so se ohranile so le (manjše) zaplate pokopanih tal tik nad skalno podlago, brez pripadajočih hodnih površin ali kakršnih koli ostankov stavb. Poznejša raba prostora je zbrisala tudi (površinske) sledove morebitnega utrjevanja te, že naravno dobro zavarovane lege.

Antoninijani in bronasti novci ter precej redki odlomki keramičnih posod in steklenega nakita odsevajo naslednje, čeravno manj markantno obdobje intenzivnejše obljudenosti lokacije v drugi polovici 3. stoletja in v zgodnjem 4. stoletju. Dokazi za vzpon poselitve v temu času so bili odkriti tudi na drugih delih Grajskega hriba in na Pristavi, vendar je zbrana evidenca trenutno še preskromna za oblikovanje prepričljivejših sklepov o morebitnem vzporednicah s fenomenom začetkov uporabe poznorimskih višinskih naselbin v času vladavin Galijena in Avrelijana.

Izkopavanja so nasprotno dala oprijemljivejše podatke o poznoantični naselbini, pri čemer so le ti dejansko omejeni na razvid v sondi na njenem jugozahodnem delu, medtem ko izkop na vzhodnem pobočju vršnega platoja praktično ni dal nobenih tozadevno relevantnih rezultatov. Zdaj je jasno, da sta bila jugozahodni vogal in južni rob za naselitev primerne delo zahodnega vrha zavarovana z okoli 60 cm debelim obzidjem, pri gradnji katerega so se naslonili na skalno podlago v prelomu zložnejših v prepadna pobočja. Verjetno je bil na enak način zavarovan tudi jugovzhodni vogal nad škrbino, po kateri je potekal eden od možnih dostopov. Glavna poznoantičnega gradiva v sondi 1 je bila odkrita v plasti temnega peščenega melja z manjšimi in srednjevelikimi karbonatnimi kamni, ki je že prekrila mejno površino uničenja obzidja, kar pomeni, da na tem delu naselbine tik ob obzidju morebitna obsežnejša sekvenca iz nasutih za hodne površine in sedimentov ni ohranjena oziroma je sploh ni bilo. Struktura najdb iz humificirane plasti rjavega melja, ki leži nad ruševino in pod gozdno rušo, kaže, da pobočni depoziti v jugozahodnem delu naselbine primerjalno skrivajo več prazgodovinske kot poznoantične keramike. Med slednjo se pojavljajo odlomki loncev iz drobnozrnate gline s primesmi kremenca, sljude in organskih snovi, žgane v nepopolni oksidacijski atmosferi, ki imajo najbližje analogije med gradivom z Gradišča nad Bašljem in Ajdne nad Potoki ter jih je mogoče z nekaj pridržka uvrstiti med gradivo iz 5./6. stoletja. Dva fragmenta iz obravnavanega konvoluta keramike iz sonde 2 sta okrašena z motivom enolinijske, nepravilno izvedene valovnice, ki je na Tonovcovem gradu značilna za plasti druge poznoantične faze, zamejene s koncem 5. stoletja in začetkom 7. stoletja.

Po delovni hipotezi je poznoantična naselbina na zahodnem vrhu obsegala tudi predprostor na sedlu, ki se proti vzhodu izklini v oster greben proti Gradu. Situacija v sondi 1 kaže, da vršnega platoja zahodnega vrha od predprostora v temu času ni ločevala nobena zidana struktura, kar je skladno z domnevo o poznoantičnem izvoru obzidja na severnem robu sedla. Očitno gre za del večjega naselbinskega kompleksa na območju Grajskega hriba, ki je poleg vrha pečine vključeval še Sedlu pod gradom in območje na Pečeh ter je bil nedavno potrjen tudi z odkritjem zidanih stavb in spremljajočih depozitov ob prenovi parka pod parkiriščem. Keramične najdbe, ki na območju zahodnem vrhu obsegajo izključno grobo kuhinjsko keramiko z najbližjimi primerjavami na Ajdni in Gradišču nad Bašljem, dopuščajo datiranje naselbinskega kompleksa v 5./6. stoletje, na kar napeljujejo tudi preliminarna opažanja o gradivu iz sondiranja na lokaciji Na sedlu, ki vključuje uvoženo (glazirano in transportno) posodje.

V zvezi z zgodnj srednjeveško obljudenostjo zahodnega vrha, kot jo indicirajo posamične predhodne najdbe z lokacije, sondiranja v letu 2019 niso dala oprijemljivih rezultatov. Odlomki keramičnega posodja z značilno porozno lončarsko maso, neenakomernega žganja in voščenege otipa, karakteristični za slovanska naselitvena območja, so redki, številnejša pa je keramika, ki jo je zaradi stopnje fragmentacije in odsotnosti zaprtih kontekstov izjemno težko ločiti od prazgodovinske lončenine, s čimer so se srečevali tudi raziskovalci gradiva s Pristave in najdišč na Grajskem hribu.

Arheološka stratifikacija in morebitne strukture starejše provenience na vršnem platoju zahodnega vrha so bili očitno močno preoblikovani oz. uničeni s posegi, ki jih glede na prevladujoče gradivo umeščamo okvirno med 15./16. in 17./18. stoletje. Odsotnost opaznejših količin malte in druge ruševine govorita za arhitekturo z zidanimi/kamnitimi temelji in leseno nadgradnjo. Na podlagi le z enim primerkom zastopane opeke s polkrožnim zaključkom in množice žbljev z dolžino okoli 6,5–8,5 cm, odkritih v podobni gostoti po vseh raziskanih kvadrantih sonde 1, bi smeli domnevati o večjih površini nadstrešenih prostorov oz. objektov, kritih s skodlami. Ob tem preseneča redkost drugih tipov železnih stavbnih elementov, zlasti večjih tesarskih žbljev, kar prav tako nakazuje prevladujočo rabo moznikov za spoje in pretežno lesene konstrukcije, kar je nekako v nasprotju s precej pogostimi odlomki neglaziranih in glaziranih pečnic (*T. 2: 31*) in pripadajočih opek, ki kažejo na ogrevane bivalne prostore. Posebno presenečenje so ostanki pihancev in trikotnih steklenih ploščic vitraja, preliminarno datiranih v 15./16. stoletje, očitno delov stavbne zasteklitve (manj verjetno luksuznega pohištva).

O bivalnem standardu prebivalcev tega, morda samo občasno nastanjenega stavbnega kompleksa v neposredni bližini Blejskega gradu, govorijo odlomki namiznega steklenega in keramičnega posodja (gravirani in poslikani ter glazirani krožniki, sklede, ročke) ter bolj običajna kuhinjska keramika (lonci s pokrovi, kozice-trinožniki ...). V plasteh, ki jih povezujemo z mlajšo okupacijo lokacije, je bila najdena precejšnja količina arheozooloških ostankov, v okviru katerih deleža goveda in drobnice prevladujeta nad deležem prašičjih kosti in zob. Glede na zastopanost jelena, bobra, medveda, divjih ptičev in kulinarično zanimivih morskih školjk velja celoten zbir razumeti kot ostanek prehrane prebivalcev bližnjega gradu.

Strukturiranost najdb iz nakazanega časovnega okvira kaže na ne nujno sočasen obstoj bivanjskih in gospodarskih stavb, kar odpira vprašanja o morebitnih spremembah rabe lokacije v času pred njihovim zatonom, do katerega je prišlo najpozneje ob koncu 18. stoletja, ko se vzpetina pogrezne v anonimnost gozdnih zemljišč v okolici gradu. Močna premešanost depozitov in izrazito terasiranje mlajše datacije ter neohranjenost struktur in pripadajočih plasti iz starejših obdobj nakazujejo intenzivne zemeljske posege, katerih naravo je težko opredeliti; glede na lego je skoraj nepredstavljivo, da bi šlo za navažanje odpadnega materiala od drugod, verjetnejše se zdi, da gre za sledove vrtno-arhitekturnega urejanja vzpetine s terasami, potmi ter posameznimi stavbami oz. paviljoni (?).

Upoštevaajoč rezultate geofizikalne raziskave, ki so na vzpetini izdajali koncentričen pas termoremanentnih anomalij in veliko količino žbljev za skodle na razmeroma majhnem prostoru sonde se je izoblikovala teza o obstoju kovaške proizvodnje v odprtih objektih, ki so se vrstili okrog vršnega platoja, morda kar pod skupno streho, ki je obdajala osrednje dvorišče. Temu bi lahko sicer pritrjevali kosi žlindre, vendar jih zaenkrat ni mogoče povezati s konkretnim obdobjem, poleg tega pa prepričljivost tej tezi jemlje tudi skoraj neverjetno skromna zastopanost oglja oz. žganine. V luči teh dejstev je samo po sebi umevno, da lahko relevantnost interpretacije geofizikalne raziskave, ki na območju sedla predvidevajo obsežno metalurško dejavnost, potrdijo ali ovržejo samo nadaljnji invazivni posegi v pod površje.

Viri in literatura

- BELAK, PLETERSKI, KNIFIC 2008: Mateja Belak, Andrej Pleterski, Timotej Knific, Katalog predmetov. – V: Andrej Pleterski, *Zgodnj srednjeveška naselbina na Blejski Pristavi. Najdbe*. – Opera Instituti Archaeologici Sloveniae 14, Ljubljana: Inštitut za arheologijo ZRC SAZU, Založba ZRC, 2008, str. 171–227.
- BADOVINAC 1996: Tatjana Badovinac, Slikani okni iz Drevenika. – *Argo* 39, 1996, 88–89.
- BITENC, KNIFIC 2001: Polona Bitenc, Timotej Knific (ur.), *Od Rimljanov do Slovanov. Predmeti*. – Ljubljana: Narodni muzej Slovenije, 2001.
- CARANCINI 1975: Gian Luigi Carancini, *Die Nadeln in Italien/Gli spilloni nell'Italia continentale*. – PBF XIII, Band 2, München, 1975.
- CIGLENEČKI 1987: Slavko Ciglencečki, *Höhenbesfestigungen aus der Zeit vom 3. bis 6. Jh. im Ostalpenraum*. – Dela I. razreda SAZU 13, Ljubljana 1987.
- CIGLENEČKI 2000: Slavko Ciglencečki, *Tinje nad Loko pri Žusmu / Tinje oberhalb von Loka pri Žusmu*. – Opera Instituti Archaeologici Sloveniae 4, Ljubljana: ZRC SAZU, Založba ZRC, 2000.
- FLORJANČIČ 2012: Saša Florjančič, 20. stoletje. Žebelj in vijak. Začetki industrije v Kropi. – *Vigenjc* 12, Kropa: Kovaški muzej, 2012.
- FOY, D., S. FONTAINE 2008, Diversité et évolution du vitrage de l'antiquité et du haut moyen âge. Un état de la question. – *Gallia* 65, 405–459.
- FÜLEP 1977: Ferenc Fülep, Roman cemeteries on the territory of Pécs (Sopianae). – *Fontes archaeologici Hungariae*, Budapest: Akadémiai Kiadó, 1977.
- GABROVEC 1960: Stane Gabrovec, *Prazgodovinski Bled*. – Dela SAZU 12, Ljubljana 1960.
- GASPARI 2014: Andrej Gaspari, *Prazgodovinska in rimska Emona. Vodnik skozi arheološko preteklost predhodnice Ljubljane/Prehistoric and Roman Emona. A Guide through the Archaeological Past of the Ljubljana's Predecessor*. – Ljubljana: Muzej in galerije mesta Ljubljane, 2014.
- GASPARI 2018: Andrej Gaspari, *Preliminarno poročilo o izvedbi arheološkega strukturnega pregleda in ocene arheološkega potenciala najdišča na zahodni vzpetini Grajskega hriba na Bledu (junij 2018)*. – Neobjavljeno poročilo, A&K, Andrej Čučnik in družbenik, storitve in posredništvo, Ljubljana, julij 2018. [naročnik: Zavod za kulturo Bled].
- GASPARI 2019: Andrej Gaspari, *Integrirane arheološke raziskave zahodne vzpetine Grajskega hriba na Bledu. Delovni načrt (verzija 1.0)*. – Neobjavljeno poročilo, Oddelek za arheologijo, Filozofska fakulteta, Univerza v Ljubljani, Ljubljana, marec 2019.
- GERBEC 2009: Teja Gerbec, *Prazgodovinska naselbina na Bledu, najdišče »pod gradom«*. – Diplomsko delo, Univerza v Ljubljani, Filozofska fakulteta, Oddelek za arheologijo, Ljubljana 2009.
- GUŠTIN, BRESSAN, KOMPLET 2001: Mitja Guštin, Fabrizio Bressan, Bojana Komplet, Kovinske najdbe iz Celja/Oggetti metallici provenienti da Celje. – V: V: Mitja Guštin (ur.), *Srednjeveško Celje/Medieval Celje*, *Archaeologia Historica Slovenica* 3, Ljubljana: Filozofska fakulteta, Oddelek za arheologijo, 2001, 239–287.
- HORN, MUŠIČ 2019: Barbara Horn, Branko Mušič, *Poročilo o oceni arheološkega potenciala/šibkoinvazivne raziskave za določitev obsega in vsebine arheološkega najdišča. Vzorčenje z vrtnami*. – Neobjavljeno poročilo, Gearh d.o.o., Maribor, junij 2019. [naročnik: Zavod za kulturo Bled].
- HORVAT 1996: Martin Horvat, Obdelava lončenine z Velike planine. – *Traditiones* 25. Zbornik Inštituta za slovensko narodopisje, 1996, 81–89.
- HORVAT 2015: Jana Horvar, Early Roman Military Finds from Prehistoric Settlements in the Gorenjska Region/Zgodnj rimski vojaške najdbe s prazgodovinskih naselbin na Gorenjskem. – V: Janka Istenič, Boštjan Laharnar, Jana Horvat (ur./eds.), *Evidence of the Roman Army in Slovenia/Sledovi rimske vojske na Slovenskem*, *Katalogi in monografije* 41, Ljubljana: Narodni muzej Slovenije, 2015, 171–208.
- JERALA et al. 2015: Maja Jerala et al., *Poročilo o izvedeni oceni škode zaradi žledoloma na izboru arheoloških najdišč Primorske, Notranjske in Gorenjske*. – Neobjavljeno poročilo, Zavod za varstvo kulturne dediščine Slovenije, Center za konservatorstvo, Center za preventivno arheologijo, Nova Gorica, Ljubljana, september 2015. [naročnik: Ministrstvo za kulturo].

- KNIFIC 1983: Timotej Knific, *Bled v zgodnjem srednjem veku*. – Univerza v Ljubljani, Filozofska fakulteta, Ljubljana, 1983.
- KNIFIC 1984: Timotej Knific, Arheološki zemljevid Blejskega kota v zgodnjem srednjem veku. – *Kronika. Časopis za slovensko krajevno zgodovino* 32, 1984, str. 99–110.
- KNIFIC 1986a: Timotej Knific, Blejski grad. – *Varstvo spomenikov* 28, 1986, 279–280.
- KNIFIC 1986b: Timotej Knific, Pristava na Bledu. – *Varstvo spomenikov* 28, 1986, 288.
- KNIFIC 2004: Timotej Knific, Arheološki sledovi blejskih prebivalcev iz pozne antike in zgodnjega srednjega veka. – V: Jože Dežman (ur.), *Bled tisoč let. Blejski zbornik 2004*, Radovljica: Didakta, 2004, str. 93–117.
- KNIFIC 2008: Timotej Knific, Zgodovina arheoloških raziskovanj v Blejskem kotu. – V: Andrej Pleterski, *Zgodnjesrednjevska naselbina na Blejski Pristavi. Najdbe*. – Opera Instituti Archaeologici Sloveniae 14, Ljubljana: Inštitut za arheologijo ZRC SAZU, Založba ZRC, 2008, str. 13–25.
- KNIFIC 2011: Timotej Knific, Blejski grad in blejska krajina v davnini. – V: Marko Vidic (ur.), *Blejski grad - 1000 let prve omembe*, Bled: Muzejsko društvo, Zavod za kulturo; Ljubljana: Narodni muzej Slovenije 2011, str. 76–97.
- KNIFIC, ŠMIT 2018: Timotej Knific, Žiga Šmit, Zgodnjesrednjevske steklo na Slovenskem: študij sestave in jagode iz halofitskega stekla. – *Arheološki vestnik* 69, 2018, 369–436.
- KOS 2011: Peter Kos, 5. Novčene najdbe / 5. Coin finds. – V: Zvezdana Modrijan, Tina Milavec (ur./ed.), *Poznoantična utrjena naselbina Tonovcov grad pri Kobaridu. Najdbe/Late antique fortified settlement Tonovcov grad near Kobarid. Finds*, Opera Instituti Archaeologici Sloveniae 24, Ljubljana: ZRC SAZU, Založba ZRC, 2011, 221–238.
- LAHARNAR, TURK 2017: Boštjan Laharnar, Peter Turk, *Železnodobne zgodbe s stičišča svetov*. – Narodni muzej Slovenije, Ljubljana 2017.
- LAZAR 2001: Irena Lazar, Srednjevske steklo iz Celja/Medieval glass from Celje. – V: Mitja Guštin (ur.), *Srednjevske Celje/Medieval Celje*, Archaeologia Historica Slovenica 3, Ljubljana: Filozofska fakulteta, Oddelek za arheologijo, 2001, 69–96.
- LAZAR 2018: Aleš Lazar, 3D lasersko skeniranje objektov in okolice na vzpetini Višce (Bled). – Neobjavljeno poročilo, Geoservis d.o.o., Ljubljana, 2018. [naročnik: Zavod za kulturo Bled].
- LEBEN 1975: France Leben, Arheološke jamske postaje na Gorenjskem. – *Naše jame* 17, 1975, str. 85–99.
- LEBEN 2011: Nika Leben, Prenove Blejskega gradu skozi stoletja. – V: Marko Vidic (ur.), *Blejski grad. 1000 let prve omembe*, Bled: Muzejsko društvo, Zavod za kulturo, Ljubljana: Narodni muzej Slovenije, 2011, str. 99–127.
- MILAVEC 2015: Tina Milavec, Late Antique window glass from the hilltop settlement of Tonovcov grad near Kobarid / Poznoantično okensko steklo z višinske naselbine Tonovcov grad pri Kobaridu. – *Arheološki vestnik* 66, 2015, str. 79–102.
- MLEKUŽ 2017: Dimitrij Mlekuž, *Analiza zračnih laserskih posnetkov okolice Blejskega gradu*. – Zavod za varstvo kulturne dediščine Slovenije, Center za preventivno arheologijo, Ljubljana, november 2018.
- MODRIJAN 2011: Zvezdana Modrijan, 4. Keramika / 4. Pottery. – V: Zvezdana Modrijan, Tina Milavec (ur./ed.), *Poznoantična utrjena naselbina Tonovcov grad pri Kobaridu. Najdbe/Late antique fortified settlement Tonovcov grad near Kobarid. Finds*, Opera Instituti Archaeologici Sloveniae 24, Ljubljana: ZRC SAZU, Založba ZRC, 2011, 221–238.
- MUŠIČ et al. 2018: Branko Mušič, Igor Medarič, Barbara Horn, Petra Basar, *Poročilo o geofizikalni raziskavi. Bled - arheološko najdišče Grad (EŠD 23). Višce na zahodni vzpetini Grajskega hriba*. – Neobjavljeno poročilo, Gearh d.o.o., Maribor, september 2018. [naročnik: Zavod za kulturo Bled].
- OITZL 2019: Gašper Oitzl, Zbirka žebeljev iz 19. stoletja v Narodnem muzeju Slovenije. – *Argo* 61/2, 2019, 30–42.
- PETRU P., PETRU S. 1978: Peter Petru, Sonja Petru, *Neviodunum (Drnovo pri Krškem)*. – Katalogi in monografije 15, Ljubljana.
- PLETERSKI 2011: Andrej Pleterski, *Nevidna srednjevska Evropa: Župa Bled*. – Dela Inštituta za arheologijo 1, Ljubljana: Inštitut za arheologijo ZRC SAZU, Založba ZRC, 2011.



- PLETERSKI 2013: Andrej Pleterski, *The invisible Slavs: Župa Bled in the prehistoric Early Middle Ages*. – Opera Instituti Archaeologici Sloveniae 28, Ljubljana: Inštitut za arheologijo ZRC SAZU, Založba ZRC, 2013.
- PORENTA et al. 2015: Sašo Porenta, Benjamin Štular, Borut Toškan, Zrinka Mileusić, Janez Dirjec, Poznosrednjeveško in zgodnjenovoveško najdišče Župnijski dom v Šentvidu pri Stični. Analiza lončenine in živalskih ostankov. – *Arheološki vestnik* 66, 2015, 333–397.
- PREDOVNIK 2003: Katarina Predovnik, *Trdnjava Kostanjevica na Starem gradu pri Podbočju*. – V *Archaeologia Historica Slovenica* 4, Ljubljana: Filozofska fakulteta, Oddelek za arheologijo, 2003.
- PREDOVNIK 2006: Katarina Predovnik, Srednjeveška in novoveška lončenina s planin v Kamniško-Savinjskih Alpah. – V: Tone Cevc (ur.), *Človek v Alpah. Desetletje (1996-2006) raziskav o navzočnosti človeka v Slovenskih Alpah*, Ljubljana: Založba ZRC, 2006, 182–208.
- ROZMAN 2004: Bojana Rozman, Keramika iz prazgodovinske naselbine v Kranju (Pavšlarjeva hiša). – *Arheološki vestnik* 55, 2004, 55–109.
- SAPAČ 2006: Igor Sapač, Bled: Grad Bled. – V: *Gradovi, utrdbe in mestna obzidja. Vodnik po spomenikih, Zbirka Dnevi evropske kulturne dediščine*, Ljubljana: Zavod za varstvo kulturne dediščine, 2006, str. 55–58.
- SEDLMAYER 2018: Helga Sedlmayer, *Extra muros. Lebenswelt der consistentes ad Legionem von Lauriacum*. – *Forschungen in Lauriacum* 17, Linz 2018.
- STOPAR 1996: Ivan Stopar, *Grajske stavbe v osrednji Sloveniji, Gorenjska, knjiga I. Ob zgornjem toku Save*. – Ljubljana: Viharnik, 1996.
- STOPAR 2018: Ivan Stopar, *Arhitektura predromanike in romanike v Sloveniji*. – Ljubljana: Slovenska matica, 2018.
- SVOLJŠAK 1987: Drago Svovljšak, Bled. Pod gradom. – *Varstvo spomenikov* 29, 1987, 239–240.
- SVOLJŠAK 1990: Drago Svovljšak, Bled. – *Varstvo spomenikov* 32, 1990, 149.
- SVOLJŠAK 1997: Drago Svovljšak, Bled. Pod Blejskim gradom. – *Varstvo spomenikov* 36, 1997, 234.
- ŠKVOR JERNEJČIČ 2014: Brina Škvor Jernejčič, *Žarna nekropola v Ljubljani in preobrazba ljubljanske skupine na prehodu iz bronaste v železno dobo*. – Doktorska disertacija, Univerza v Ljubljani, Filozofska fakulteta, Oddelek za arheologijo, Ljubljana 2014.
- TURK et al. 2008: Peter Turk, Janka Istenič, Timotej Knific in Tomaž Nabergoj (ur.), *Ljubljana – kulturna dediščina reke*. – Ljubljana: Narodni muzej Slovenije, 2008.
- VALIČ 1962a: Andrej Valič, Zaščitna izkopavanja pod Blejskim gradom. – *Varstvo spomenikov* 8 (1960–1961), 79–82.
- VALIČ 1962b: Andrej Valič, Gradišče »Njivice nad Begunjami. – *Varstvo spomenikov* 8 (1960–1961), 229–232.
- VALIČ 1964: Andrej Valič, *Staroslovansko grobišče na Blejskem gradu. (Izkopavanje 1960)*. – Situla 7, Ljubljana 1964.
- VALIČ 1969: Andrej Valič, Staroslovansko grobišče »Na sedlu« pod Blejskim gradom. (Zaščitno izkopavanje leta 1968). – *Arheološki vestnik* 20, 1969, 218–238.
- VOMER GOJKOVIČ, ŽIŽEK 2015: Mojca Vomer Gojkovič, Ivan Žižek, *Pot v neznano. Grobišča rimske Petovione*. – Ptuj: Pokrajinski muzej Ptuj – Ormož, 2015.
- ŽELEZNIKAR 2002: Janja Železnikar, Graščina v Polhovem Gradcu. – *Arheološki vestnik* 53, 2002, 301–371.
- ŽELEZNIKAR 2006: Janja Železnikar, Arheološko odkritje ovalne pastirske bajte na Veliki Planini. – V: Tone Cevc (ur.), *Človek v Alpah. Desetletje (1996-2006) raziskav o navzočnosti človeka v Slovenskih Alpah*, Ljubljana: Založba ZRC, 2006, 209–229.

Opisi stratigrafskih enot

Sonda 1

SE 1001

Vrsta: plast.

Opis: Gozdna ruša črne barve v osnovi peščeno meljaste sestave, ki je od grobih sestavin vsebovala kamne apnenca velikosti med 5×10 cm (1 %) in največ do 18×15 cm (1 %), od drobnih pa 5 % gruščica (> 2mm) in 0,5 % drobnega peska. V osnovi gre za rahlo peščeno meljasto plast črne barve (10 YR 2/1; 92,5%). Oblika plasti je omejena na velikost izkopnega polja.

V plasti so bili posamezni drobcji oglja (velikosti do 1 cm). Najdbe predstavljajo manjši odstotek plasti, in sicer 0,1 %. Keramika je iz različnih obdobij in je enakomerno razpršena po celotni plasti. Najdbe po obdobjih: prazgodovina (lončenina 91 odlomkov oz. 482 g; ožgana glina 12 odlomkov oz. 71 g), zgodnji srednji vek (lončenina 152 odlomkov oz. 1247 g), visoki in pozni srednji vek (lončenina 168 odlomkov oz. 524 g; pečnica 1 odlomek oz. 13 g), zgodnji novi vek (lončenina 42 odlomkov oz. 227 g; pečnice 14 odlomkov oz. 136 g; kovina 3 kosi oz. 12 g), novi vek (lončenina 66 odlomkov oz. 516 g; opeka 19 odlomkov oz. 779 g; pečnice 40 kosov oz. 693 g), 20. in 21. stoletje (opeka 7 kosov oz. 269 g; kovina 9 kosov oz. 24 g). Poleg tega so bili najdeni še kamni nekarbonatnega izvora (39 kosov oz. 319 g), steklo (59 kosov oz. 57 g), žlindra (13 kosov oz. 307 g), živalske kosti (198 kosov oz. 772 g) in školjke v kv. 5 (2 kosa oz. 2 g). Veliko je železnih kovanih žebeljev (24 kosov), ki so neenakomerno razpršeni po plasti.

Interpretacija: gozdna ruša.

Mere: dok. d. 14 m; dok. š. 2 m; deb. 5–20 cm.

Odnos z drugimi plastmi: nad SE 1002, SE 1003, SE 1004, SE 1005, SE 1006, SE 1007, SE 1008 in SE 1009.

Časovna umestitev: (sub)recentno.

Najdbe in vzorci: stekleni jagodi (PN 0001, 0046); kovani železni žebelji (PN 0002–0004, 0006–0009, 0014–0016, 0018, 0023–0026, 0028–0034, 0037); kapljica kovine (PN 0010); steklo (PN 0013); pečnica (PN 0022); okensko steklo-vitraj (PN 0027); železno orodje z žličasto delovno površino (PN 0035); bronasta pločevina (PN 0043–0044); rezilo železnega noža (PN 0067, brez koordinat).

SE 1002

Vrsta: plast.

Opis: Plast tik pod rušo SE 1001 v kv. 4–6. Leži na pobočju vzhodno od novoveškega objekta. Glavno sestavino plasti predstavlja peščen melj, ki ji daje rjavo barvo (10 YR 3/2). Vmes se po celotni plasti pojavljajo močno zbite zaplate svetlorjave barve po celotni plasti (10 YR 4/3), ki so glinene in čiste, s posameznimi najdbami. Vmes so bili najdeni tudi še zeleni listi, kar kažejo na premešanost plasti, ki je bila poleg tega močno prekoreninjena. Grobe sestavine predstavljajo kamni apnenca (velikosti do 10×25 cm) in posamezni prodniki. V njej so najdbe od prazgodovine do novega veka, nekaj (1 %) je bilo tudi oglja (velikosti do 2×1 cm) in drobcji bron (velikosti do 2×2 mm).

Položaj plasti v matriki je težko definirati, vendar se zdi, da gre v osnovi za plast, ki jo je prebil vkop za gradnjo vzhodnega zidu objekta (SE 1003), ki na vzhodni strani nima izdelanega lica. V plast so morda nevede vključeni tudi mlajši depoziti, ki so se prvotno morda naslanjali na strukture objekta. Ko smo jo na tem mestu začeli odstranjevati, smo pod njo naleteli neposredno na skalno osnovo (SE 1006), bolj proti V pa na plast SE 1013.

Najdbe po obdobjih: prazgodovina (lončenina 87 odlomkov oz. 485 g), rim (lončenina 3 odlomki oz. 14 g; železen žebelj 1 kos oz. 4g), zgodnji srednji vek (lončenina 84 odlomkov oz. 504 g), visoki in pozni srednji vek (lončenina 144 odlomkov oz. 638 g; pečnica 1 odlomek oz. 13 g), zgodnji novi vek (lončenina 66 odlomkov oz. 318 g), novi vek (pečnice 31 odlomkov oz. 360 g), 20. in 21. stoletje (opeka 8 kosov oz. 447 g). Poleg tega so bili najdeni še kamni nekarbonatnega izvora (47 kosov oz. 739 g), steklo (23 kosov oz. 29 g), žlindra (11 kosov



oz. 140 g), živalske kosti (192 kosov oz. 772 g) in školjke (12 odlomkov oz. 25 g) ter železni kovani žebliji (11 kosov oz. 203 g).

Interpretacija: pokopana tla.

Mere: dok. d. 4,9 m; dok. š. 1,85 cm; deb. 10–15 cm.

Odnos z drugimi plastmi: pod SE 1001; nanjo je naslonjena SE 1003; presekana s SE 1017; nad SE 1013.

Časovna umestitev: 15.–17. stoletje (?)

Najdbe in vzorci: malta (VZ 1007), pečnica (PN 0011), kovani železni žebliji (PN 0012, 0019–0021, 0050–0052), steklo (PN 0013), jantarna jagoda (PN 0017), železna pasna spona (PN 0045), stekleni jagodi (PN 0047, PN 0049), odlomek steklene zapestnice (PN 0048).

SE 1003

Vrsta: struktura (zid).

Opis: Zidana struktura (zid), ki poteka v smeri J–S, je sestavljena iz dveh linij kamnov. Ne gre za princip notranje in zunanje lice, saj nimamo vmesnega kamnitega drobirja. Notranja linija (na jugu) je bolj masivna kot zunanja (severni), ki je bolj izpostavljena, saj je bolj na robu pobočja. Zdi se, da je malta predvsem na notranji strani zidu, le nekaj (bistveno manj) pa na zunanji. Med kamni je nismo našli, tako da struktura deluje na tej točki ometana. Vmes med kamni je rahlo sprijet peščen melj rjave barve (predstavlja 30 % celotne sestave stratigrafske enote). Južna linija je zgrajena iz kamnov apnenca velikih med 60 × 20 cm in 18 × 20 cm, medtem ko je severna iz kamnov manjših velikosti 19 × 12 cm. Kamni iz južne linije so bolj enotne velikosti kot kamni iz severne linije zidu. Ta zid se v severnem delu naslanja na skalno osnovo oz. je postavljen nanjo, saj mu je služila kot osnova za izgradnjo, medtem ko je bil v južnem nad SE 1013. Pravokotno nanj je potekal zid SE 1004, vzporedno z njim pa zid SE 1009. V zidu najdb ni bilo, le v SE 1001 nad njim.

Interpretacija: vzhodni zid novoveškega objekta.

Mere: dok. d. 2 m; dok. š. 0,32–0,36 m; ohr. v. do 0,34 m.

Odnos z drugimi plastmi: pod SE 1001 in SE 1002; zapolnjuje SE 1010; naslonjena na SE 1004 in 1006; nanjo se naslanja SE 1008; nad SE 1013.

Časovna umestitev: novi vek.

SE 1004

Vrsta: struktura (zid).

Opis: Tudi ta zid (smer V–Z) je sestavljen iz dveh ravnih linij kamnov, vendar so slednji bolj enakomerne velikosti (ni takšnega odstopanja kot pri severni liniji zidu SE 1003), in sicer do 18 × 20 cm. Zid se na vzhodu naslanja se isti del skale kot SE 1003. Na tem mestu se tvori tudi vogal objekta. Na severozahodni strani je videti prilagoditev poteku skalne osnove (nad SE 1010). Vmes je rahlo sprijet peščen melj rjave barve (10 YR 3/2). Najdb ni bilo.

Interpretacija: severni zid novoveškega objekta.

Mere: dok. d. 1,8 m; dok. š. 0,37 m; ohr. v. 0,2–0,32 m.

Odnos z drugimi plastmi: pod SE 1001; naslonjena na SE 1003 in SE 1006; nanjo se naslanja SE 1008.

Časovna umestitev: novi vek.

Vzorec: malta (VZ 1001).

SE 1005

Vrsta: plast.

Opis: močno prekoreninjena plast. Grobe sestavine predstavljajo kamni apnenca velikosti 6 × 4 cm (5 %) in 2 × 3 cm (2 %). Vmes so tudi manjši kamni zelene barve (tuf?) velikosti 2 × 1,5 cm. Grušč predstavlja le 1 % sestave plasti, medtem ko največji delež (92%) predstavlja rahlo sprijet peščen melj rjave barve (10 YR 3/2).



Plast spominja predvsem na SE 1001, bistvene razlike med njima ni bilo, le da je bilo v tej več kamnov, zato jo razumemo kot spodnji del plasti SE 1001 in prehodne plasti nad skalno osnovo (SE 1006). Ob koreninah je bila zelo izsušena. Najdb je v tej bistveno manj kot v SE 1001.

Najdbe so iz različnih obdobij, neenakomerno razpršene, jih je pa bilo bistveno manj kot v SE 1001. Najdbe po obdobjih: prazgodovina (lončenina 37 odlomkov oz. 253 g), zgodnji srednji vek (lončenina 11 odlomkov oz. 53 g), visoki in pozni srednji vek (lončenina 32 odlomkov oz. 236 g), zgodnji novi vek (lončenina 14 odlomkov oz. 74 g), novi vek (pečnice 2 odlomka oz. 38 g; 4 žebli oz. 17 g). Poleg tega so bili najdeni še kamni nekarbonatnega izvora (72 kosov oz. 1799 g), steklo (2 kosa oz. 6 g), žlindra (2 kosa oz. 42 g), živalske kosti (11 kosov oz. 44 g), svinec (3 kosi oz. 17 g).

Interpretacija: plast.

Mere: dok. d. 4,45 m; dok. š. 1,93 m; deb. 0,13–0,22 m. V kv. 2 je bila krog in krog skalne osnove, ki je na tej točki bila že takoj pod gozdno rušo.

Odnos z drugimi plastmi: pod SE 1001; nad SE 1006.

Časovna umestitev: novi vek.

Najdbe: steklena predmeta (PN 0062 in PN 0068).

SE 1006

Vrsta: plast.

Opis: skala.

Interpretacija: apnenčasta skalna podlaga.

Mere: dok. d. 14 m; dok. š. 2 m.

Odnos z drugimi plastmi: je pod SE 1001, SE 1002, SE 1004, SE 1005, SE 1008, SE 1013 in SE 1014.

Časovna umestitev: geološka obdobja.

SE 1007

Vrsta: plast.

Opis: ruševina zahodnega zidu (SE 1009) iz kamnov apnenca velikosti do 20 × 15 cm (100 %). Kamni so se nalagali v SZ vogalu objekta, a so bili pred dokumentiranjem odstranjeni, saj jih je bilo zelo težko ločiti od SE 1001 in SE 1008. Najprej smo menili, da je to del SE 1001. Plast je bila izrazito prekoreninjena. Med skalo in interfacies SE 1010 ni bilo ničesar. Dobro vidno na FS 0003 (spodaj, obkroženo z rdečo barvo).

Interpretacija: ruševina.

Mere: ohr. d. 1 m; ohr. š. 0,45 m; ohr. v. 0,15 m.

Odnos z drugimi plastmi: pod SE 1001; nad SE 1006, SE 1008 in SE 1010; naslonjena na SE 1004 in 1009.

Časovna umestitev: novi vek.

SE 1008

Vrsta: plast.

Opis: plast znotraj novoveškega objekta. Zamejena je z zidovi SE 1003, SE 1004 in SE 1009. V delu, kjer je bila ruševina SE 1007, ni bila ohranjena, zato je ta del tal prostora interpretiran le kot interfacies SE 1010. Spodnji del plasti je bolj grob (kamni apnenca velikosti do 15 × 8 cm (15 %) ter 3 × 2 cm (10 %)). Vrhnji del plasti je bolj glineno meljast rjave barve (10 YR 3/2), kar je bila tudi osnova za ločevanje od zgoraj ležeče plasti SE 1001. V zgornjem delu je tudi bolj čvrsta, v spodnjem delu pa že bolj prhka, saj je na dnu več grušča. Plast je še vedno močno prekoreninjena z drobnimi koreninami. Ugotovili smo, da je SE 1010 prekrita s SE 1008. SE 1010 seka skalo in predstavlja element ravnjanja skale (klesanje). V jugovzhodnem delu pod SE 1008 leži SE 1013, kar pomeni, da je zid SE 1003 postavljen na SE 1013. Tla v objektu, ki ga zamejujejo zidovi SE 1003, SE

1004 in SE 1009, deloma tvori apnenčeva skalna osnova SE 1006. Tik ob zidovih so v plasti SE 1008 sledovi malte, ki je odstopila z zidu.

Najdbe po obdobjih: zgodnji srednji vek (lončenina 4 odlomki oz. 18 g), visoki in pozni srednji vek (lončenina 1 odlomek oz. 10 g), zgodnji novi vek (lončenina 14 odlomkov oz. 74 g), novi vek (4 žebli oz. 31 g). Poleg tega so bili najdeni še kamni nekarbonatnega izvora (6 kosov oz. 46 g).

Interpretacija: plast, ki je nastala ob uporabi prostora znotraj novoveškega objekta.

Mere: dok. š. 1,84 m; dok. d. 1,64 m; deb. 0,1–0,25 m.

Odnos z drugimi plastmi: pod SE 1001 in SE 1007; naslonjena na SE 1003, SE 1004, SE 1006 in SE 1009; zapolnjuje SE 1010.

Časovna umestitev: novi vek?

Najdba in vzorec: malta (VZ 1003); odlomek lončenine (PN 0053).

SE 1009

Vrsta: struktura (zid).

Opis: struktura predstavlja zahodno steno novoveškega objekta. Zgrajen je iz kamnov, položenih na skalno osnovo (SE 1006), ki je bila verjetno v tem delu odklesana, zato smo tu dokumentirali kot SE 1010 interfaccijo. Del te strukture predstavlja tudi peščen melj rjave barve (10YR 3/2), ki zapolnjuje prostor med kamni in skalo. V preseku je vidno, da je bil zid v osnovi višji, pa tudi, da so se pri gradnji zidu prilagodili skalni osnovi SE 1006. V vsem ohranjenem delu je bilo notranje lice zidu ometano z malto (FS 0009), ravno tako kot zid SE 1004.

Interpretacija: zid novoveškega objekta.

Mere: dok. d. 1,90 m; dok. š. 0,12–0,42 m.

Odnos z drugimi plastmi: pod SE 1001; nad SE 1006, nanjo se naslanjata SE 1005 in SE 1008; presekana s SE 1012.

Časovna umestitev: novi vek.

SE 1010 (= SE 1017)

Vrsta: negativ/interfaccija.

Opis: vsek v skalno osnovo SE 1006 in SE 1002 za potrebe izravnave območja, uporabljenega za postavitve zidanega, delno vkopanega objekta. Najbolj očiten je bil v severnem delu objekta, tam kjer nismo dokumentirali SE 1008.

Interpretacija: vsek.

Mere: dok. d. 1,7 m; dok. š. 1,98 m; gl. 0,12–0,15 m.

Odnos z drugimi plastmi: pod SE 1001; seka SE 1002, 1006 in SE 1013; zapolnjena s SE 1008.

Časovna umestitev: zgodnji novi vek.

SE 1011 = 1014

Vrsta: plast.

Opis: ruševina apnenčastih kamnov velikosti do 25 × 30 cm, ki tvorijo nekakšno linijo oz. nivo domnevnega obodnega/opornega zidu na pobočju. Pri odstranjevanju kamnov smo kasneje ugotovili, da spodaj ni videti nikakršnega zidu oz. njegove linije. Najverjetneje predstavlja le akumulacijo kamna na bolj strmem delu pobočja. Prav na tej točki je tudi naraven skalni rob bolj izrazit, zato so se lahko kamni bolj ustavili na ozki terasasti izravnavi, kar je dajalo zavajajoč občutek, da gre za ruševino spodaj ležečega zidu.

Najdbe po obdobjih: prazgodovina (lončenina 28 odlomkov oz. 180 g; ožgana glina 6 kosov oz. 66 g), rimsko obdobje (lončenina 2 odlomka oz. 10 g), zgodnji srednji vek (lončenina 30 odlomkov oz. 129 g), visoki in pozni srednji vek (lončenina 14 odlomkov oz. 44 g), zgodnji novi vek (lončenina 10 odlomkov oz. 41 g), novi vek



(opeka 6 kos oz. 46 g; pečnice 4 kosi oz. 45 g), 20. in 21. stoletje (opeka 2 odlomka oz. 26 g). Poleg tega so bili najdeni še kamni nekarbonatnega izvora (21 kosov oz. 197 g), steklo (5 kosov oz. 7 g), žindra (1 kos oz. 12 g), živalske kosti (32 kosov oz. 193 g), školjke (6 kosov oz. 11 g), kovan železen žebelj (5 g).

Interpretacija: ruševinska akumulacija.

Mere: dok. d. 2,8–4,0 m, dok. š. 0,54–1,94 m; deb. do 0,35 m.

Odnos z drugimi plastmi: pod SE 1001 in SE 1002.

Časovna umestitev: ?

Najdbe: železna žeblja (PN 0054 in 0056).

SE 1012

Vrsta: negativ/interfacija.

Opis: Interfacies zidu SE 1009 na zahodni strani objekta. Stopnja ohranjenosti zidu SE 1009 lepo kaže, da je bil zid nekoč višji, vendar se je iz različnih razlogov porušil. Mejno površino smo dokumentirali kot SE 1012.

Morda prav kamni iz SE 1007 predstavljajo porušen del tega zidu.

Interpretacija: mejna površina uničenja.

Mere: dok. d. 1,78 m; dok. š. 0,12–0,29–0,27 m (od juga proti severu); deb. 0,32–0,42 m.

Odnos z drugimi plastmi: pod SE 1005; seka SE 1006 in SE 1009.

Časovna umestitev: novi vek?

SE 1013

Vrsta: plast.

Opis: rahlo sprijet peščen melj rjave (10 YR 3/2) na pobočju pod zidom SE 1003 in nad preperino SE 1015. V spodnjem delu je izrazito bolj gruščnata (10 %), sicer pa s posameznimi večjimi kamni apnenca velikosti do 10 × 15 cm.

Zdi se, da spodnji del plasti predstavlja stik s pod njo ležečo SE 1015 s prazgodovinskimi najdbami. Debelina plasti niha po pobočju, v smeri Z–V. Najdebelejša je v vzhodnem delu (0,25 m) ob SE 1011, ker se je ulovila v/za skale. Plast je še vedno zelo prekoreninjena. Ni sledov oglja, je pa v njej več razlomljenih kamnov in prazgodovinskih najdb naselbinskega značaja (svitki, omet itd.), ki kažejo, da gre verjetno za koluvialno plast iz neposredne bližine. Kljub temu ni povsem jasno, od kod naj bi spolzel domneven koluvijalni depozit, saj se nahajamo na pobočju le dobra dva metra pod vršnim platojem. Tudi najdbe same kažejo značilnosti prenašanja, saj gre za posamezne odlomke, ki jih ni mogoče sestaviti v večje fragmente, še manj cele posode. Spominja na spodnji del plasti SE 1005, le da je bolj gruščnata (10 %). Najdb je v tem delu bistveno manj in niso več zastopana vsa obdobja, temveč začnejo prevladovati prazgodovinske najdbe. Predvsem v njenem spodnjem delu je veliko prazgodovinske lončenine.

Najdbe po obdobjih: prazgodovina (lončenina 112 odlomkov oz. 776 g; ožgana glina 6 kosov oz. 66 g), rimsko obdobje (lončenina 6 odlomkov oz. 42 g), zgodnji srednji vek (lončenina 15 odlomkov oz. 101 g), visoki in pozni srednji vek (lončenina 2 odlomka oz. 16 g), novi vek (pečnica 2 odlomkov oz. 15 g). Poleg tega so bili najdeni še kamni nekarbonatnega izvora (55 kosov oz. 748 g), žindra (5 kosov oz. 38 g) in živalske kosti (16 kosov oz. 86 g).

Interpretacija: koluvij.

Mere: dok. d. 4,9 m; dok. š. 2 m.

Odnos z drugimi plastmi: pod SE 1002, SE 1003 in SE 1011; nad SE 1006 in SE 1015; presekana s SE 1017.

Časovna umestitev: ?

Najdbe in vzorci: malta (VZ 1004), železen nož (PN 0055), železen žebelj (PN 0057), odlomek glinenega svitka (PN 0058), bronasta igla s stožčasto glavico (PN 0059).

SE 1014 = SE 1011

SE 1015

Vrsta: plast.

Opis: temno rumenkasto rjava (10YR 3/2) glinena plast s posameznimi apnenčastimi kamni velikimi do 8×5 cm (10 %), ki so del skalne osnove SE 1006. Njen nastanek razumemo kot posledico stika med SE 1013 in spodaj ležečo glineno geološko plastjo SE 1016. Obseg plasti sovпада s potekom geološke osnove, ki je krojila območje, kamor je plast sploh lahko segala.

Najdbe po obdobjih: prazgodovina (lončenina 103 odlomkov oz. 562 g), rimsko obdobje (lončenina 4 odlomki oz. 13 g), zgodnji srednji vek (lončenina 18 odlomkov oz. 46 g). Poleg tega so bili najdeni še kamni nekarbonatnega izvora (53 kosov oz. 1662 g), žlindra (2 kosa oz. 25 g), živalske kosti (15 kosov oz. 66 g) in ožgana glina (2 kosa oz. 30 g).

Interpretacija: koluvij.

Mere: dok. d. 2,75 m; dok. š. 0,90–1,9 m; deb. 0,1–0,2 m.

Odnos z drugimi plastmi: pod SE 1013 ter nad SE 1016 in SE 1006.

Časovna umestitev: ?

SE 1016

Vrsta: plast.

Opis: temno rumenkasto rjava (10YR 3/6) glinena plast s posameznimi apnenčastimi kamni velikosti do 10×15 cm (5 %), ki izvirajo iz prepele skalne osnove SE 1006. Na dokumentirani površini plasti so bili odkriti še posamezni odlomki lončenine. Plast zapolnjuje žepe v skalni podlagi.

Najdbe po obdobjih: prazgodovina (lončenina 42 odlomkov oz. 212 g), rimsko obdobje (lončenina 2 odlomka oz. 9 g), zgodnji srednji vek (lončenina 3 odlomkov oz. 9 g). Poleg tega so bili najdeni še kamni nekarbonatnega izvora (5 kosov oz. 46 g), bakrena žlindra (1 kos oz. 10 g) in živalske kosti (5 kosov oz. 7 g).

Interpretacija: geološka podlaga.

Mere: dok. d. 3,2 m; dok. š. 1,2 m; deb. 0,5–0,20 cm.

Odnos z drugimi plastmi: pod SE 1015; nad SE 1006.

Časovna umestitev: geološka obdobja.

SE 1017 (=SE 1010)

Vrsta: negativ/vkop.

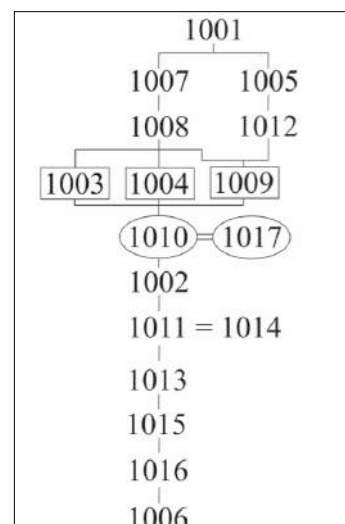
Opis: linearen vkop za vzhodni zid (SE 1003), s katerim so na območju celotnega objekta odstranili SE 1002. Izdelan sočasno z odstranitvijo skalne podlage (SE 1010).

Interpretacija: vkop za gradnjo vzhodne stranice objekta.

Mere: dok. d. 1,7 m; dok. š. 1,98 m; gl. 0,12–0,15 m.

Odnos z drugimi plastmi: pod SE 1001; seka SE 1002 in SE 1013; zapolnjen s SE 1003.

Časovna umestitev: zgodnji novi vek.



Slika 6.1: Sonda 1. Harrisov diagram stratigrafskega zaporedja (izdelal: D. Kožuh).



Sonda 2

SE 2000

Vrsta: negativ/interfacija.

Opis: Uničenje, ki je nastalo zaradi podrtja drevesa med žledolomom. Koreninski splet je za sabo potegnil vse plasti do skalne podlage (SE 2006), kar je na območju panja uničilo arheološki zapis. V tlorisu je ovalne oblike, v preseku tudi, stene pa precej hitro prehajajo v ravno dno. Ker se nahaja na pobočju, je globina v smeri V–Z pogojena s tem.

Interpretacija: poškodba zaradi izruvanega panja.

Mere: dok. d. 3,20 m; dok. š. 1,80 m; gl. 0,20–0,90 m.

Odnos z drugimi plastmi: seka SE 2001–2014.

Časovna umestitev: 2014.

SE 2001

Vrsta: plast.

Opis: ruša rjave barve (10 YR 3/2), močno prekoreninjena in zelo plitva, saj je takoj spodaj ležala plast SE 2002. Osnovna sestava je peščeno meljasta.

Najdbe po obdobjih: prazgodovina (lončenina 16 odlomkov oz. 139 g), zgodnji srednji vek (lončenina 5 odlomkov oz. 26 g). Poleg tega so bili najdeni še kamni nekarbonatnega izvora (2 kosa oz. 28 g), živalske kosti (6 kosov oz. 42 g), ožgana glina (4 sodi oz. 42 g) in železen kovan žebelj (1 g).

Interpretacija: gozdna ruša.

Mere: celoten obseg sondažnega izkopa. Deb. do 5 cm.

Odnos z drugimi plastmi: nad SE 2002; presekana s SE 2000.

Časovna umestitev: subrecentno.

SE 2002

Vrsta: plast.

Opis: prhek svetlo rjav peščen melj (10 YR 3/4) pod rušo, ki vsebuje tudi nekaj grušča (15 %). Temnejši del plasti, ki je zelo prekoreninjen, je verjetno še del SE 2001, svetlejši, čistejši pa SE 2002. V plasti so redke keramične in železne najdbe.

Interpretacija: depozit, ki se je odložil na izravnavi pred prelomom pobočja.

Mere: dok. d. 3,8 m; dok. š. 0,4–0,75 m; deb. do 10 cm.

Odnos z drugimi plastmi: pod SE 2001; nad SE 2003; presekana s SE 2000.

Časovna umestitev:

Najdbe po obdobjih: prazgodovina (lončenina 2 odlomka oz. 17 g), zgodnji srednji vek (lončenina 3 odlomki oz. 25 g). Poleg tega so bili najdeni še žlindra (2 kosa oz. 20 g), živalske kosti (4 kosi oz. 33 g), ožgana glina (2 kosa oz. 18 g) in dva kosa železa (12 g).

SE 2003

Vrsta: plast.

Opis: v zgornjem delu je plast bolj mehka in glinena, sicer pa je osnovna sestava plasti peščen melj rjave barve (10YR 3/4). V spodnjem delu pa je delovala bolj prezračena. V plasti so bili večji apnenčasti kamni velikosti do 40 × 30 cm, sicer pa so prevladovali v velikosti 10 × 8 cm (35 %), medtem ko kamni velikosti 5 × 3 cm predstavljajo 10 % celotne plasti. Grušča je manj (3 %). Več kot polovico plasti predstavlja peščen melj (52%). Najdbe so bile pogostejše v zgornjem delu.



Najdbe po obdobjih: prazgodovina (lončenina 6 odlomkov oz. 32 g), rimsko obdobje (lončenina 2 odlomka oz. 6 g), zgodnji srednji vek (lončenina 21 odlomki oz. 104 g). Poleg tega so bili najdeni še žindra (1 kos oz. 6 g), živalske kosti (9 kosov oz. 30 g), ožgana glina (2 kosa oz. 3 g) in 1 kos oglja (0,5 g).

Interpretacija: ruševina.

Mere: dok. d. 3,8 m; dok. š. 0,31–1,4 m; deb. 0,13–0,40 m.

Odnos z drugimi plastmi: pod SE 2001 in SE 2002; nad SE 2004 in SE 2007; presekana s SE 2000.

Časovna umestitev: ?

SE 2004

Vrsta: struktura (zid).

Opis: zidana struktura – zid zgrajen iz velikih apnenčastih blokov (95 %) velikosti do 60 × 70 cm. V ohranjenem stanju omejeno dokumentiran. Na južnem delu dokumentiranega poteka so kamni manjši. Zid je bil vezan z malto drobnozrnate sestave s posameznimi kosi apnenca velikosti do 1 × 1 cm ter manjšimi nekarbonatnimi kamni velikosti do 0,5 × 0,5 cm. Skupki malte dosegajo velikost do 15 × 10 cm (predstavljajo pa 5 % celotne strukture).

Struktura gotovo stoji nad SE 2012, ni pa jasno, če ima tudi stik s SE 2011.

Interpretacija: obzidje/obodni zid.

Mere: dok. d. 1,6, dok. š. 0,61, dok. v. do 0,35 m.

Odnos z drugimi plastmi: pod SE 2001, SE 2007 in SE 2008; nad SE 2011 (?) in SE 2012; presekana s SE 2000.

Časovna umestitev: pozna antika.

Vzorci: malta (VZ 2001, VZ 2003, VZ 2004).

SE 2005

Vrsta: plast.

Opis: temno rumenkasto rjava (10YR 3/6) glinena plast s posameznimi apnenčastimi kamni velikosti do 10 × 15 cm (5 %), ki izvirajo iz preperele skalne osnove SE 2006. Plasti nismo odstranjevali.

Interpretacija: geološka osnova.

Mere: /

Odnos z drugimi plastmi: pod SE 2012 in nad SE 2006; presekana s SE 2000.

Časovna umestitev: geološka obdobja.

SE 2006

Vrsta: plast.

Opis: geološka skalna osnova (dolomitiziran apnenec?).

Interpretacija: skalna osnova.

Mere: dok. d. 3,8 m; dok. š. 2 m.

Odnos z drugimi plastmi: presekana s SE 2000; pod SE 2011 in SE 2012.

Časovna umestitev: geološka obdobja.

SE 2007

Vrsta: plast.

Opis: tanka plast prhkega peščenega melja zelo temno sivkaste barve (10 YR 4/2). Je polna grušča velikosti 0,5 × 0,5 cm (50 %), kar delno predstavlja že zgornji del ravno tako prhke SE 2008. Gre namreč za sediment, ki se je nabral na prhki zemlji (SE 2008) in predstavlja hodno površino. V plasti so bile najdene posamezne poznoantične najdbe. Plast je zelo tanka (4 cm). Vmes najdeni tudi posamezni kamni (1 %) velikosti do 5 × 3



cm. Pri odstranjevanju smo ugotovili, da se pod SE 2007 nahaja SE 2008 le ob zidu SE 2004, proti sredini pa izgine. Situacijo dodatno otežuje uničenje zaradi žledoloma, saj so robovi negativa dodobra razrahljali robove prsti. Ob zaključku izkopavanja te plasti smo ugotovili, da je to hodna površina, ki prekriva polnilo (SE 2008) vkopa (SE 2010) za zid.

Najdbe po obdobjih: prazgodovina (lončenina 8 odlomkov oz. 53 g), rim (1 odlomek lončenina oz. 2 g). Poleg tega so bili najdeni še živalske kosti (9 kosov oz. 11 g), 1 školjka (0,5 g) in 1 kos malte (53 g).

Interpretacija: hodna površina.

Mere: dokumentirana v dveh otokih (glej načrt); (1) dok. d. 1,5 m; dok. š. 0,8 m; deb. 4 cm; (2) dok. d. 1,08 m; dok. š. 0,7 m.

Odnos z drugimi plastmi: pod SE 2003; nad SE 2008 in SE 2009; naslonjena na SE 2004 in SE 2009; presekana s SE 2000.

Časovna umestitev: pozna antika.

SE 2008

Vrsta: plast.

Opis: polnilo iz prhkega peska in grušča sivkaste barve (10 YR 6/2), ki zapolnjuje vkop SE 2010 za zid SE 2004. Polnilo svetlo rjavkasto sive (10YR 6/2) barve je sestavljeno peščenega melja (30 %), ostalo pa predstavljajo apnenčasti grušč (30 %) in kamni (40 %) različnih velikosti (od 2 × 3 cm do 7 × 9 cm). Na severnem delu polnila je bilo najdenih več kosov malte.

Interpretacija: polnilo vkopa za zidom.

Mere: dok. d. 0,35; dok. š. 0,09 m; deb. do 20 cm.

Odnos z drugimi plastmi: pod SE 2007; nad SE 2009; zapolnjuje SE 2010; naslonjena na SE 2004; presekana s SE 2000.

Časovna umestitev: pozna antika.

Najdba in vzorec: kost za ¹⁴C analizo (VZ 2002), odlomek steklene posode (PN 0063).

SE 2009 = SE 2011

SE 2010

Vrsta: vkop.

Opis: zasek odstranil del zunanjega roba skalne stopnje in je služil pripravi terena za izgradnjo zidu SE 2004. Ohranila se je ena stena (vzhodna), ki je bila skoraj navpična, nato pa je mestoma prešla v ravno dno. Zahodni del je v širini cca. 10 cm zapolnjevala SE 2008. Drugo polnilo predstavlja zid SE 2004, ki ga nismo odstranjevali, zato je nadaljnji potek zaseka neznan. Pri odstranjevanju SE 2011 smo ugotovili, da je vkop širši, kot smo sprva predvidevali.

Interpretacija: zasek v skalno podlago – priprava terena za gradnjo obzidja.

Mere: dokumentirana v dveh otokih; (severni otok) dok. d. 0,5 m; dok. š. 0,11 m; deb. do 0,20 m; (južni otok) dok. d. 0,34 m; dok. š. 0,12 m; deb. do 0,15 m.

Odnos z drugimi plastmi: pod SE 2007; zapolnjena s SE 2004 in 2008; seka SE 2009 in SE 2011; presekana s SE 2000.

Časovna umestitev: pozna antika.

SE 2011

Vrsta: plast.

Opis: plast čvrstega peščenega melja rjave barve (10 YR 3/2, 85 %), ki se na vzhodni strani naslanja na skalo. Vanjo je vkopan vkop SE 2010 za zid SE 2004. V plasti so razpršeni kamni v velikosti do 20 × 10 cm (5 %) in grušč (10 %).

Najdbe po obdobjih: prazgodovina (lončenina 19 odlomkov oz. 102 g; ožgana glina 1 kos oz. 4 g), rimsko obdobje (lončenina 3 odlomki oz. 7 g), zgodnji srednji vek (lončenina 1 odlomek oz. 5 g). Poleg tega so bili najdeni še kamni nekarbonatnega izvora (2 kos oz. 9 g) in živalske kosti (6 kosov oz. 10 g).

Interpretacija: izravnava.

Mere: dokumentirana v dveh otokih; (severni otok) dok. d. 1,46 m; dok. š. do 0,56 m; (južni otok) dok. d. 0,67 m; dok. šir. 1,07 m; deb. 0,05–01 m.

Odnos z drugimi plastmi: pod SE 2007; nad SE 2006 in SE 2012; presekana s SE 2000 in SE 2010.

Časovna umestitev: prazgodovina.

SE 2012

Vrsta: plast.

Opis: plast močno zbite meljaste gline temno rjave barve (10 YR 3/3) s prazgodovinsko lončenino. Leži tik nad skalo oz. glineno preperlino. V njej so drobci oglja (1 %, veliki do 1 × 1 cm) in drobci ožgane gline (veliki do 0,5 × 0,5 cm), vsi neenakomerno razpršeni po plasti. V plasti so tudi kosti.

Najdbe po obdobjih: prazgodovina (lončenina 144 odlomkov oz. 972 g, ožgana glina 5 kosov oz. 42 g), zgodnji srednji vek (lončenina 2 odlomka oz. 3 g). Poleg tega so bili najdeni še kamni nekarbonatnega izvora (6 kosov oz. 18 g), živalske kosti (22 kosov oz. 25 g) ter kos bron (1 g).

Interpretacija: geološka plast, ki zapolnjuje skalno apnenčevo osnovo (SE 2006).

Mere: dokumentirana v dveh otokih; (severni otok) dok. d. 1,3 m; dok. š. 1,07 m; (južni otok) dok. d. 0,77 m; dok. š. 0,5 m.

Odnos z drugimi plastmi: pod SE 2011; nad SE 2005 in SE 2006; presekana s SE 2000 in SE 2010.

Časovna umestitev: prazgodovina.

Najdbi: odlomek lončenine (PN 0065), bronasta igla (PN 0066).

SE 2013

Vrsta: negativ/interfacija.

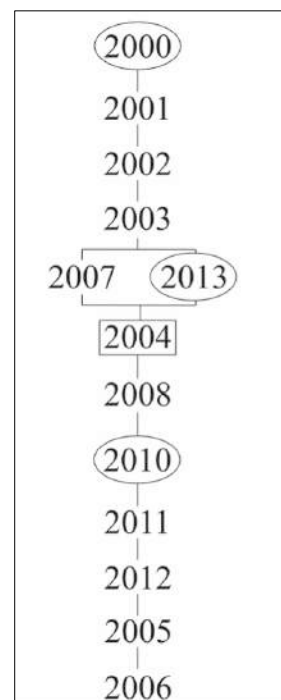
Opis: uničenje zgornjih leg zidu SE 2004.

Interpretacija:

Mere: dok. d. 0,35 m; dok. š. 0,25 m;

Odnos z drugimi plastmi: nad 2004 in pod SE 2003; presekana s SE 2000.

Časovna umestitev: poantično obdobje.



Slika 6.2: Sonda 2. Harrisov diagram stratigrafskega zaporedja (izdelal: D. Kožuh)



Katalog najdb

Luka Škerjanec, Dejan Kožuh

Okrajšave:

PN – posebna najdba

š. – širina

dl. – dolžina

deb. – debelina

v. – višina

u. – ustje

pr. – premer

ohr. – ohranjen/a

Sonda 1, SE 1001 (T. 1–2)

1. Žebelj. Železo. Ploščata rahlo ukrivljena glavica okroglega obrisa z ravnim trakastim stebлом. Mere: dl. 2,9 cm; š. glavnice 1,1 cm; v. glavnice 0,2 cm; š. stebła 0,2 cm; deb. stebła 0,2 cm. Teža: 1 g. Datum 3. 7. 2019.
2. Žebelj. Železo. Ploščata glavica pravokotnega obrisa z ravnim trakastim stebлом. Mere: dl. 7,9 cm; š. glavnice 1,3 cm; v. glavnice 0,2 cm; š. stebła 0,4 cm; deb. stebła 0,4 cm. Teža: 5 g. Datum: 2. 7. 2019.
3. Žebelj. Železo. Piramidalna glavica pravokotne oblike z ukrivljenim trakastim stebлом. Mere: dl. 8,2 cm; š. glavnice 1,1 cm; v. glavnice 0,4 cm; š. stebła 0,4 cm; deb. stebła 0,4 cm. Teža: 8 g. Datum: 2. 7. 2019.
4. Žebelj. Železo. Ploščata glavica pravokotnega obrisa z ravnim trakastim stebлом. Mere: dl. 9 cm; š. glavnice 2,2 cm; v. glavnice 0,3 cm; š. stebła 0,6 cm; deb. stebła 0,5 cm. Teža: 15 g. **PN 34**. Datum: 3. 7. 2019.
5. Žebelj. Železo. Trikotna glavica pravokotnega obrisa z ravnim, na spodnjem delu rahlo ukrivljenim trakastim stebлом. Mere: dl. 15,9 cm; š. glavnice 2 cm; v. glavnice 0,6 cm; š. stebła 0,6 cm; deb. stebła 0,5 cm. Teža: 34 g. **PN 40**. Datum: 3. 7. 2019.
6. Žebelj. Železo. Trikotna glavica pravokotnega obrisa z ravnim trakastim stebлом. Mere: dl. 8,5 cm; š. glavnice 1,5 cm; v. glavnice 0,4 cm; š. stebła 0,6 cm; deb. stebła 0,3 cm. Teža: 8 g. Datum: 2. 7. 2019.
7. Žebelj. Rahlo ukrivljena ploščata glavica pravokotnega obrisa s trakastim stebлом. Mere: dl. 2,7 cm; š. glavnice 1,1 cm; v. glavnice 0,2 cm; š. stebła 0,3 cm; deb. stebła 0,2 cm. Teža: 1 g. Datum: 2. 7. 2019.
8. Nož. Železo. Fragment rezila noža z ravnim hrbtom in ravnim rezilom. Na rezilu je manjši utor. Nastavek za držaj ni ohranjen. Mere: ohr. dl. 3,6 cm; v. rezila 2,2 cm, š. rezila 0,2 cm. Teža: 7 g. **PN 67**. Datum: 3. 7. 2019.
9. Žebelj. Železo. Ploščata rahlo ukrivljena glavica pravokotnega obrisa z zožitvijo na obeh daljših straneh. Trakasto steblo je ukrivljeno. Mere: dl. 2,1 cm; š. glavnice 1,8 cm; v. glavnice 0,2 cm; š. stebła 0,2 cm; deb. stebła 0,2 cm. Teža: 1 g. Datum: 2. 7. 2019.
10. Žebelj. Železo. Ploščata glavnice nepravilnega obrisa z ravnim trakastim stebлом. Mere: ploščata glavnica nepravilne oblike z ravnim trakastim stebлом. Mere: dl. 7 cm; š. glavnice 1,4 cm; v. glavnice 0,3 cm; š. stebła 0,3 cm; deb. stebła 0,3 cm. Teža: 5 g. Datum: 2. 7. 2019.
11. Pihanec. Steklo. Ploščat fragment roba, ki je oblikovan tako, da je bil zunanji del ploščatega dela polkrožno zapognjen nazaj. Med obema plastema robu je odprtina. Fragment je prozoren. Mere: ohr. dl. 2,8 cm; ohr. š. 1,2 cm; v. 0,2 cm. Teža: 1 g. Datum: 2. 7. 2019.
12. Jagoda. Steklo. Okrogla jagoda modre barve z odprtino v sredini. Mere: š. 0,5 cm; ohr. dl. 0,4 cm; v. 0,1 cm, deb. 0,1 cm; velikost odprtine 0,3 cm. Teža: 1 g. **PN 1**. Datum: 1. 7. 2019.
13. Pihanec. Steklo. Ploščat fragment roba, ki je oblikovan tako, da je bil zunanji del ploščatega dela polkrožno zapognjen nazaj. Med obema plastema roba je odprtina. Fragment je prozoren. Mere: ohr. dl. 3,3 cm; ohr. š. 1,4 cm; v. 0,3 cm. Teža: 1 g. Datum: 2. 7. 2019.
14. Pihanec. Steklo. Ploščat fragment roba, ki je oblikovan tako, da je bil zunanji del ploščatega dela polkrožno zapognjen nazaj. Med obema plastema roba je odprtina. Fragment je prozoren in vsebuje zračne mehurčke. Mere: ohr. dl. 3,3 cm; ohr. š. 1,6 cm; v. 0,3 cm. Teža: 1 g. Datum: 2. 7. 2019.
15. Jagoda. Steklo. Okrogla jagoda modre barve z odprtino v sredini. Mere: š. 0,4 cm; v. 0,2 cm; deb. 0,1 cm; velikost odprtine 0,2 cm. Teža: 1 g. **PN 46**. Datum: 3. 7. 2019.

- 16.** Pihanec. Steklo. Trikotno oblikovan prozoren fragment stekla, na eni površini rahlo valovit. Steklo vsebuje zračne mehurčke. Na robovih vidni sledovi obdelave. Mere: ohr. dl. 3,5 cm; ohr. š. 3,3 cm; deb. 0,3 cm. Teža: 3 g. **PN 27.** Datum: 2. 7. 2019.
- 17.** Brus. Kamen. Podolgovat kamen ovalne oblike z na eni površini gladko, na drugi površini ostro zaobljenimi robovi. Mere: dl. 6,3 cm; š. 2,7 cm; v. 2 cm. Teža: 57 g. Datum: 2. 7. 2019.
- 18.** Fragment ustja z ostenjem, izdelan iz grobozrnate lončarske mase s primesmi apnenca in sljude (**LM 54**). Notranja in zunanja površina sta rdeče rjave barve. Mere: ohr. v. 2,2 cm; pr. u. 24 cm; deb. ost. 0,6 cm. Teža: 11 g. Datum: 2. 7. 2019.
- 19.** Fragment ostenja, izdelan iz grobozrnate lončarske mase s primesmi apnenca in sljude (**LM 54**). Notranja in zunanja površina sta temno sive barve. Mere: ohr. v. 2,2 cm; pr. u. 24 cm. Teža: 9 g. Datum: 2. 7. 2019.
- 20.** Fragment ostenja, izdelan iz grobozrnate lončarske mase s primesmi apnenca in sljude (**LM 54**). Notranja in zunanja površina sta temno sive barve. Okras (motiv okrasa: valovnica) je izdelan v tehniki vrezovanja v varianti kaneliranja. Mere: ohr. v. 2,9 cm; ohr. š. 2,6 cm; deb. ost. 0,5 cm. Teža: 8 g. Datum: 2. 7. 2019.
- 21.** Fragment ostenja, izdelan iz grobozrnate lončarske mase s primesmi apnenca in sljude (**LM 54**). Notranja in zunanja površina sta temno sive barve. Okras (motiv okrasa: valovnica) je izdelan v tehniki vrezovanja v varianti kaneliranja. Mere: ohr. v. 3 cm; ohr. š. 2,6 cm; deb. ost. 0,5 cm. Teža: 5 g. Datum: 2. 7. 2019.
- 22.** Fragment ustja z ostenjem, izdelan iz drobnozrnate lončarske mase s primesmi kremena, apnenca, sljude in železovih oksidov (**LM 60**). Notranja površina je sive barve, zunanja površina je rumeno sive barve. Mere: ohr. v. 1,9 cm; pr. u. 13 cm; deb. ost. 0,5 cm. Teža: 5 g. Datum: 2. 7. 2019.
- 23.** Fragment ročaja, izdelan iz fino zrnate lončarske mase s primesmi kremena, apnenca, sljude in organskih snovi (**LM 46**). Zunanja in notranja površina sta rjave barve. Mere: ohr. v. 2,9 cm; š. 3,3 cm; deb. 1,5 cm. Teža: 15 g. Datum: 2. 7. 2019.
- 24.** Fragment ročaja, izdelan iz drobnozrnate lončarske mase s primesmi kremena, sljude in železovih oksidov (**LM 6**). Zunanja in notranja površina sta sivo rjave barve. Mere: ohr. v. 2,2 cm; š. 2,3 cm; deb. 0,9 cm. Teža: 6 g. Datum: 2. 7. 2019.
- 25.** Fragment ostenja, izdelan iz fino zrnate lončarske mase s primesmi kremena in sljude (**LM 75**). Notranja in zunanja površina sta rdeče barve. Na notranji strani so lise glazure bele in rdeče barve. Mere: ohr. v. 3,1 cm; ohr. š. 6 cm; deb. ost. 0,6 cm. Teža: 12 g. Datum: 2. 7. 2019.
- 26.** Fragment ustja z ostenjem, izdelan iz grobozrnate lončarske mase s primesmi apnenca in sljude (**LM 54**). Zunanja in notranja površina sta rjavo sive barve. Mere: ohr. v. 1,8 cm; pr. u. 24 cm; deb. ost. 0,5 cm. Teža: 8 g. Datum: 1. 7. 2019.
- 27.** Fragment dna z ostenjem, izdelan iz grobozrnate lončarske mase s primesmi kremena, apnenca in sljude (**LM 52**). Notranja in zunanja površina sta svetlo rdeče barve. Lise na notranji strani so svetlo sive barve. Lise na zunanji strani so sive barve. Mere: ohr. v. 3,9 cm; pr. d. 9,2 cm; deb. ost. 0,5 cm. Teža: 43 g. Datum: 2. 7. 2019.
- 28.** Fragment ustja z ostenjem, izdelan iz grobozrnate lončarske mase s primesmi apnenca in sljude (**LM 54**). Notranja in zunanja površina sta rjavo sive barve. Mere: ohr. v. 2,4 cm; pr. u. 21 cm; deb. ost. 0,4 cm. Teža: 8 g. Datum: 3. 7. 2019.
- 29.** Fragment ustja z ostenjem, izdelan iz grobozrnate lončarske mase s primesmi apnenca in sljude (**LM 54**). Notranja površina je rdeče rjave barve, zunanja površina je sivo rjave barve. Mere: ohr. v. 2 cm; pr. u. 28 cm; deb. ost. 0,5 cm. Teža: 10 g. Datum: 2. 7. 2019.
- 30.** Fragment ustja z ostenjem, izdelan iz fino zrnate lončarske mase s primesmi kremena in sljude (**LM 81**). Notranja in zunanja površina sta rumeno rjave barve. Mere: ohr. v. 2,8 cm; pr. u. 38 cm; deb. ost. 0,5 cm. Teža: 18 g. Datum: 2. 7. 2019.
- 31.** Fragment pečnice, izdelane iz fino zrnate lončarske mase s primesmi kremena in organskih snovi (**LM 72**). Zunanja in notranja površina sta svetlo rdeče barve. Na zunanji površini je glazura temno zelene barve. Okras (motiv okrasa: štirinožna žival) je izdelan v tehniki apliciranja v varianti applike, izdelane v kalupu. Mere: ohr. v. 4,3 cm; ohr. š. 4,4 cm; deb. ost. 0,8 cm. Teža: 19 g. Datum: 1. 7. 2019.
- 32.** Fragment ustja z ostenjem, izdelanim iz grobozrnate lončarske mase s primesmi apnenca in sljude (**LM 54**). Notranja in zunanja površina sta sivo rjave barve. Mere: ohr. v. 1,6 cm; ohr. š. 1 cm; deb. ost. 0,3 cm. Teža: 2 g. Datum: 2. 7. 2019.



- 33.** Fragment ustja z ostenjem, izdelanim iz grobozrnate lončarske mase s primesmi apnenca in sljude (**LM 54**). Notranja površina je rumeno rjave barve, zunanja površina je rdeče rjave barve. Mere: ohr. v. 2,2 cm; ohr. š. 2,3 cm; deb. ost. 0,5 cm. Teža: 5 g. Datum: 2. 7. 2019.
- 34.** Fragment ostenja, izdelan iz drobnozrnate lončarske mase s primesmi kremena, apnenca, sljude in organskih snovi (**LM 61**). Zunanja in notranja površina sta rjavo rdeče barve. Okras (motiv okrasa: vzporedne horizontalne linije in valovnica) je izdelan v osnovni tehniki vrezovanja v varianti kaneliranja. Mere: ohr. v. 3,8 cm; ohr. š. 4,6 cm; deb. ost. 0,6 cm. Teža: 16 g. Datum: 2. 7. 2019.
- 35.** Fragment dna z ostenjem, izdelan iz finozrnate lončarske mase s primesmi sljude (**LM 80**). Notranja in zunanja površina sta rumeno rjave barve. Na notranji površini so lise glazure, ki tvori koncentrične kroge temno zelene barve. Okras (motiv okrasa: dve vzporedni črti) je izdelan v tehniki vrezovanja v varianti kaneliranja. Mere: ohr. v. 1,4 cm; pr. d. 12 cm; deb. ost. 0,8 cm. Teža: 11 g. Datum: 2. 7. 2019.
- 36.** Fragment ustja z ostenjem, izdelan iz finozrnate lončarske mase s primesmi kremena in sljude (**LM 76**). Notranja in zunanja površina sta svetlo rdeče barve. Na notranji strani so lise rdeče glazure. Mere: ohr. v. 1,9 cm; pr. u. 24 cm; deb. ost. 0,6 cm. Teža: 15 g. Datum: 2. 7. 2019.
- 37.** Fragment ustja z ostenjem, izdelan iz drobnozrnate lončarske mase s primesmi sljude (**LM 69**). Notranja in zunanja površina je svetlo rdeče barve. Na notranji površini so lise glazure rdeče in bele barve, na zunanji površini so lise glazure rdeče barve. Mere: ohr. v. 3,4 cm; pr. u. 24 cm; deb. ost. 0,6 cm. Teža: 16 g. Datum: 2. 7. 2019.
- 38.** Fragment ustja z ostenjem, izdelan iz grobozrnate lončarske mase s primesmi apnenca in sljude (**LM 54**). Notranja in zunanja površina je temno sive barve. Mere: ohr. v. 1,5 cm; pr. u. 16 cm; deb. ost. 0,4 cm. Teža: 12 g. Datum: 2. 7. 2019.
- 39.** Fragment ustja z ostenjem, izdelan iz drobnozrnate lončarske mase s primesmi kremena in sljude (**LM 56**). Notranja in zunanja površina sta sivo rjave barve. Mere: ohr. v. 2,4 cm; pr. u. 38 cm; deb. ost. 0,6 cm. Teža: 13 g. Datum: 2. 7. 2019.
- 40.** Fragment ostenja, izdelan iz grobozrnate lončarske mase s primesmi apnenca in sljude (**LM 54**). Notranja površina je rjavo sive barve, zunanja površina je temno sive barve. Okras (motiv okrasa: aplicirano rebro). Mere: ohr. v. 4,2 cm; ohr. š. 4,9 cm; deb. ost. 0,6 cm. Teža: 14 g. Datum: 2. 7. 2019.
- 41.** Fragment ustja, izdelan iz grobozrnate lončarske mase s primesmi apnenca in sljude (**LM 54**). Notranja in zunanja površina sta rjavo sive barve. Mere: ohr. v. 1,3 cm; pr. u. 16 cm. Teža: 10 g. Datum: 2. 7. 2019.
- 42.** Fragment dna z ostenjem, izdelan iz finozrnate lončarske mase s primesmi kremena, apnenca in sljude (**LM 1**). Zunanja in notranja površina je rdeče rjave barve. Lise na zunanji in notranji površini so rjavo sive barve. Mere: ohr. v. 1,9 cm; pr. d. 12 cm. Teža: 18 g. Datum: 2. 7. 2019.
- 43.** Odlomek ostenja, izdelan iz drobnozrnate lončarske mase s primesmi kremena in sljude (**LM 44**). Notranja površina je rjavo sive barve, zunanja površina je sivo rjave barve. Mere: ohr. v. 5 cm; ohr. š. 5,3 cm; deb. ost. 0,8 cm. Teža: 20 g. Datum: 2. 7. 2019.
- 44.** Fragment ustja z ostenjem, izdelan iz drobnozrnate lončarske mase s primesmi kremena in sljude (**LM 46**). Notranja površina je rdeče rjave barve, zunanja površina je sivo rjave barve. Mere: ohr. v. 2,3 cm; ohr. š. 3,1 cm; deb. ost. 1 cm. Teža: 8 g. Datum: 2. 7. 2019.
- 45.** Fragment ostenja, izdelan iz drobnozrnate lončarske mase s primesmi kremena in sljude (**LM 46**). Zunanja površina je rjavo sive barve, notranja površina je rumeno rjave barve. Okras (motiv okrasa: česa) je izdelan v osnovni tehniki apliciranja v varianti ročno oblikovane aplikacije/rebra. Mere: ohr. v. 3,4 cm; ohr. š. 3,7 cm; deb. ost. 1,2 cm. Teža: 17 g. Datum: 2. 7. 2019.
- 46.** Fragment ustja z ostenjem, izdelan iz grobozrnate lončarske mase s primesmi apnenca in sljude (**LM 54**). Notranja in zunanja površina sta rjavo sive barve. Mere: ohr. v. 2,4 cm; pr. u. 22 cm; deb. ost. 0,4 cm. Teža: 15 g. Datum: 3. 7. 2019.

Sonda 1, SE 1002 (T. 3)

- 47.** Žebelj. Železo. Trikotna glavica nepravilnega obrisa s trakastim stebлом, ki je na spodnjem delu rahlo ukrivljen. Mere: dl. 7 cm; š. glavice 1,3 cm; v. glavice 0,3 cm; š. stebela 0,3 cm; deb. stebela 0,3 cm. Teža: 5 g. Datum: 4. 7. 2019.

48. Žebelj. Železo. Ploščata glavica pravokotnega obrisa z zakrivljenim trakastim stebлом. Mere: dl. 7,4 cm; š. glavnice 1,3 cm; v. glavnice 0,2 cm; š. stebła 0,3 cm; deb. stebła 0,3 cm. Teža: 7 g. Datum: 4. 7. 2019.
49. Žebelj. Železo. Trikotna glavica ovalnega obrisa z večkrat zakrivljenim trakastim stebлом. Mere: dl. 4,2 cm; š. glavnice 1,3 cm; v. glavnice 0,2 cm; š. stebła 0,3 cm; deb. stebła 0,3 cm. Teža: 5 g. Datum: 4. 7. 2019.
50. Okov. Železo. Širši del je ploščate polkrožne oblike z valovitim zaključkom na notranji strani. Na ploščici sta tudi dve luknji, ena oglata, druga okrogla. Predmet se na polkrožnem delu zoži v raven ploščat trakast del, ki se zaključi z polnim zavojem. Mere: š. 6,6 cm; dl. 6,4 cm; v. 1,4 cm; dl. ploščice 3,4 cm; deb. ploščice 0,2 cm; velikost luknjic 0,3 cm, š. traku 1,9 cm. Teža: 32 g. Datum: 5. 7. 2019.
51. Žebelj. Železo. Ploščata glavica nepravilnega ovalnega obrisa z rahlo ukrivljenim trakastim stebлом. Mere: 7,8 cm; š. glavnice 1,6 cm; v. glavnice 0,3 cm; š. stebła 0,4 cm; deb. stebła 0,4 cm. Teža: 9 g. datum 5. 7. 2019.
52. Spona. Železo. Stranica locna je okroglega preseka, polkrožno oblikovana in malce odebeljena. Pritrdišče za trn je ploščate oblike, na sredini, kjer je pritrjen trn, pa je ozko. Pritrdišče za jermen je prav tako okroglega preseka. Mere: dl. 4,1 cm; š. 4cm; deb. 0,4 cm. Teža: 16 g. **PN 45**. Datum: 3. 7. 2019.
53. Žebelj. Železo. Ploščata glavica pravokotne oblike s trakastim stebлом, ki je rahlo ukrivljeno na spodnjem delu. Mere: dl. 8,5 cm; š. glavnice 1,7 cm; v. glavnice 0,4 cm; š. stebła 0,5 cm; deb. stebła 0,5 cm. Teža: 10 g. Datum: 5. 7. 2019.
54. Zakovica. Železo. Ploščata glavica pravokotne oblike s trakastim rahlo ukrivljenim stebлом. Mere: dl. 2,5 cm; š. glavnice 0,9 cm; v. glavnice 0,2 cm; š. stebła 0,7 cm; deb. stebła 0,2 cm. Teža: 3 g. Datum: 4. 7. 2019.
55. Žebelj. Železo. Fragment žeblja s stožčasto glavico okrogle oblike. Steblo ni ohranjeno. Mere: š. glavnice 1,7 cm; v. glavnice 0,3 cm. Teža: 4 g. Datum: 4. 7. 2019.
56. Jagoda. Jantar. Ploščata jagoda nepravilne ovalne oblike. Ovalna je tudi v preseku. Luknjica je prevrtna skozi daljšo os. Mere: dl. 1,8 cm; š. 1,7 cm; deb. 0,6 cm; velikost luknjice 0,2 cm. Teža: 1 g. **PN 17**. Datum: 2. 7. 2019.
57. Zapetnica. Steklo. Fragment zapetnice prozorne modre barve. V preseku je v obliki črke D. Mere: ohr. dl. 1,6 cm; š. 1,1 cm; v. 0,7 cm. Teža: 2 g. **PN 48**. Datum: 4. 7. 2019.
59. Jagoda. Steklo. Okrogla jagoda modre barve z odprtino v sredini. Mere: š. 0,5 cm; v. 0,1 cm; deb. 0,1 cm, velikost odprtine 0,3 cm. Teža: 1 g. **PN 49**. Datum: 4. 7. 2019.
60. Fragment vijčka, izdelan iz drobnozrnate lončarske mase s primesmi kremena in organskih snovi (**LM 10**). Zunanja površina je rumeno rjave barve. Mere: v. 2,8 cm, š. 3 cm; deb. 1,4 cm; velikost odprtine 0,8 cm. Teža: 10 g. Datum: 4. 7. 2019.
61. Fragment ostenja, izdelan iz drobnozrnate lončarske mase s primesmi kremena, apnenca in sljude. Notranja površina je sivo rjave barve, zunanja površina je rjave barve. Okras (motiv okrasa: rebro, razčlenjeno z odtisom prsta) je izdelan v tehniki apliciranja v varianti rebra. Mere: ohr. v. 3,5 cm; ohr. š. 3,2 cm; deb. ost. 0,8 cm. Teža: 12 g. Datum: 5. 7. 2019.
62. Fragment ustja z ostenjem, izdelan iz fino-zrnate lončarske mase s primesmi kremena, apnenca in organskih snovi (**LM 15**). Notranja in zunanja površina sta svetlo rumene barve. Mere: ohr. v. 1,9 cm; ohr. š. 2,2 cm; deb. ost. 0,6 cm. Teža: 5 g. Datum: 4. 7. 2019.
63. Fragment ostenja, izdelan iz fino-zrnate lončarske mase s primesmi kremena, sljude in organskih snovi. Notranja površina je rjavo sive barve, zunanja površina je sivo rjave barve. Mere: ohr. v. 2,9 cm; ohr. š. 3,3 cm; deb. ost. 0,8-1 cm. Teža: 10 g. Datum: 4. 7. 2019.
64. Fragment ustja z ostenjem, izdelan iz drobnozrnate lončarske mase s primesmi kremena, apnenca in sljude (**LM 41**). Notranja in zunanja površina sta temno sive barve. Mere: ohr. v. 1,7 cm; pr. u. 10 cm; deb. ost. 0,5 cm. Teža: 2 g. Datum: 4. 7. 2019.
65. Fragment ustja z ostenjem, izdelan iz fino-zrnate lončarske mase s primesmi kremena, sljude in železovih oksidov (**LM 82**). Notranja in zunanja površina sta rjavo rdeče barve. Mere: ohr. v. 2,7 cm; ohr. š. 5,6 cm; deb. ost. 0,9 cm. Teža: 9 g. Datum: 4. 7. 2019.
66. Fragment ustja z ostenjem, izdelan iz grobo-zrnate lončarske mase s primesmi apnenca in sljude (**LM 54**). Notranja in zunanja površina sta rjavo sive barve. Mere: ohr. v. 2,6 cm; pr. u. 18 cm; deb. ost. 0,4 cm. Teža: 5 g. Datum: 5. 7. 2019.
67. Fragment pokrova, izdelan iz drobnozrnate lončarske mase s primesmi kremena in sljude (**LM 56**). Notranja in zunanja površina sta rumeno sive barve. Mere: ohr. v. 3,6 cm; pr. u. 22 cm; deb. ost. 0,5 cm. Teža: 35 g. Datum: 5. 7. 2019.

- 68.** Fragment ustja z ostenjem, izdelan iz finoizrnatne lončarske mase s primesmi kremena, sljude in železovih oksidov (**LM 65**). Notranja in zunanja površina sta temno sive barve. Na notranji strani so lise črne barve. Mere: ohr. v. 2,3 cm; pr. u. 17 cm; deb. ost. 0,4 cm. Teža: 13 g. Datum: 4. 7. 2019.
- 69.** Fragment dna z ostenjem, izdelan iz finoizrnatne lončarske mase s primesmi sljude (**LM 80**). Notranja in zunanja površina sta rjavo rdeče barve. Na notranji površini so lise glazure, ki tvorijo koncentrične kroge sivo zelene in bele barve. Mere: ohr. v. 2,2 cm; pr. d. 9 cm; deb. ost. 0,4 cm. Teža: 17 g. Datum: 4. 7. 2019.
- 70.** Fragment ustja z ostenjem, izdelan iz drobozrnate lončarske mase s primesmi kremena, apnenca in sljude (**LM 4**). Notranja in zunanja površina sta sivo rjave barve. Mere: ohr. v. 2,6; ohr. š. 2,9 cm; deb. ost. 1,1 cm. Teža: 9 g. Datum: 5. 7. 2019.
- 71.** Fragment ustja z ostenjem, izdelan iz drobozrnate lončarske mase s primesmi sljude (**LM 69**). Notranja in zunanja površina sta svetlo rdeče barve. Na notranji in zunanji površini so lise bele barve. Na notranji strani so sledi glazure zelene barve. Mere: ohr. v. 2 cm; pr. u. 22 cm; deb. ost. 0,4 cm.
- 72.** Fragment ustja z ostenjem, izdelan iz grobozrnate lončarske mase s primesmi apnenca in sljude (**LM 54**). Notranja in zunanja površina sta sivo rjave barve. Mere: ohr. v. 2,4 cm; pr. u. 22 cm; deb. ost. 0,3 cm. Teža: 7 g. Datum: 4. 7. 2019.
- 73.** Fragment ustja z ostenjem, izdelan iz drobozrnate lončarske mase s primesmi kremena, apnenca, sljude in organskih snovi (**LM 17**). Notranja površina je sivo rjave barve, zunanja površina je rdeče rjave barve. Mere: ohr. v. 3,3 cm; pr. u. 22 cm; deb. ost. 0,7 cm. Teža: 8 g. Datum: 5. 7. 2019.
- 74.** Fragment dna z ostenjem, izdelan iz finoizrnatne lončarske mase s primesmi kremena in sljude (**LM 75**). Notranja in zunanja površina sta svetlo rdeče barve. Na notranji površini so lise glazure, ki tvorijo koncentrične kroge bele in rdeče barve. Mere: ohr. v. 1,9 cm; pr. d. 10 cm; deb. ost. 0,3 cm. Teža: 24 g. Datum: 4. 7. 2019.
- 75.** Fragment ustja z ostenjem, izdelan iz grobozrnate lončarske mase s primesmi apnenca in sljude (**LM 54**). Notranja in zunanja površina sta rjavo sive barve. Mere: ohr. v. 2,7 cm; pr. u. 23 cm; deb. ost. 0,4 cm. Teža: 8 g. Datum: 5. 7. 2019.
- 76.** Fragment ročaja, izdelan iz drobozrnate lončarske mase s primesmi sljude (**LM 69**). Notranja in zunanja površina sta svetlo rdeče barve. Na zunanji strani so lise glazure zelene barve. Mere: ohr. v. 6,1 cm; š. 3,1 cm; deb. 1 cm. Teža: 26 g. Datum: 5. 7. 2019.

Sonda 1, SE 1005 (T. 4)

- 77.** Žebelj. Železo. Polkrožna glavica z ukrivljenim trakastim stebлом. Mere: dl. 1,9 cm; š. glavice 1,2 cm; v. glavice 0,5 cm; š. stebła 0,2 cm; deb. stebła 0,2 cm. Teža: 1 g. Datum: 3. 7. 2019.
- 78.** Predmet. Bakrena zlitina. Ploščat predmet v obliki šestkrake zvezde. Zadnja stran predmeta je ravna, na sprednji pa je reliefno upodobljen vzorec trikotnikov. Mere: dl. 2,6 cm; ohr. v. 2,4 cm; deb. 0,2 cm. Teža: 5 g. **PN 42**. Datum: 3. 7. 2019.
- 79.** Žebelj. Železno. Ploščata glavica pravokotnega obrisa z zakrivljenim trakastim stebлом. Mere: dl. 8,8 cm; š. glavice 1,3 cm; v. glavice 0,3 cm; š. stebła 0,3 cm; deb. stebła 0,2 cm. Teža: 6 g. **PN 39**. Datum: 3. 7. 2019.
- 80.** Pihanec. Steklo. Fragment prozornega stekla ima rahlo valoviti površini. Steklo vsebuje zračne mehurčke. Na daljšem robu so vidni sledovi obdelave. Mere: ohr. dl. 3,4 cm; ohr. š. 1,2 cm; deb. 0,3 cm. Teža: 1 g. **PN 62**. Datum: 10. 7. 2019.
- 81.** Pihanec. Steklo. Fragment prozornega stekla ima rahlo valoviti površini. Steklo vsebuje zračne mehurčke. Na daljšem robu so vidni sledovi obdelave. Mere: ohr. dl. 3 cm; š. 1,5 cm; deb. 0,4 cm. Teža: 2 g. **PN 68**. Datum: 3. 7. 2019.
- 82.** Fragment ostenja, izdelan iz grobozrnate lončarske mase s primesmi apnenca in sljude (**LM 54**). Notranja in zunanja površina sta rjavo sive barve. Okras (motiv okrasa: rebro, razčlenjeno z odtisom prsta) je izdelan v tehniki apliciranja v varianti rebra. Mere: ohr. v. 4,2 cm; ohr. š. 4,6 cm; deb. ost. 0,3 cm. Teža: 5 g. Datum: 3. 7. 2019.

Sonda 1, SE 1008 (T. 4)

- 83.** Zakovica. Železo. Ploščata glavica nepravilnega ovalnega obrisa z ravnim trakastim stebлом. Mere: dl. 2 cm; š. glavice 0,6 cm; v. glavice 0,1 cm; š. stebła 0,3 cm; deb. stebła 0,3 cm. Teža: 1 g. Datum: 5. 7. 2019.

Sonda 1, SE 1011 (T. 4)

84. Fragment ustja z ostenjem, izdelan iz finoznate lončarske mase s primesmi kremenca, apnenca in sljude (**LM 1**). Notranja površina je rumeno rjave barve, zunanja površina je rdeče rjave barve. Mere: ohr. v. 3 cm; ohr. š. 5,2 cm; deb. ost. 1,2 cm. Teža: 25 g. Datum: 9. 7. 2019.

85. Fragment svitka, izdelanega iz drobnoznate lončarske mase s primesmi apnenca in sljude (**LM 20**). Zunanja površina je svetlo rdeče barve. Mere: ohr. v. 4,2 cm; ohr. š. 4, 8, cm; ohr. deb. 3,3 cm. Teža: 38 g. Datum: 9. 7. 2019.

86. Fragment ustja z ostenjem, izdelan iz drobnoznate lončarske mase s primesmi kremenca, sljude in železovih oksidov (**LM 16**). Notranja površina je rjavo rumene barve, zunanja površina je rdeče rjave barve. Mere: ohr. v. 2,2 cm; pr. u. 15 cm; deb. ost. 1,4 cm. Teža: 14 g. Datum: 9. 7. 2019.

87. Fragment držaja, izdelan iz drobnoznate lončarske mase s primesmi kremenca, apnenca, sljude in organskih snovi (**LM 11**). Zunanja površina je rjavo sive barve. Okras (motiv okrasa: držaj) je izdelan v tehniki apliciranja v varianti rebra. Mere: ohr. v. 2,5 cm; ohr. š. 3,6 cm; ohr. deb. 1,7 cm. Teža: 10 g. Datum: 9. 7. 2019.

Sonda 1, SE 1013 (T. 4)

88. Žebelj. Železo. Ploščata glavica pravokotnega obrisa z rahlo ukrivljenim trakastim stebлом. Mere: dl. 6,5 cm; š. glavnice 1 cm; v. glavnice 0,2 cm; š. stebela 0,4 cm; deb. stebela 0,3 cm. Teža: 5 g. Datum: 8. 7. 2019.

89. Iгла. Bakrova zlitina. Fragment stožičaste glavnice igle z ohranjenim delom okroglega stebela. Mere: š. 1 cm; ohr. v. 0,9 cm; v. glavnice 0,5 cm, š. stebela 0,4 cm. Teža: 1 g. PN 59. Datum: 8. 7. 2019.

90. Nož. Železo. Rezilo z rahlo izbočenim hrbtom in ukrivljenim rezilom s špičasto konico se na obeh straneh zoži v nastavke za držaj. Zaključek držaja je morda odlomljen. Mere: ohr. dl. 14, 2 cm; dl. rezila 11,1 cm; v. rezila 2,2 cm; š. rezila 0,5 cm; ohr. dl. nastavka 3,1 cm, v. nastavka 1 cm; š. nastavka 0,5 cm. Teža: 34 g. PN 55. Datum: 5. 7. 2019.

91. Fragment ostenja, izdelan iz finoznate lončarske mase s primesmi kremenca, apnenca in sljude (**LM 1**). Notranja površina je rjavo rdeče barve, zunanja površina je siv rjave barve. Okras (motiv okrasa: rebro, razčlenjeno z odtisom prsta) je izdelano v tehniki apliciranja v varianti rebra. Mere: ohr. v. 4,6 cm; ohr. š. 5,8 cm; deb. ost. 2 cm. Teža: 45 g. Datum: 8. 7. 2019.

92. Fragment ostenja, izdelan iz drobnoznate lončarske mase s primesmi kremenca, apnenca, sljude in organskih snovi (**LM 17**). Notranja barva je rdeče rjave barve, zunanja površina je rjavo rdeče barve. Okras (motiv okrasa: rebro, razčlenjeno z odtisom prsta) je izdelano v tehniki apliciranja v varianti rebra). Mere: ohr. v. 2,8 cm; ohr. š. 3,6 cm; deb. ost. 0,8 cm. Teža: 12 g. Datum: 8. 7. 2019.

Sonda 1, SE 1014 (T. 4)

93. Žebelj. Železo. Ploščata glavica nepravilnega obrisa z ravnim trakastim stebлом. Mere: dl. 7,3 cm; š. glavnice 1,2 cm; v. glavnice 0,3 cm; š. stebela 0,4 cm; deb. stebela 0,4 cm. Teža: 6 g. Datum: 8. 7. 2019.

94. Fragment ustja z ostenjem, izdelan iz finoznate lončarske mase s primesmi kremenca, sljude in železovih oksidov (**LM 82**). Notranja površina je rdeče rjave barve, zunanja površina pa sivo rjave barve. Mere: ohr. v. 2,7 cm; pr. u. 17 cm; deb. ost. 0,5 cm. Teža: 16 g. Datum: 8. 7. 2019.

Sonda 1, SE 1015 (T. 4)

95. Fragment ustja z ostenjem, delan iz drobnoznate lončarske mase s primesmi kremenca, apnenca, sljude in organskih snovi (**LM 17**). Notranja in zunanja površina sta rjavo rdeče barve. Lise na notranji strani so sivo rjave barve. Mere: ohr. v. 4,6 cm; ohr. š. 5,4 cm; deb. ost. 1,1 cm. Teža: 42 g. Datum: 9. 7. 2019.

Sonda 1, SE 1016 (T. 4)

96. Fragment ustja z ostenjem, izdelan iz grobnate lončarske mase s primesmi kremenca in sljude (**LM 27**). Notranja in zunanja površina sta temno sive barve. Okras (motiv okrasa: horizontalna črta) je izdelan v tehniki



vrezovanja v varianti kaneliranja. Mere: ohr. v. 2 cm; pr. u. 22 cm; deb. ost. 0,4 cm. Teža: 4 g. Datum: 10. 7. 2019.

Sonda 2, SE 2001 (T. 5)

97. Žebelj. Železo. Polkrožna glavica nepravilnega obrisa s trakastim stebлом, rahlo ukrivljenim pri glavici. Mere: dl. 1,6 cm; š. glavice 1,1 cm; v. glavice 0,3 cm; š. stebła 0,2 cm; deb. stebła 0,2 cm. Teža 1 g. Datum: 9. 7. 2019.

98. Fragment ostenja, izdelan iz finoizrnatne lončarske mase s primesmi kremena, apnenca in organskih snovi. Notranja in zunanja površina sta rumeno rjave barve. Mere: ohr. v. 2,5 cm; pr. u. 10 cm; deb. ost. 0,8 cm. Teža: 14 g. Datum: 11. 7. 2019.

Sonda 2, SE 2002 (T. 5)

99. Predmet. Železo. Tulast nastavek stožičaste oblike s ploščatim delom, štrli na spodnji strani. Mere: ohr. dl. 5,3 cm; ohr. š. 2,5 cm; deb. 0,5 cm, deb. ploščice 0,2 cm. Teža: 9 g. Datum: 11. 7. 2019.

Sonda 2, SE 2003 (T. 5)

100. Fragment ostenja, izdelan iz drobnozrnate lončarske mase s primesmi kremena, apnenca, sljude in organskih snovi (**LM 39**). Notranja in zunanja površina sta rdeče rjave barve. Mere: ohr. v. 2,2 cm; ohr. š. 6,2 cm; deb. ost. 0,6 cm. Teža: 10 g. Datum: 11. 7. 2019.

101. Fragment ustja z ostenjem, izdelan iz drobnozrnate lončarske mase s primesmi kremena, sljude in organskih snovi (**LM 33**). Notranja in zunanja površina sta temno sive barve. Mere: ohr. v. 3,5 cm; pr. u. 14 cm; deb. ost. 0,7 cm. Teža: 15 g. datum: 11. 7. 2019.

102. Fragment ostenja, izdelan iz drobnozrnate lončarske mase s primesmi kremena, sljude in organskih snovi (**LM 33**). Notranja in zunanja površina sta temno sive barve. Mere: ohr. v. 3,5 cm; ohr. š. 6,3 cm; deb. ost. 0,6 cm. Teža: 11 g. Datum: 11. 7. 2019.

103. Fragment ustja z ostenjem, izdelan iz drobnozrnate lončarske mase s primesmi kremena, sljude in organskih snovi (**LM 33**). Notranja in zunanja površina sta rdeče rjave barve. Mere: ohr. v. 1,4 cm; ohr. š. 2,4 cm; deb. ost. 0,5 cm. Teža: 3 g. Datum: 11. 7. 2019.

104. Fragment ostenja, izdelan iz drobnozrnate lončarske mase s primesmi kremena, apnenca, sljude in organskih snovi (**LM 38**). Notranja in zunanja površina je temno sive barve. Okras (motiv okrasa: valovnica) je izdelan v tehniki vrezovanja v varianti kaneliranja. Mere: ohr. v. 4,3 cm; ohr. š. 4 cm; deb. ost. 0,7 cm. Teža: 12 g. Datum: 11. 7. 2019.

105. Fragment ostenja, izdelan iz drobnozrnate lončarske mase s primesmi kremena, apnenca, sljude in organskih snovi (**LM 38**). Notranja in zunanja površina je temno sive barve. Okras (motiv okrasa: valovnica med dvema horizontalnima črtama) je izdelan v tehniki vrezovanja v varianti kaneliranja. Mere: ohr. v. 3,7 cm; ohr. š. 3,5 cm; deb. ost. 0,4 cm. Teža: 7 g. Datum: 11. 7. 2019.

Sonda 2, SE 2011 (T. 5)

106. Fragment ostenja, izdelan iz drobnozrnate lončarske mase s primesmi kremena, sljude in železovih oksidov (**LM 16**). Notranja površina je temno rdeče barve, zunanja površina je rdeče barve. Okras (motiv okrasa: rebro, razčlenjeno z odtisom prsta) je izdelano v tehniki apliciranja v varianti rebra). Mere: ohr. v. 4 cm; ohr. š. 5,7 cm; deb. ost. 1,1 cm. Teža: 30 g. Datum: 12. 7. 2019.

Sonda 2, SE 2012 (T. 5)

107. Igla. Bakrova zlitina. Fragment ravnega okroglega stebła. Mere: ohr. dl. 3,7 cm; š. stebła 0,2 cm; deb. stebła 0,2 cm. Teža: 1 g. **PN 65**. Datum: 12. 7. 2019.

108. Fragment ustja z ostenjem, izdelan iz grobozrnate lončarske mase s primesmi kremena, sljude in organskih snovi (**LM 3**). Notranja površina je temno rjave barve, zunanja površina je rdeče rjave barve. Mere: ohr. v. 2,4 cm; pr. u. 9 cm, deb. ost. 0,8 cm. Teža: 6 g. Datum: 12. 7. 2019.

109. Fragment ostenja, izdelan iz grobozrnate lončarske mase s primesmi kremena, sljude in organskih snovi (**LM 3**). Notranja in zunanja površina sta rjavo rdeče barve. Na notranji in zunanji strani so lise temno rjave barve. Okras (motiv okrasa: držaj) je izdelan v tehniki apliciranja v varianti ročno oblikovane aplikle. Mere: ohr. v. 2,7 cm; ohr. š. 3,8 cm. Teža: 13 g. Datum: 12. 7. 2019.

110. Fragment ročaja, izdelan iz fino zrnate lončarske mase s primesmi kremena, sljude in organskih snovi (**LM 2**). Notranja in zunanja površina sta sivo rjave barve. Mere: ohr. v. 9 cm; ohr. š. 2,5 cm; deb. 1,3 cm. Teža: 5 g. Datum: 12. 7. 2019.

111. Fragment ostenja, izdelan iz drobnozrnate lončarske mase s primesmi kremena, apnenca in sljude (**LM 4**). Notranja površina je temno rjave barve, zunanja površina je sivo rjave barve. Okras (motiv okrasa: držaj) je izdelan v tehniki apliciranja v varianti ročno oblikovane aplikle. Mere: ohr. v. 3,3 cm; ohr. š. 3,5 cm; deb. ost. 1 cm. Teža: 15 g. Datum: 12. 7. 2019.

112. Fragment ostenja, izdelan iz fino zrnate lončarske mase s primesmi kremena, sljude in organskih snovi (**LM 2**). Notranja površina je rjavo sive barve, zunanja površina je rjavo rdeče barve. Okras (motiv okrasa: rebro, razčlenjeno z odtisom prsta) je izdelan v tehniki apliciranja v varianti rebra. Mere: ohr. v. 2,5 cm; ohr. š. 2 cm; deb. ost. 0,5 cm. Teža: 4 g. Datum: 12. 7. 2019.

113. Fragment ustja z ostenjem, izdelan iz drobnozrnate lončarske mase s primesmi kremena, sljude in železovih oksidov (**LM 6**). Notranja in zunanja površina sta temno sive barve. Mere: ohr. v. 2,7 cm; pr. u. 17 cm; deb. ost. 1 cm. Teža: 19 g. Datum: 12. 7. 2019.

114. Fragment ustja z ostenjem, izdelan iz drobnozrnate lončarske mase s primesmi apnenca in sljude (**LM 1**). Notranja površina je rjavo rumene barve, zunanja površina je sivo rumene barve. Mere: ohr. v. 3,2 cm; pr. u. 18 cm; deb. ost. 0,7 cm. Teža: 14 g. Datum: 12. 7. 2019.

115. Fragment ročaja, izdelan iz drobnozrnate lončarske mase s primesmi kremena in sljude (**LM 7**). Notranja in zunanja površina sta rjavo rdeče barve. Mere: ohr. v. 2,5 cm; š. 2,1 cm; deb. 1,3 cm. Teža: 8 g. datum: 12. 7. 2019.

116. Fragment dna z ostenjem, izdelan iz drobnozrnate lončarske mase s primesmi kremena, apnenca, sljude in organskih snovi (**LM 17**). Notranja in zunanja površina sta rjavo rdeče barve. Mere: ohr. v. 2,9 cm; pr. d. 13 cm; deb. ost. 1 cm. Teža: 77 g. Datum: 12. 7. 2019.

117. Fragment ustja z ostenjem, izdelan iz drobnozrnate lončarske mase s primesmi kremena, sljude in železovih oksidov (**LM 6**). Notranja in zunanja površina sta temno sive barve. Mere: ohr. v. 2,2 cm; ohr. š. 2,6 cm; deb. ost. 0,5 cm. Teža: 4 g. Datum: 12. 7. 2019.

Deponija (T. 5)

118. Srebro. Novec. Antoninijan, izdan v imenu cesarja Galiena (*Publius Licinius Egnatius Gallienus Augustus*) v obdobju kovanja 263–267. Kovnica Siscija. Novec je bil odkrit med sejanjem **SE 1001** ali **SE 1008**, kv. 3. Teža: 3 g. **PN 66**. Datum 4. 7. 2019.

119. Fragment ustja z ostenjem, izdelan iz drobnozrnate lončarske mase s primesmi kremena, sljude in železovih oksidov (**LM 16**). Zunanja in notranja površina sta rjavo rdeče barve. Lise na zunanji in notranji površini so sivo rjave barve. Mere: ohr. v. 3,3 cm; ohr. š. 4,4 cm; deb. ost. 1,2 cm. Teža: 19 g. Datum: 9. 7. 2019.

120. Fragment ustja z ostenjem, izdelan iz grobozrnate lončarske mase s primesmi kremena in sljude (**LM 29**). Notranja in zunanja površina sta rjavo rdeče barve. Lise na notranji in zunanji površini so svetlo sive barve. Okras (motiv okrasa: dvojna horizontalna črta) je izdelan v tehniki vrezovanja v varianti kaneliranja. Mere: ohr. v. 2,3 cm; pr. u. 14 cm, deb. ost. 0,4 cm. Teža: 5 g. Datum: 12. 7. 2019.



Katalog lončarskih mas

Kode lončarskih mas sestavljajo podatki o neplastičnih vključkih, tehnologiji žganja ter trdoti. Barvo smo določili le risanim kosom. Kot referenčno delo pri določanju lastnosti keramike je bilo uporabljeno delo Keramika (Horvat 1999). Koda neplastičnih vključkov je sestavljena iz podatkov o materialu vključka (A51), njegove velikosti (A51) in pogostnosti (A51).

Tipi vključkov:

A – kremen, **B** – apnenec, **C** – sljuda, **D** – organske snovi, **E** – železovi oksidi, **G** – zdrobljena keramika in **H** – grafit.

Velikosti vključkov:

5 – (zelo groba, nad 3 mm), **4** – (groba, 2–3 mm),
3 – (drobna, 0,5–2 mm), **2** – (fina, 0,2–0,5 mm) in
1 – (zelo fina, do 0,2 mm).

Pogostnost vključkov:

1 – (do 5 zrn/cm²), **2** – (med 5 in 10 zrn/cm²) in **3** – (nad 10 zrn/cm²).

Zrnavost mase:

1 – finoizrnat, **2** – drobnoizrnat in **3** – groboizrnat.

Način žganja:

1 – oksidacijsko, **2** – redukcijsko, **3** – stihijsko, **4** – oksidacijsko, v končni fazi dimljenje, **5** – redukcijsko v končni fazi oksidacijsko, **6** – oksidacijsko, v končni fazi dimljenje (malo časa), **7** – nepopolno oksidacijsko, **8** – oksidacijsko v končni fazi redukcijsko, **9** – redukcija-oksidacija- redukcija.

Trdota:

1 mehko (1. in 2. stopnja po Mohsu)
2 trdo (3. in 4. stopnja po Mohsu)
3 zelo trdo (5. in 6. stopnja po Mohsu)
4 izredno trda (7., 8. in 9. stopnja po Mohsu)

Opisi lončarskih mas

LM 1. Finoizrnat lončarska masa s primesmi kremen, apnenca in sljude; nepopolno oksidacijsko žganje; trdota 2; (**A51; A41; A31; A21; B11; C11; 7; 2**).

LM 2. Finoizrnat lončarska masa s primesmi kremen, sljude in organskih snovi; nepopolno oksidacijsko žganje; trdota 2; (**A31; A21; A11; C11; D21; 7; 2**).

LM 3. Groboizrnat lončarska masa s primesmi kremen, sljude in organskih snovi; nepopolno oksidacijsko žganje; trdota 2; (**A13; C11; D12; 7; 2**).

LM 4. Drobnoizrnat lončarska masa s primesmi kremen, apnenca in sljude; oksidacijsko žganje, v končni fazi dimljenje; trdota 2; (**A31; A22; B11; C11; 6; 2**).

LM 5. Groboizrnat lončarska masa s primesmi apnenca; oksidacijsko žganje; trdota 1; (**B41; B32; B13; 1; 1**).

LM 6. Drobnoizrnat lončarska masa s primesmi kremen, sljude in železovih oksidov; redukcijsko žganje; trdota 2; (**A11; B11; C12; E31; 2; 2**).

LM 7. Drobnoizrnat lončarska masa s primesmi kremen in sljude; nepopolno oksidacijsko žganje; trdota 2; (**A51; A41; A31; A22; C11; 7; 2**).

LM 8. Drobnoizrnat lončarska masa s primesmi kremen in organskih snovi; nepopolno oksidacijsko žganje; trdota 2; (**A11; D51; D41; D32; D22; 7; 2**).



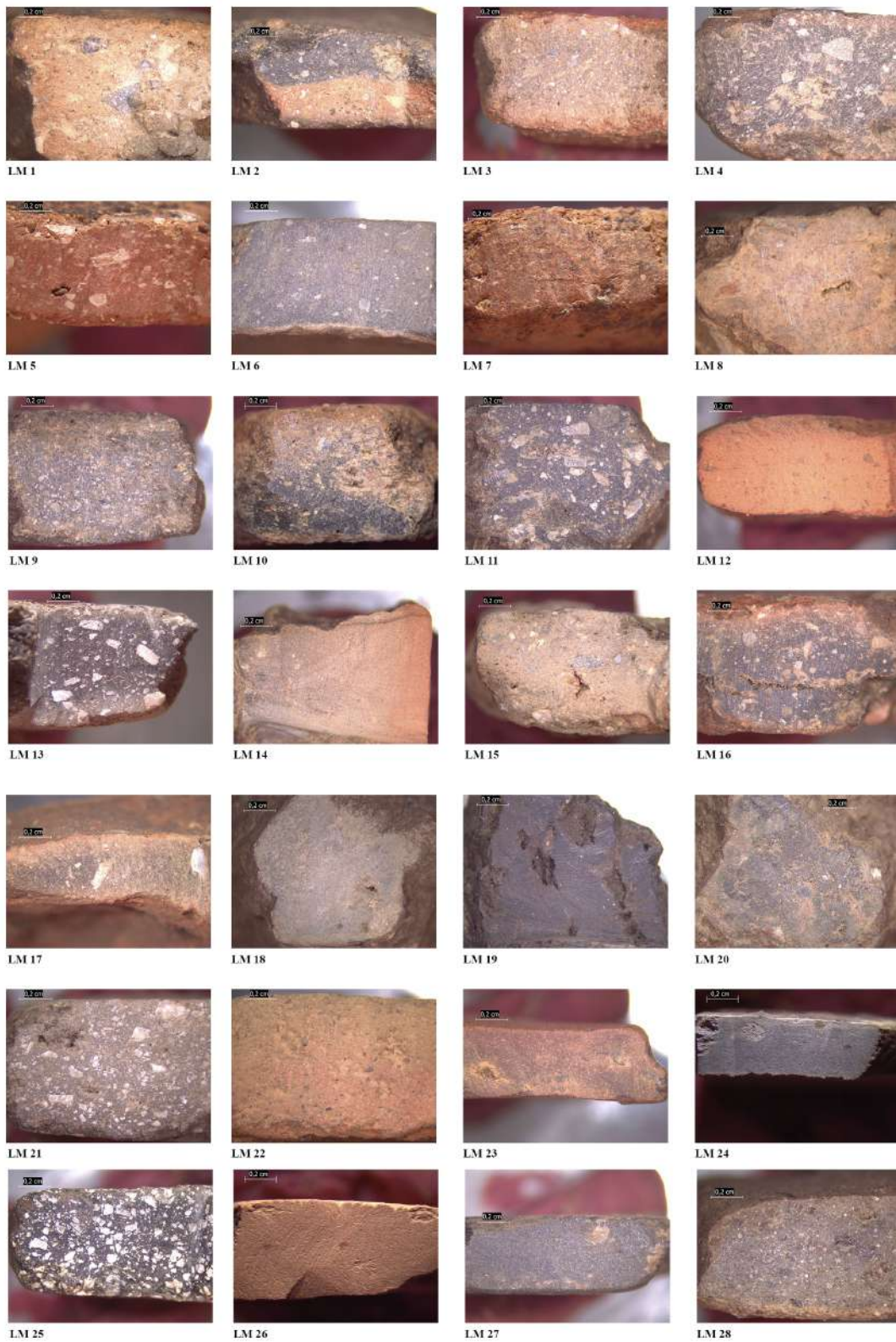
- LM 9.** Drobnozrnata lončarska masa s primesmi kremenca, sljude in organskih snovi; nepopolno oksidacijsko žganje; trdota 2; (**A21; C11; D22; 7; 2**).
- LM 10.** Drobnozrnata lončarska masa s primesmi kremenca in organskih snovi; oksidacijsko žganje, v končni fazi dimljenje; trdota 2; (**A31; A21; C11; D41; D32; D21; 6; 2**).
- LM 11.** Drobnozrnata lončarska masa s primesmi kremenca, apnenca, sljude in organskih snovi; redukcijsko žganje; trdota 2; (**A31; A21; C11; D41; D32; D21; 6; 2**).
- LM 12.** Finozrnata lončarska masa s primesmi kremenca in sljude; oksidacijsko žganje; trdota 1; (**A21; C11; 1; 1**).
- LM 13.** Grobozrnata lončarska masa s primesmi kremenca, apnenca, sljude in organskih snovi; nepopolno oksidacijsko žganje; trdota 1; (**A32; A22; B22; B13; C11; D21; 7; 1**).
- LM 14.** Drobnozrnata lončarska masa s primesmi kremenca in sljude; nepopolno oksidacijsko žganje; trdota 2; (**A51; C12; 7; 2**).
- LM 15.** Finozrnata lončarska masa s primesmi kremenca, apnenca in organskih snovi; nepopolno oksidacijsko žganje; trdota 1; (**A31; A21; B31; B21; D21; 7; 1**).
- LM 16.** Drobnozrnata lončarska masa s primesmi kremenca, sljude in železovih oksidov; redukcijsko-oxidacijsko žganje; trdota 2; (**A51; A32; C11; E11; 5; 2**).
- LM 17.** Drobnozrnata lončarska masa s primesmi kremenca, apnenca, sljude in organskih snovi; nepopolno oksidacijsko žganje; trdota 2; (**A41; A12; B12; C11; D11; 7; 2**).
- LM 18.** Drobnozrnata lončarska masa s primesmi kremenca, sljude in organskih snovi; oksidacijsko žganje, v končni fazi dimljenje; trdota 2; (**A11; C12; D21; 6; 2**).
- LM 19.** Finozrnata lončarska masa s primesmi kremenca, sljude in organskih snovi; redukcijsko žganje; trdota 2; (**A11; C11; D21; 2; 2**).
- LM 20.** Drobnozrnata lončarska masa s primesmi apnenca in sljude; stihijsko žganje; trdota 1; (**B41; B11; C12; 3; 1**).
- LM 21.** Drobnozrnata lončarska masa s primesmi kremenca, apnenca in sljude; stihijsko žganje; trdota 2; (**A41; A32; A22; A11; B32; B21; C11; 3; 2**).
- LM 22.** Finozrnata lončarska masa s primesmi kremenca, sljude in železovih oksidov; nepopolno oksidacijsko žganje; trdota 2; (**A21; A11; C11; E31; 7; 2**).
- LM 23.** Drobnozrnata lončarska masa s primesmi kremenca in sljude; nepopolno oksidacijsko žganje; trdota 2; (**A11; C12; 7; 2**).
- LM 24.** Finozrnata lončarska masa s primesmi kremenca, sljude in železovih oksidov; redukcijsko, v končni fazi oksidacijsko žganje; trdota 2; (**A31; C11; E11; 5; 2**).
- LM 25.** Grobozrnata lončarska masa s primesmi kremenca in apnenca; stihijsko žganje; trdota 2; (**A21; B33; B23; B12; 3; 2**).
- LM 26.** Finozrnata lončarska masa s primesmi sljude in železovih oksidov; oksidacijsko žganje; trdota 2; (**C11; E11; 1; 2**).
- LM 27.** Grobozrnata lončarska masa s primesmi kremenca in sljude; redukcijsko žganje; trdota 3; (**A11; C13; 2; 3**).
- LM 28.** Finozrnata lončarska masa s primesmi kremenca, sljude in organskih snovi; nepopolno oksidacijsko žganje; trdota 2; (**A21; C11; D31; 7; 2**).
- LM 29.** Grobozrnata lončarska masa s primesmi kremenca in sljude; nepopolno oksidacijsko žganje; trdota 2; (**A11; C13; 7; 2**).
- LM 30.** Drobnozrnata lončarska masa s primesmi kremenca in sljude; oksidacijsko žganje, v končni fazi dimljenje ; trdota 2; (**A21; C22; C12; 6; 2**).
- LM 31.** Drobnozrnata lončarska masa s primesmi kremenca, apnenca, sljude in organskih snovi; redukcijsko žganje; trdota 2; (**A31; A21; B31; B22; B12; C12; D21; 2; 2**).
- LM 32.** Drobnozrnata lončarska masa s primesmi kremenca, apnenca, sljude, organskih snovi in železovih oksidov; nepopolno oksidacijsko žganje; trdota 2; (**A32; A21; B31; B22; B12; C12; D32; D22; E21; 7; 2**).
- LM 33.** Drobnozrnata lončarska masa s primesmi kremenca, sljude in organskih snovi; nepopolno oksidacijsko žganje; trdota 2; (**A51; A41; A31; A21; C12; D21; 7; 2**).
- LM 34.** Drobnozrnata lončarska masa s primesmi kremenca, apnenca in sljude; redukcijsko, v končni fazi oksidacijsko žganje; trdota 2; (**A31; A21; A11; B12; C11; 5; 2**).
- LM 35.** Grobozrnata lončarska masa s primesmi kremenca in sljude; redukcijsko žganje; trdota 2; (**A21; A13, C11; 2; 2**).
- LM 36.** Drobnozrnata lončarska masa s primesmi kremenca, apnenca in sljude; nepopolno oksidacijsko žganje; trdota 2; (**A31; A21; B12; C11; 7; 2**).
- LM 37.** Drobnozrnata lončarska masa s primesmi apnenca, sljude in organskih snovi; nepopolno oksidacijsko žganje; trdota 2; (**B21; C11; D22; 7; 2**).
- LM 38.** Drobnozrnata lončarska masa s primesmi kremenca, apnenca, sljude in organskih snovi; nepopolno oksidacijsko žganje; trdota 2; (**A32; A11; B21; B12; C21; D41; D31; D22; 7; 2**).



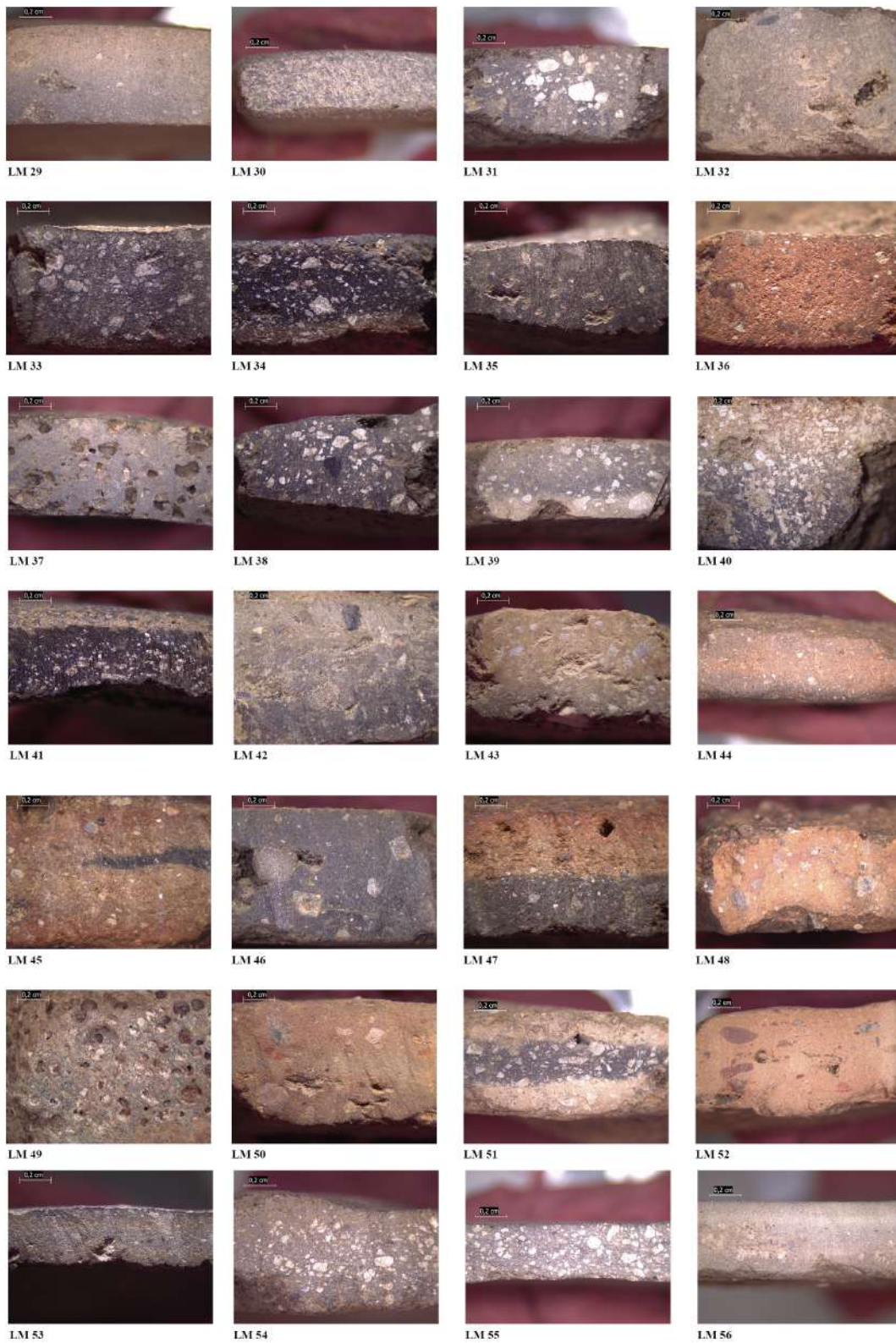
- LM 39.** Drobnozrnata lončarska masa s primesmi kremenca, apnenca, sljude in organskih snovi; nepopolno oksidacijsko žganje; trdota 2; (**A21; B32; B22; B21; C11; D22; 7; 2**).
- LM 40.** Grobozrnata lončarska masa s primesmi kremenca, apnenca in sljude; nepopolno oksidacijsko žganje; trdota 2; (**A21; B23; C11; 7; 2**).
- LM 41.** Drobnozrnata lončarska masa s primesmi kremenca, apnenca in sljude; redukcijsko žganje; trdota 4; (**A31; A11; B22; B12; C11; 2; 4**).
- LM 42.** SE 0013. Drobnozrnata lončarska masa s primesmi kremenca in sljude; nepopolno oksidacijsko žganje; trdota 2; (**A51; A22; C11; 7; 2**).
- LM 43.** Drobnozrnata lončarska masa s primesmi kremenca, apnenca in sljude; nepopolno oksidacijsko žganje; trdota 3; (**A32; A11; B12; C11; 7; 3**).
- LM 44.** Drobnozrnata lončarska masa s primesmi kremenca in sljude; oksidacijsko žganje, v končni fazi dimljenje; trdota 2; (**A12; C11; 4; 2**).
- LM 45.** Finozrnata lončarska masa s primesmi kremenca, apnenca, sljude in organskih snovi; nepopolno oksidacijsko žganje; trdota 2; (**A31; A11; B21; B11; C11; D31; 7; 2**).
- LM 46.** Drobnozrnata lončarska masa s primesmi kremenca in sljude; nepopolno oksidacijsko žganje; trdota 2; (**A31; A11; B21; B11; C11; D31; 7; 2**).
- LM 47.** Drobnozrnata lončarska masa s primesmi kremenca in organskih snovi; nepopolno oksidacijsko žganje; trdota 2; (**A31; A12; D41; D31; 7; 2**).
- LM 48.** Drobnozrnata lončarska masa s primesmi kremenca in sljude; nepopolno oksidacijsko žganje; trdota 2; (**A41; A31; A22; C11; 7; 2**).
- LM 49.** Grobozrnata lončarska masa s primesmi apnenca in organskih snovi; nepopolno oksidacijsko žganje; trdota 2; (**B22; B12; D41; D32; D23; 7; 2**).
- LM 50.** Drobnozrnata lončarska masa s primesmi kremenca, sljude in železovih oksidov; nepopolno oksidacijsko žganje; trdota 2; (**A51; A31; A21; C12; E21; 7; 2**).
- LM 51.** Grobozrnata lončarska masa s primesmi kremenca, apnenca in sljude; redukcijsko, v končni fazi oksidacijsko žganje; trdota 2; (**A41; A32; A22; B13; C11; 5; 2**).
- LM 52.** Drobnozrnata lončarska masa s primesmi kremenca, sljude in železovih oksidov; oksidacijsko žganje; trdota 2; (**A21; C12; E21; 1; 2**).
- LM 53.** Finozrnata lončarska masa s primesmi kremenca, sljude in železovih oksidov; redukcijsko-oksidacijsko-redukcijo žganje; trdota 2; (**A21; C12; E21; 1; 2**).
- LM 54.** Grobozrnata lončarska masa s primesmi apnenca in sljude; nepopolno oksidacijsko žganje; trdota 2; (**B23; B12; C21; 7; 2**).
- LM 55.** Drobnozrnata lončarska masa s primesmi kremenca, apnenca in sljude; oksidacijsko žganje, v končni fazi dimljenje; trdota 2; (**A31; A21; B22; B12; C11; 6; 2**).
- LM 56.** Drobnozrnata lončarska masa s primesmi kremenca in sljude; nepopolno oksidacijsko žganje; trdota 2; (**A31; A21; C12; 7; 2**).
- LM 57.** Finozrnata lončarska masa s primesmi kremenca, sljude in železovih oksidov; nepopolno oksidacijsko žganje; trdota 2; (**A21; C11; E21; 7; 2**).
- LM 58.** Drobnozrnata lončarska masa s primesmi kremenca, apnenca in sljude; nepopolno oksidacijsko žganje; trdota 2; (**A31; A21; B22; B12; C11; 7; 2**).
- LM 59.** Drobnozrnata lončarska masa s primesmi kremenca in sljude; redukcijsko, v končni fazi oksidacijsko žganje; trdota 2; (**A31; A21; B22; B12; C11; 7; 2**).
- LM 60.** Drobnozrnata lončarska masa s primesmi kremenca, apnenca, sljude in železovih oksidov; oksidacijsko žganje, v končni fazi dimljenje; trdota 2; (**A21; B31; C11; E12; 6; 2**).
- LM 61.** Drobnozrnata lončarska masa s primesmi kremenca, apnenca, sljude in organskih snovi; oksidacijsko žganje; trdota 2; (**A31; A22; B12; C12; D31; D21; 1; 2**).
- LM 62.** Drobnozrnata lončarska masa s primesmi kremenca in sljude; nepopolno oksidacijsko žganje; trdota 2; (**A12; C11; 7; 2**).
- LM 63.** Drobnozrnata lončarska masa s primesmi apnenca in organskih snovi; nepopolno oksidacijsko žganje; trdota 1; (**B31; B12; D32; D22; 7; 1**).
- LM 64.** Drobnozrnata lončarska masa s primesmi kremenca, sljude, organskih snovi in zdrobljene keramike; nepopolno oksidacijsko žganje; trdota 2; (**A42; A31; A22; C11; D21; G31; 7; 2**).
- LM 65.** Finozrnata lončarska masa s primesmi kremenca, sljude in železovih oksidov; oksidacijsko žganje, v končni fazi dimljenje; trdota 2; (**A21; C11; E21; 6; 2**).
- LM 66.** Finozrnata lončarska masa s primesmi kremenca in sljude. Žganje: nepopolno oksidacijsko žganje; trdota 2; (**A31; C11; 7; 2**).



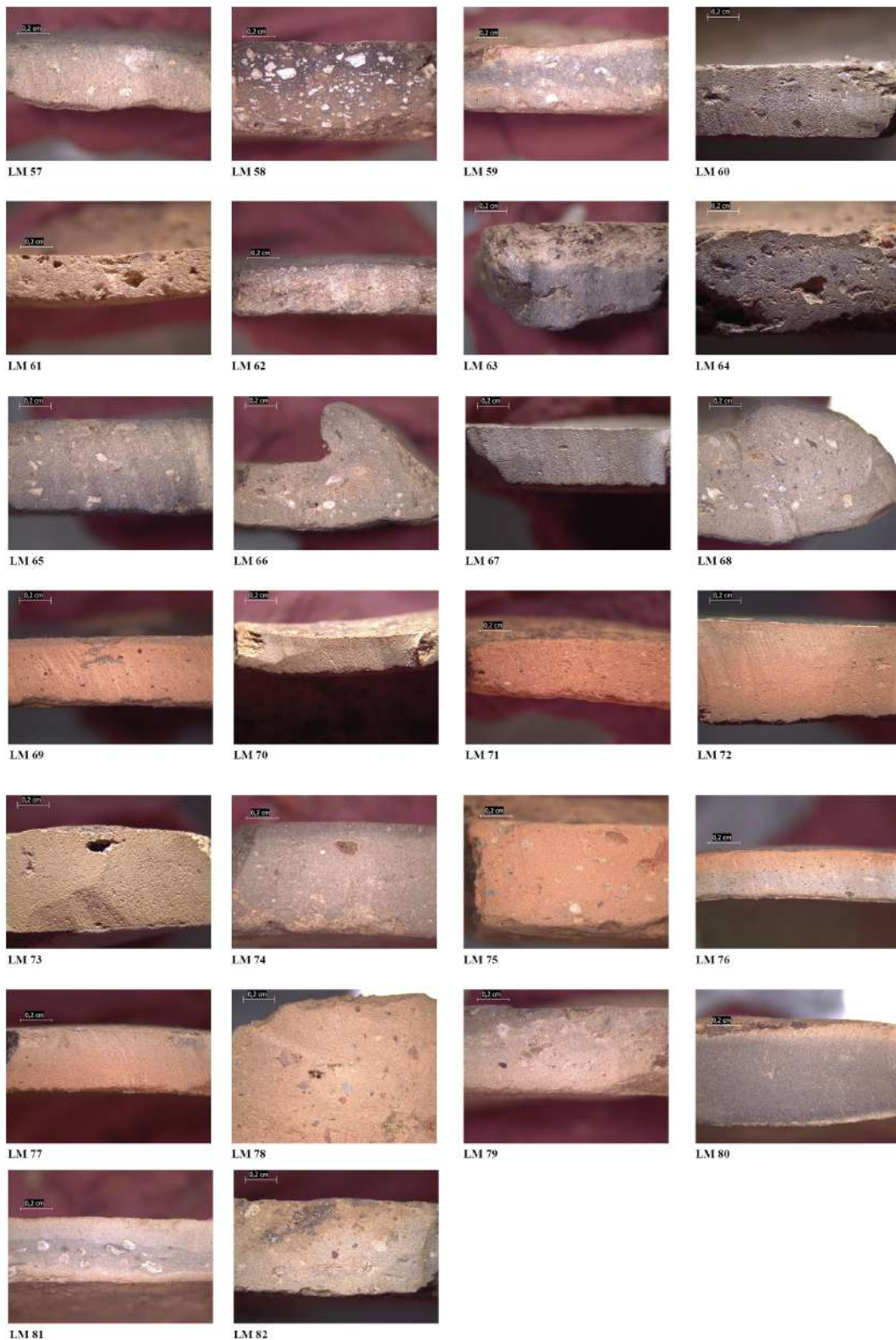
- LM 67.** Finozrnata lončarska masa s primesmi kremena in sljude; nepopolno oksidacijsko žganje; trdota 2; (**A21; C11; 7; 2**).
- LM 68.** Zmerna lončarska masa s primesmi kremena, sljude in grafita; nepopolno oksidacijsko žganje; trdota 2; (**A31; A21; A12; C12; H11; 7; 2**).
- LM 69.** Drobnozrnata lončarska masa s primesmi sljude; oksidacijsko žganje; trdota 2; (**C12; 1; 2**).
- LM 70.** Finozrnata lončarska masa s primesmi sljude in železovih oksidov; nepopolno oksidacijsko žganje; trdota 2; (**C11; E21; 7; 2**).
- LM 71.** Drobnozrnata lončarska masa s primesjo kremena; oksidacijsko žganje; trdota 1; (**C11; E21; 7; 2**).
- LM 72.** Finozrnata lončarska masa s primesmi kremena in organskih snovi; nepopolno oksidacijsko žganje; trdota 2; (**A11; D41; D21; 7; 2**).
- LM 73.** Finozrnata lončarska masa s primesmi organskih snovi; oksidacijsko žganje; trdota 4; (**D21; D11; 1; 4**).
- LM 74.** Finozrnata lončarska masa s primesmi kremena in sljude; oksidacijsko žganje, v končni fazi dimljenje; trdota 2; (**A11; C11; 6; 2**).
- LM 75.** Finozrnata lončarska masa s primesmi kremena in sljude; oksidacijsko žganje; trdota 1; (**A31; A21; C11; 1; 1**).
- LM 76.** Finozrnata lončarska masa s primesmi kremena in sljude; nepopolno oksidacijsko žganje; trdota 2; (**A11; C11; 7; 2**).
- LM 77.** Finozrnata lončarska masa s primesmi sljude in organskih snovi; oksidacijsko žganje; trdota 2; (**C11; D21; 7; 2**).
- LM 78.** Finozrnata lončarska masa s primesmi kremena, sljude in organskih snovi; oksidacijsko žganje; trdota 2; (**A41; A21; C11; D21; 1; 2**).
- LM 79.** Drobnozrnata lončarska masa s primesmi kremena in sljude; nepopolno oksidacijsko žganje; trdota 2; (**A31; A22; C11; 7; 2**).
- LM 80.** Finozrnata lončarska masa s primesmi sljude; nepopolno oksidacijsko žganje; trdota 1; (**C11; 7; 1**).
- LM 81.** Finozrnata lončarska masa s primesmi kremena in sljude; redukcijsko, v končni fazi oksidacijsko žganje; trdota 1; (**A31; A21; C11; 5; 1**).



Slika 7.1: Lončarske mase. LM 1–LM 28 (foto: D. Kožuh)



Slika 7.2: Lončarske mase. LM 29–LM 56 (foto: D. Kožuh)



Slika 7.3: Lončarske mase. LM 57–LM 82 (foto: D. Kožuh)

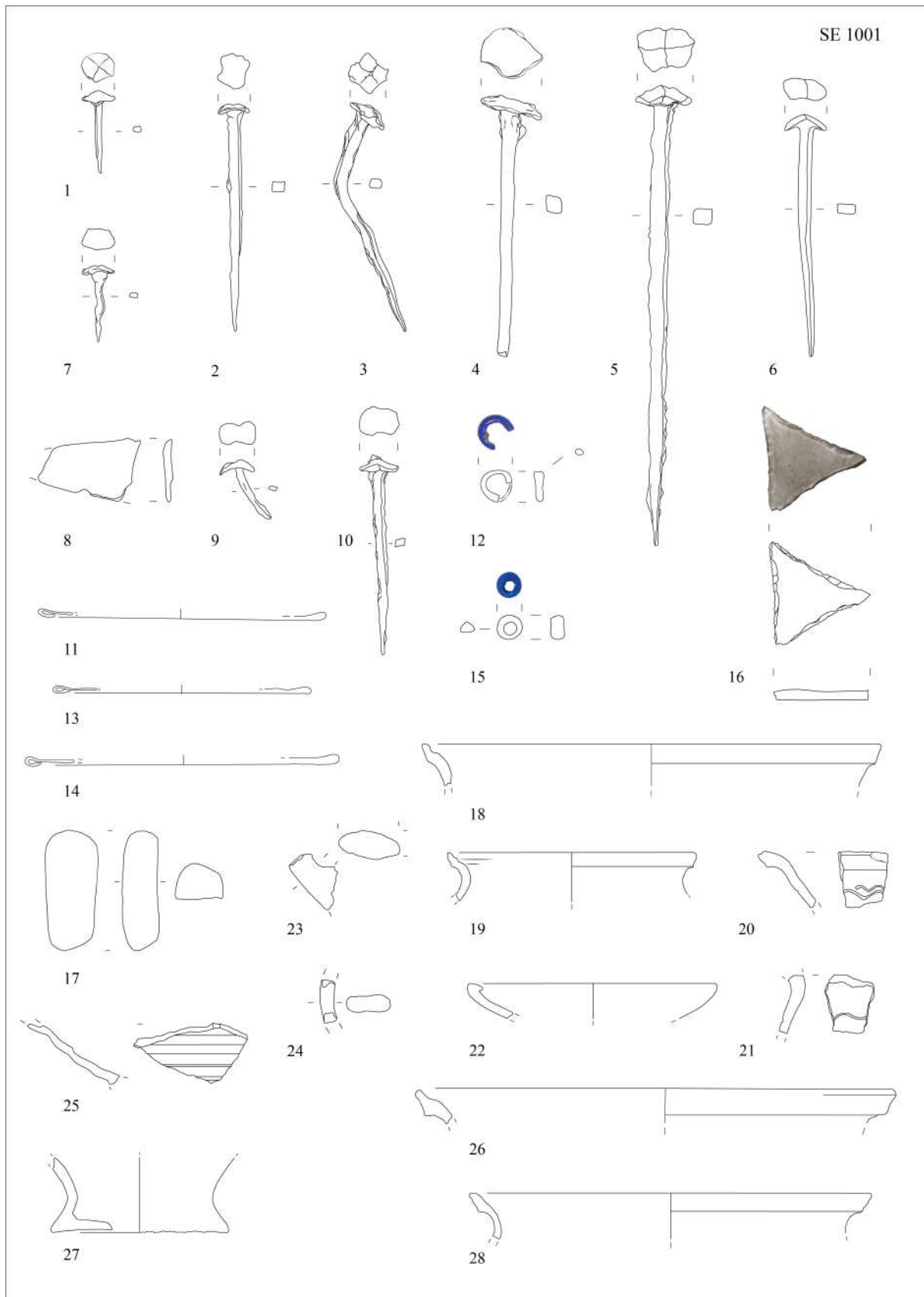


Tabla 1: Sondra 1 - SE 0001. 1–10 kovina; 11–16 steklo; 17 kamen; ostalo keramika. M. 1–11, 13–14, 16 = 1 : 2; 12, 15 = 1 : 1; ostalo 1 : 3 (risba: P. Jendrašič; foto in izdelava: L. Škerjanec)

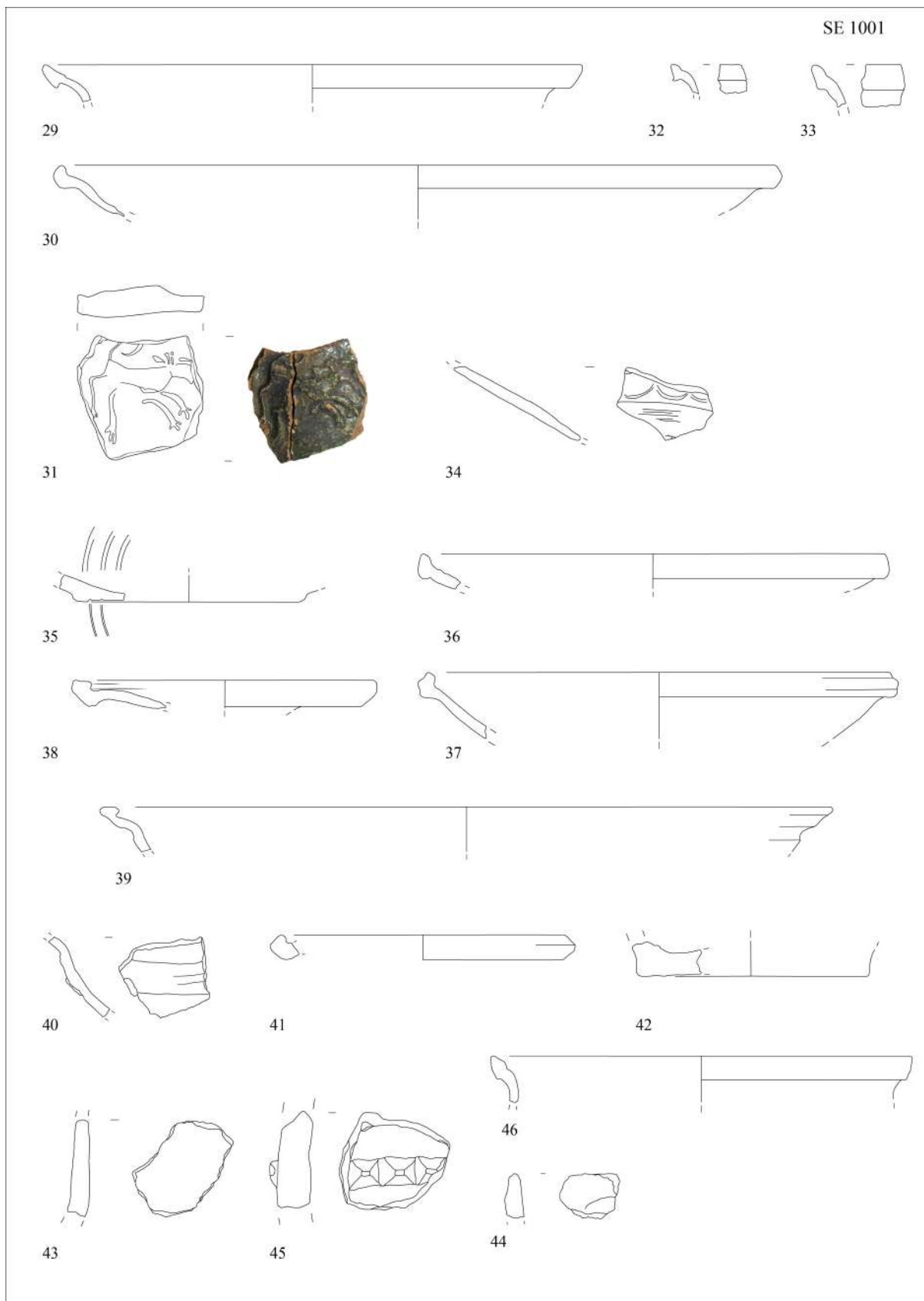


Tabla 2: Sonda 1 - SE 0001. Vse keramika. M. 31, 45 = 1 : 2; ostalo 1 : 3 (risba: Petra Jendrašić; foto in izdelava: L. Škerjanec)

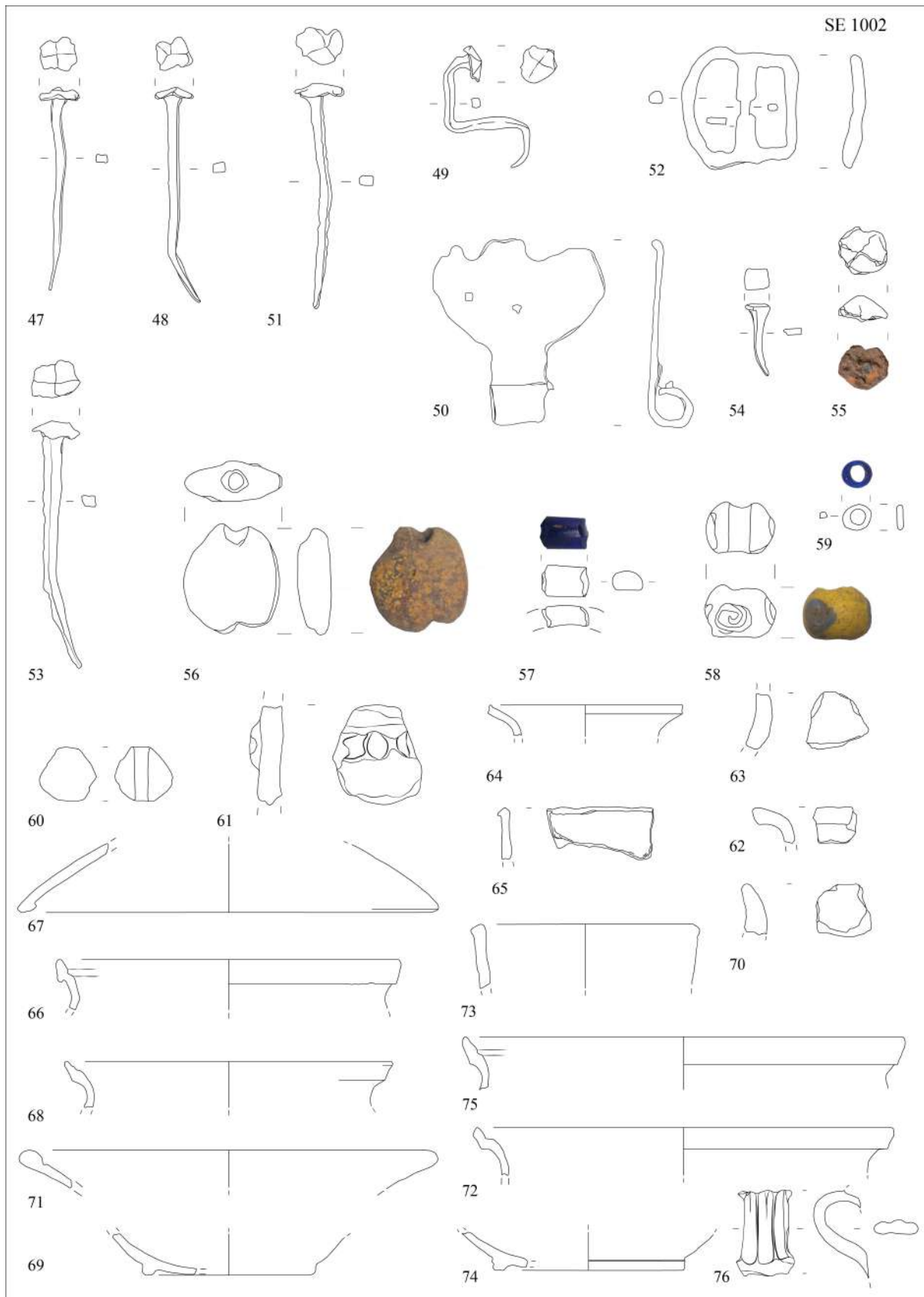


Tabla 3: Sonda 1 - SE 0002. 47–55 kovina; 56 jantar; 57–59 steklo; ostalo keramika. M. 47–55, 57, 61 = 1 : 2; 56, 58–59 = 1 : 1; 76 = 1 : 4; ostalo 1 : 3 (risba: Petra Jendrašič; foto in izdelava: L. Škerjanec)

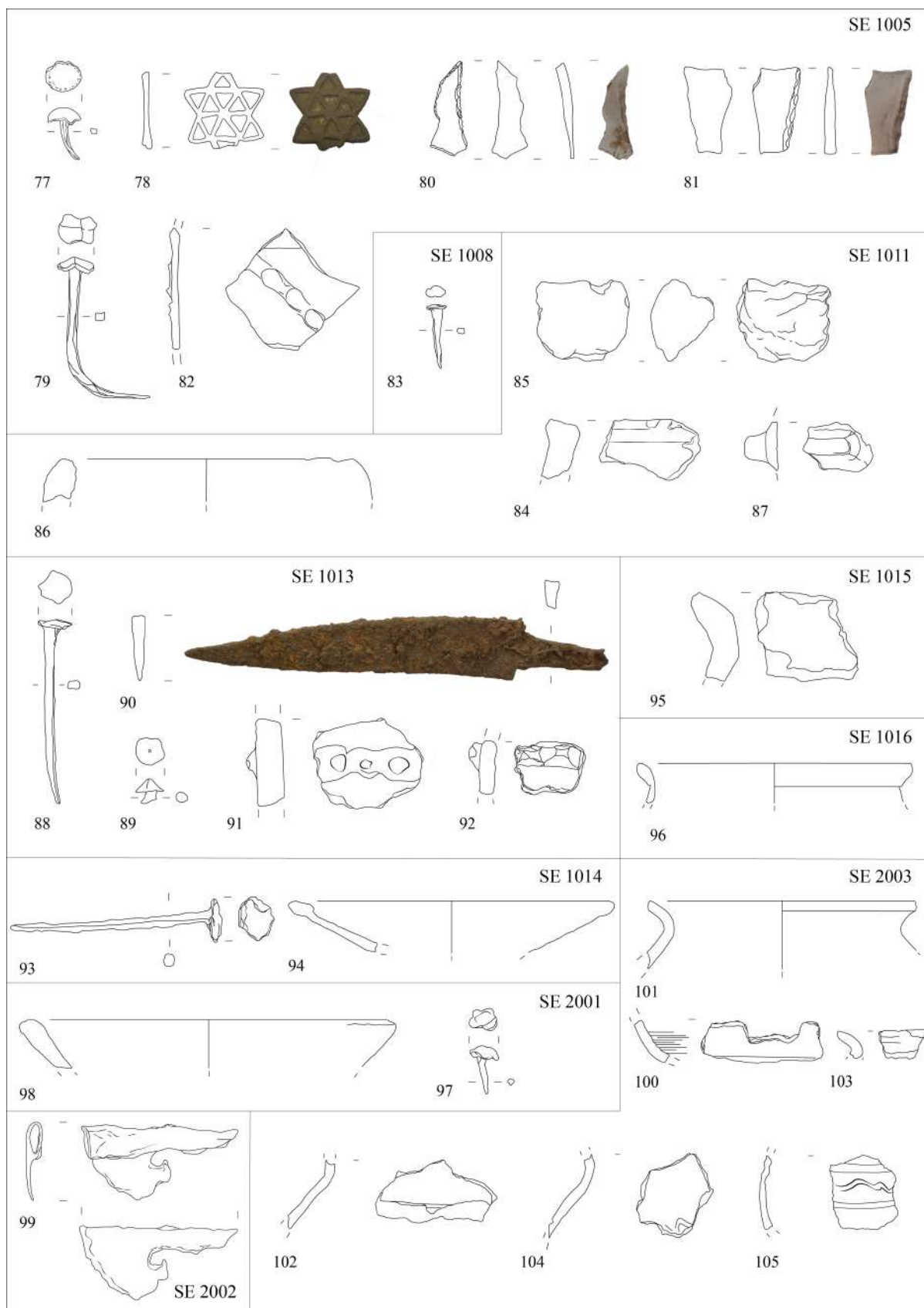


Tabla 4: Sonda 1 - SE 0005, SE 0008, SE 0011, SE 0013–2016; Sonda 2 - SE 2001–2003. 77–79, 83, 88–90, 93, 97, 99 kovina; 80–81 steklo; ostalo keramika. M. 77–79, 82–83, 88–90, 93, 97, 99 = 1 : 2; ostalo 1 : 3 3 (risba: Petra Jendrašič; foto in izdelava: L. Škerjanec)

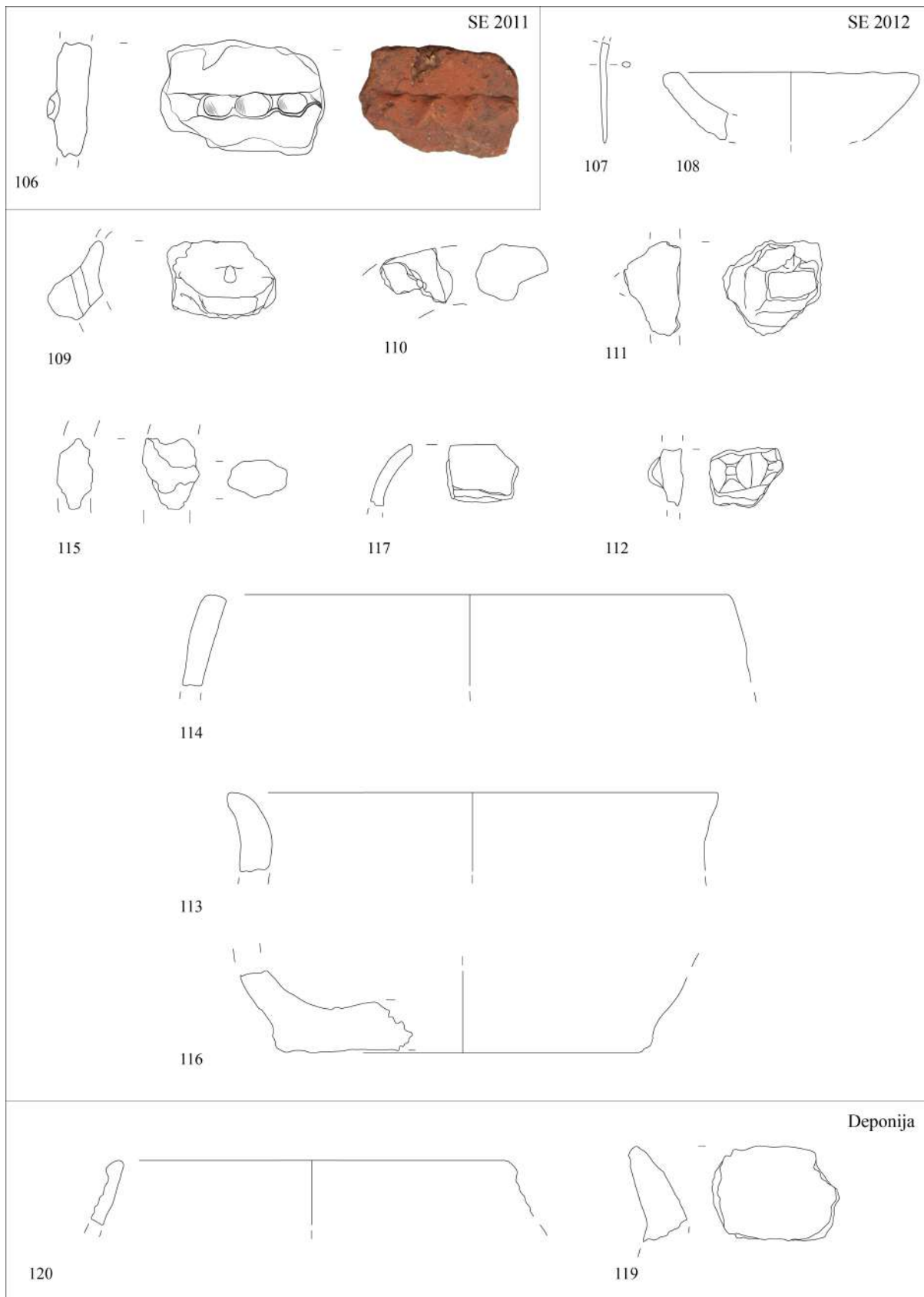


Tabla 5: Sonda 2 - SE 2011–2012. 107 kovina; ostalo keramika. M. 1 : 2 (risba: Petra Jendrašič; foto in izdelava: L. Škerjanec)

Dodatek

Preliminarno poročilo o živalskih ostankih z arheološkega najdišča na zahodnem vrhu Grajskega hriba na Bledu (izkopavanja leta 2019)

Borut Toškan

Uvod

Zbir živalskih ostankov z najdišča na zahodni vzpetini Grajskega hriba na Bledu vključuje 588 primerkov, izmed katerih jih je bilo mogoče ožje taksonomsko opredeliti 167. Večinoma gre za kosti in zobe sesalcev, s posameznimi najdbami pa so zastopani še ptiči (N = 4) in mehkužci (N = 38). Gradivo izvirajo iz starejšeželeznodobnih, poznoantičnih in poznosrednjeveških/zgodnjenovoveških kontekstov (tab. 1).

<i>Takson</i>	<i>Faza 1</i>	<i>Faza 2</i>	<i>Faza 3</i>	<i>Neopredeljeno</i>
<i>Bos taurus</i>	6	2	45	5
Caprinae	9		35	7
<i>Sus cf. domesticus</i>			9	2
<i>Equus caballus</i>	1			
<i>Cervus elaphus</i>			1	
<i>Castor fiber</i>			1	
<i>Ursus arctos</i>			2	
Mammalia (indet.)	42	18	298	63
Aves			4	
<i>Ostrea sp.</i>			22	
<i>Venerupis sp.</i>	1		9	
<i>Helix pomatia</i>		1	3	

Tabela 8.1: Živalski ostanki z najdišča na zahodni vzpetini Grajskega hriba na Bledu (izkopavanja leta 2019) po kronoloških fazah. Količina ostankov je podana kot število taksonomsko opredeljenih primerkov (NISP). Opredelitve kronoloških faz: faza 1 – začetek starejše železne dobe; faza 2 – pozna antika; faza 3 – 15./16. do 17./18. stoletje (B. Toškan)

Starejšeželeznodobno gradivo

Na podlagi preliminarne časovne umestitve posameznih kontekstov je bilo mogoče v začetni del starejše železne dobe datirati 58 živalskih ostankov, izmed katerih jih je bilo mogoče ožje taksonomsko opredeliti 16. Najbolje zastopana taksona sta govedo (*Bos taurus*) in drobnica (*Caprinae*), z izoliranim ličnikom oziroma kočnikom pa je zastopan še konj (*Equus caballus*). Ostankov divjadi zbir ne vključuje.

Med ostanki goveda so zastopani skeletni elementi iz različnih delov telesa, tj. od glave (zobje, čeljustnici) do obeh parov okončin (nadlahtnica, golenica). Med najdbami drobnice močno prevladujejo ostanki iz najmanj mesnatih delov telesa (predvsem izolirani zobje; N = 6), pri čemer edino izjemo predstavljata odlomek diafize kozje koželjnice. Konj je, kot že omenjeno, zastopan s primerkom izoliranega zoba.

V SE 1013 (sonda 1) sta bila ob ostankih sesalcev odkrita še dva odlomka domnevno mrežaste vongole (*Venerupis cf. decussata*), ki pa bi utegnili biti intruzivna.

Poznoantično gradivo

Izmed 21 najdb domnevno poznoantične starosti je bilo mogoče taksonomsko opredeliti po en primerek zoba in delno ohranjene spodnje čeljustnice goveda ter odlomek hišice velikega vrtnega polža (*Helix pomatia*). Med neopredeljenimi najdbami je en primerek sežgan.

Poznosrednjeveško do zgodnjenovoveško gradivo

Med skupno 128 ožje taksonomsko opredeljenimi živalskimi ostanki iz plasti s prevladujočim gradivom iz časa med 15./16. in 17./18. stoletjem, jih pretežni del pripada govedu in drobnici. Razmeroma številčne so tudi lupine morskih školjk (ostriga, mrežasta vongola [?]; $N\Sigma = 32$). Ob govedu in drobnici so domače živali zastopane zgolj še s posameznimi najdbami domačega prašiča, omeniti pa je sicer treba prisotnost kar treh različnih vrst divjadi: jelena (*Cervus elaphus*), bobra (*Castor fiber*) in rjavega medveda (*Ursus arctos*). Prav tako je pomenljivo, da najmanj dve od skupno petih ptičjih kosti (*Aves*) zagotovo ne pripadata niti kokoši niti gosi. Med taksonomsko neopredeljenim gradivom so živali iz velikostne skupine malih rastlinojedov (tj. drobnica, srna ipd.) in velikih rastlinojedov (tj. govedo, konj, jelen) zastopane enakomerno (ugotovljeno razmerje znaša 23 : 21 v korist prvih).

Podatki o zastopanosti posameznih skeletnih elementov izkazujejo izrazito prevlado ostankov iz najmanj mesnatih anatomskih regij telesa. Med 45 ostanki goveda je tako najdb zob, čeljustnic in kosti spodnjih delov nog skupaj kar 38, med devetimi primerki prašiča je takih ostankov pet, jelen, bober in medved pa so zastopani izključno s tovrstnimi skeletnimi elementi. Svojestveno sliko v tem smislu pravzaprav kažeta zgolj ovca in koza, kjer je delež zob in kosti iz najmanj mesnatih delov telesa komaj polovičen ($N = 19$). K temu je treba sicer dodati, da je med vsega skupaj 232 taksonomsko ožje neopredeljenimi najdbami kar 39 primerkov reber, trije odlomki vretenc in dva delčka lobanje. Ob upoštevanju tudi tega gradiva postane delež kosti iz najmanj mesnatih delov telesa seveda znatno nižji.

Sklep

V analiziranem gradivu se zdijo najbolj relevantne ugotovitve, ki se nanašajo na poznosrednjeveški/zgodnjenovoveški zbir najdb. Zaradi zastopanosti jelena, bobra, medveda, divjih ptičev in kulinarično zanimivih morskih školjk bi namreč to gradivo kazalo razumeti kot ostanek prehrane prebivalcev bližnjega gradu. Drugače kot je bilo to ugotovljeno na posameznih okvirno sočasnih najdiščih z območja osrednje Slovenije in Koroške je delež prašičjih kosti in zob sicer skromen, bistveno skromnejši od tistega, ki se nanaša na drobnico. Razlog za takšno sliko gre vsaj v določeni meri bržčas iskati v naravnih danostih lokalne krajine, ki je bolj naklonjena ovčereji in kozjereji kot pa reji prašičev. Znatno delež goveda priča o izjemnem gospodarskem pomenu tega domestikata, ki je bil seveda ključen tako kot vir mesa in maščob, kakor tudi zaradi izkoriščanja različnih sekundarnih proizvodov reje.

Med starejšezeleznodobnim gradivom kaže izpostaviti predvsem prevlado drobnice in popolno odsotnost najdb prašiča, kar bi se utegnilo navezovati na zgoraj že omenjene naravne danosti območja.



Tabela 8.2: Popisi najdb po zbiralnih enotah (B. Toškan)

Datum	SN	Sonda	SE	Kv.	Takson	Sk. element	Stran	Št.
11.07.19	25	2	2001	/	Bos taurus	metapodi dist.		1 fr.
11.07.19	25	2	2001	/	Indet. spec.	vertebra cerv.		1 fr.
11.07.19	25	2	2001	/	Indet. spec.	indet. fr.		4 fr.
05.07.19	11	1	1002	6	Ovis s. Capra	dens inf.	dex.	2
05.07.19	11	1	1002	6	Ovis s. Capra	mandibula		2 fr.
05.07.19	11	1	1002	6	Ovis s. Capra	femur dia.		1 fr.
05.07.19	11	1	1002	6	Sus sp.	ulna	dex.	1 fr.
05.07.19	11	1	1002	6	Aves	femur dia.		1 fr.
05.07.19	11	1	1002	6	Indet. spec.	costa		4 fr.
05.07.19	11	1	1002	6	Indet. spec.	cranium		2 fr.
05.07.19	11	1	1002	6	Indet. spec.	indet. fr.		11 fr.
01.07.19	6	1	1001	5	Ovis s. Capra	dens inf.	sin.	2 fr.
01.07.19	6	1	1001	5	Ovis s. Capra	dens inf.	dex.	2 fr.
01.07.19	6	1	1001	5	Bos taurus	Phalanx 1		1 fr.
01.07.19	6	1	1001	5	Indet. spec.	costa		1 fr.
01.07.19	6	1	1001	5	Indet. spec.	indet. fr.		4 fr.
12.07.19	24	2	deponija	1/2	Indet. spec.	indet. fr.		10 fr.
02.07.19	5	1	1001	4	Bos taurus	dens sup.	dex.	1 fr.
02.07.19	5	1	1001	4	Ovis s. Capra	dens sup.	sin.	1 fr.
02.07.19	5	1	1001	4	Castor fiber	dens		1 fr.
02.07.19	5	1	1001	4	Indet. spec.	costa		4 fr.
02.07.19	5	1	1001	4	Indet. spec.	indet. fr.		15 fr.
09.07.19	2	1	deponija		Bos taurus	dens inf.	dex.	3 fr.
09.07.19	2	1	deponija		Ovis s. Capra	dens sup.	dex.	1 fr.
09.07.19	2	1	deponija		Ovis s. Capra	coxa	sin.	1 fr.
09.07.19	2	1	deponija		Ovis aries	dens inf.	sin.	2 fr.
09.07.19	2	1	deponija		Indet. spec.	indet. fr.		27 fr.
12.07.19	40	2	2012	1	Indet. spec.	indet. fr.		1 fr.
12.07.19	39	2	2012	2	Ovis s. Capra	metatarsus dia.		1 fr.
12.07.19	39	2	2012	2	Sus sp.	Phalanx 2		1
12.07.19	39	2	2012	2	Indet. spec.	indet. fr.		18 fr.
09.07.19	21	1	1015	5	Bos taurus	tibia dia.		1 fr.
09.07.19	21	1	1015	5	Bos taurus	dens sup.	dex.	1 fr.



09.07.19	19	1	1015	4	Bos taurus	dens inf.	sin.	1 fr.
11.07.19	38	2	2008	2	Indet. spec.	indet. fr.		1 fr.
12.07.19	36	2	meja med 2008/2010 in 2011	2	Bos taurus	femur dia.		1 fr.
12.07.19	36	2		2	Sus sp.	humerus dist.		1 fr.
11.07.19	32	2	2007	/	Bos taurus	dens inf.		1 fr.
12.07.19	31	2	2007	1	Indet. spec.	indet. fr.		6 fr.
11.07.19	30	2	2003	2	Bos taurus	mandibula		1 fr.
11.07.19	30	2	2003	2	Indet. spec.	indet. fr.		7 fr.
11.07.19	29	2	2003	1	Indet. spec.	indet. fr.		1 fr.
08.07.19	23	1	1013	4	Bos taurus	dens inf.	sin.	1 fr.
08.07.19	23	1	1013	4	Bos taurus	humerus dia.	sin.	1 fr.
08.07.19	17	1	1013	5	Bos taurus	mandibula	sin.	1 fr.
11.07.19	37	2	2009	2	Capra hircus	radius proks.	dex.	1 fr.
11.7.2019	27	2	2002	1	Indet. spec.	indet. fr.		2 fr.
11.7.2019	26	2	2002	2	Ovis s. Capra	dens inf.	dex.	1 fr.
11.7.2019	26	2	2002	2	Ovis aries	dens inf.	sin.	1 fr.
08.07.19	23	1	1013	4	Equus caballus	dens inf.	dex.	1 fr.
12.07.19	35	2	2011	2	Indet. spec.	indet. fr.		19 fr.
Leto 2019	33	2	2011	1	Indet. spec.	indet. fr.		2 fr.
10.07.19	22	1	1016	4	Indet. spec.	indet. fr.		1 fr.
09.07.19	21	1	1015	5	Indet. spec.	indet. fr.		7 fr.
09.07.19	19	1	1015	4	Indet. spec.	indet. fr.		4 fr.
03.07.19	12	1	1005	1	Bos taurus	ulna	sin.	1 fr.
03.07.19	12	1	1005	1	Ovis s. Capra	tibia dist.	dex.	1 fr.
03.07.19	12	1	1005	1	Indet. spec.	indet. fr.		3 fr.
03.07.19	13	1	1005	2	Sus sp.	humerus dia.	dex.	1 fr.
03.07.19	13	1	1005	2	Ovis s. Capra	dens inf.	sin.	1 fr.
03.07.19	13	1	1005	2	Indet. spec.	vertebra		1 fr.
03.07.19	13	1	1005	2	Indet. spec.	indet. fr.		2 fr.
09.07.19	14	1	1005	1-2	Indet. spec.	indet. fr.		1 fr.



02.07.19	3	1	1001	2	Bos taurus	dens inf.	dex.	1 fr.
02.07.19	3	1	1001	2	Ovis s. Capra	dens inf.	dex.	1 fr.
02.07.19	1	1	1001	1-2	Sus sp.	metapodij stranski		1 fr.
02.07.19	1	1	1001	1-2	Indet. spec.	indet. fr.		2 fr.
08.07.19	18	1	1014	7	Bos taurus	mandibula s P2-P4	sin.	1 fr.
08.07.19	18	1	1014	7	Bos taurus	Phalanx 1		1 fr.
08.07.19	18	1	1014	7	Bos taurus	dens sup.	dex.	1 fr.
08.07.19	18	1	1014	7	Bos taurus	dens sup.		1 fr.
08.07.19	18	1	1014	7	Bos taurus	metatarsus dia.	sin.	1 fr.
08.07.19	18	1	1014	7	Indet. spec.	costa		4 fr.
08.07.19	18	1	1014	7	Indet. spec.	indet. fr.		12 fr.
05.07.19	9	1	1002	5	Bos taurus	metacarpus proks.	sin.	1 fr.
05.07.19	9	1	1002	5	Bos taurus	metapodij dist.		1 fr.
05.07.19	9	1	1002	5	Bos taurus	coxa		1 fr.
05.07.19	9	1	1002	5	Bos taurus	Phalanx 1		1
05.07.19	9	1	1002	5	Bos taurus	dens sup.	dex.	2 fr.
05.07.19	9	1	1002	5	Bos taurus	dens inf.	dex.	1 fr.
05.07.19	9	1	1002	5	Bos taurus	metacarpus proks.	dex.	1 fr.
05.07.19	9	1	1002	5	Ovis s. Capra	dens inf.	sin.	1 fr.
05.07.19	9	1	1002	5	Ovis s. Capra	dens sup.	sin.	1 fr.
05.07.19	9	1	1002	5	Ovis s. Capra	scapula	sin.	1 fr.
05.07.19	9	1	1002	5	Ovis s. Capra	vertebra thor.		1 fr.
05.07.19	9	1	1002	5	Ovis s. Capra	radius dia.	dex.	1 fr.
05.07.19	9	1	1002	5	Cervus elaphus	dens inf.	dex.	1 fr.
05.07.19	9	1	1002	5	Indet. spec.	costa		18 fr.
05.07.19	9	1	1002	5	Indet. spec.	indet. fr.		54 fr.
02.07.19	4	1	1001	3	Sus sp.	ulna	sin.	1 fr.
02.07.19	4	1	1001	3	Indet. spec.	cranium		1 fr.
02.07.19	4	1	1001	3	Indet. spec.	indet. fr.		3 fr.
08.07.19	23	1	1013	4	Indet. spec.	costa		1 fr.
08.07.19	23	1	1013	4	Indet. spec.	indet. fr.		5 fr.
08.07.19	17	1	1013	5	Indet. spec.	indet. fr.		3 fr.
05.07.19	11	1	1002	6	Ostrea	lupina		1 fr.
10.07.19	22	1	1016	4	Ovis s. Capra	dens		2 fr.
04.07.19	10	1	1002	4	Bos taurus	dens inf.	sin.	1 fr.
04.07.19	10	1	1002	4	Bos taurus	dens sup.	sin.	1 fr.
04.07.19	10	1	1002	4	Bos taurus	mandibula s P3	sin.	1 fr.
04.07.19	10	1	1002	4	Bos taurus	Phalanx 1		1 fr.



04.07.19	10	1	1002	4	Bos taurus	metacarpus dist.		1 fr.
04.07.19	10	1	1002	4	Bos taurus	dens inf.	dex.	2 fr.
04.07.19	10	1	1002	4	Bos taurus	dens inf.	dex.	1 fr.
04.07.19	10	1	1002	4	Bos taurus	dens sup.	dex.	1 fr.
04.07.19	10	1	1002	4	Bos taurus	dens sup.	dex.	1 fr.
04.07.19	10	1	1002	4	Bos taurus	madibula	sin.	1 fr.
04.07.19	10	1	1002	4	Ovis s. Capra	metapodij dist.		1 fr.
04.07.19	10	1	1002	4	Ovis s. Capra	scapula	dex.	1 fr.
04.07.19	10	1	1002	4	Ovis s. Capra	calcaneus	dex.	1 fr.
04.07.19	10	1	1002	4	Ovis s. Capra	dens sup.	dex.	1 fr.
04.07.19	10	1	1002	4	Sus sp.	dens inf.	sin.	1 fr.
04.07.19	10	1	1002	4	Sus sp.	dens		1 fr.
04.07.19	10	1	1002	4	Sus sp.	mandibula	sin+de x	1 fr.
04.07.19	10	1	1002	4	Sus sp.	dens inf.	dex.	1 fr.
04.07.19	10	1	1002	4	Indet. spec.	costa		2 fr.
04.07.19	10	1	1002	4	Indet. spec.	indet. fr.		64 fr.
03.07.19	8	1	1001	7	Bos taurus	dens inf.	sin.	1 fr.
03.07.19	8	1	1001	7	Bos taurus	dens		1 fr.
03.07.19	8	1	1001	7	Bos taurus	dens inf.	dex.	1 fr.
03.07.19	8	1	1001	7	Bos taurus	dens sup.	dex.	1 fr.
03.07.19	8	1	1001	7	Ovis s. Capra	dens sup.	sin.	1 fr.
03.07.19	8	1	1001	7	Ovis s. Capra	humerus dist.	sin.	1 fr.
03.07.19	8	1	1001	7	Ovis s. Capra	mandibula	sin.	1 fr.
03.07.19	8	1	1001	7	Ovis s. Capra	dens inf.	dex.	1 fr.
03.07.19	8	1	1001	7	Ursus arctos	Phalanx I		1
03.07.19	8	1	1001	7	Indet. spec.	calcaneus		3 fr.
03.07.19	8	1	1001	7	Indet. spec.	indet. fr.		17 fr.
10.07.19	22	1	1016	4	Ovis s. Capra	dens sup.	dex.	1
10.07.19	22	1	1016	4	Ovis s. Capra	metacarpus proks.		1 fr.
09.07.19	19	1	1015	4	Ovis s. Capra	dens inf.	sin.	1 fr.
08.07.19	17	1	1013	5	Ovis s. Capra	dens inf.	sin.	1 fr.
08.07.19	17	1	1013	5	Ovis s. Capra	astragalus	sin.	1 fr.
09.07.19	16	1	1011	6	Bos taurus	calcaneus		1 fr.
09.07.19	16	1	1011	6	Indet. spec.	indet. fr.		11 fr.
02.07.19	7	1	1001	6	Bos taurus	mandibula	sin.	1 fr.
02.07.19	7	1	1001	6	Bos taurus	dens inf.	sin.	1 fr.
02.07.19	7	1	1001	6	Bos taurus	tibia dia.	sin.	1 fr.
02.07.19	7	1	1001	6	Bos taurus	dens		1 fr.
02.07.19	7	1	1001	6	Bos taurus	os hyoideum		2 fr.
02.07.19	7	1	1001	6	Bos taurus	metatarsus dia.		1 fr.



02.07.19	7	1	1001	6	Bos taurus	dens inf.	dex.	5 fr.
02.07.19	7	1	1001	6	Ovis s. Capra	dens inf.	sin.	1 fr.
02.07.19	7	1	1001	6	Ovis s. Capra	maxilla s P2-M2	sin.	1 fr.
02.07.19	7	1	1001	6	Ovis s. Capra	mandibula	sin.	1 fr.
02.07.19	7	1	1001	6	Ovis s. Capra	cranium	sin.	1 fr.
02.07.19	7	1	1001	6	Ovis s. Capra	mandibula	sin.	1 fr.
02.07.19	7	1	1001	6	Ovis s. Capra	metatarsus dia.	sin.	1 fr.
02.07.19	7	1	1001	6	Ovis s. Capra	os hyoideum		1 fr.
02.07.19	7	1	1001	6	Ovis s. Capra	mandibula	dex.	1 fr.
02.07.19	7	1	1001	6	Ovis s. Capra	tibia dia.	dex.	1 fr.
02.07.19	7	1	1001	6	Sus sp.	cranium		1 fr.
02.07.19	7	1	1001	6	Ursus arctos	Metacarpus 3	dex.	1
02.07.19	7	1	1001	6	Aves	ossa longa		3 fr.
02.07.19	7	1	1001	6	Indet. spec.	vertebra cerv.		1 fr.
02.07.19	7	1	1001	6	Indet. spec.	costa		8 fr.
02.07.19	7	1	1001	6	Indet. spec.	indet. fr.		50 fr.
02.07.19	7	1	1001	6	Ostrea	lupina		10 fr.
02.07.19	7	1	1001	6	Helix pomatia	lupina		1 fr.
02.07.19	7	1	1001	6	Venerupis (decussata)	lupina		5 fr.
03.07.19	8	1	1001	7	Ostrea	lupina		2 fr.
08.07.19	17	1	1013	5	Ovis s. Capra	dens inf.		1 fr.
05.07.19	11	1	1002	6	Venerupis (decussata)	lupina		4 fr.
04.07.19	10	1	1002	4	Ostrea	lupina		1 fr.
05.07.19	9	1	1002	5	Ostrea	lupina		3 fr.
09.07.19	16	1	1011	6	Ostrea	lupina		5 fr.
08.07.19	17	1	1013	5	Venerupis (decussata)	lupina		2 fr.
11.07.19	32	2	2007	/	Helix pomatia	lupina		1 fr.
08.07.19	18	1	1014	7	Helix pomatia	lupina		2 fr.
08.07.19	18	1	1014	7	Venerupis (decussata)	lupina		1 fr.



Podatki o arhivu najdišča

Arhiv najdišča obsega:

1 - najdbe, shranjene v treh kartonastih škatlah;

- keramika (SE 1001–1002) (vel. 41 × 31,5 × 13,5 cm);
- keramika (SE 1005–1013) (vel. 41 × 31,5 × 13,5 cm);
- keramika (SE 2001–2013) (vel. 41 × 31,5 × 13,5 cm);
- gradbeni material (vel. 41 × 31,5 × 13,5 cm);
- kamen (vel. 41 × 31,5 × 13,5 cm);
- živalske kosti in školjke (vel. 41 × 31,5 × 13,5 cm);
- kovina (vel. 30,5 × 20,5 × 12 cm);
- arhiv lončarskih mas (vel. 30,5 × 10,5 × 12 cm);
- steklo (vel. 30,5 × 20,5 × 12 cm);
- izris (vel. 28,5 × 18 × 13 cm);
- posebne najdbe (vel. 28,5 × 18 × 13 cm);
- malta in oglje - vzorci (vel. 28,5 × 18 × 13 cm);

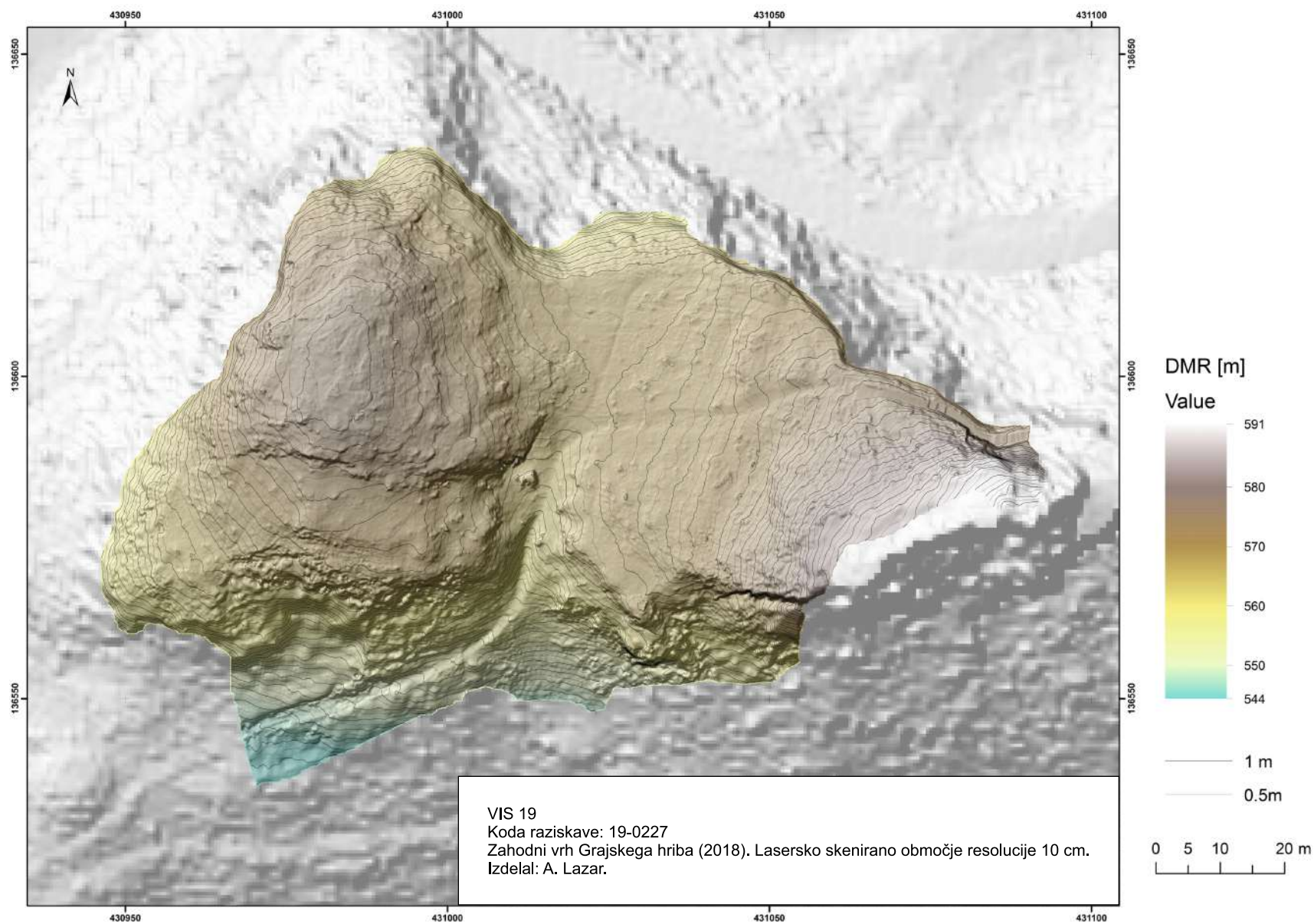
2 - digitalna kopija originalne in obdelane terenske dokumentacije (USB nosilec):

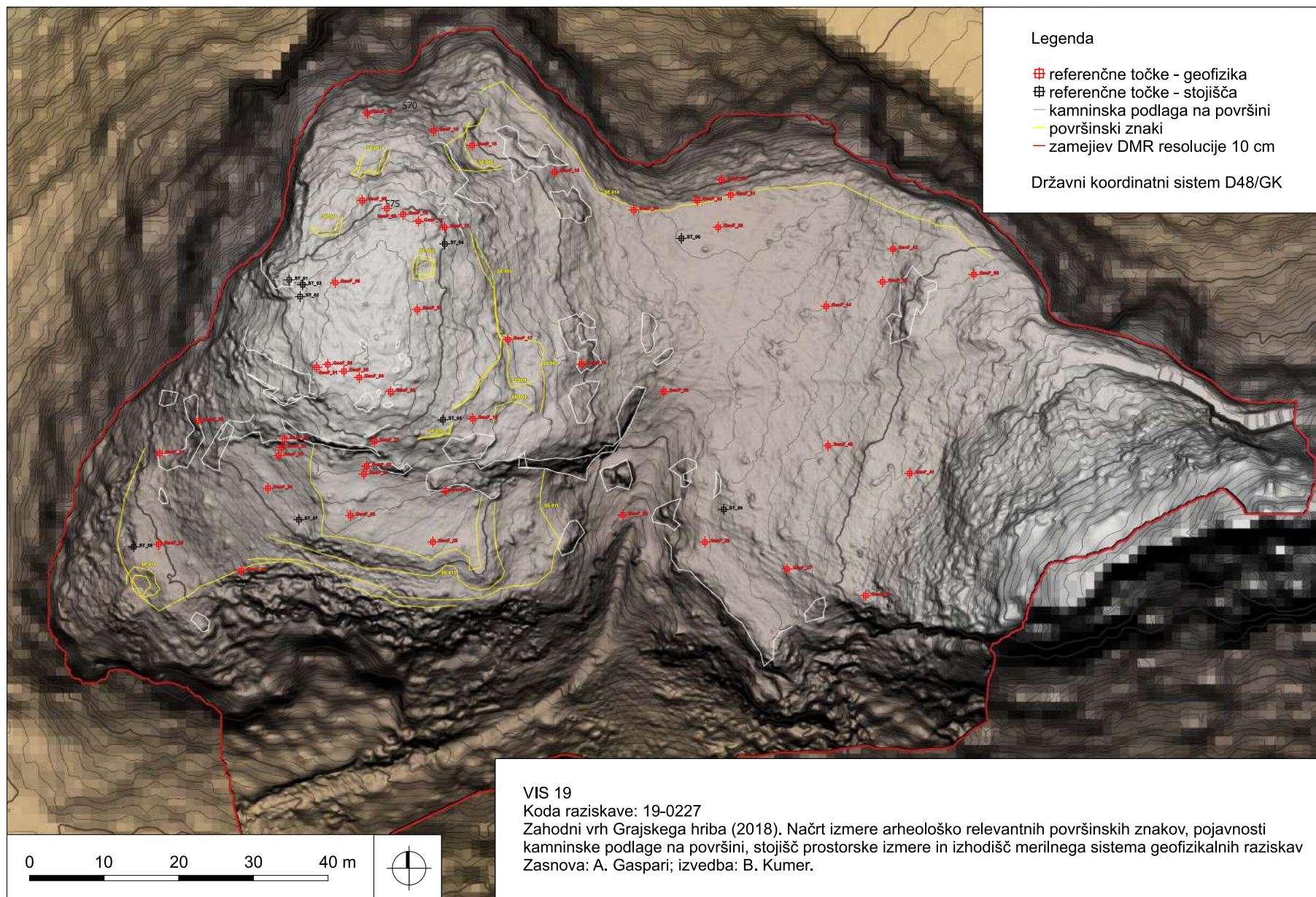
- meritve:
 - dnevnik geodetskih izmer (.xls; .pdf);
 - kumulativne izmere (.dwg);
 - seznam stratigrafskih enot (.xls; .pdf)
 - opisi stratigrafskih enot (.pdf)
 - meritve navidezne magnetne susceptibilnosti (.pdf)
- fotografije:
 - seznam digitalnih posnetov (.xls; .pdf)
 - seznam fotoskic (.xls; .pdf)
- najdbe:
 - seznam posebnih najdb (.xls; .pdf);
 - seznam vzorcev (.xls; .pdf);
 - distribucija-seznam najdb (.xls);
- dokumenti:
 - soglasje upravljalca zemljišč za poseg v nepremičnino (.pdf);
 - kulturno-varstveno mnenje ZVKDS, OE Kranj (.pdf);
 - kulturno-varstveno soglasje za raziskavo in odstranitev arheološke ostaline, MK (.pdf);
 - soglasje za odstranitev travne ruše in gozdne podrasti, Zavod za gozdove, OE Bled (.pdf);
 - zapisnik konservatorskega nadzora ZVKDS, OE Kranj (.pdf);

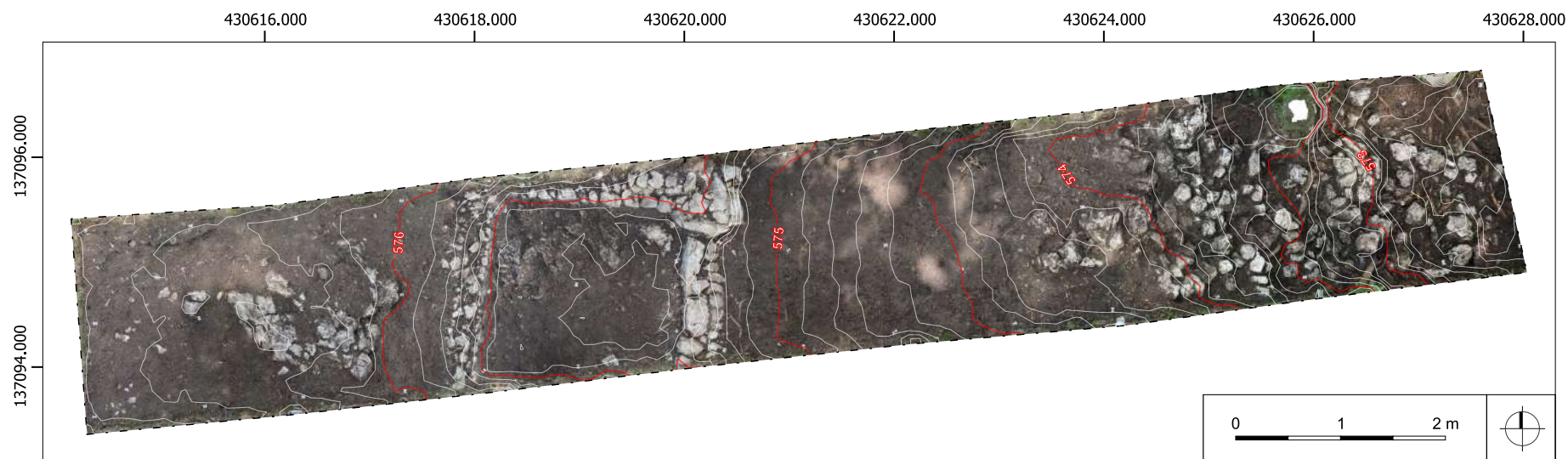
3 - končno strokovno poročilo v tiskani obliki;

4 - končno strokovno poročilo v digitalni verziji (.doc; .pdf; .tiff; .jpg) (USB nosilec).

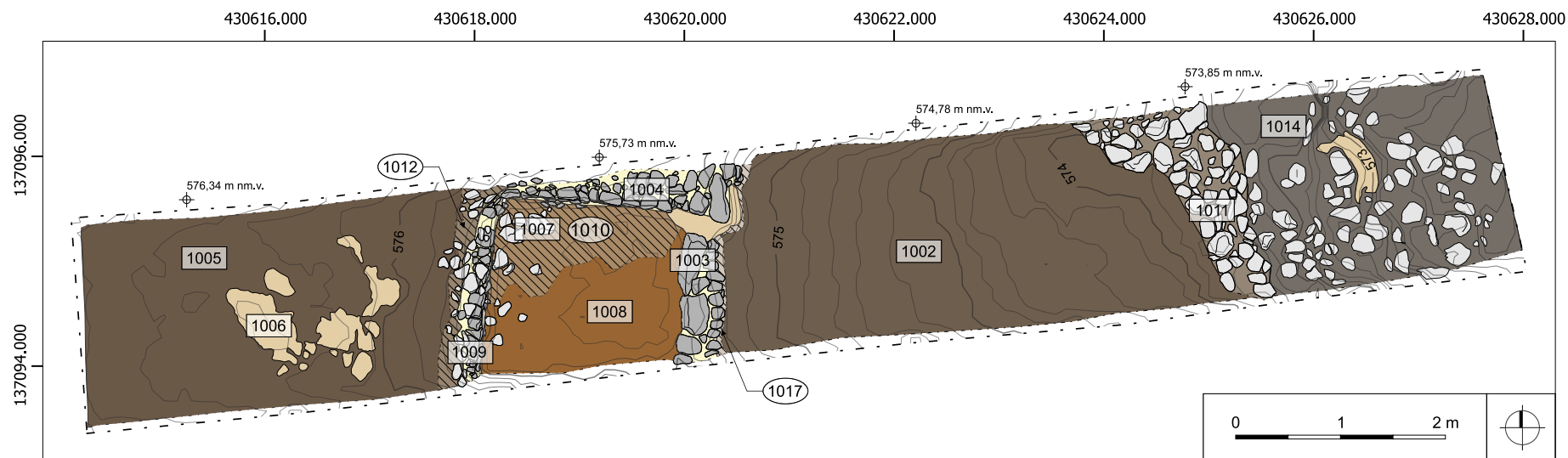
Arhiv najdišča po zgornjem seznamu je bil dne 2019 predan v trajno hrambo pristojnemu muzeju (Gorenjski muzej, Kranj; za UL FF predal dr. Andrej Gaspari; za GM Kranj prevzela pristojna kustosinja dr. Verena Perko).







VIS 19
Koda raziskave: 19-0227
Sonda 1. Faza kvadratnega objekta. Tlorisna situacija: FS 1003, 1005, 1007.
Izdela: B. Kumer.



Seznam stratigrafskih enot

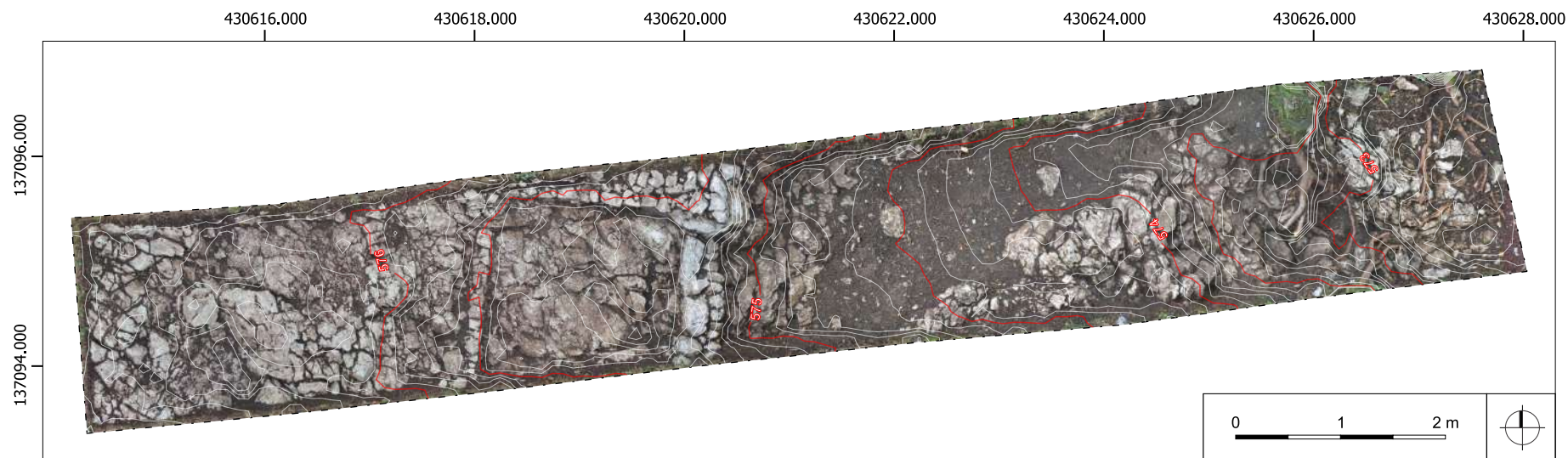
- | | |
|--------------------------------------|---|
| SE 1002 - peščen melj (pokopana tla) | SE 1008 - glinena meljasta plast (sediment) |
| SE 1003 - struktura (V zid) | SE 1009 - struktura (Z zid) |
| SE 1004 - struktura (S zid) | SE 1010 - interfacija (vsek) = SE 1017 |
| SE 1005 - peščen melj (plast) | SE 1011 - ruševina (= SE 1014) |
| SE 1006 - skala (geološka osnova) | SE 1012 - interfacija (mejna površina uničenja) |
| SE 1007 - ruševina Z zidu SE 1009 | SE 1017 - vkop za V zid SE 1003 (= SE 1010) |

VIS 19

Koda raziskave: 19-0227

Sonda 1. Faza kvadratnega objekta. Tlorisna situacija.

Izdelal: B. Kumer.

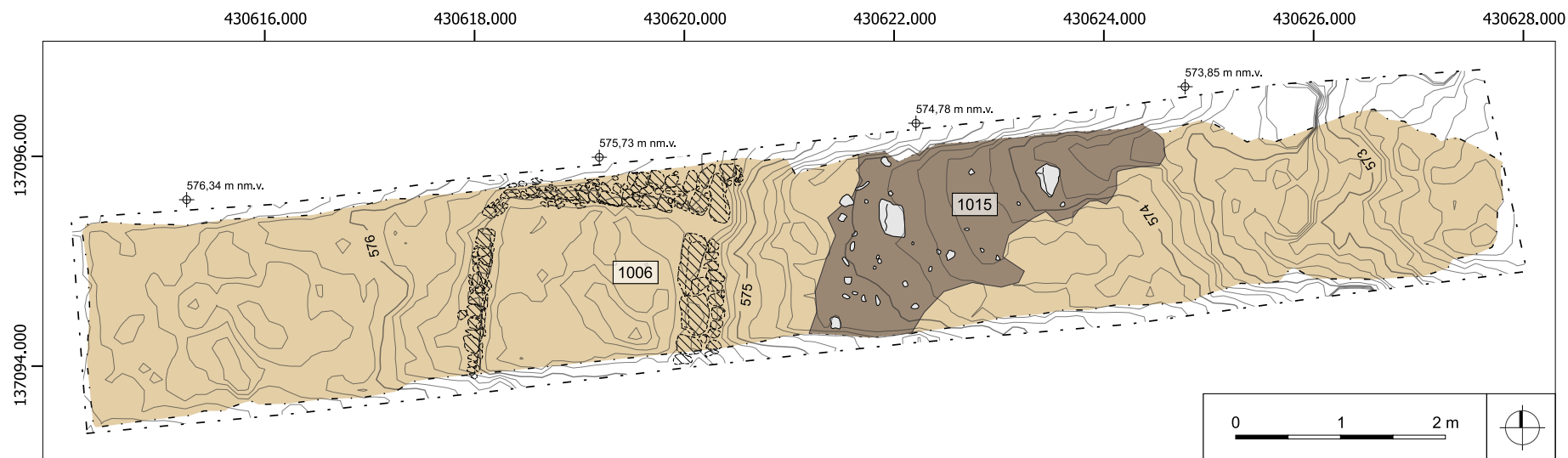


VIS 19

Koda raziskave: 19-0227

Sonda 1. Faza prazgodovinskega koluvija. Tlorisna situacija: FS 1010 in FS 1011.

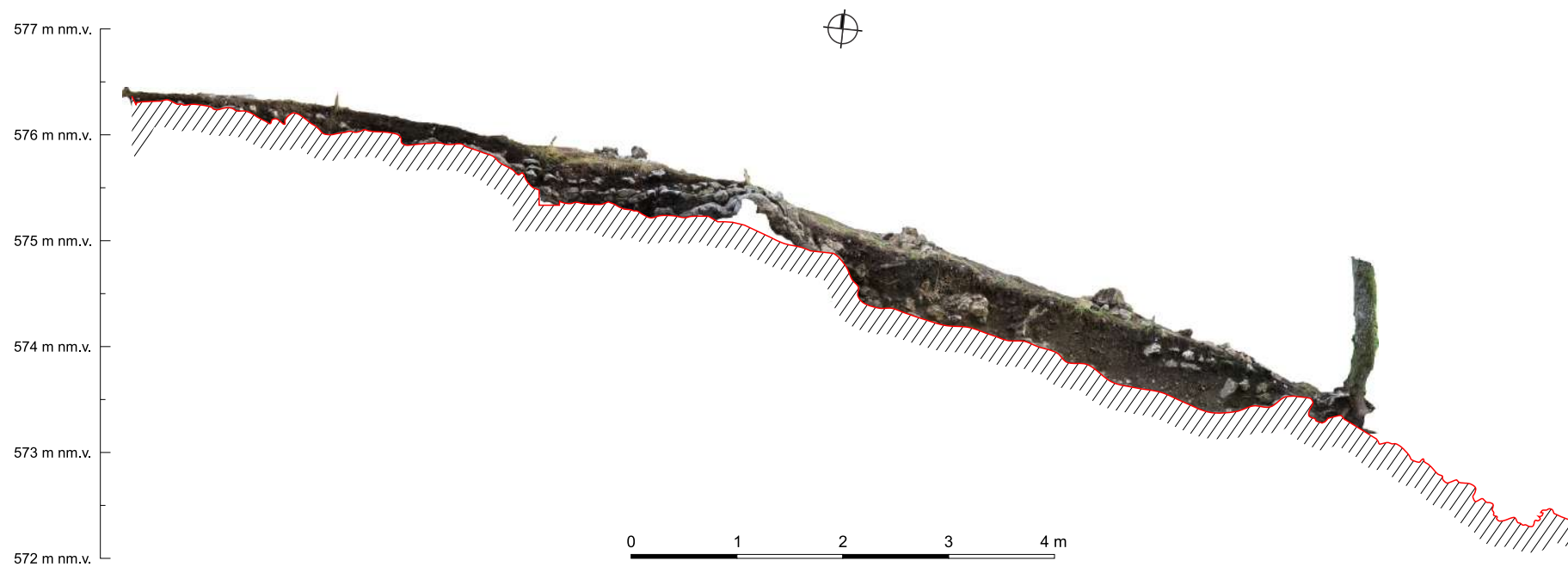
Izdelal: B. Kumer.



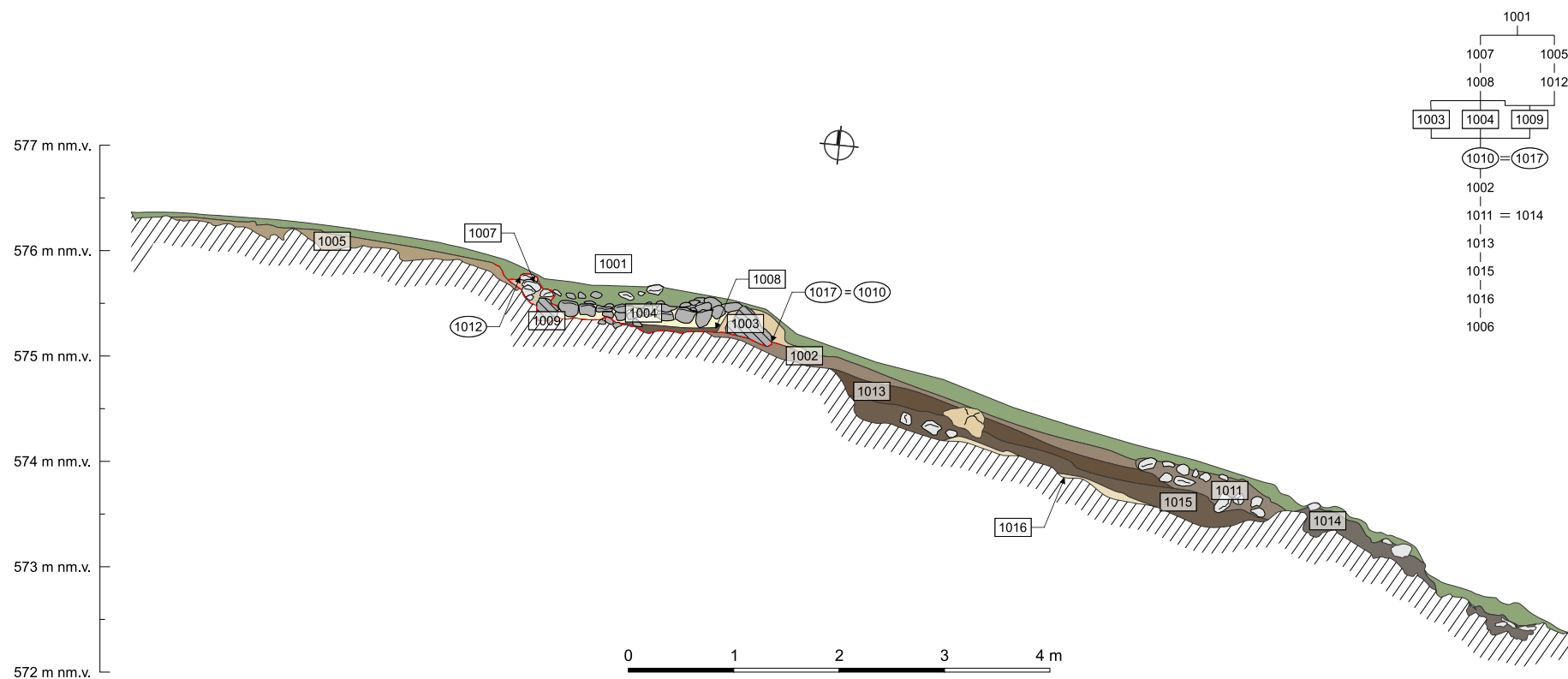
Seznam stratigrafskih enot

- SE 1006 - skala (geološka osnova)
- SE 1015 - glinena plast (koluvij)

VIS 19
Koda raziskave: 19-0227
Sonda 1. Faza prazgodovinskega koluvija. Tlorisna situacija
Izdelal: B. Kumer.



VIS 19
Koda raziskave: 19-0227
Sonda 1. Presek severnega roba izkopnega polja: FS 1014
Izdelal: B. Kumer.



Seznam stratigrafskih enot

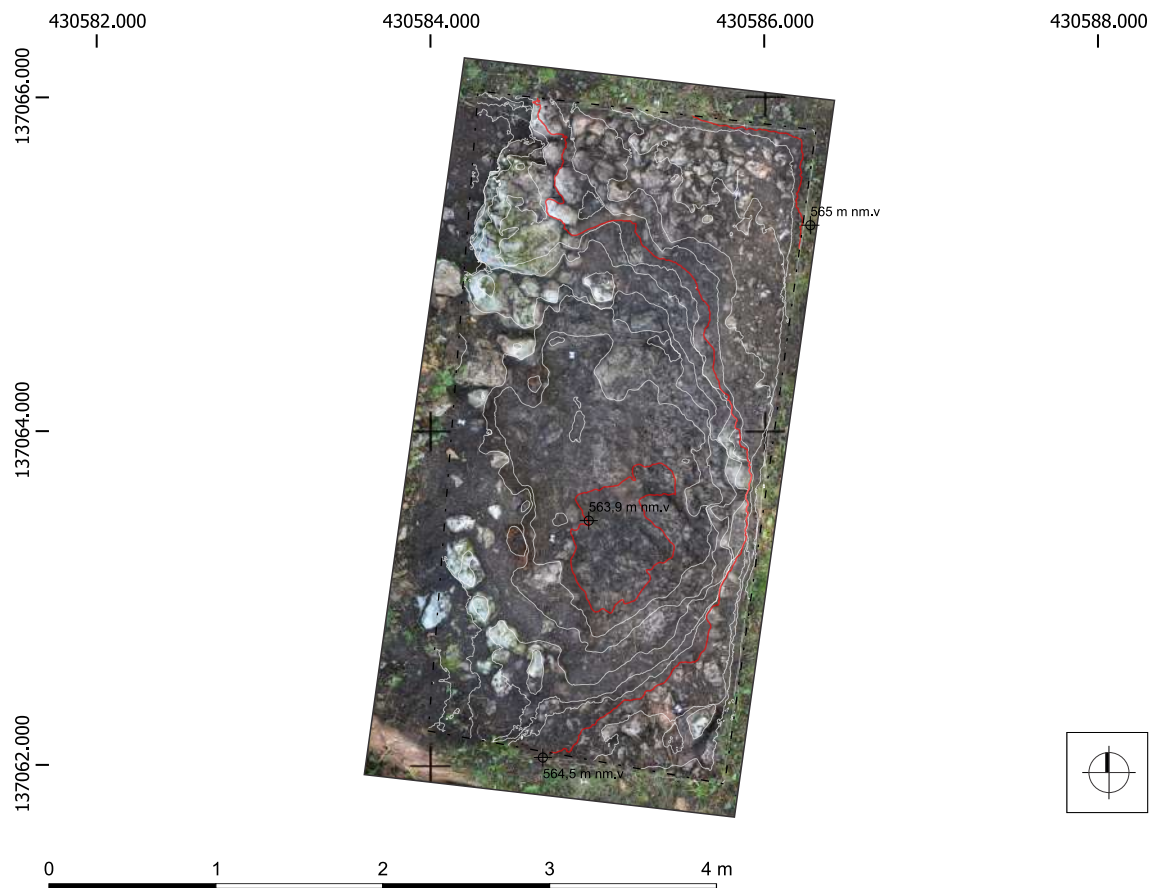
SE 1001 - peščen melj (gozdna ruša)	SE 1007 - ruševina Z zidu SE 1009	SE 1013 - peščen melj (kolvij)
SE 1002 - peščen melj (pokopana tla)	SE 1008 - glinena meljasta plast (sediment)	SE 1014 - ruševina (= SE 1011)
SE 1003 - struktura (V zid)	SE 1009 - struktura (Z zid)	SE 1015 - glinena plast (kolvij)
SE 1004 - struktura (S zid)	SE 1010 - interfacija (vsek) (= SE 1017)	SE 1016 - glinena preperina (geološka osnova)
SE 1005 - peščen melj (plast)	SE 1011 - ruševina (= SE 1014)	SE 1017 - vkop za V zid SE 1003 (= SE 1010)
SE 1006 - skala (geološka osnova)	SE 1012 - interfacija (mejna površina uničenja)	

VIS 19

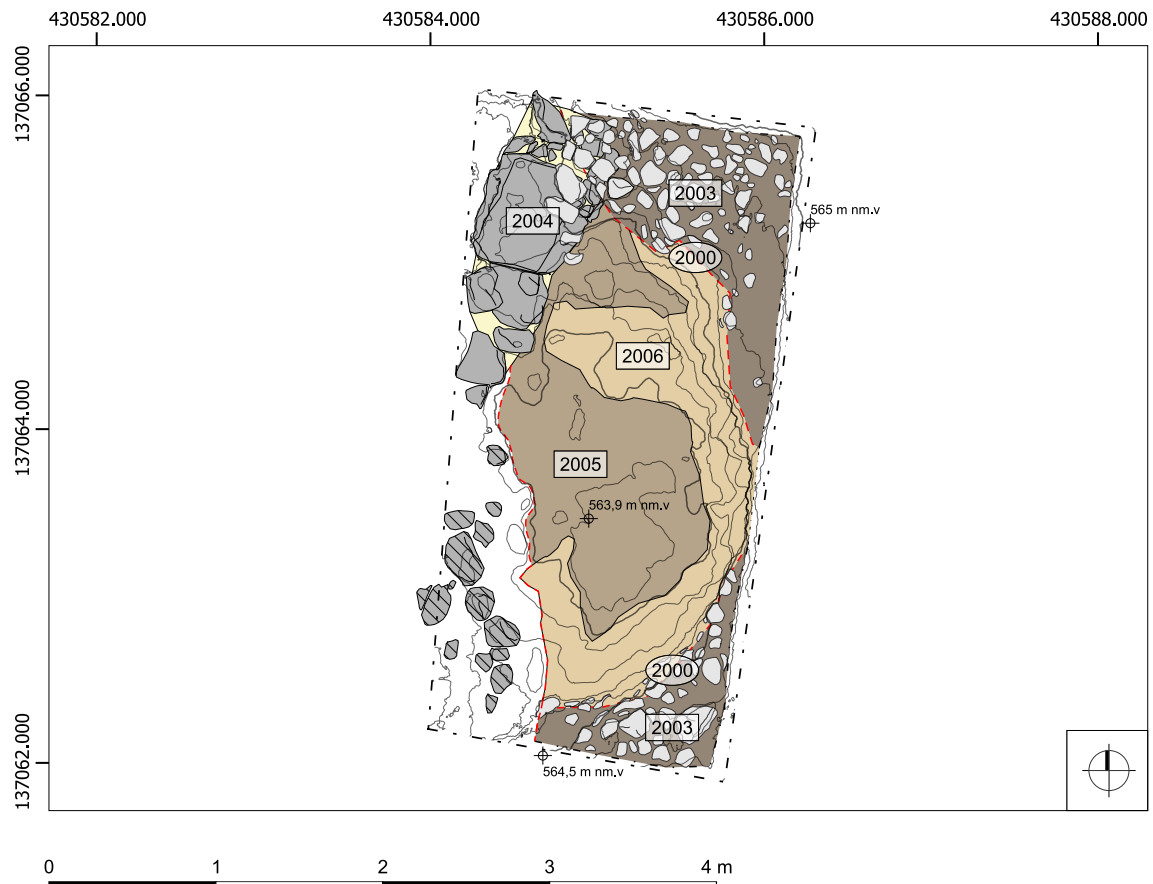
Koda raziskave: 19-0227

Sonda 1. Presek severnega roba izkopnega polja.

Izdelal: B. Kumer.



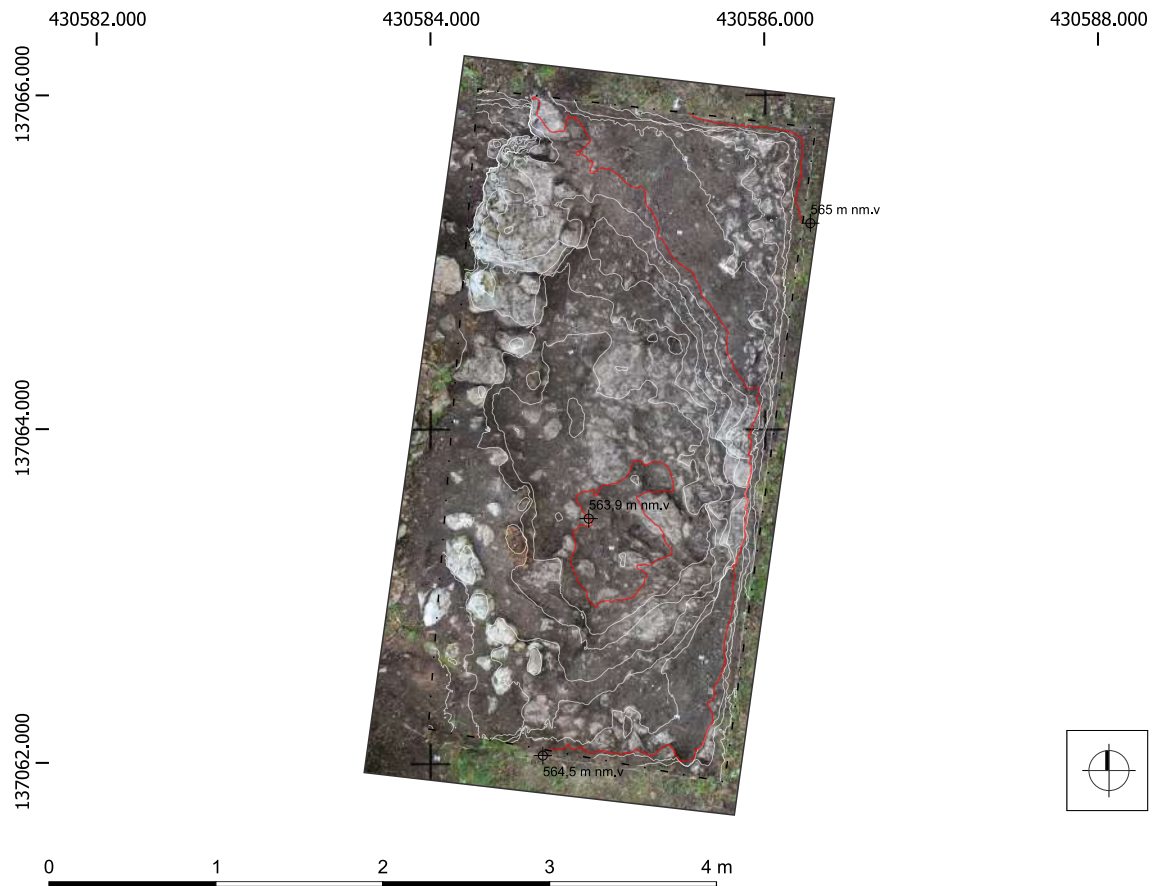
VIS 19
Koda raziskave: 19-0227
Sonda 2. Faza poznoantične ruševine. Tlorisna situacija: FS 2003.
Izdelal: B. Kumer.



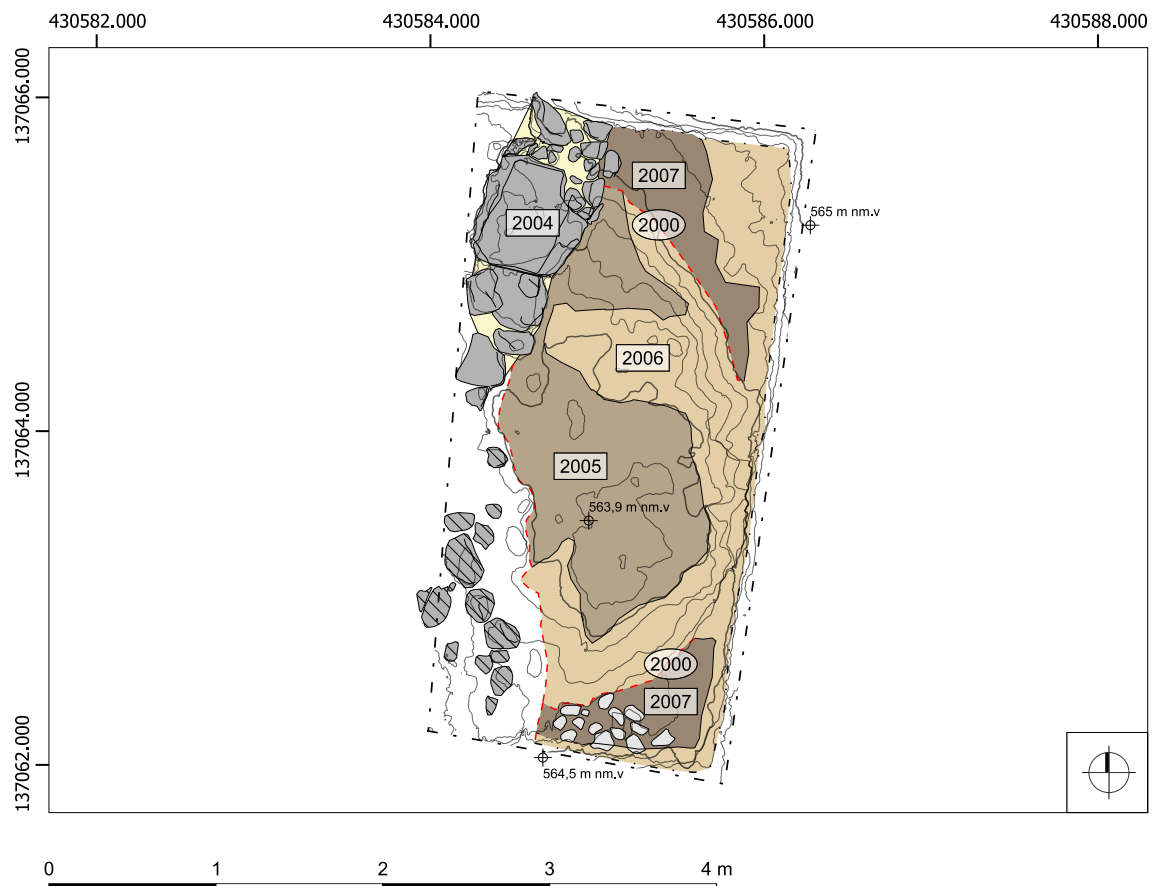
Seznam stratigrafskih enot

- SE 2000 - interfacija (poškodba zaradi izruvanega panja)
- SE 2003 - peščen melj (ruševina)
- SE 2004 - struktura (poznoantični obodni zid)
- SE 2005 - glinena preperina (geološka osnova)
- SE 2006 - skala (geološka osnova)

VIS 19
Koda raziskave: 19-0227
Sonda 2. Faza poznoantične ruševine. Tlorisna situacija.
Izdelal: B. Kumer.



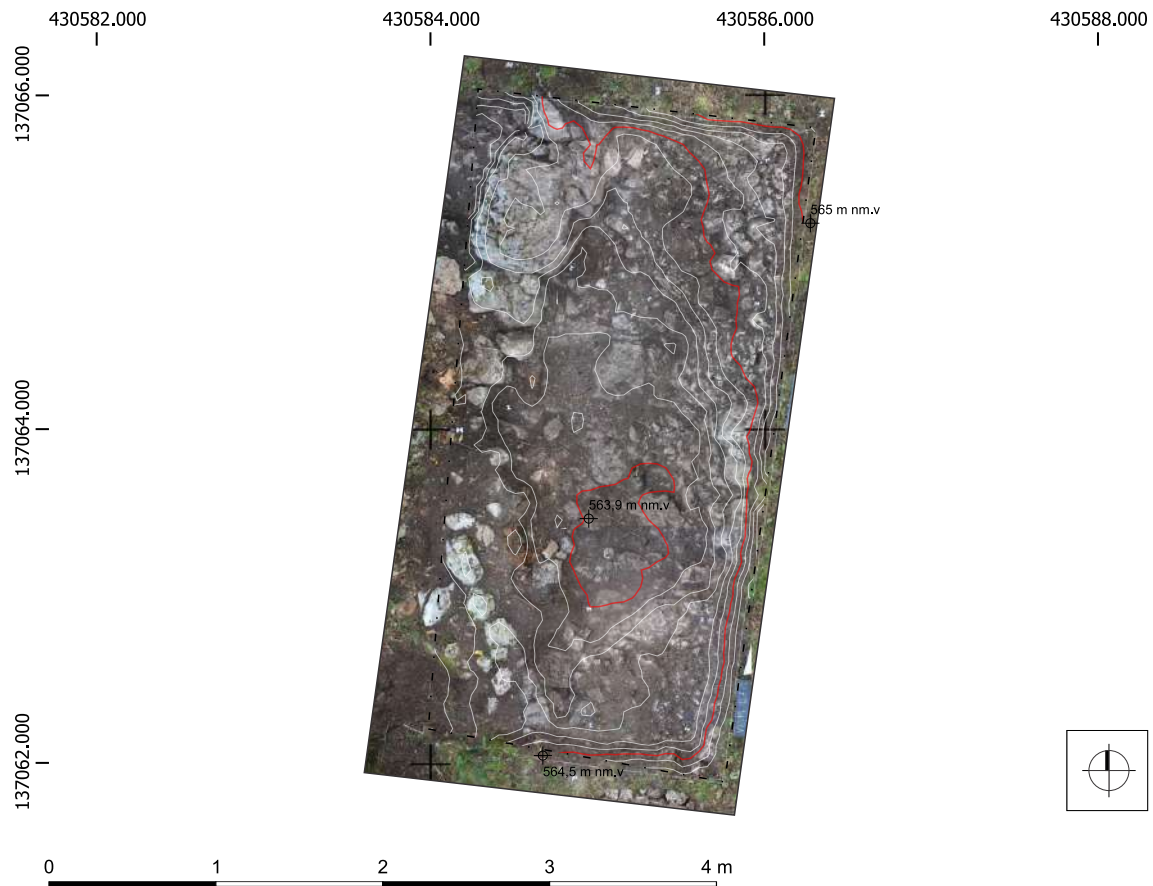
VIS 19
Koda raziskave: 19-0227
Sonda 2. Faza sedimenta na hodni površini ob poznoantičnem obzidju, Tlorisna situacija: FS 2004
Izdelal: B. Kumer.



Seznam stratigrafskih enot

- SE 2000 - interfacija (poškodba zaradi izrivanega panja)
- SE 2004 - struktura (poznoantični obodni zid)
- SE 2005 - glinena preperina (geološka osnova)
- SE 2006 - skala (geološka osnova)
- SE 2007 - peščen melj (hodna površina)

VIS 19
Koda raziskave: 19-0227
Sonda 2. Faza sedimenta na hodni površini ob poznoantičnem obzidju. Tlorisna situacija.
Izdelal: B. Kumer.

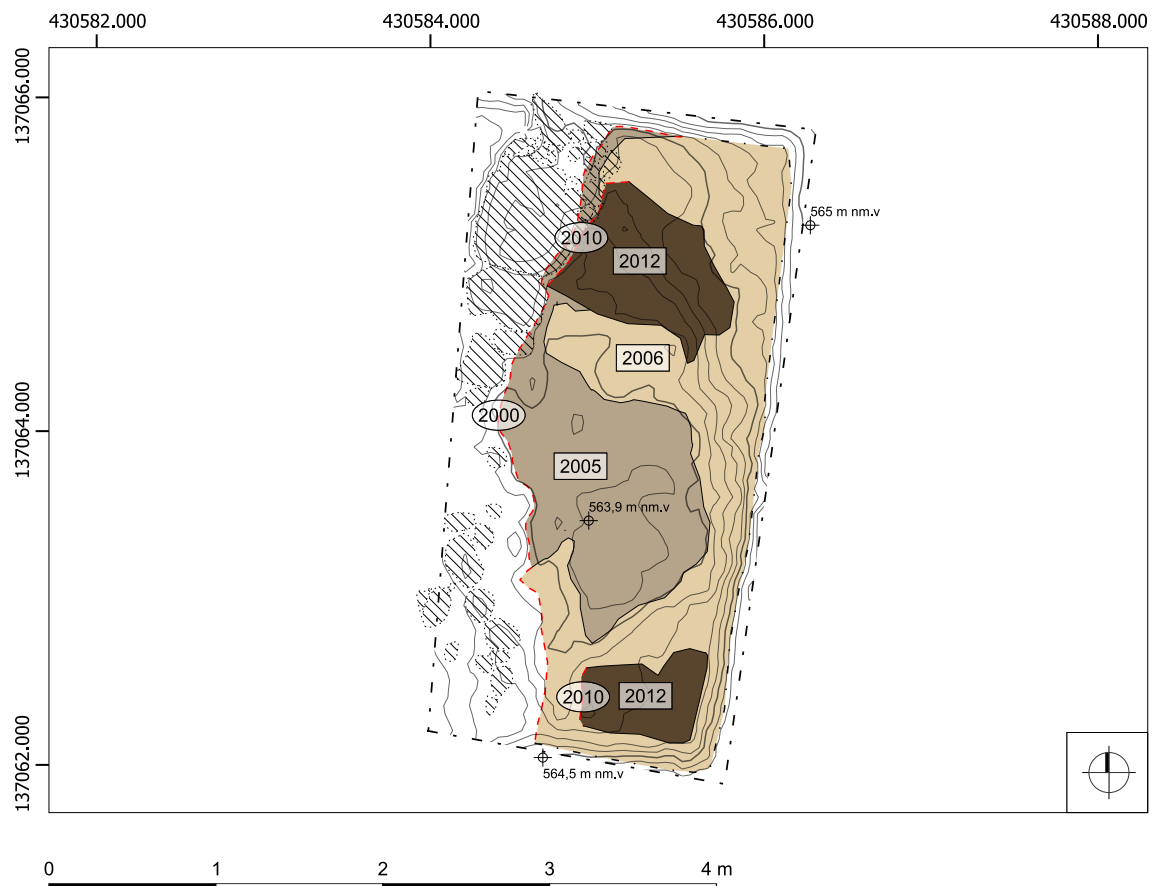


VIS 19

Koda raziskave: 19-0227

Sonda 2. Ostanke prazgodovinskih depozitov po izdelavi vkopa za poznoantično obzidje. Tlorisna situacija: FS 2007 in FS 2011.

Izdelal: B. Kumer.



Seznam stratigrafskih enot

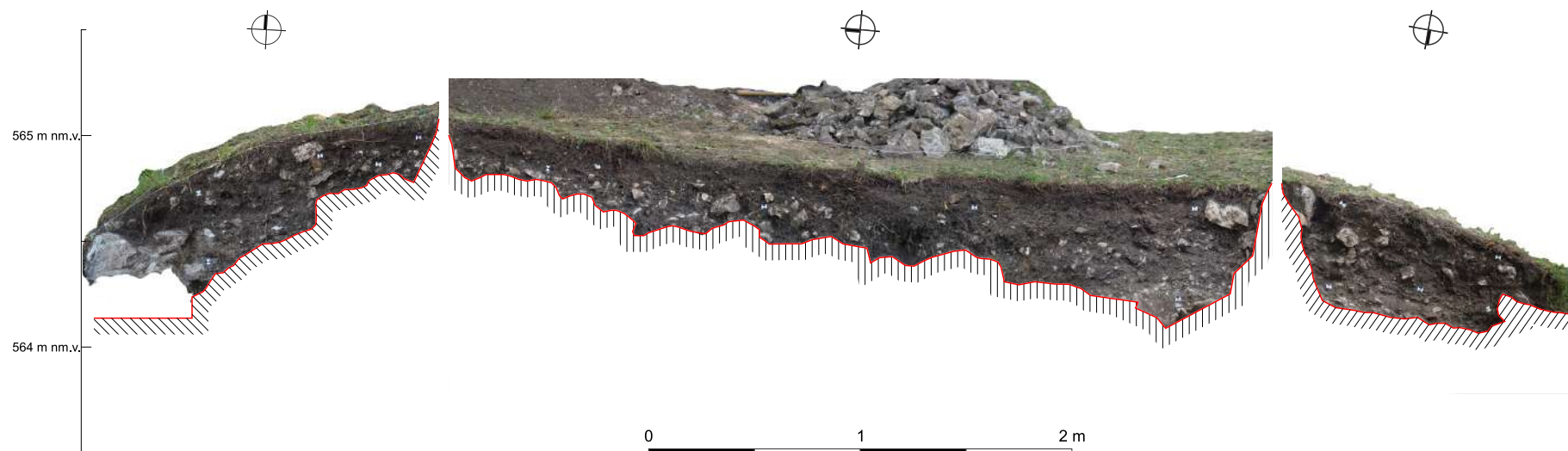
- SE 2000 - interfacija (poškodba zaradi izruvanega panja)
- SE 2005 - glinena preperina (geološka osnova)
- SE 2006 - skala (geološka osnova)
- SE 2010 - vkop za poznoantični obodni zid SE 2004
- SE 2012 - meljasta glina (sediment)

VIS 19

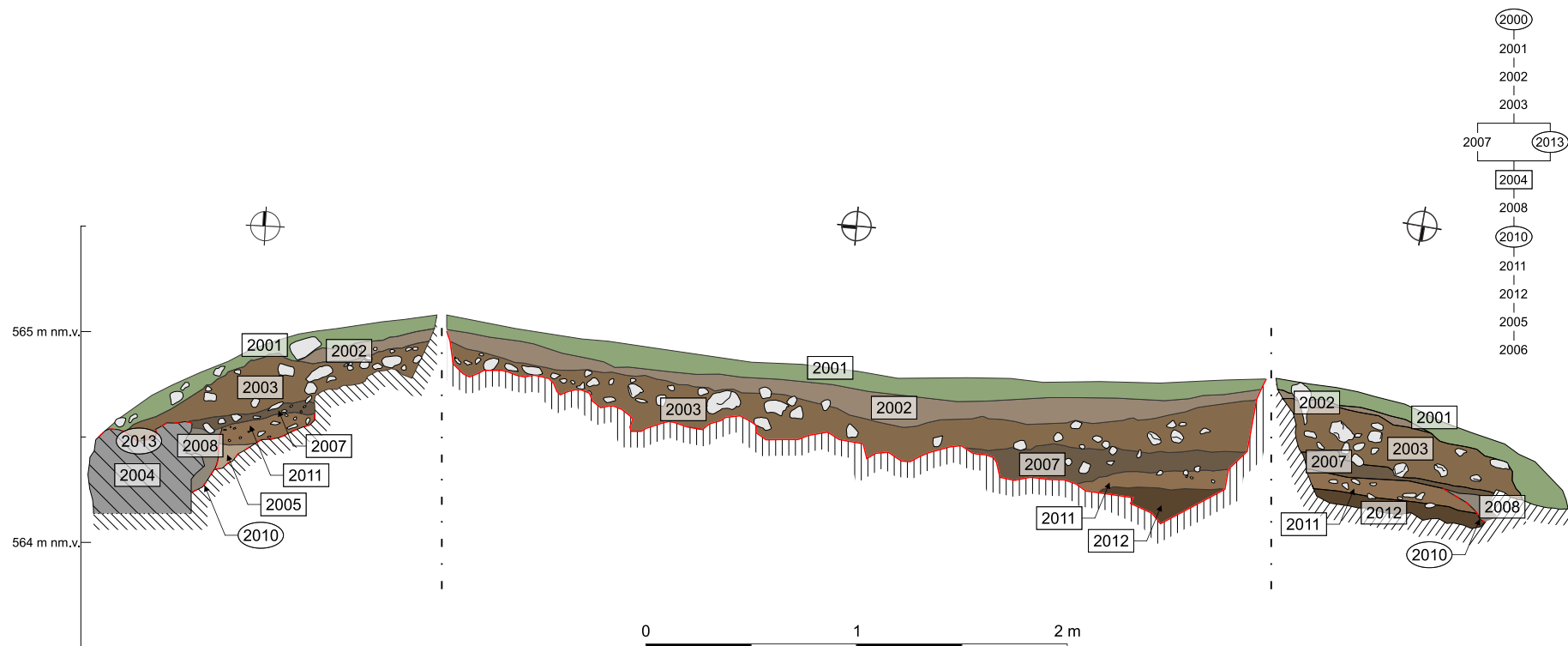
Koda raziskave: 19-0227

Sonda 2. Ostanke prazgodovinskih depozitov po izdelavi vkopa za poznoantično obzidje. Tlorisna situacija.

Izdelal: B. Kumer.



VIS 19
Koda raziskave: 19-0227
Sonda 2. Preseki severnega, vzhodnega in južnega roba izkopnega polja. FS 2010, 2013 in 2014
Izdelal: B. Kumer.



Seznam stratigrafskih enot

SE 2000 - interfacija (poškodba zaradi izravnane panja)
 SE 2001 - peščen melj (gozdna ruša)
 SE 2002 - peščen melj (sediment)
 SE 2003 - peščen melj (ruševina)
 SE 2004 - struktura (poznoantični obodni zid)
 SE 2005 - glinena preperina (geološka osnova)
 SE 2006 - skala (geološka osnova)
 SE 2007 - peščen melj (hodna površina)
 SE 2008 - pesek, grušč (polnilo vkopa SE 1010)

SE 2009 - peščen melj (izravnava) (= SE 2011)
 SE 2010 - vkop za poznoantični obodni zid SE 2004
 SE 2011 - peščen melj (izravnava) (= SE 2009)
 SE 2012 - meljasta glina (sediment)
 SE 2013 - interfacija (mejna površina uničenja SE 2005)

VIS 19

Koda raziskave: 19-0227

Sonda 2. Preseki severnega, vzhodnega in južnega roba izkopnega polja.

Izdalal: B. Kumer.



Številka: 35101-0519/2018
 Datum nadzora: 02., 09. 07. 2019
 Odg. konservator: Mag. Judita Lux, univ. dipl. arheol.

ZAPISNIK KONSERVATORSKEGA NADZORA NAD TERENSKIMI DELI RAZISKAVE

Osnovni podatki o raziskavi po soglasju za raziskavo	
1.1 Ime najdišča	Arheološko najdišče na zahodnem vrhu Grajskega hriba na Bledu
1.2 Naselje	Bled
1.3 Evidenčna številka dediščine	EŠD 23, Bled – Arheološko najdišče Grad
1.4 Številka soglasja za raziskavo	62240-171/2019/2; 10. 5. 2019
1.5 Izvajalec raziskave	Univerza v Ljubljani, Filozofska fakulteta, Aškerčeva 2, 1000 Ljubljana
1.6 Vodja raziskave	dr. Andrej Gaspari, univ. dipl. arheol.
1.7 Namestnik vodje	Rene Masaryk, univ. dipl. arheol.
1.8 Vrsta raziskave	Invazivna; arheološki arheološki podpovršinski pregled, arheološki strukturni pregled, stavbna analiza, arheološki testni izkop, vzorčenje z vrtnami
1.9 Datum začetka in konca terenskih del	1. 7. 2019–12. 7. 2019
1.10 Mestočasne hrambe arhiva najdišča	FF, Oddelek za arheologijo, Zavetiška 5, 1000 Ljubljana

Nadzor nad skladnostjo z izdanim soglasjem za raziskavo	skladno	ni skladno
2.1 Prisotnost vodje raziskave oz. njegovega namestnika	<input checked="" type="checkbox"/>	<input type="checkbox"/>
2.2 Ustreznost lokacije posega	<input checked="" type="checkbox"/>	<input type="checkbox"/>
2.3 Ustreznost sestave in številčne zastopanosti raziskovalne skupine	<input checked="" type="checkbox"/>	<input type="checkbox"/>
2.4 Obvestilo konservatorju o začetku terenskih del	<input checked="" type="checkbox"/>	<input type="checkbox"/>
2.5 Obvestilo pristojnemu muzeju o začetku terenskih del	<input checked="" type="checkbox"/>	<input type="checkbox"/>

Nadzor nad strokovnostjo izvedbe	ustrezno	neustrezno
3.1 Ustreznost uporabljenih metod in tehnik izkopavanja in dokumentiranja z vidika vsebine, vrste, tipa, datacije in kompleksnosti najdišča ter posebnih okoliščin raziskave	<input checked="" type="checkbox"/>	<input type="checkbox"/>
3.2 Celovitost in usklajenost dokumentacije z veljavnimi standardi	<input checked="" type="checkbox"/>	<input type="checkbox"/>
3.2.1 Ustreznost dokumentacije prostorskih izmer	<input checked="" type="checkbox"/>	<input type="checkbox"/>
3.2.2 Ustreznost dokumentacije stratigrafskih, strukturnih, zbiralnih oz. drugih enot	<input checked="" type="checkbox"/>	<input type="checkbox"/>
3.2.3 Ustreznost pisne dokumentacije	<input checked="" type="checkbox"/>	<input type="checkbox"/>
3.2.4 Ustreznost slikovne dokumentacije	<input checked="" type="checkbox"/>	<input type="checkbox"/>
3.2.5 Ustreznost dokumentacije o zbirkah najdb	<input checked="" type="checkbox"/>	<input type="checkbox"/>
3.2.6 Ustreznost dokumentacije o zbirkah vzorcev	<input checked="" type="checkbox"/>	<input type="checkbox"/>
3.3 Ustreznost urejenosti, označenosti in hrambe najdb in vzorcev z manj zahtevnim varovalnim režimom ter njihova usklajenost z veljavnimi standardi	<input checked="" type="checkbox"/>	<input type="checkbox"/>
3.4 Ustreznost ravnanja in primarne zaščite klimatsko in varnostno občutljivih najdb in vzorcev	<input checked="" type="checkbox"/>	<input type="checkbox"/>



Izdelava strokovnih poročil o raziskavi

4.1 Prvo strokovno poročilo velja kot končno strokovno poročilo



4.2 Potrebno je izdelati prvo strokovno poročilo in končno strokovno poročilo



Vsebinska in izvedbena problematika raziskave

Ukrepi varstva in navodila izvajalcu za ureditev območja raziskave po koncu terenskih del

Povzritev v prometno stanje

Opombe, opozorila na nepravilnosti, izrečeni ukrepi

Pripombe odgovornega vodje raziskave k poteku in ugotovitvam konservatorskega nadzora

Podpis vodje raziskav:

Podpis odgovornega konservatorja:

